

32346

PROSPECCION GEOELECTRICA

EN LA REGION COSTERA ATLANTICA DE LA PROVINCIA
DE BUENOS AIRES COMPRENDIDA ENTRE PUNTA RA-
SA Y PUNTA MEDANOS.



INFORME PRELIMINAR

por:
AINCHIL, Jerónimo
GIUSSO, Marcelo
MACRIS, Norma
TAVELLA, Juan

F.C.A.y G.- U.N.L.P

O
H.22213
LM P22

AÑO 1986

X.12

I

BUENOS AIRES

agradecemos la colaboración y apoyo de:

Lic. Boris Calvetty Amboni
Instituto "BYTE" - Computación
Ing. Roberto M. Pinciroli
Lic. Juan J. Paladino
Sr. José L. Hormaechea

CONTENIDO

1.- Introducción	1
2.- Ubicación de la zona	1
3.- Objetivo	1
4.- Metodología aplicada e instrumental	3
5.- Breve descripción geomorfológica	4
6.- Geoelectrónica y geomorfología	7
7.- Perfiles Geoelectrónicos	10
Grupo I	11
Grupo II	12
8.- Descripción de mapas	15
8.1 Isobatas del sustrato conductor	16
8.2 Mapa de isopacas	16
8.3 Mapa de resistencia transversal unitaria, T	17
9.- Conclusiones preliminares	18
10.- Recomendaciones	20
11.- Plan de tareas para la segunda etapa	20
Bibliografía	21
Anexo I: Planilla de ubicación de sondeos	23
Anexo II: Planilla de valores de T	28
Anexo III: Perfiles Geoelectrónicos	30
Anexo IV: Mapas de isolíneas: Isobatas del sustrato conductor, Mapa de iso- pacas y Mapa de T	31
Anexo V: Planillas de campo y curvas con- troladas	32
Figuras:	
Nº 1: Mapa de ubicación de la zona de trabajo	2
Nº 2: Mapa de ubicación de las uni- dades geomorfológicas	6
A,B y C: Comparación de curvas repre- sativas	8

1.- INTRODUCCION

A partir del mes de mayo de 1986 dió comienzo un programa de PROSPECCION GEOELECTRICA en la zona costera bonaerense comprendida entre Punta Rasa y Punta Médanos. Esta tarea es realizada por el Departamento de Geofísica Aplicada de la Facultad de Ciencias Astronómicas y Geofísicas, en virtud del Anexo Nº 2 del Convenio de Cooperación firmado en fecha 12 de agosto de 1985 entre el Consejo Federal de Inversiones (CFI) y la Universidad Nacional de La Plata, conforme a lo previsto en el acuerdo denominado EVALUACION DE LOS RECURSOS HIDRICOS SUBTERRANEOS DE LA REGION COSTERA ATLANTICA DE LA PROVINCIA DE BUENOS AIRES, suscripto entre la Dirección de Geología, Minería y Aguas Subterráneas de la Provincia de Buenos Aires y el Consejo Federal de Inversiones.

Hasta el momento se midieron 87 Sondeos Eléctricos Verticales distribuidos en 17 perfiles perpendiculares a la costa, de una longitud promedio de 3 Km. La interpretación cuantitativa de estos sondeos permitió levantar 17 cortes geoelectricos transversales coincidentes con los perfiles antes mencionados y uno paralelo al mar de 75 Km de extensión. Además, en mapas de isolíneas se muestra el comportamiento regional de la resistividad.

La densificación y parametrización adecuada de la información se hará acorde con el desarrollo de tareas del Área Asesoramiento del CFI y formará parte del informe final.

2.- UBICACION DE LA ZONA

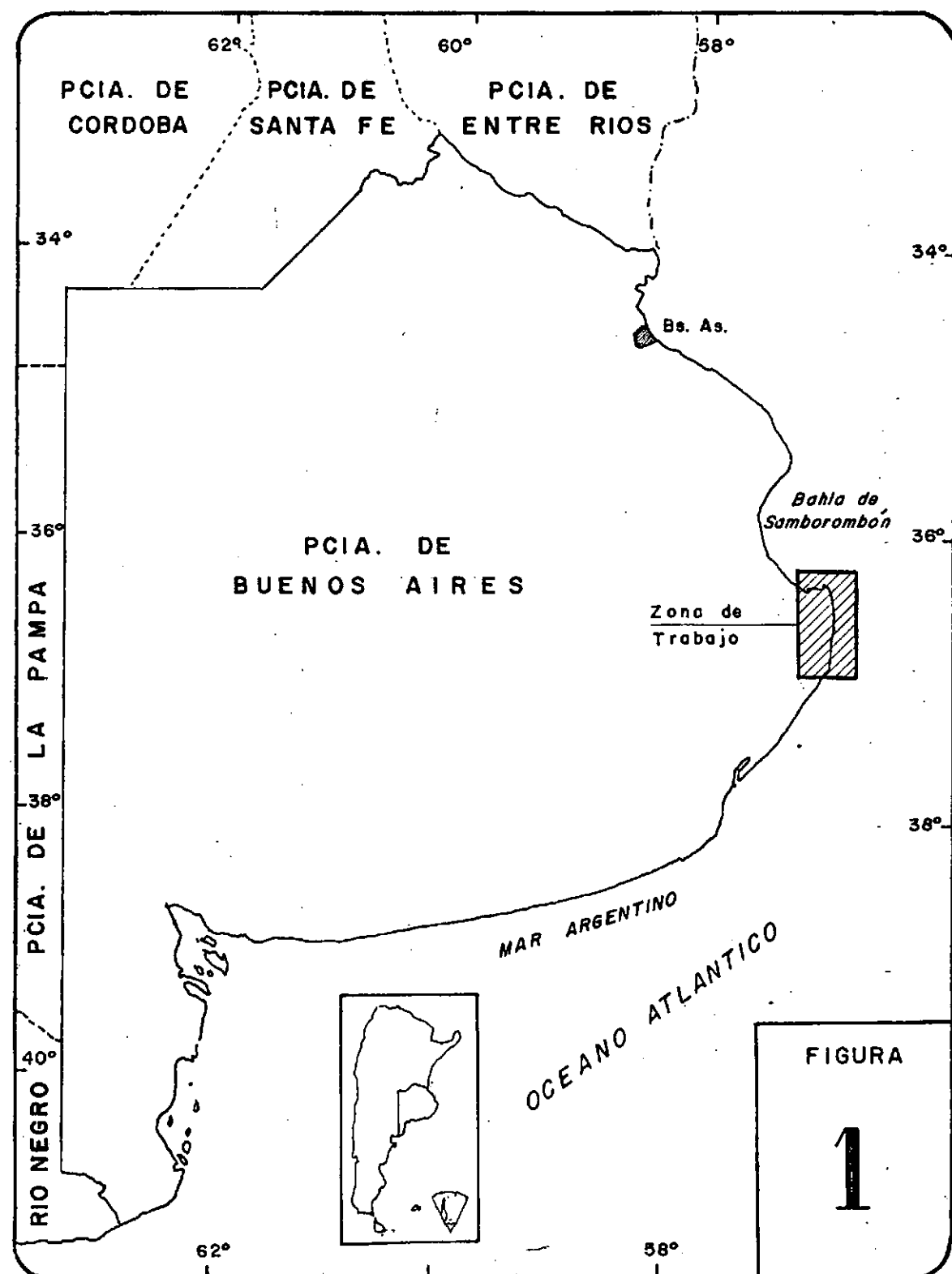
La zona prospectada se encuentra ubicada en el borde Este de la provincia de Buenos Aires, entre los $36^{\circ} 15'$ y 37° de longitud Oeste y a los $56^{\circ} 40'$ de latitud Sur media (figura 1).

3.- OBJETIVO

El estudio Geoelectrónico tiene por objeto la determinación de los límites del acuífero costero con aguas aptas para el consumo humano.

De acuerdo con los antecedentes disponibles, los contornos de este acuífero presentarían un contraste de propiedades eléc-

UBICACION DE LA ZONA DE TRABAJO



tricas, debido a que tanto lateralmente como en profundidad existe una transición hacia sedimentos portadores de agua de elevada salinidad. Por este motivo, el trabajo estuvo orientado a encontrar un sustrato conductor, dado por la presencia de éstas, analizando sus variaciones laterales y verticales a lo ancho de la faja costera de interés, objetivo que fue alcanzado de manera satisfactoria.

4.- METODOLOGIA APLICADA E INSTRUMENTAL

El método utilizado es el de SONDEO ELECTRICO VERTICAL (SEV), en el que se dispone de una configuración de 4 electrodos, AMNB, dos de potencial o recepción MN y dos de corriente o emisión AB. Los electrodos A y B están interconectados a través de una fuente y un miliamperímetro, y constituyen lo que se llama circuito de emisión, mientras que los de potencial, conectados a un milivoltímetro, conforman el circuito de recepción.

Un SEV consiste en una serie de determinaciones de la resistividad aparente, con la distancia AB creciente. La modalidad empleada es la denominada SCHLUMBERGER, que se caracteriza por mantener durante toda la medición MN despreciable frente a AB; en la práctica se usa $MN \ll AB/5$.

La resistividad aparente, se calcula mediante la expresión

$$\rho_a = K \frac{V}{I}$$

donde K es una constante que depende de la configuración eléctrica, que para este caso toma el valor

$$K = \frac{\pi}{4} \frac{(AB^2 - MN^2)}{MN}$$

y V es la diferencia de potencial medida entre los electrodos MN cuando por el circuito de emisión circula una corriente I.

Los valores de resistividad aparente calculados, se vuelcan en un gráfico bilogarítmico, con la distancia AB/2 en abscisas, obteniéndose una Curva de Resistividad Aparente (CRA) o curva de campo. Esta curva posee la información necesaria para obtener la distribución vertical de resistividades y espesores (corte geeléctrico) en el punto sondeado, lo que constituye la finalidad del método. Para llegar a esta distribución debe interpretarse la CRA mediante un conjunto de operaciones numéricas.

o gráficas que proporcionan la constitución eléctrica del subsuelo.

En este punto cabe aclarar que cualquier metodología que no siga este proceso de interpretación, sólo puede dar una idea cualitativa y comparativa entre diferentes puntos.

En el presente trabajo la interpretación se realizó, en primera instancia por el método de superposición con los ábacos patrón de tres capas (BRELLANA-MOONEY) y reducción por el punto auxiliar de EBBERT-KALENOV. Posteriormente se controlaron y ajustaron los cortes geoelectréticos obtenidos, con un programa interactivo de convolución con filtro de 29 puntos (DIAZ, 1981). El instrumental empleado, totalmente diseñado y construido en la Facultad de Ciencias Astronómicas y Geofísicas, consistió en:

- RESISTIVIMETRO GEOFELIC Mod. MVD 01/AD 01, cuyas especificaciones técnicas son:

	Alcance	Resolución	Precisión
Milivoltímetro MVD 01	200mV y 2000mV	0.1 mV	1%
Miliamperímetro AD 01	200mA, 2000mA, 10a	0.1 mA	1%
- Convertidor de 250 W y 500 V máximo.			
- Electrodo impolarizables.			

5.- BREVE DESCRIPCIÓN GEOMORFOLOGICA

En base a la descripción hecha por Sala y otros (1976) en la zona norte del área de trabajo (San Clemente- El Tala) se hace, en términos muy generales, una extensión de estos conceptos a toda la faja litoral del Cabo San Antonio. Obviamente, los agregados son de relativo valor geológico pero, como se verá, ayudan a la comprensión de los resultados obtenidos.

Del trabajo antes mencionado se transcribe textualmente:

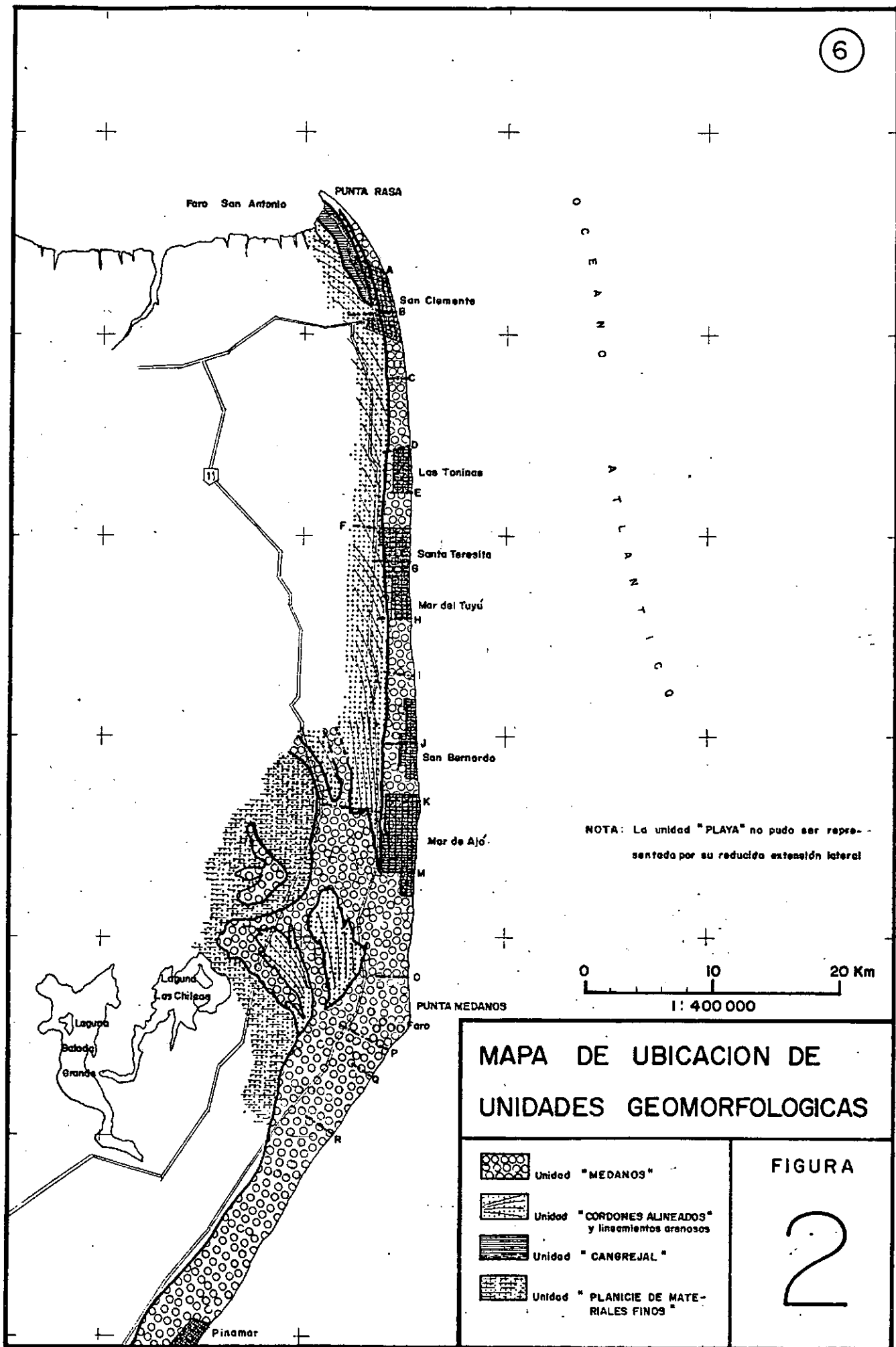
... La unidad MEDANO constituida por material arenoso, muy permeable se desarrolla paralela a la costa. Su mayor expresión en altura y desarrollo lateral la adquiere hacia el sur, reduciéndose notablemente en ambos sentidos en la parte norte del cabo San Antonio. Pueden reconocerse dentro de ella tres ciclos sucesivos de dunas con distinto grado de edafización; el más reciente tiene características de "médano vivo", es decir que carece de vegetación y experimenta migración..." "...es la unidad más importante por sus cualidades acuíferas. Se adosa a la playa..."

"...Contigua a la anterior hacia el continente, se ubica la unidad CORDONES ALINEADOS, formada por material predominantemente sarmítico con alternancia de pelitas. Topográficamente las partes más altas se corresponden con las arenas y las más bajas con los sedimentos finos, relación que se manifiesta también en el impedimento del drenaje. La alineación, fácilmente advertible en los aerofotogramas va de subparalela a la costa hasta oblicua a la misma, reproduciendo en parte la forma de la ribera actual. Posee en general menos permeabilidad que la anterior..."

"...Una tercera unidad es denominada CANGREJAL, yaciendo en la costa de la Bahía Samborombón e incluyendo la ría del arroyo San Clemente. Está conformada por material predominantemente sarmítico, de buena permeabilidad, y soporta el drenaje más denso del área, en un relieve sumamente plano..."

Para la extensión de estos conceptos a todo el área de trabajo, conviene subrayar que:

- La unidad CANGREJAL se limita a la ría del arroyo San Clemente.
- El desarrollo lateral de la unidad MEDANO es de pocas decenas de metros en el norte del cabo San Antonio, se incrementa progresivamente hasta la localidad de Mar del Tuyú, donde alcanza los 2 Km. aproximadamente y, a partir de Aguas Verdes experimenta un ensanchamiento notable llegando a medir unos 10 Km a la altura del faro de Punta Médanos.
- La elevación de la unidad MEDANO tiene su mínima expresión en el norte del cabo San Antonio, de 5 órden del metro, aumentando progresivamente hacia el sur, llegando al SO de la Punta Médanos a superar los 20 m. En esta última zona la faja de médanos "vivos" alcanza los 2.5 Km de ancho y las alturas mencionadas.
- La unidad CORDONES ALINEADOS se ubica contigua al oeste de la anterior en forma ininterrumpida hasta Mar de Ajó, intercalándose con la unidad MEDANO a la altura de la estancia Rincón de Cobo, presentando aquí lineaciones oblicuas.
- A continuación de la unidad MEDANO y hacia el este se extiende la unidad PLAYA que está presente en toda la zona con desarrollo lateral entre 50 y 150 m. Está compuesta por arenas, conchillas y gravas.



- En la zona sur, contigua hacia el oeste de la unidad MEDANO, se parece lo que podría denominarse, sólo a los fines del trabajo, unidad "planicie de materiales finos". Esta unidad, diferenciable de las tres ya mencionadas, está formada por material pelítico y es de relieve piano. Cabe señalar, que en esta zona no está presente la unidad CORDONES ALINEADOS, según puede apreciarse in situ y en los aerofotogramas.

Una visión regional del comportamiento y distribución de estas unidades puede apreciarse en la Figura 2, que fue confeccionada a partir de aerofotogramas a escala 1:20000, del trabajo de Gerardo Parker (1979), de la imagen Landsat 2 2336-12471 [diciembre de 1975- infrarrojo compuesto] y de observaciones de campo.

6.- GEOELECTRICA Y GEOMORFOLOGIA

Dada la íntima relación entre las unidades morfológicas y la hidrogeología y la total correspondencia de los resultados geoelectrivos con la descripción antes mencionada, se dedica este apartado a presentar las curvas de campo correspondientes a cada unidad en particular. Desde el punto de vista del estudio, la unidad MEDANO es la más importante por sus cualidades acuíferas, por lo que sobre ésta fueron concentradas el 85% de las mediciones.

En la figura A se presentan curvas de campo correspondientes a la zona de Santa Teresita. Comparando G3 con G6, se observa una caída más rápida de los valores de resistividad para la curva medida sobre los CORDONES ALINEADOS, diferencia atribuida a los espesores arenosos de la unidad MEDANO, sólo presente en G3. La curva G1 es similar a la G3 salvo en los primeros puntos, hecho que evidencia la salinización superficial por acción directa de la proximidad del agua de mar.

En la figura B se eligieron curvas de sondeos situados sobre la unidad MEDANO, a lo largo de toda la zona estudiada. Estas corresponden a San Clemente (A5), Las Toninas (E2), Aguas Verdes (I4), Nueva Atlantis (M3), Acceso a Punta Médanos (P6), y perfil R (R3). El objeto es mostrar como se refleja en las mediciones el aumento de la potencia de la unidad MEDANO hacia el sur. Esta característica se aprecia bien en el corrimiento progresivo que ex-

resistividad aparente (ohm·m)

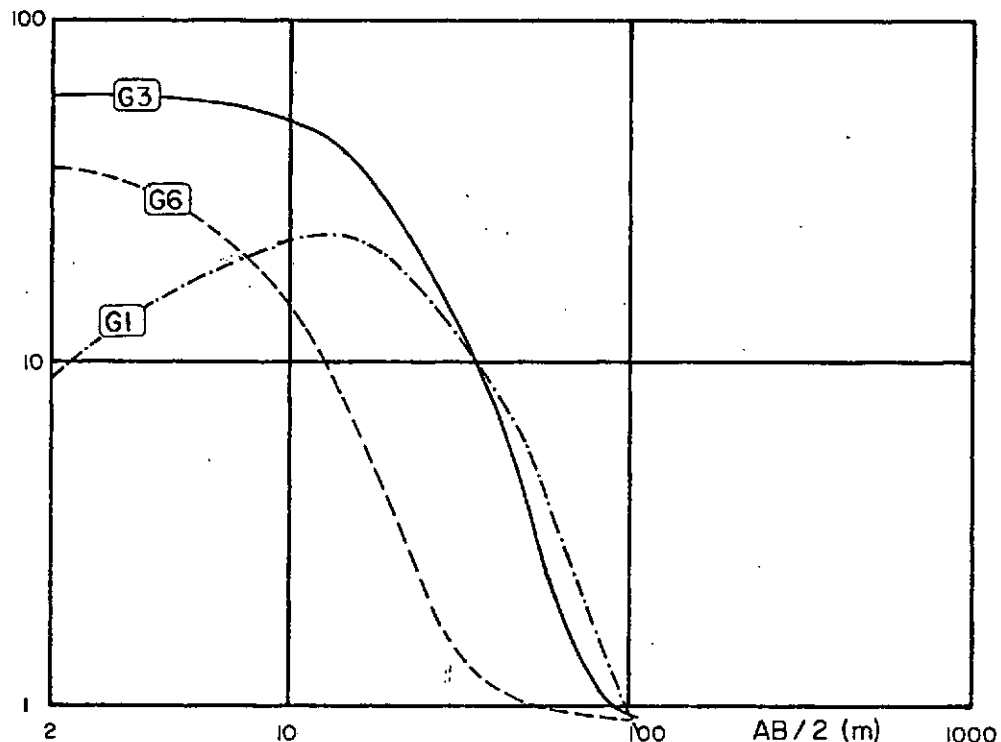


figura A

resistividad aparente (ohm·m)

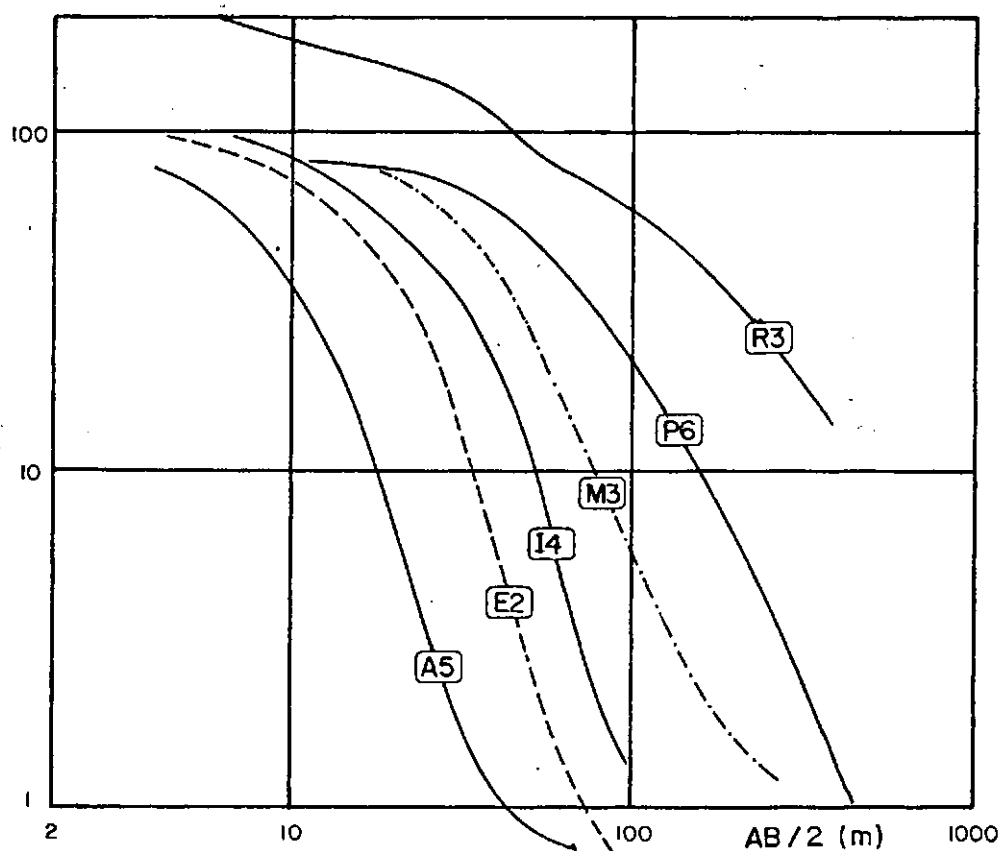


figura B

resistividad aparente ($\text{ohm}\cdot\text{m}$)

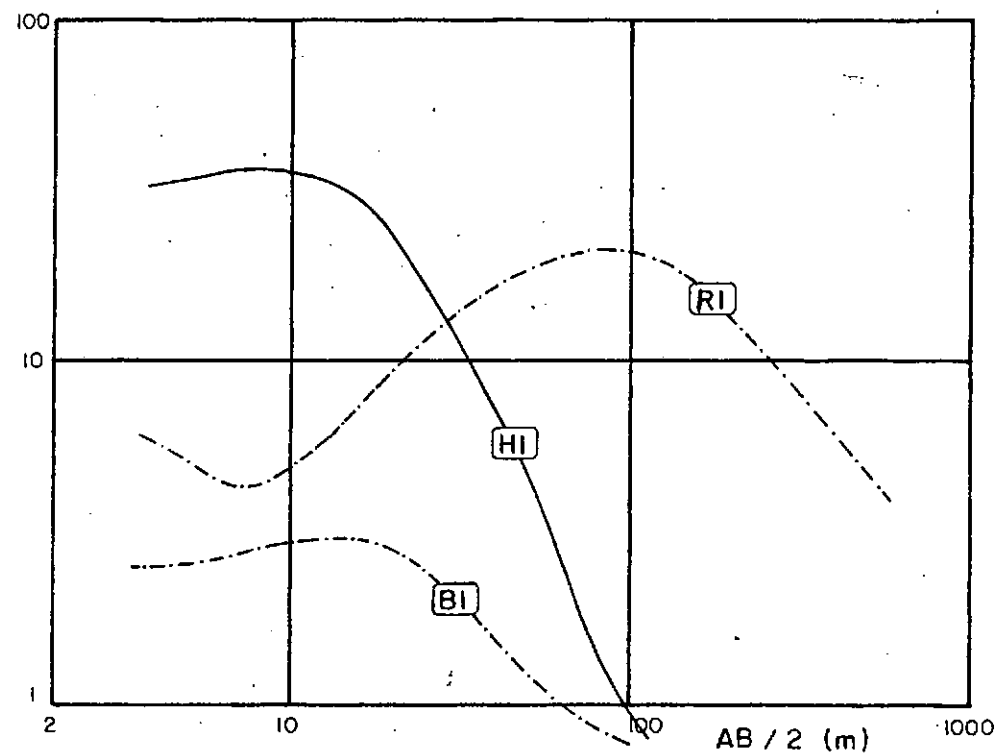


figura C

permitan las curvas en esa dirección.

En la Figura C se comparan tres curvas representativas de la unidad PLAYA. Corresponden a San Clemente (B1), Mar del Tuyú (H1), y perfil R (R1). En estas tres curvas, nuevamente aparecen las bajas resistividades superficiales debidas al fenómeno ya mencionado de salinización por acción directa de la proximidad del agua de mar. Las curvas H1 y B1 presentan formas muy similares diferenciándose solamente en el valor del máximo, lo que pone de manifiesto, aún en condiciones geomorfológicas idénticas, la influencia del mayor desarrollo vertical de los medios costeros. La curva R1 tiene una forma sustancialmente diferente con un gran máximo corrido hacia valores más altos de AB/2. La interpretación mostrará que esto se debe a la aparición de una lente muy resistiva a unos 10 m de profundidad.

Las curvas mostradas en estas tres figuras así como la mayoría de las mediciones (Anexo V) se aproximan asintóticamente a valores de resistividad que oscilan entre 0.4 y 1.2 ohmios-metro. Dicho comportamiento pone de manifiesto la existencia en toda la zona de un sustrato conductor cuya configuración se procura obtener.

El marcado ensanchamiento de la unidad MEDANO a partir de San Bernardo-Aguas Verdes (Figura 2) se pone de manifiesto en los perfiles geoelectricos como un mayor desarrollo lateral y profundización de las capas resitivas (Gráficos 1 a 4a) y en los mapas de isolíneas (Gráficos 5 a 13).

De acuerdo a este hecho, conviene separar los perfiles en dos grandes grupos:

GRUPO I : Perfiles A,B,C,D,E,F,G y H.

GRUPO II: Perfiles I,J,K,L,M,O,P,Q y R.

7.- PERFILES GEOELECTRICOS

Los perfiles de los gráficos 1 a 4a se confeccionaron agrupando en rangos de resistividad las capas que surgieron de la interpretación de los sondeos. Estos rangos son los siguientes:

$\rho > 100$
$40 < \rho < 100$
$15 < \rho < 40$
$1.5 < \rho < 15$
$\rho < 1.5$

Los rangos de resistividad adoptados son arbitrarios y responden en gran medida, a una fácil visualización de los resultados obtenidos. No obstante existen criterios de selección de éstos, vinculados, de alguna manera, al método geoeléctrico; ejemplo de ello es el valor adoptado de 1.5 ohmios-metro que, como se verifica en casi la totalidad de las curvas levantadas (Anexo V), marca la aproximación asintótica a los valores del sustrato conductor.

Para su representación gráfica, los parámetros geoeléctricos se refirieron al nivel topográfico. La altimetría fue obtenida de las cartas de la Dirección de Geodesia, y donde no se disponía de éstas se efectuó una nivelación expeditiva.

GRUPO I

Perfiles A y B

Fueron levantados a partir de sondeos con AB de 100 a 400 metros, y se caracterizan por los reducidos espesores de las capas resitivas que no superan los 8 m.. Este resultado está muy bien correlacionado con las perforaciones de la zona (Dirección Nacional de Minería, 1952), que dan espesores entre 5 y 8 m. de arenas y, subyaciendo a éstas una capa de 10 a 15 m. de limos arcillosos. Por otra parte, de las consultas efectuadas a los pobladores, se determinó que la extracción de agua se realiza a profundidades que no superan los 5 m..

Perfiles C y D

Aquí no se cuenta con información litología. Sin embargo en el perfil C, con sondeos de 80 a 320 m. de AB, queda muy bien definido un contraste resistivo a unos 10 m. de profundidad (ej. 39/0.5 ohmios-metro), y suprayaciendo a éste una gradualidad atribuible a la calidad del agua de saturación. El perfil D tiene mejores contrastes (110/0.5 ohmios-metro) y muestra en general un incremento de los espesores resitivos debido probablemente a mayores profundidades de saturación con agua dulce.

Perfiles E y G

Los sondeos aquí miden entre 130m. y 400m. de AB, y se caracterizan por potencias en las capas resitivas de unos 15 m., con un buen contraste de resistividades (50/0.6 ohmios-metro), que se correlaciona con la presencia de arci-

lla plástica subyacente al espesor de arena de unos 14 m entre los perfiles E y G (SPAR, 1983 y VIDELPO, 1974). En el último trabajo mencionado, cercano al perfil G se indica la presencia de horizontes arenosos por debajo de la arcilla que se interpretan saturados con agua salada.

Perfil H

Fue levantado a partir de sondeos con AB entre 200m y 500m y tiene la característica de presentar todavía los 15 m de espesor en alta resistividad. Por debajo de ésta se ve una capa geoelectricamente intermedia de 1.5 a 15 ohmios-metro.

Se puede decir, a modo de síntesis, que el comportamiento de todos los perfiles de este grupo es homogéneo y podría vincularse con un acuífero libre saturado con agua dulce y cuyos espesores son crecientes en el sentido norte-sur, teniendo como piso una capa arcillosa que determinaría el contacto agua dulce-agua salada.

GRUPO II

Perfil I

La presencia de heterogeneidades superficiales afectaron las mediciones de campo en grado tal, que el sondeo I3 no pudo ser interpretado y sus valores están interpolados.

Ver anexo V.

En el resto del perfil, con sondeos de AB entre 130m y 500 m, los resultados obtenidos son satisfactorios. A partir de este perfil la capa de resistividad intermedia tiene mayor espesor y continuidad. Es muy claro, según el perfil longitudinal (Gráfico 4a), que es aquí donde las condiciones en profundidad comienzan a variar sustancialmente.

Perfiles J, K y L

Fueron levantados a partir de sondeos de 160m a 400 m de AB, la escasa información litológica con que se cuenta (DOS BA, 1974) para el perfil J: aparición de arcilla limosa a los 12 m de profundidad, se manifestaría en el contraste de resistividad dado por valores como 170/20 ohmios-metro.

Los perfiles K y L pueden considerarse uno solo, de longitud aproximada 10 Km, superpuesto al corte estratigráfico N° 4, pozos 15, 16 y 17 (G. Parker, 1979).

De la comparación surge que el contraste resistivo 58/2.6 ohmios-metro del sondeo L3 a los 16 m de profundidad, se

correlacionaría con la aparición del miembro Arcillas Verdes Grisáceas de la Facie La Victoria en el pozo N° 16, observándose algo similar en el sondeo K2 respecto del pozo N° 15. En el pozo N° 17 del mismo trabajo, situado 1 km al ONO del sondeo L5, aparecen algunas intercalaciones arcillosas del miembro Arcillas Verdes y su comportamiento geoeléctrico es completamente diferente al sondeo L4 [Gráfico 3 y anexo V]. Estos sondeos se ubican en unidades geomorfológicamente distintas [L4 MEDANO, L5 "Alanicie de materiales finos"] y las notorias diferencias encontrarian explicación en la influencia que la litología y geomorfología tienen sobre la cantidad y calidad de agua almacenada y sobre la geometría del acuífero. Podríamos suponer entonces, que entre estos dos sondeos se sitúa el límite occidental de lo que se llama acuífero costero, dado por la superficie de equilibrio agua dulce-agua salada continental.

Perfiles M y O

Fueron levantados a partir de sondeos con valores de AB entre 400 m y 1000 m, y muestran claramente un aumento del espesor de la capa intermedia (1.5 a 15 ohmios-metro). Se caracterizan en general por la disminución de la resistividad desde alta en superficie hasta baja en el sustrato conductor en forma gradual. La ausencia de marcados contrastes indicaría la pérdida regular de la calidad del agua con la profundidad, aunque esto último no pudo ser correlacionado aún con ningún tipo de información. En la zona correspondiente a estos perfiles resultan aventuradas las correlaciones pues solamente contamos con el pozo N° 11 [G. Parker, 1979] situado en las proximidades del medano costero del perfil O. En este pozo la estratigrafía es: 6 m de arena, grava y conchilla; por debajo, arcillas verdes de 8 m de espesor, y subyaciendo a éstas, las arcillas de la facie Oriental. El corte geoeléctrico correspondiente al sondeo O1 presenta un paquete de alternancias de alta y baja resistividad [Gráfico 3] y debajo de éste, un buen contraste (50/5 ohmios-metro), aumentando desde allí a valores de 15 ohmios-metro para luego terminar en el sustrato conductor.

Como dato curioso, este sondeo presenta un importante sur-

mento de la resistividad sobre los últimos puntos (Anexo V). Esto podría deberse a la presencia de una capa resistiva subyacente al sustrato conductor.

Perfiles P, Q y R

Fueron levantados a partir de sondeos que tienen entre 400 m. y 1000 m. de A8, y caracterizan la zona de grandes espesores. Esto puede apreciarse en el Gráfico 4, donde el paquete de resistividades mayores que 15 ohmios-metro llega a medir 120 m.

El perfil P presenta un comportamiento regular en la distribución de la resistividad, que disminuye gradualmente con la profundidad, y a pesar de tener una longitud de 4.5 km no llega al límite occidental del acuífero costero.

Los perfiles Q y R presentan características similares al anterior, excepto por la presencia de un buen contraste resistivo (105/35 ohmios-metro en Q4 y 180/65 ohmios-metro en R3) que correspondería a la aparición de arcillas entre los 15 y 20 m de profundidad (VIDELA NADEO, 1982).

El sondeo Q4 fue medido sobre un afloramiento freático y los valores interpretados dan un espesor de 2 m con resistividades comprendidas entre 400 y 3300 ohmios-metro. En el área del perfil R se cuenta con la información de los pozos N° 6 y 7 del informe de Parker que para la zona costera muestran la aparición de la facie Pinamar (arena media a gruesa y abundantes bivalvos de tamaño medio y gravas) que se manifestaría tanto en el perfil R como en el Q, en el rango de resistividades entre los 170 y los 270 ohmios-metro. Esta capa se ve claramente en el Gráfico 4a y, según el autor se extendería hasta el perfil P, aunque los resultados obtenidos no lo manifiestan. Además, de acuerdo a las curvas de campo Q1 y R1 esta capa de alta resistividad con un espesor de 6m tendería a penetrar bajo el mar. Subyaciendo a la mencionada capa vemos otra muy potente de 65 ohmios-metro, cuyo techo lo da el contraste 190/65 ohmios-metro, que se correlacionaría con la aparición de pelitas de la facie Oriental saturadas con agua dulce.

Se destaca, nuevamente, que la profundidad de estudio de los pozos con que se cuenta no es suficiente para estable-

cer una completa parametrización de los sondeos; no obstante las curvas Q3, Q4 y Q5 fueron medidas junto a los pozos 7N, 28N y 23N de Videla Nadeo respectivamente, y los sondeos R2 y R3 junto a los pozos 7S y 23S de los que no se cuenta con información.

Perfil Longitudinal

En el Gráfico 4a se presenta un perfil paralelo a la costa a lo largo de toda el área prospectada. Para su confección fueron seleccionados aquellos sondeos de cada perfil transversal con mayor valor de T (resistencia transversal unitaria). Tales sondeos fueron indicados junto con el nombre del perfil correspondiente. Se desecharon criterios de tipo geomorfológico por presentar ambigüedad en la selección de sondeos.

Por razones de presentación se adoptó, para este perfil, una escala horizontal menor que en los restantes, manteniéndose sin modificaciones la escala vertical.

8.- DESCRIPCION DE MAPAS

Para reflejar el comportamiento regional de lo presentado en los perfiles, se confeccionaron los siguientes mapas en escala aproximada 1:52000:

- 8.1.- ISOBATAS del sustrato conductor de 1.5 ohmios-metro (Gráficos 5, 6 y 7)
- 8.2.- ISOPACAS de las capas con resistividad mayor que 15 ohmios-metro (Gráficos 8, 9 y 10)
- 8.3.- ISOLINEAS de resistencia transversal unitaria T , de las capas superiores al sustrato conductor (Gráficos 11, 12 y 13)

Las isolíneas de dichos mapas resultan de la interpolación entre perfiles distanciados en promedio unos 5 km. La distinta densificación de medidas utilizadas entre la dirección perpendicular y paralela a la costa obedece a que era esperable encontrar, y así fue confirmado, una más rápida variación de los parámetros geoelectrivos en el sentido transversal respecto del paralelo. Conviene aclarar que los sondeos B6, B7, F1, F3 y G5, se ubican en lo que se llamó unidad CORDONES ALINEADOS y por lo ya mencionado en la descripción geomorfológica, sus características geoelectricas varían rápidamente en la dirección perpendicular a los cordones. Este he-

cho tornó insuficiente el muestreo elegido, optándose por no graficar las isolíneas ya que no representarían las condiciones reales de la zona. Por este motivo las isolíneas que se encuentran en la zona del ensanchamiento de la unidad MEDANO (Gráficos 6, 9 y 12) y que "atravesarían" la unidad CORDONES ALINEADOS se dibujaron en líneas cortadas.

8.1.- Isobatas del sustrato conductor.

El mapa está basado en la interpretación cuantitativa de las curvas de campo, es decir en el llamado Corte de Resistividad Verdadera. Al punto donde se hizo cada sondeo se le asigna un valor igual a la suma de los espesores de las capas suprayacentes al sustrato conductor de 1.5 ohmios-metro; partiendo de estos valores se trazan las líneas de igual profundidad del mencionado sustrato.

En lo que hace al comportamiento regional, la isobata de mayor valor en el norte es de 15 m (San Clemente), mientras que al suroeste de Punta Médanos es la de 140 m. A su vez comparando el mayor desarrollo lateral de las isobatas a partir del perfil I, con el bosquejo geomorfológico de la Figura 2, queda de manifiesto la estrecha relación que la profundidad del sustrato conductor guarda con la presencia de la unidad MEDANO:

8.2.- Mapa de isopacas

Se trata de la representación de las líneas que unen puntos de igual espesor que surge de agrupar todos los horizontes de las capas que tienen un valor de resistividad mayor o igual que 15 ohmios-metro.

La confección de este mapa tiene sentido debido a que como comportamiento regional los valores de resistividad disminuyen con la profundidad y, de acuerdo a esto, su morfología es muy similar a la del mapa de isobatas.

La regularidad y suavidad de las isolíneas reflejan una homogeneidad y presencia de este paquete en toda la región. La diferencia entre estos mapas y los anteriores es la capa intermedia de 1.5 a 15 ohmios-metro y es su presencia irregular y esporádica la que hace que los mapas anteriores fueran más tortuosos.

En este mapa se pudieron graficar las isolíneas en el perfil R debido a que la longitud de los sondeos permitió de-

finir correctamente este paquete. Esto no fue posible en los mapas anteriores por estar el sustrato conductor considerablemente más profundo que la interfase de 15 ohmios-metro.

8.3.- Mapa de resistencia transversal unitaria, T

Es la representación de las líneas que unen puntos de igual valor de este parámetro (T) del paquete de capas que está por encima del sustrato conductor.

La resistencia transversal unitaria de una capa dada, se define como el producto entre su resistividad y espesor:

$$T = \rho \cdot E \text{ (ohmios-m\textsup2)}$$

Este parámetro corrobora los resultados de los mapas anteriores, pues los espesores y profundidades volcados en éstos provienen de la interpretación cuantitativa. Esta ofrece soluciones algo distintas para una misma curva de campo, mientras que cualquier solución correcta, debe tener el mismo valor de T, por lo que el grado de ambigüedad de este parámetro es mucho menor.

Por otra parte la experiencia recogida durante la medición indica que el nivel freático está por lo general próximo a la superficie; es decir que casi la totalidad de las capas investigadas se encuentran saturadas. En consecuencia, para la interpretación de este mapa debe considerarse que las causas que dan lugar a altos valores de T son:

- Resistividades elevadas, debidas a bajo contenido salino del agua de saturación, o a bajo contenido de materiales pelíticos.
- Grandes espesores, ya que T es el producto de resistividad y espesor.

De esto se desprende que los valores de T dan cuenta, en primera aproximación, de la potencialidad relativa de las distintas áreas, entendiéndose por tal una conjunción de factores vinculados a la existencia de reservas de agua de buena calidad.

Para los cálculos de T, no fueron tenidos en cuenta pequeños horizontes superficiales altamente resistentes, probablemente no saturados y en muchos casos correspondientes a terraplenes de calles y caminos que, sin tener importancia para este trabajo oscurecen los resultados produciendo zo-

nas anómalas. Este criterio no significa , de manera alguna, que el conocimiento de la distribución de resistividades superficiales no sea de interés para otros aspectos de la investigación hidrogeológica, como ser la determinación de zonas de mayor permeabilidad superficial y su relación con la recarga, etc..

Los valores de T medidos y adoptados pueden verse en el Anexo II.

9.- CONCLUSIONES PRELIMINARES

- I.- El método del Sondeo Eléctrico Vertical mostró eficiencia para delimitar, claramente y en casi la totalidad del área prospectada, el sustrato conductor. Su profundidad varía entre unos pocos metros en el área de San Clemente y más de 150 m. en la zona de grandes médanos al SO de Punta Médanos. Aunque no pudo establecerse la potencia de la capa conductora, consideraciones relacionadas con la interpretación, permiten afirmar que, salvo variaciones de poca significación, su espesor no sería menor que 200 m..
- II.- Este sustrato debe ser considerado límite inferior de la zona productiva de agua potable, dado que sus muy bajas resistividades (entre 0.4 y 1.2 ohmios-metro) son un claro indicio de que, cualquiera sea la tipificación litológica de los horizontes involucrados, su agua de saturación es de elevada salinidad.
- III.- Aunque la información existente relativa a las variaciones litológicas verticales es escasa, de acuerdo a la que se cuenta se puede resumir el perfil regional en: un manto superior de arenas con conchillas y gravas (actual y antiguas barreras litorales) que se apoyan sobre horizontes de materiales predominantemente pelíticos. El contacto entre ambos se encuentra a profundidades que oscilan entre 5 y 7 m en San Clemente y 20 m en el sur. Este cambio litológico se correspondería en la zona norte (San Clemente- Mar del Tuyú) con los marcados contrastes de la resistividad que determinan el sustrato conductor. En la zona sur no se detecta, en correspondencia con él, un contraste definido, observándose en cambio entre la base de

los horizontes arenosos y hasta la aparición del sustrato conductor, una disminución gradual de la resistividad.

IV.- Como ya fue mencionado, la unidad geoelectrónica de alta resistividad (170/270 ohmios-metro) y de geometría definida presente entre las cotas +5 m y -10 m en los perfiles Q y R, tendría buena correlación con la lente de arenas medianas con grava y abundantes conchillas, que Parker señala como Facie Pinamar (barrera litoral de edad pleistocena). Teniendo en cuenta que los puntos donde se efectuaron las mediciones presentaban afloramiento del nivel freático, lo que asegura la saturación de la capa investigada, se podría decir que su alta resistividad, comparada con las arenas de similar emplazamiento más al norte, como la facie Mar de Ajó también sugerida por Parker, podría deberse a dos factores:

- Menor contenido de sales en el agua de saturación.
- Mayor granulometría y mejor selección (es decir, escaso o ningún contenido pelítico).

La primera aparece como poco probable. La segunda, que en buena medida está corroborada por las descripciones litológicas implicaría una alta permeabilidad, la que favorecería la recarga de esta zona. Esta última hipótesis, sin dejar de contemplar la máxima altura alcanzada por los mareas del área y las consiguientes cargas hidráulicas, está apuntalada por la presencia de potentes y resistentes capas geoelectráticas de hasta 75 m de espesor y, 65 y 105 ohmios-metro de resistividad, que se emplazan exactamente por debajo de la capa de alta resistividad mencionada.

De lo expuesto y en particular del punto III, puede decirse que:

- a) En la zona comprendida entre San Clemente y Mar del Tuyú, las reservas hídricas subterráneas están limitadas a un acuífero libre, que arealmente no se extiende mucho más allá de la faja medanosa, y cuya profundidad está acotada por la presencia de materiales pelíticos. Se puede afirmar, extendiendo a esta zona lo manifestado por Sala y otros (1976), que los horizontes subyacentes a estos niveles carecen de interés como reserva, sea cual fuere su constitución litológica, merced a que los bajos valores de resistividad presentes indican una

saturación con aguas de alto contenido salino de origen marino o continental.

- b) En el área sur, de Aguas Verdes hasta el límite del estudio, el acuífero exhibe una mayor extensión areal y buen desarrollo vertical como consecuencia directa de la morfología y distribución de la unidad medanosa. Además, no debe descartarse la posibilidad de la existencia de acuíferos dulces con cierto grado de confinamiento, en virtud de que por debajo de las capas pelíticas mencionadas en III, las resistividades obtenidas, si bien menores a las que caracterizan el acuífero superficial, inducen a pensar en aguas de saturación de relativamente buena calidad.

La diferencia entre las zonas norte y sur del área estudiada está claramente relacionada con las características geomorfológicas de ambas. No obstante, cabe recordar que este comportamiento natural distintivo podría verse acentuado, de alguna manera, por la presencia de importantes asentamientos urbanos en el área San Clemente- Mar de Ajó, y por sus consiguientes efectos.

10.- RECOMENDACIONES

Para dar al modelo geoelectrónico presentado una mejor parametrización y hacerlo compatible con un modelo geológico, se sugiere hacer perforaciones de exploración con muestreo litológico e hidroquímico. De hacerse éstas los lugares y profundidades convenientes serían:

- entre San Clemente y Las Toninas, profundidad 20 m.
- entre San Bernardo y Mar de Ajó, profundidad 40 m.
- entre Nueva Atlantis y Punta Médanos, profundidad 100 m.
- al sur de Punta Médanos, profundidad mayor que 100 m.

11.- PLAN DE TAREAS PARA LA SEGUNDA ETAPA

En virtud de que las conclusiones preliminares son del conocimiento de los técnicos del C.F.I. que participan de las tareas de exploración hidrogeológica, y de común acuerdo con ellos, el programa de tareas para la segunda etapa a ser ejecutada a partir del mes de septiembre, es el siguiente:

- Extensión de los perfiles hechos y agregar otros en la zona entre Mar de Ajó y perfil R.

BIBLIOGRAFIA

- BONINI, L. (1980) - Delimitación de lentes de agua dulce por métodos geoelectricos en la localidad de Devoto de la Provincia de Córdoba. INCYTH - Cuaderno N 11.
- DIRECCION NACIONAL DE MINERIA (1952) - Memoria Final de perforaciones en San Clemente del Tuyú. - Expediente 111.987/50.
- O.O.S.B.A. (1974) - Perforaciones de explotación N 1 y N 2 en San Bernardo. Videlpo - Expediente 2408-19959/72.
- GONZALEZ ARZAC, R. (1984) - Pozos de exploración de fuentes de aguas subterráneas (Santa Teresita). Informe Final - Namex S.R.L.
- HERRERO DUCLOUX, J.; BONINI, L. (1982) - Prospección geoelectrónica en la futura zona de ubicación del Puerto de Aguas Profundas- Punta Médanos- Provincia de Buenos Aires - Geoprospec.
- ORELLANA, E. (1982) - Próspección geoelectrónica en corriente continua. Segunda edición. Paraninfo.
- ORELLANA, E.; MOONEY, H. (1966) - Tablas y curvas para Sondeos Eléctricos Verticales. Interciencia - Madrid.
- DIAS UCHA, E. - Programa de interpretación automática para Sondeos Eléctricos Verticales.
- PARKER, G. (1979) - Geología de la planicie costera entre Pinamar y Mar de Ajó, Provincia de Buenos Aires. Revista de la Asociación Geológica Argentina - Tomo 34 - N 3 - Pags. 167-183.
- SALA, J.; GONZALEZ, N.; HERNANDEZ, M. (1976) - Factibilidad de provisión de agua potable a la localidad de San Clemente del Tuyú. Cátedra de Hidrogeología de la Facultad de Ciencias Naturales y Museo (inédito).
- VAN DAM, J.; MEULENKAMP, J. (1967) - Some results of the Geoelectrical Resistivity Method in ground water investigations in The Netherlands. Geo-

physical Prospecting - Vol. 15 - Págs. 82-
115.

VIDELA-NADEO (1982) - Estudio geotécnico de la zona de Punta Mé
danos. Etapa III. Emplazamiento norte.

VIDELFO S.C.A. (1974) - Perforaciones en Santa Teresita. Expe--
diente 2408-19859/72.

ANEXO I

ANEXO IPLANILLA DE UBICACION DE SONDEOS

SEV UBICACION Y REFERENCIAS

SAN CLEMENTE

- A1 Playa, sobre el mar
 A2 100 m. al N de avenida IX, 150 m. al O de A1
 A3 Avenida IX esq. 49
 A4 Avenida IX y calle 8
 A5 Avenida IX y acceso al Faro San Antonio
 A6 Sobre calle de acceso al puerto , esq. 51
- B1 Playa, alineado a calle 78
 B2 Calle 78 y costanera. Sobre médano costero
 B3 Calle 18, 80 m. al S de calle 78
 B4 Calle 78 esq. 8
 B5 Avenida 17 entre 77 y 79
 B6 Avenida 18 y calle 79

EL TALA

- C1 Playa
 C2 Sobre médano costero, 200 m. de línea costera
 C3 Sobre segunda línea de médanos, 700 m. de la costa
 C4 Sobre ruta Interbalnearia

LAS TONINAS

- D1 Boulevard Norte y la playa
 D2 Boulevard Norte y calle 1, 25 m. al O
 D3 Boulevard Norte y calle 11, 30 m. al O
 D4 Avenida 23 y calle 6
 D5 Avenida 14 a 220 m. de ruta Interbalnearia

- E1 Calle 50 y la playa
 E2 Calle 50 y Costanera
 E3 Calle 50 y calle 11
 E4 Calle 50 y calle 25
 E5 100 m. al E de Interbalnearia y 200 m. al S de calle 50

SANTA TERESITA

- F1 Acceso Sta. Teresita, 500 m. al O. de ruta Interbalnearia
 F2 Acceso Sta. Teresita, 1000 m. al O. de ruta Interbalnearia
 F3 A Acceso Sta. Teresita, 2000 m. al O. de ruta Interbalnearia

MAR DEL TUYU

- G1 Calle 54 y la Playa
 G2 Calle 54 y calle 1 (60 m. al S.)
 G3 Calle 54 y calle 5 (20m. al S.)
 G4 Calle 54 y calle 9 (15 m. al E.)
 G5 Calle 54 y calle 14
 G6 Prolongación calle 54 y Autódromo
- H1 Calle 94 y Playa (pie de médano)
 H2 Calle 94 y calle 2 (15 m. al N.)
 H3 Calle 94 y calle 5
 H4 Calle 94 y calle 9
 H5 Calle 94 y calle 13 bis
 H6 Calle 94 y ruta Interbalnearia

AGUAS VERDES

- I1 Playa. Alineado con la calle "Destructor San Juan"
 I2 Calle "Destructor San Juan" a 150 m. de la Playa (sobre médano)
 I3 Calle "Dest. San Juan", 50 m. al ONO de la Av. "Cruc. Gral Belgrano"
 I4 Calle "Dest. San Juan" esquina "submarino Santa Fe"
 I5 Calle "Dest. San Juan", 30 m. al ONO de "Rastreador Seaver"

COSTA AZUL

- J1 Avenida "J. Hernández" y la playa
 J2 Avenida costanera, 25 m. al N de "J Hernández"
 J3 Avenida "J. Hernández" y "Santiago del Estero" (25 m. al S)
 J4 Avenida "J. Hernandez" y "Gaboto" (25 m. al N)
 J5 Una cuadra al S de "J. Hernández" y 500 m. al N de J4
 J6 Una cuadra al S de "J. Hernández" y 200 m. al E de la ruta

MAR DE AJO

- K1 Calle "Ramos Mejía" y la playa
 K2 Calle "Ramos Mejía" y costanera (30 m. al N)
 K3 Calle "Ramos Mejía" esquina "Mitre" (20 m. al S)
 K5 Alineado con "Ramos Mejía", 500 m. al N de la usina
 K6 Alineado con "Ramos Mejía", 100 m. al E de la ruta

- L1 Camino a Madariaga, a 1 km. de la Interbalnearia
 L2 Camino a Madariaga, a 2 km. de la Interbalnearia
 L3 Camino a Madariaga, a 3.5 km. de la Interbalnearia
 L4 Camino a Gral Lavalle, 300 m. al N de la esquina Pavón
 L5 Camino viejo a Madariaga, a 1.5 km. del cruce con camino a Lavalle

NUEVA ATLANTIS

- M1 Avenida "Roldán" y playa
 M2 Avenida "Roldán" esquina "Quinteros"
 M3 Avenida "Roldán" esquina "Kramer"
 M4 Avenida "Roldán" y avenida "Chascomús"
 M5 Avenida "Roldán" 700 m. al E de la ruta
 M6 Avenida "Roldán" 250 m. al E de la ruta

RINCON DE COBO

- O1 Senda de acceso a la playa, a 100 m. del mar
 O2 Senda de acceso a la playa, 100 m. al E del casco del haras
 O4 Entrada al haras, a 1 km. al E de la ruta
 O5 Frente a la entrada a Rincón de Cobo, al oeste de la ruta

PUNTA MEDANOS

- P1 250 m. al SE del playón y 100 m. del mar
 P2 Acceso al playón, intersección con el acceso al faro
 P4 Acceso al playón, 1 km. al NO del acceso al faro
 P5 Acceso al playón, 800 m. al SE de la Interbalnearia
 P6 Continuación del acceso al playón, 700 m. al NO de la ruta

ANEXO II

PLANILLA DE VALORES DE RESISTENCIA TRANSVERSAL UNITARIA "T"

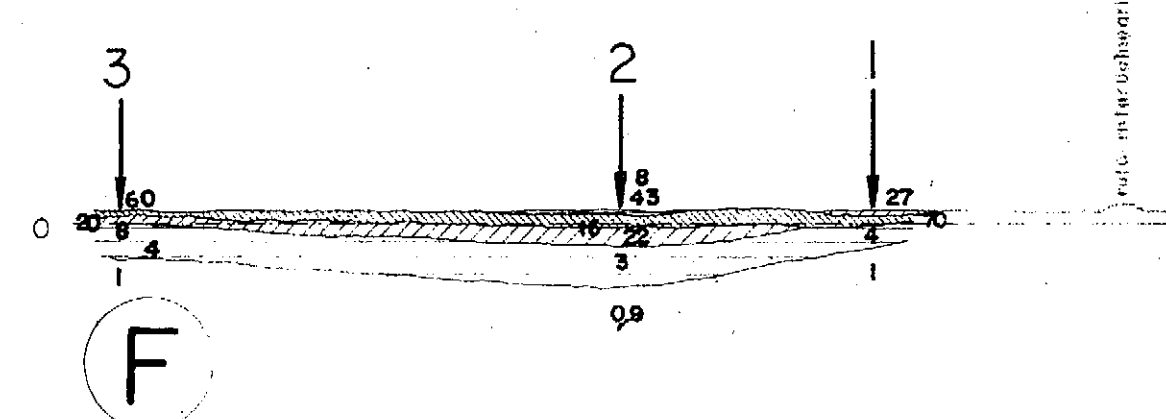
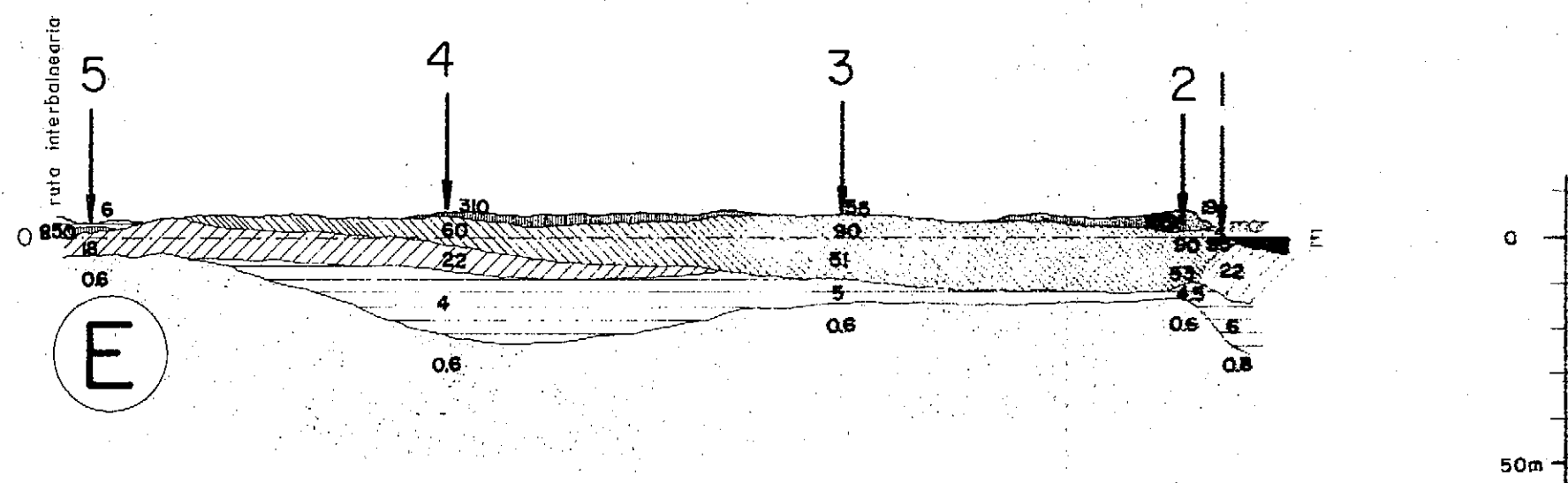
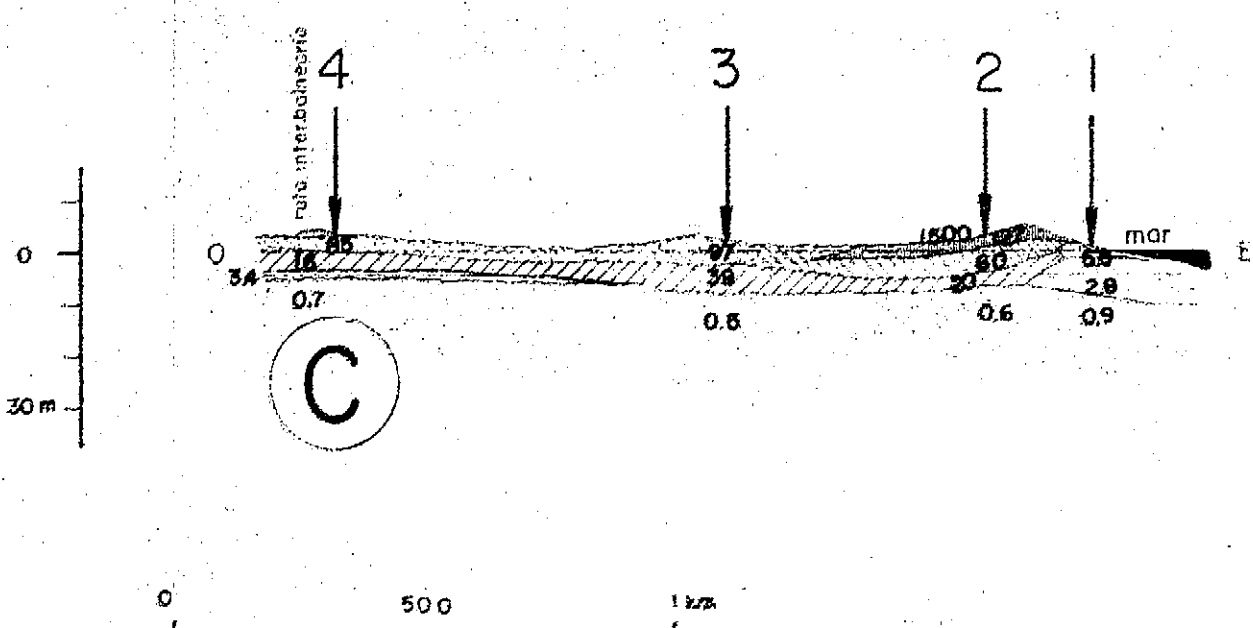
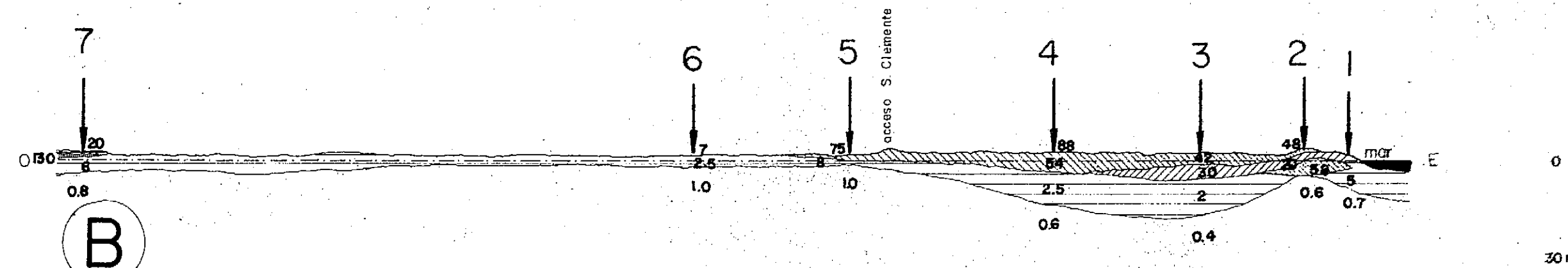
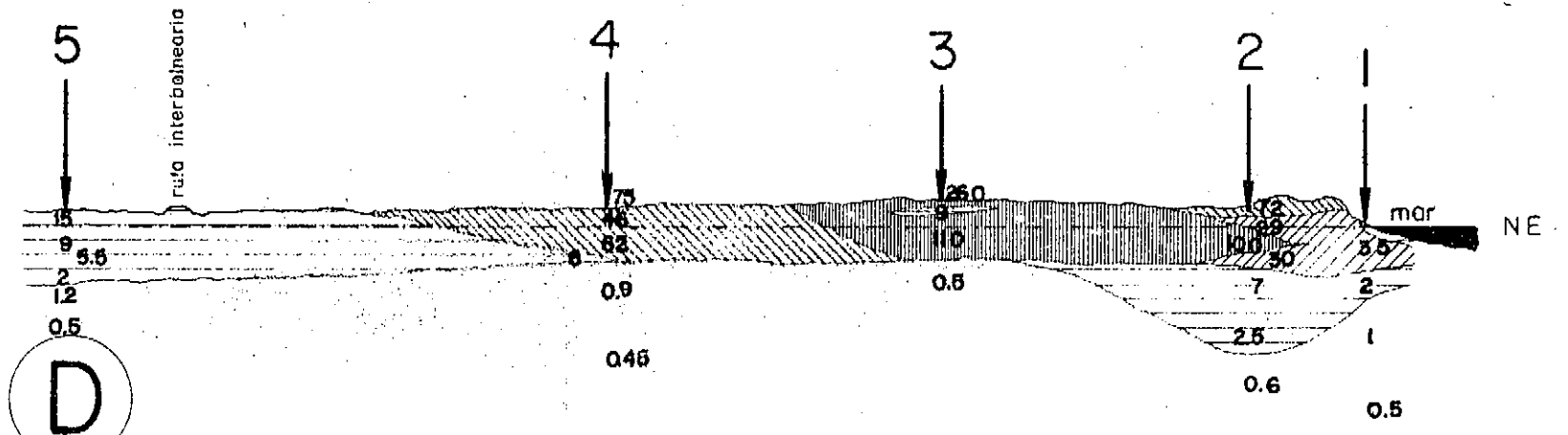
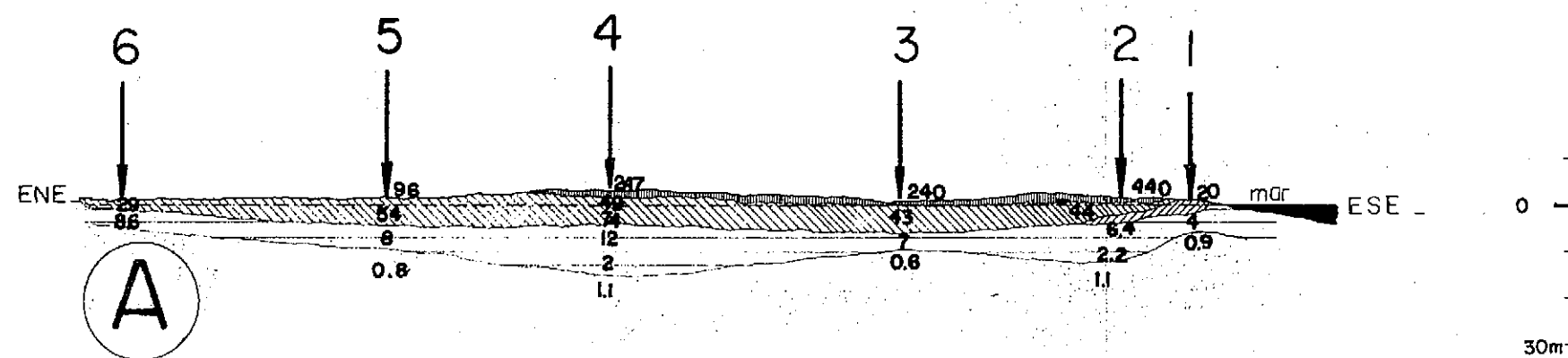
A1	34	F3	92	L1	1172	
A2	418	G1	372	L2	808	
A3	368	G2	858	2013	L3	1464
A4	441	G3	686	L4	680	
A5	455	G4	623	L5	5	
A6	104	G5	273	M1	683	
B1	48	G6	195	M2	1591	
B2	359	H1	187	M3	2022	
B3	302	H2	414	M4	1892	
B4	409	H3	902	M5	1736	
B5	128	H4	1277	M6	1894	
B6	10	H5	1011	O1	884	
B7	162	H6	516	O2	1682	
C1	36	I1	477	O3	2797	
C2	646	I2	1090	O4	2328	2838
C3	651	I3		P1	2027	
C4	250	I4	1374	P2	2582	4787
D1	280	I5	455	P3	3069	
D2	764	J1	61	P4	3240	
D3	950	J2	1743	P5	3650	
D4	572	J3	1462	Q1	1809	
D5	139	J4	1608	2658	Q2	4240
E1	508	J5	1421	Q3	4016	
E2	1062	J6	897	Q4	6005	8355
E3	902	K1	344	Q5	3723	
E4	800	K2	800	2348	R1	2736
E5	333	K3	1787	2102	R2	5537
F1	183	K5	1631	R3	10000 #	
F2	222	K6	1109	R4	5969	

En los sondeos donde figuran dos valores, el segundo corresponde al valor de T que se obtiene sin filtrar las capas superficiales anómalas.

: valor aproximado por no tener definido el sustrato conductor.



ANEXO III



CONVENIO C.F.I.-U.N.L.P.

EVALUACION DE LOS RECURSOS HIDRICOS SUBTERRANEOS DE LA REGION COSTERA DE LA PROVINCIA DE BUENOS AIRES

PROSPECCION GEOELECTRICA

Perfiles A,B,C,D,E,F

Medición, interpretación y dibujo:
AINCHIL, Jerónimo
GIUSSO, Marcelo
MACRIS, Norma
TAVELLA, Hugo

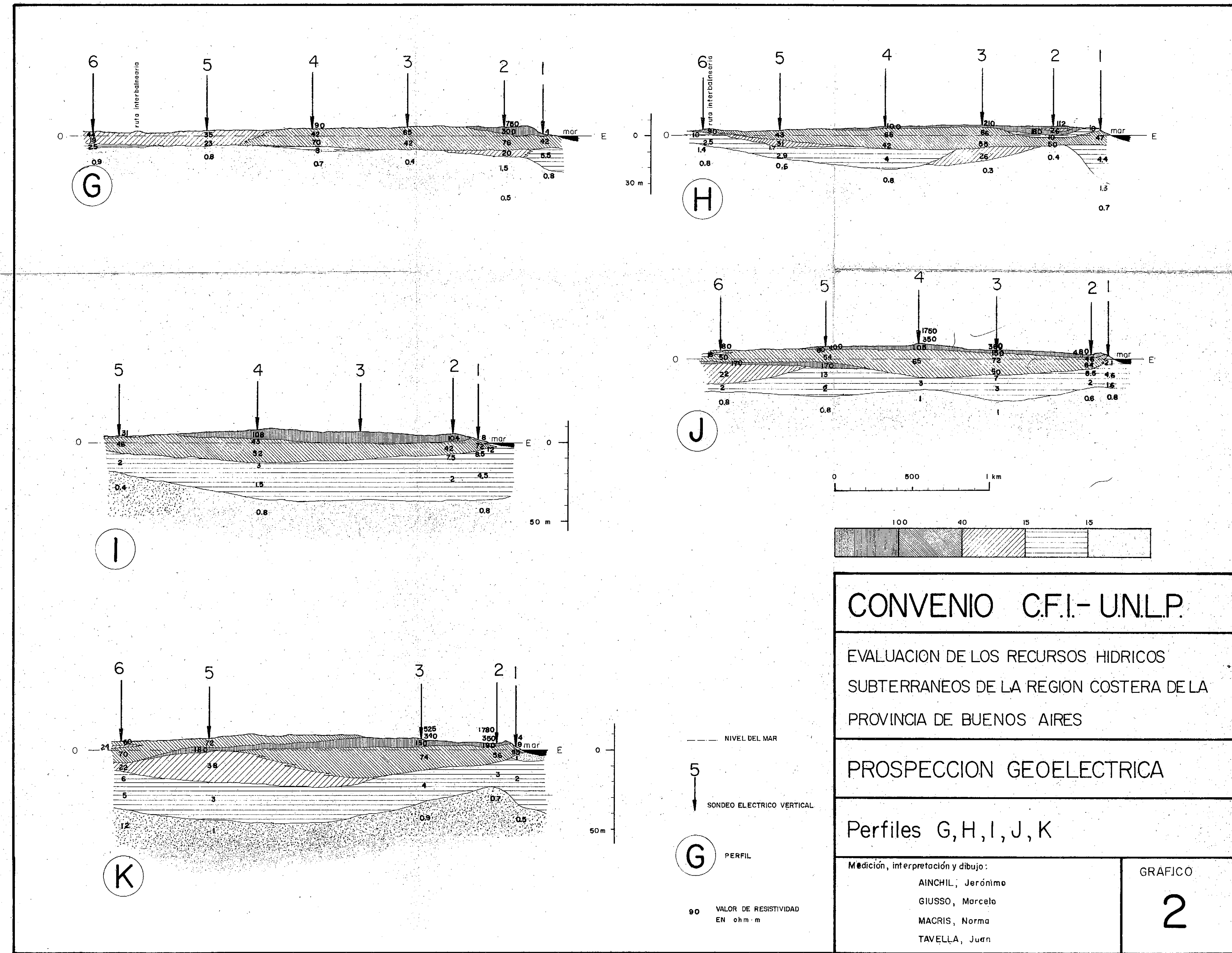
物理·化学·生物

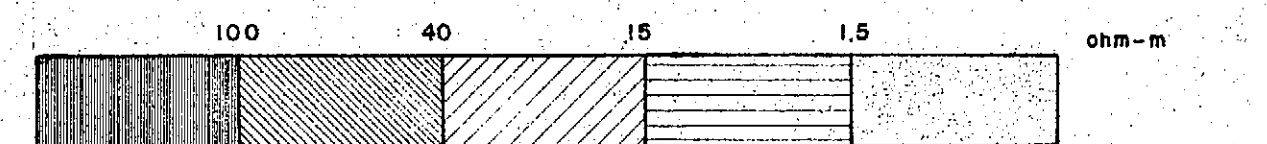
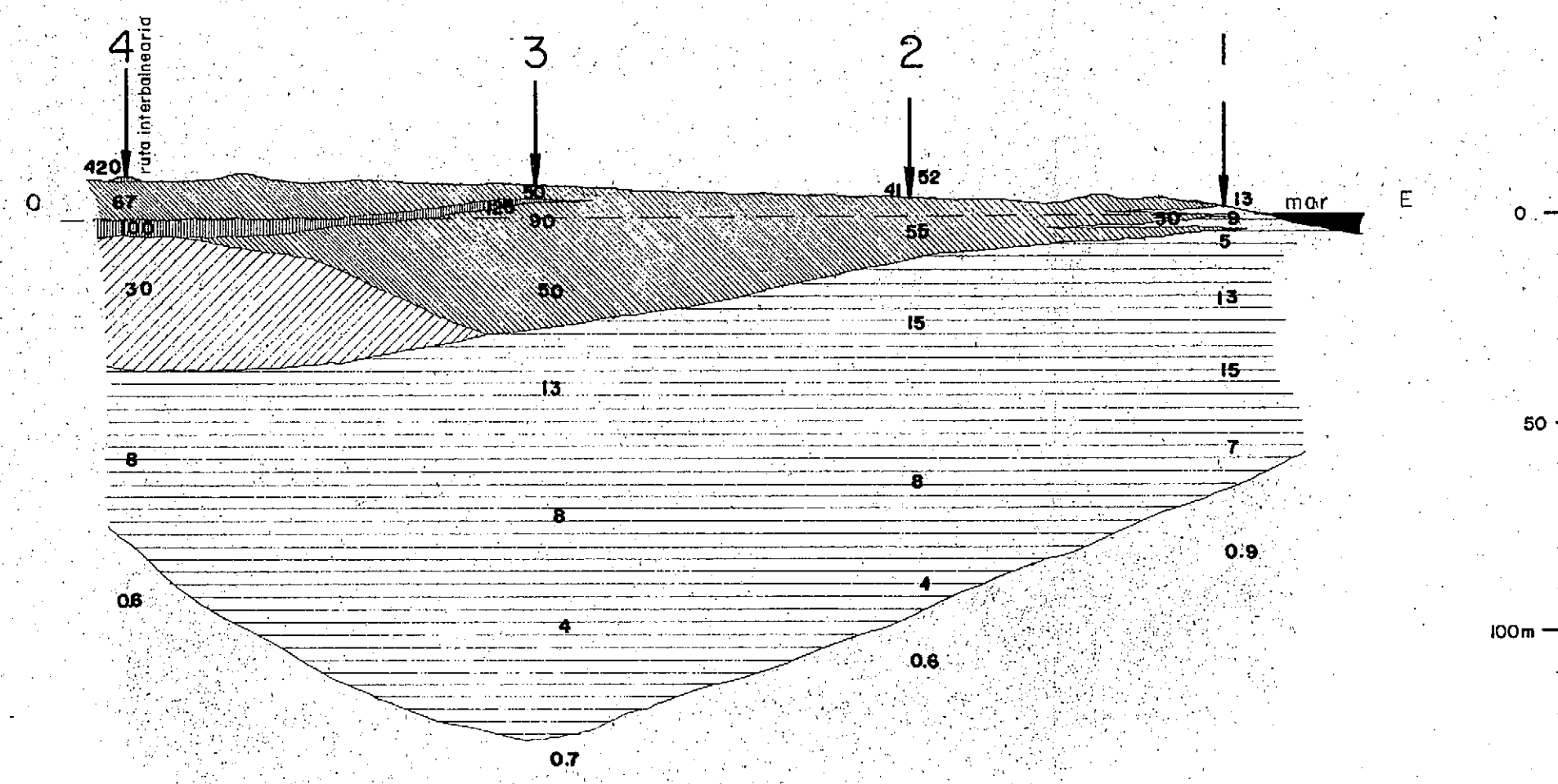
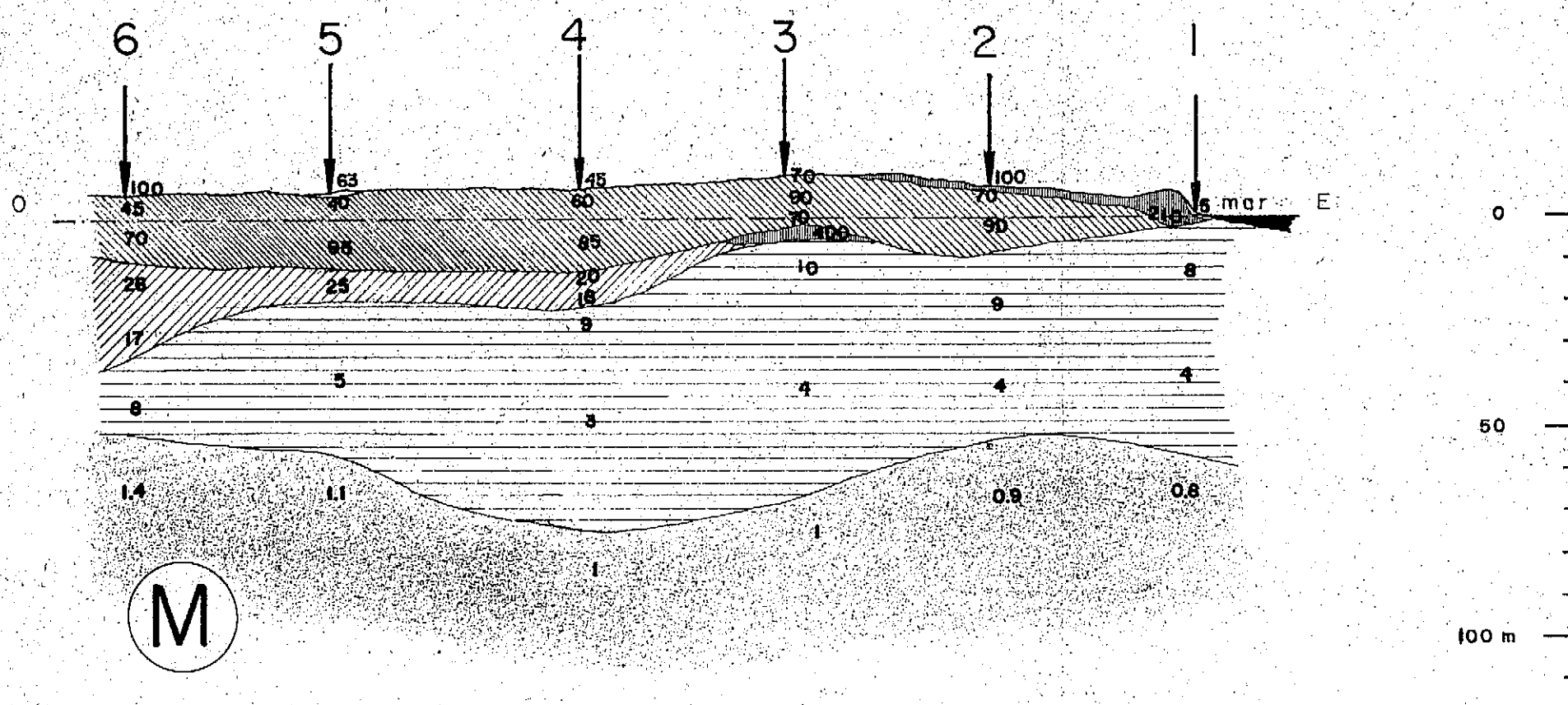
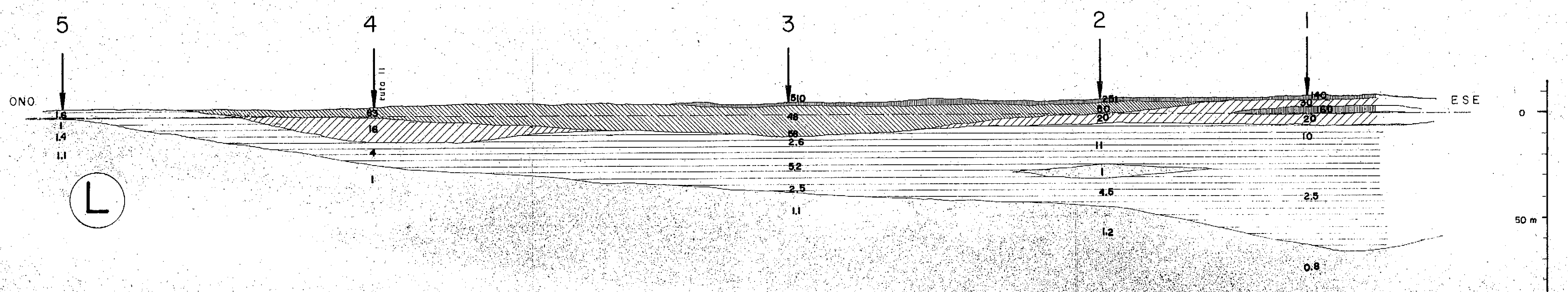
2

PERFIL

60 VALOR DE RESISTIVIDAD
EN ohm m

GRAFICO





CONVENIO C.F.I.-U.N.L.P.

EVALUACION DE LOS RECURSOS HIDRICOS
SUBTERRANEOS DE LA REGION COSTERA
DE LA PROVINCIA DE BUENOS AIRES

PROSPECCION GEOELECTRICA

Perfiles L, M, O

Medicion, interpretacion y dibujos:
AINCHIL, Jerónimo
GIUSSO, Marcelo
MACRIS, Norma
TAVELLA, Juan

GRAFICO

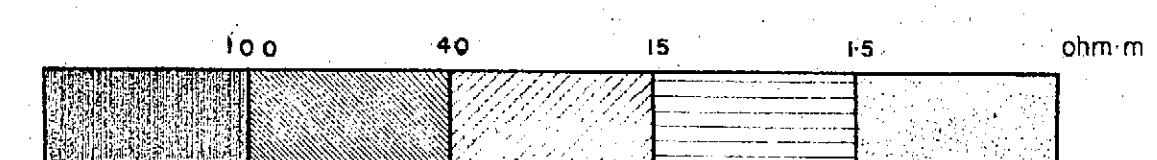
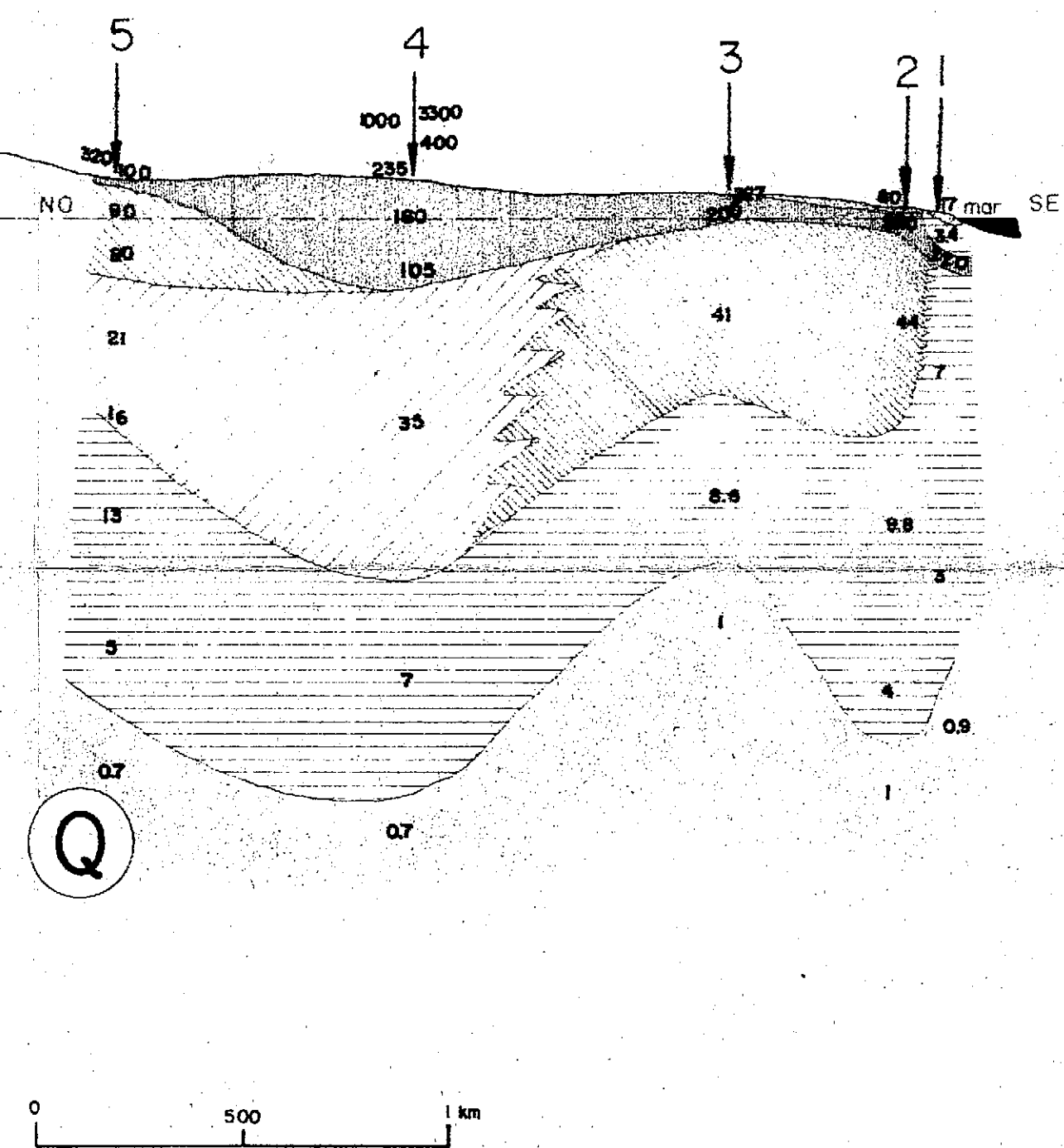
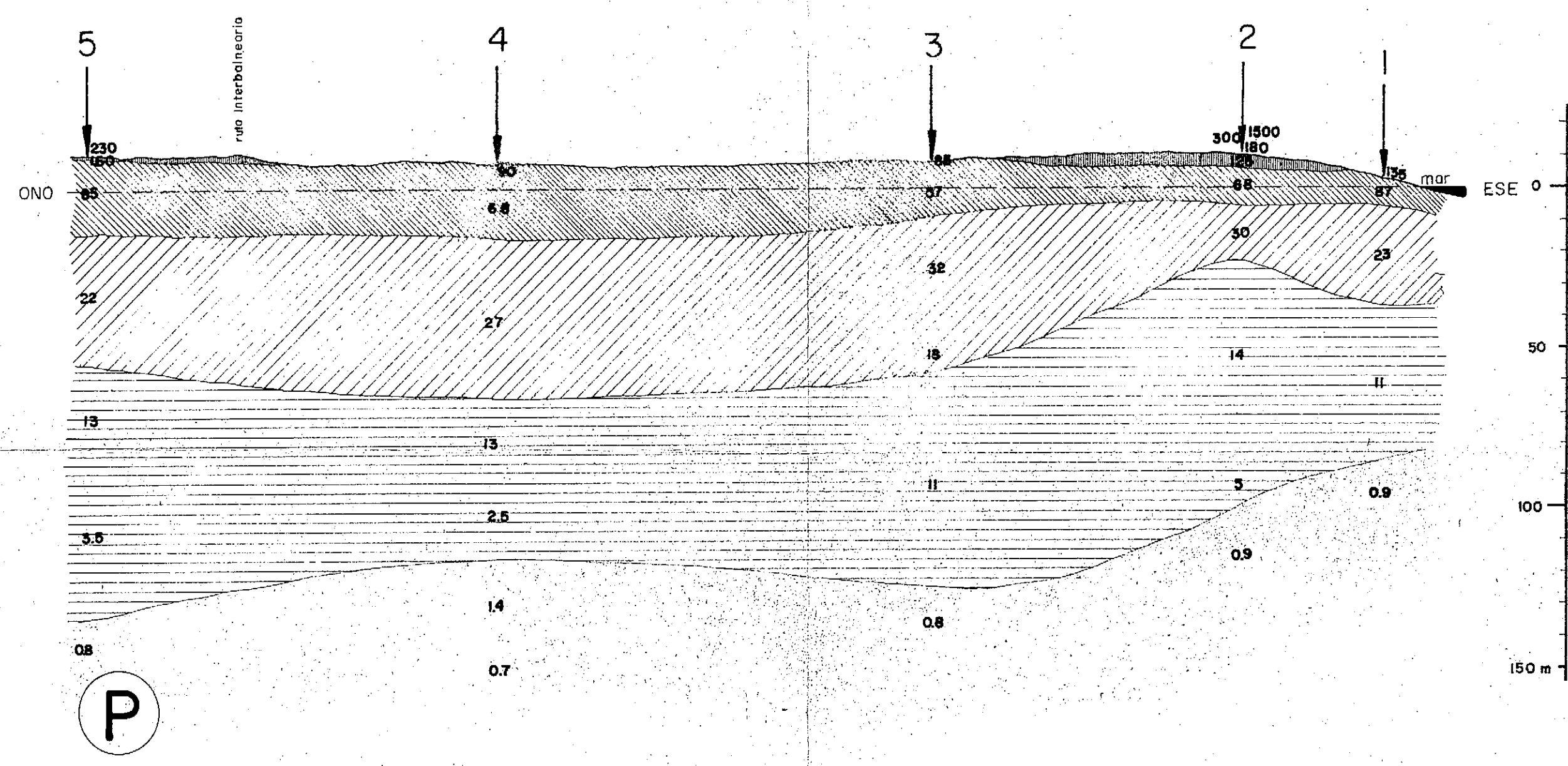
3

NIVEL DEL MAR

2
SONDEO ELECTRICO VERTICAL

L
PERFIL

110 VALOR DE RESISTIVIDAD
EN ohm-m



CONVENIO C.F.I.-UN.L.P.

EVALUACION DE LOS RECURSOS HIDRICOS
SUBTERRANEOS DE LA REGION COSTERA
DE LA PROVINCIA DE BUENOS AIRES

PROSPECCION GEOELECTRICA

Perfiles P, Q y R

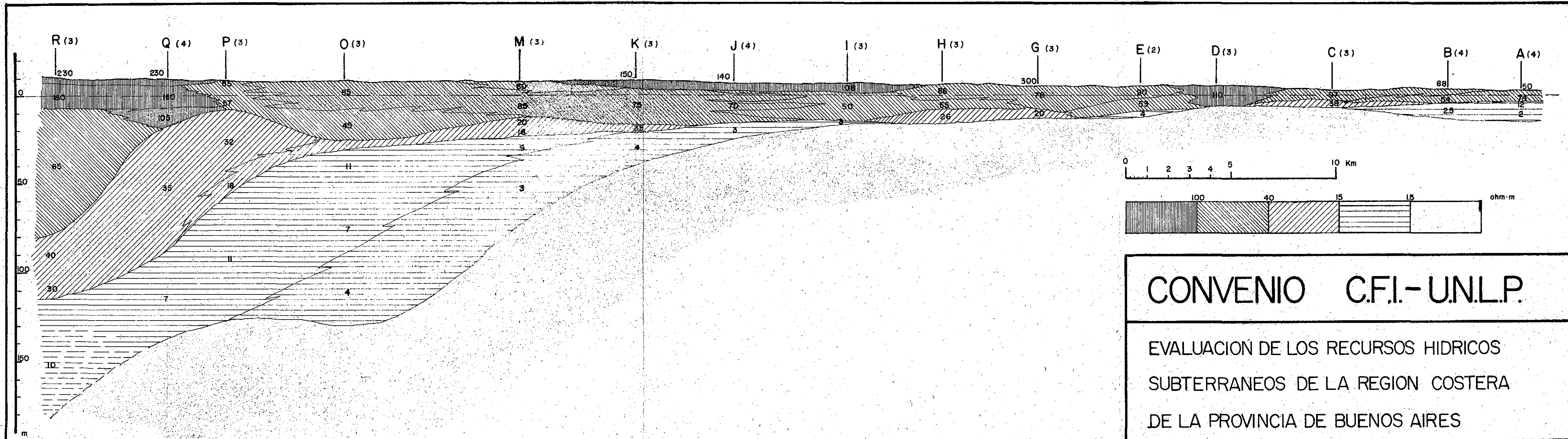
medición, interpretación y dibujo:
AINCHIL, Jerónimo
GIUSSO, Marcelo
MACRIS, Norma
TAVELLA, Juan

GRAFICO

4

P
PERFIL

40 VALOR DE RESISTIVIDAD
EN ohm·m



CONVENIO C.F.I.-U.N.L.P.

EVALUACION DE LOS RECURSOS HIDRICOS
SUBTERRANEOS DE LA REGION COSTERA
DE LA PROVINCIA DE BUENOS AIRES

PROSPECCION GEOELECTRICA

Perfil longitudinal

Interpretación, medición y dibujo

AINCHIL, Jerónimo

GIUSSO, Marcelo

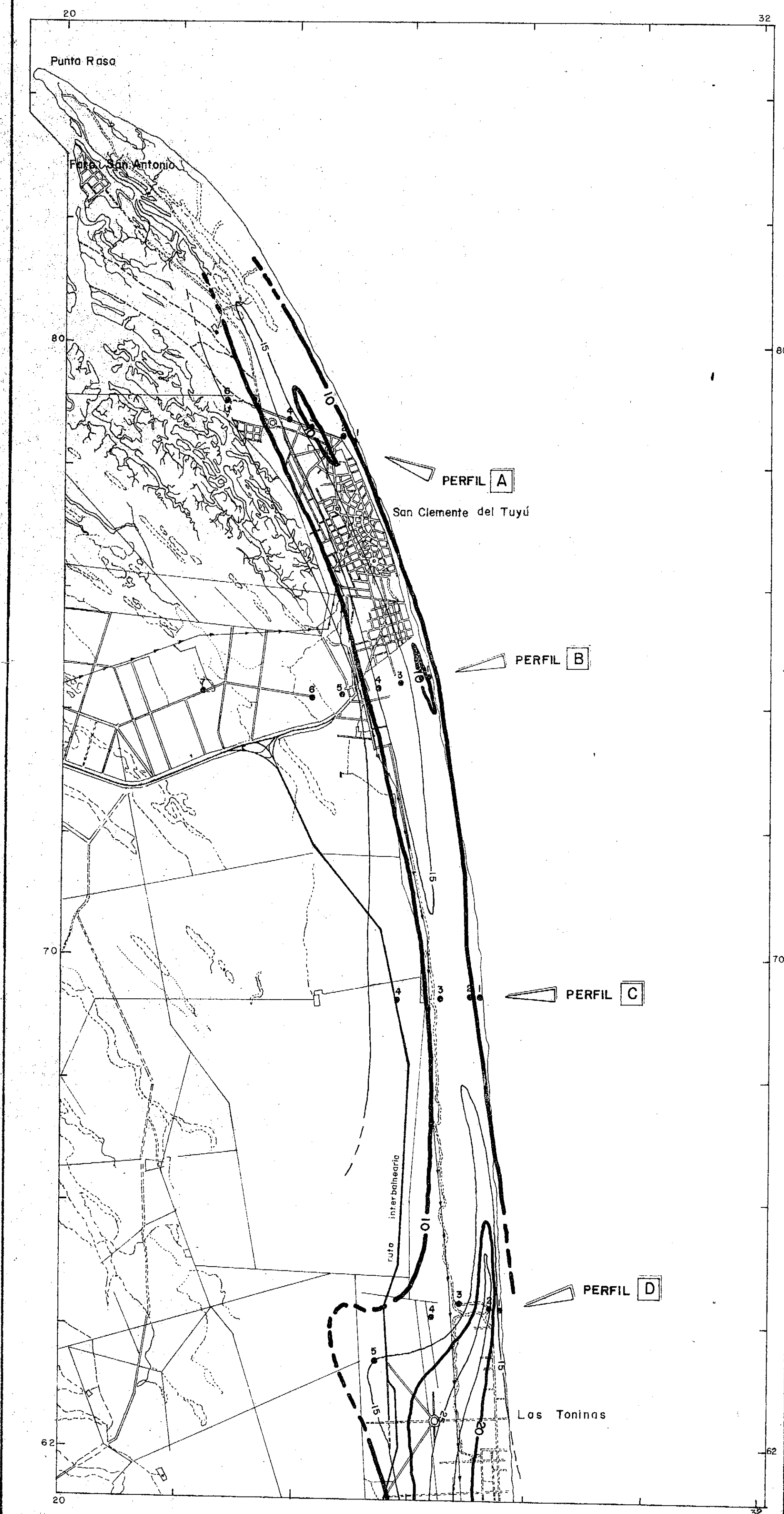
MACRIS, Norma

TAVELLA, Juan

GRAFICO

4a

ANEXO IV



NOTA: Las profundidades están dadas en metros
y referidas a la superficie del terreno

● SONDEO ELECTRICO VERTICAL

0 2 4 Km
ESCALA GRAFICA

CONVENIO CFI - UNLP

EVALUACION DE LOS RECURSOS HIDRICOS
SUBTERRANEOS DE LA REGION COSTERA
DE LA PROVINCIA DE BUENOS AIRES.

PROSPECCION GEOELECTRICA

ISOBATAS

SUSTRATO CONDUCTIVO DE 1,5 ohm.m.

medición, interpretación y dibujo:

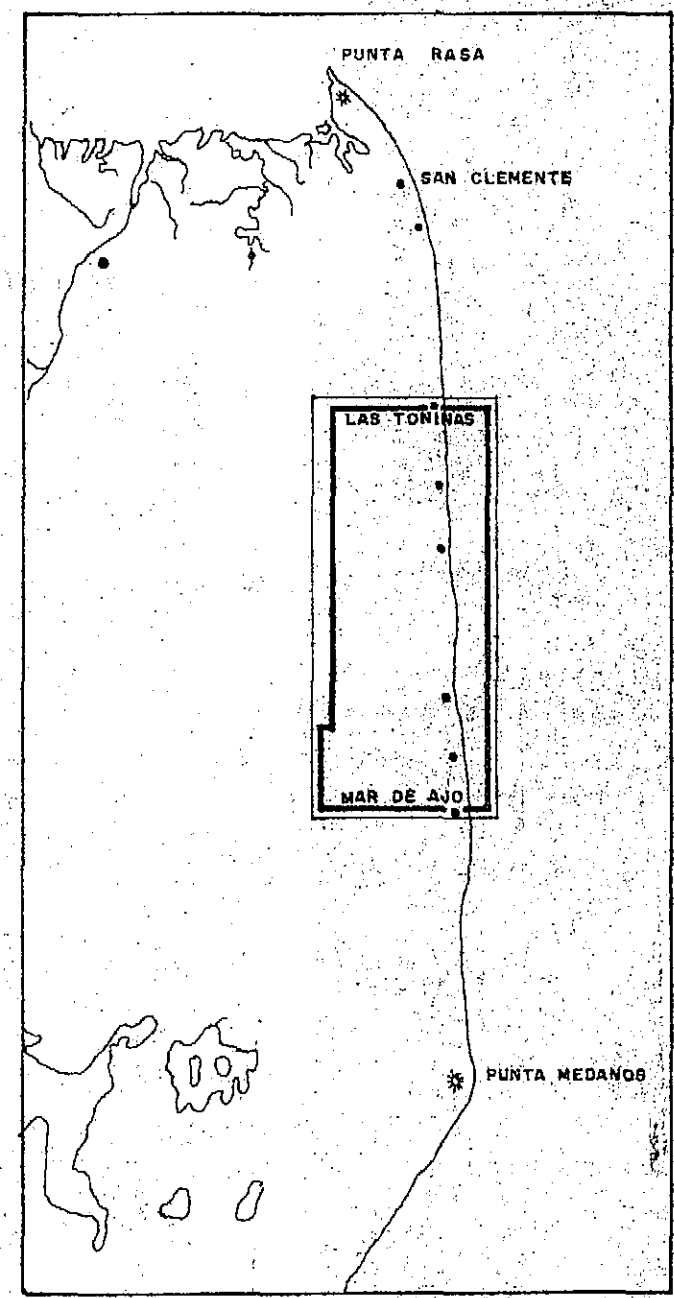
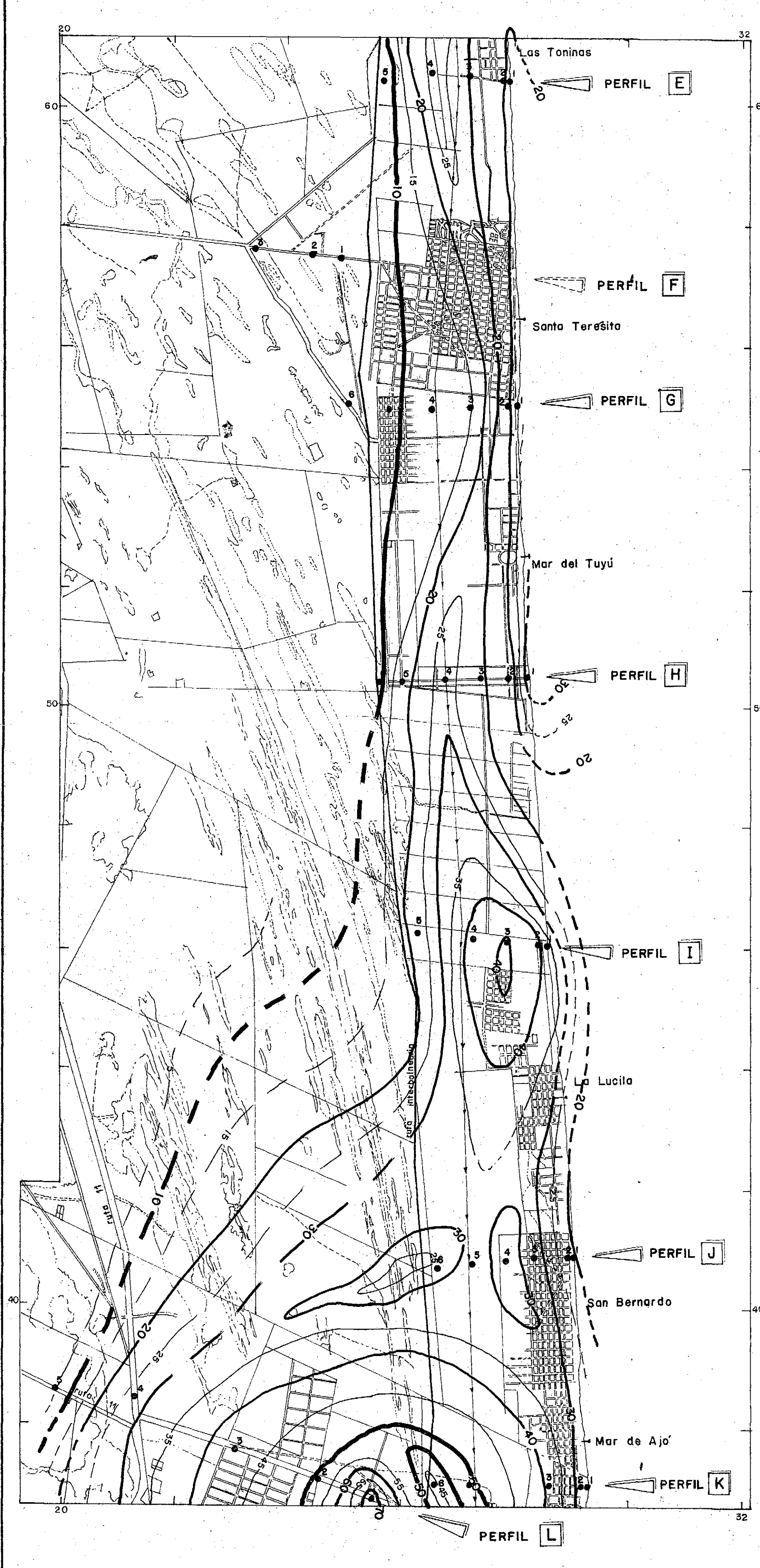
AINCHIL, Jerónimo

GIUSSO, Marcelo

MACRIS, Norma

TAVELLA, Juan

GRAFICO



NOTA: Las profundidades están dadas en metros
y referidas a la superficie del terreno.

4 ● SONDEO ELECTRICO VERTICAL

0 2 4 Km.
ESCALA GRAFICA

CONVENIO C.F.I. - UN.L.P.

EVALUACION DE LOS RECURSOS HIDRICOS
SUBTERRANEOS DE LA REGION COSTERA DE
LA PROVINCIA DE BUENOS AIRES

PROSPECCION GEOELECTRICA

ISOBATAS

SUSTRATO CONDUCTIVO DE 1,5 ohm.m

medición, interpretación y dibujo:

AINCHIL, Jerónimo

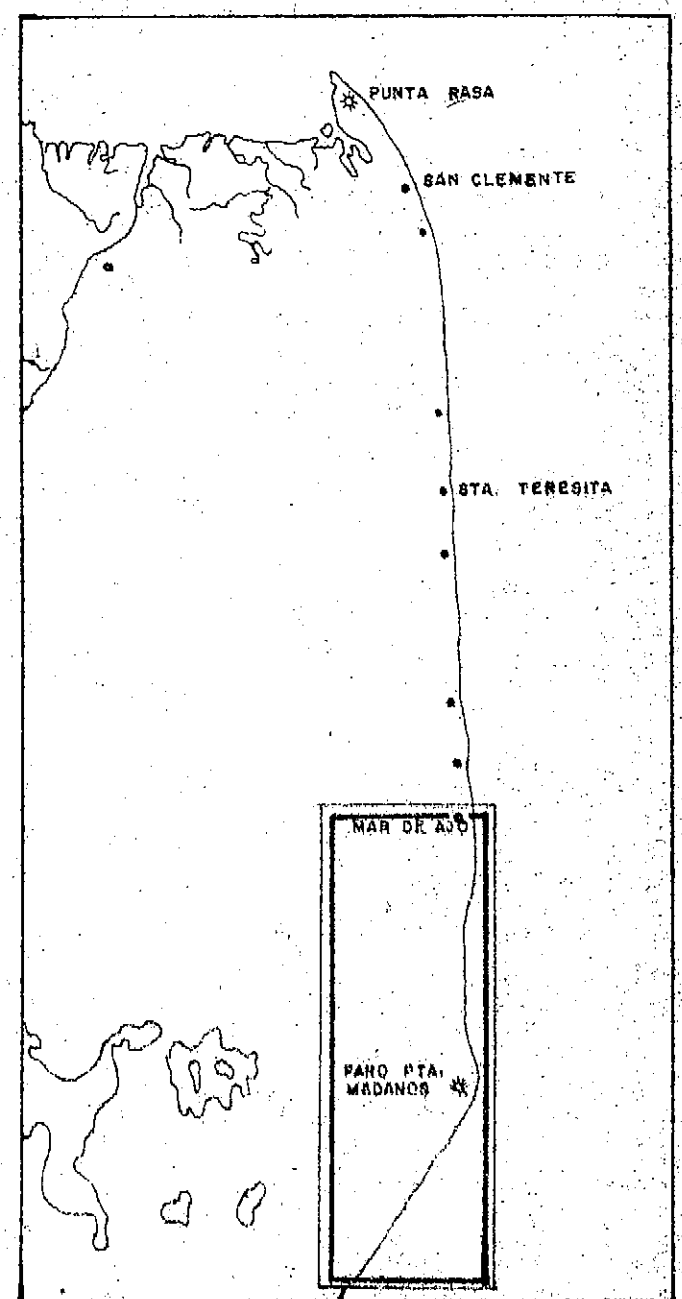
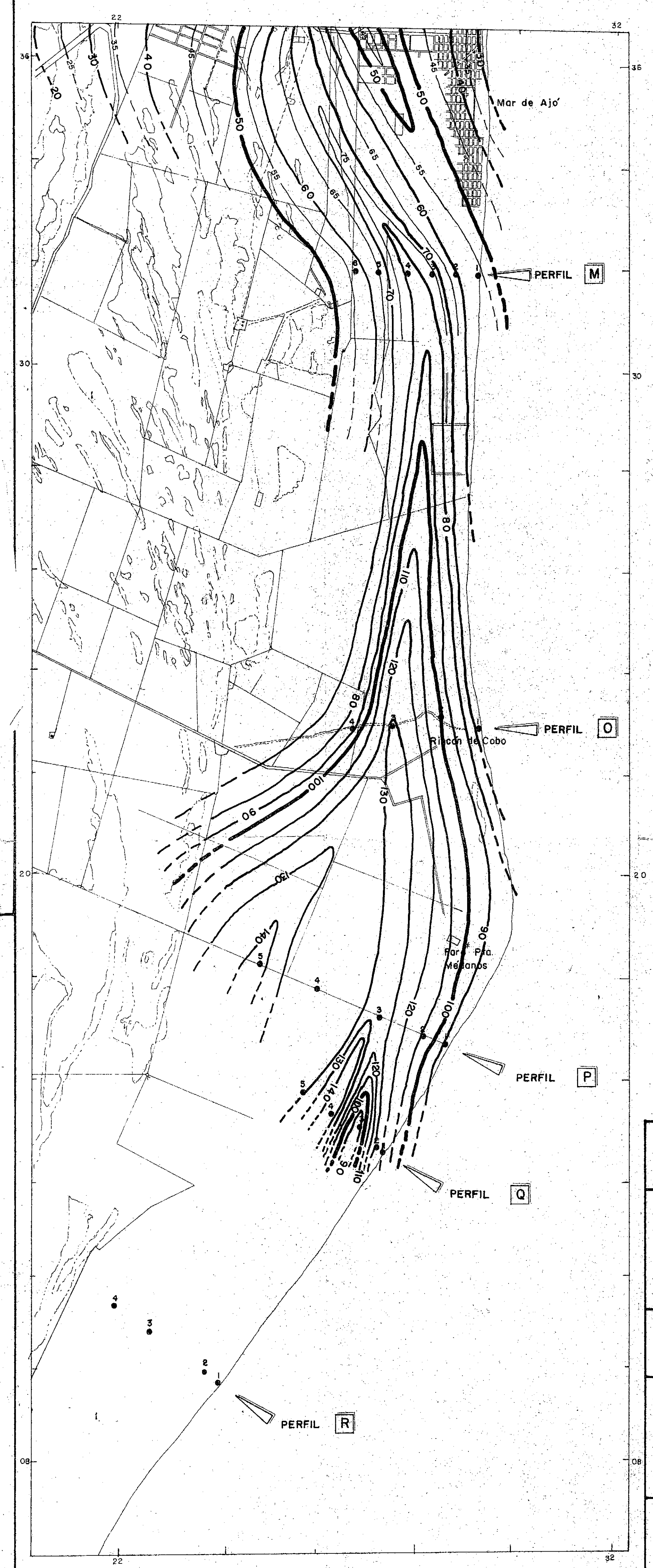
GIUSSO, Marcelo

MACRIS, Norma

TAVELLA, Juan

GRAFICO

6



NOTA: Las profundidades están dadas en metros
y referidas a la superficie del terreno

3 ● SONDEO ELECTRICO VERTICAL

0 2 Km. 4 Km.
ESCALA GRAFICA

CONVENIO CFI - UNLP

EVALUACION DE LOS RECURSOS HIDRICOS
SUBTERRANEOS DE LA REGION COSTERA
DE LA PROVINCIA DE BUENOS AIRES.

PROSPECCION GEOELECTRICA

ISOBATAS

SUSTRATO CONDUCTIVO DE 1,5 ohm.m.

medición, interpretación, dibujo:

AINCHIL, Jerónimo

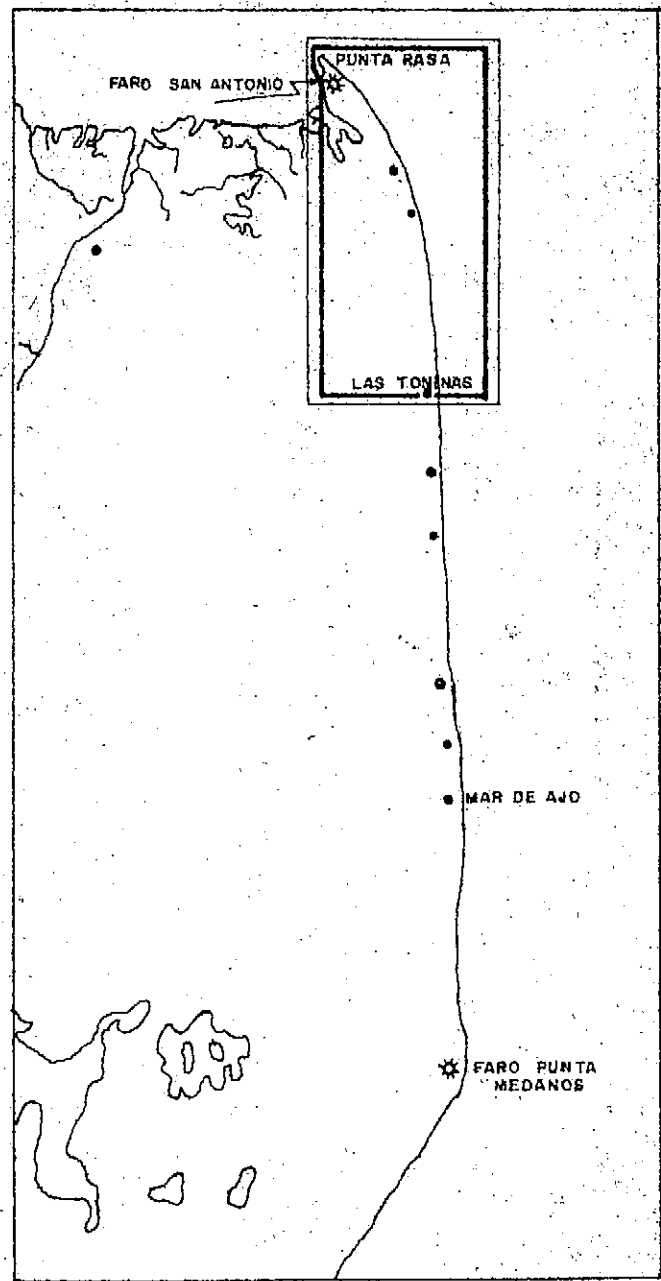
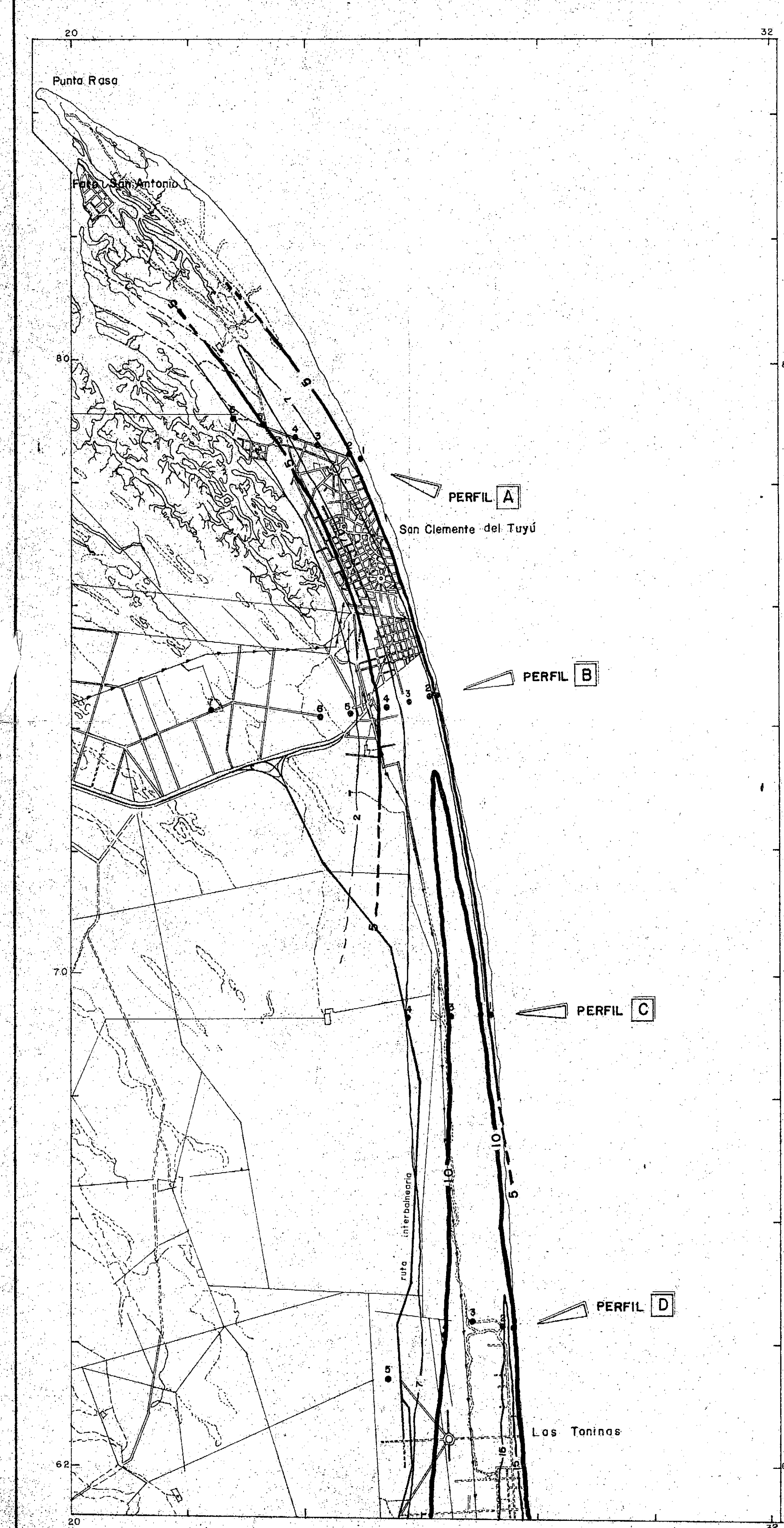
GIUSSO, Marcelo

MACRIS, Norma

TAVELLA, Juan

GRAFICO

7



NOTA: Las profundidades están dadas en metros
y referidas a la superficie del terreno.

● SONDEO ELECTRICO VERTICAL

0 2 4 km
ESCALA GRAFICA

CONVENIO CFN - UNLP

EVALUACION DE LOS RECURSOS HIDRICOS
SUBTERRANEOS DE LA REGION COSTERA
DE LA PROVINCIA DE BUENOS AIRES.

PROSPECCION GEOELECTRICA

ISOPACAS

RESISTIVIDADES MAYORES QUE 15 ohm.m

medición, interpretación y dibujo:

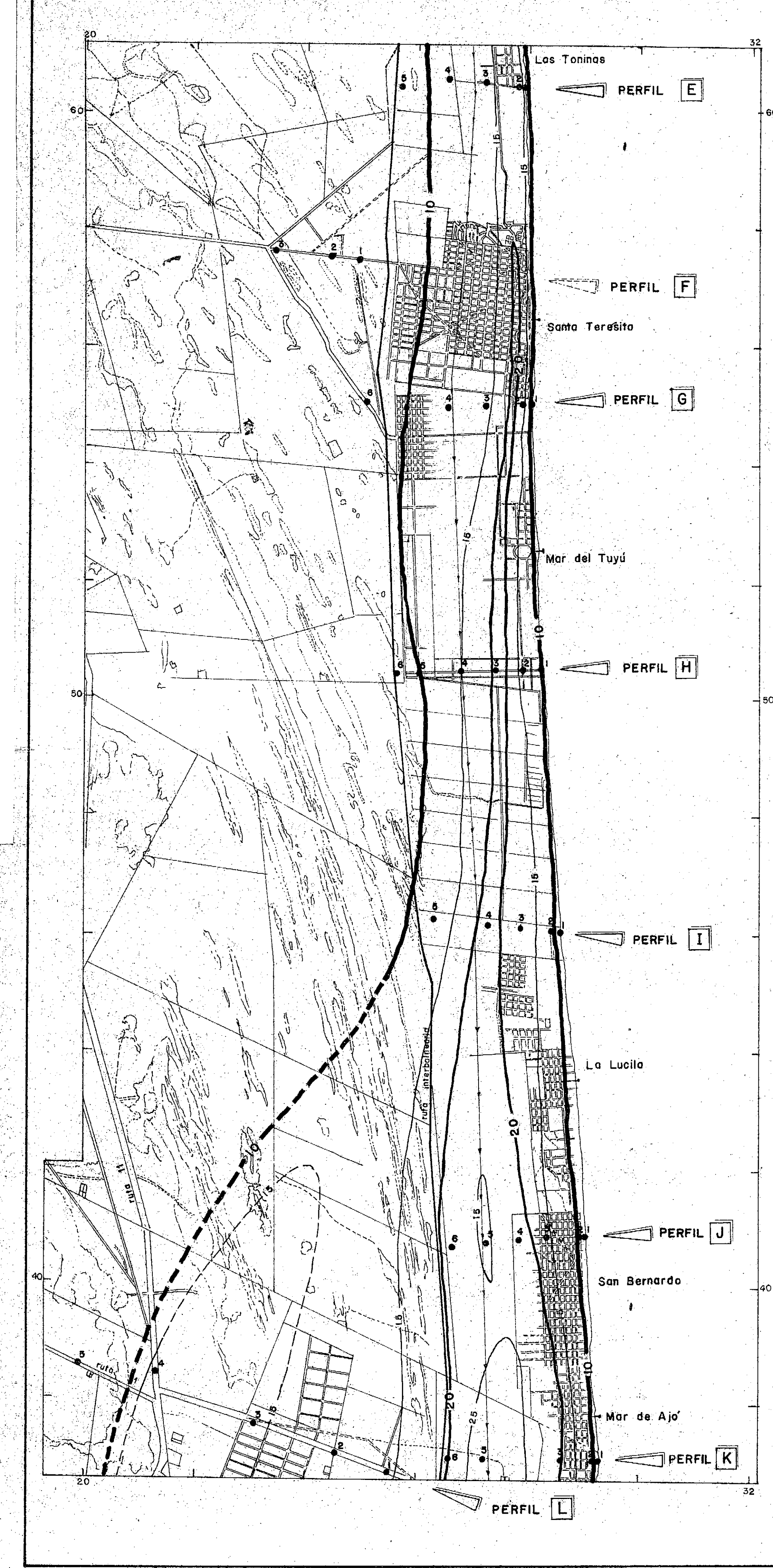
AINCHIL, Jerónimo

GIUSSO, Marcelo

MACRIS, Norma

TAVELLA, Juan

GRAFICO



CONVENIO C.F.I.-UN.L.P.

EVALUACION DE LOS RECURSOS HIDRICOS
SUBTERRANEOS DE LA REGION COSTERA DE
LA PROVINCIA DE BUENOS AIRES

PROSPECCION GEOELECTRICA

ISOPACAS

RESISTIVIDADES MAYORES QUE 15 ohm.m.

medición, interpretación y dibujo:

AINCHIL, Jerónimo

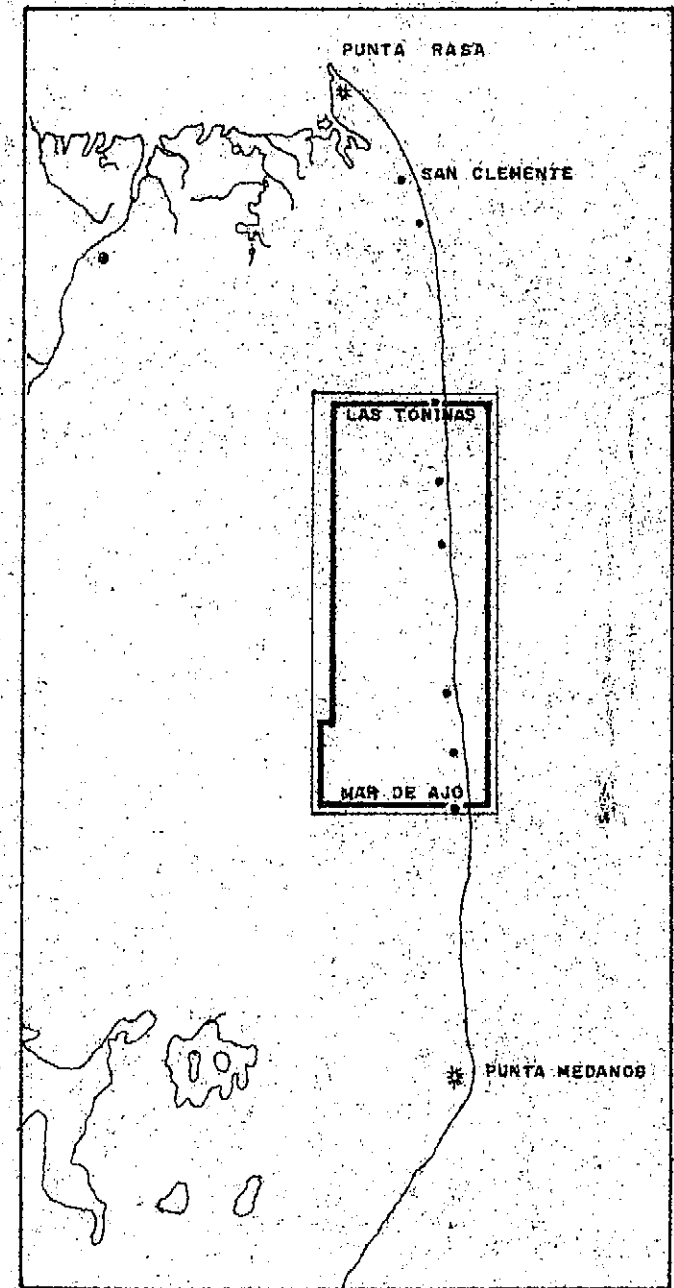
GIUSSO, Marcelo

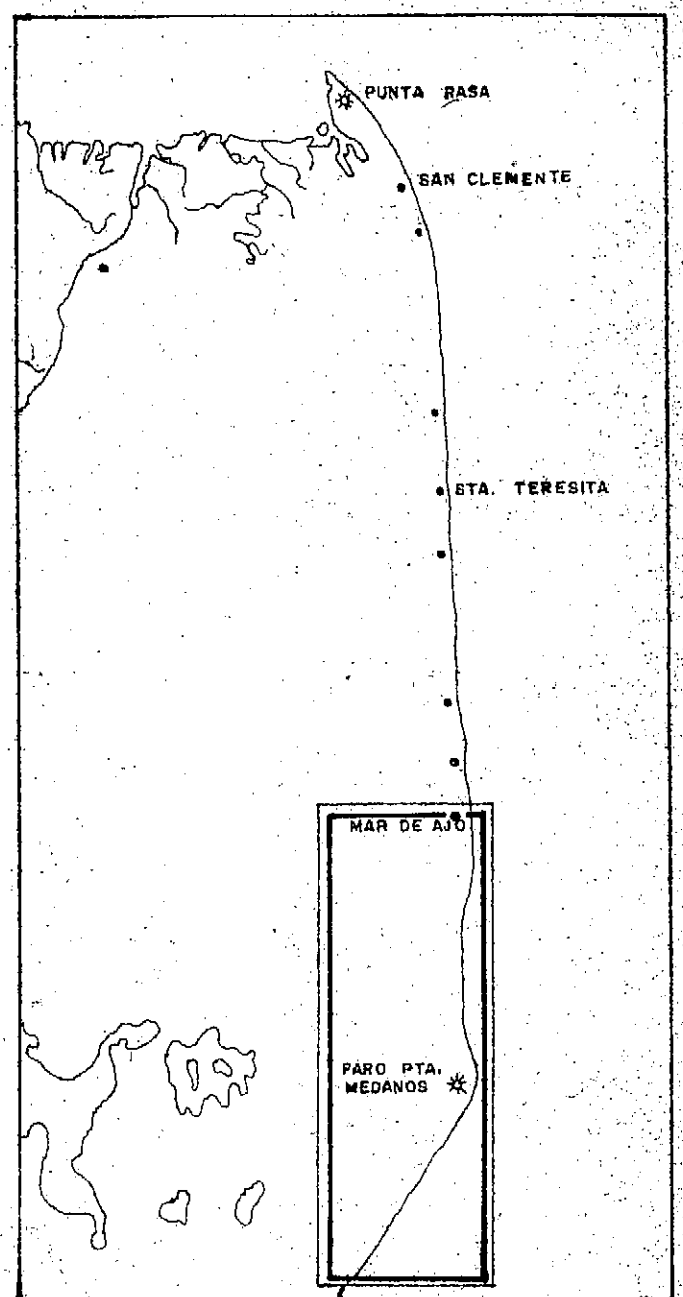
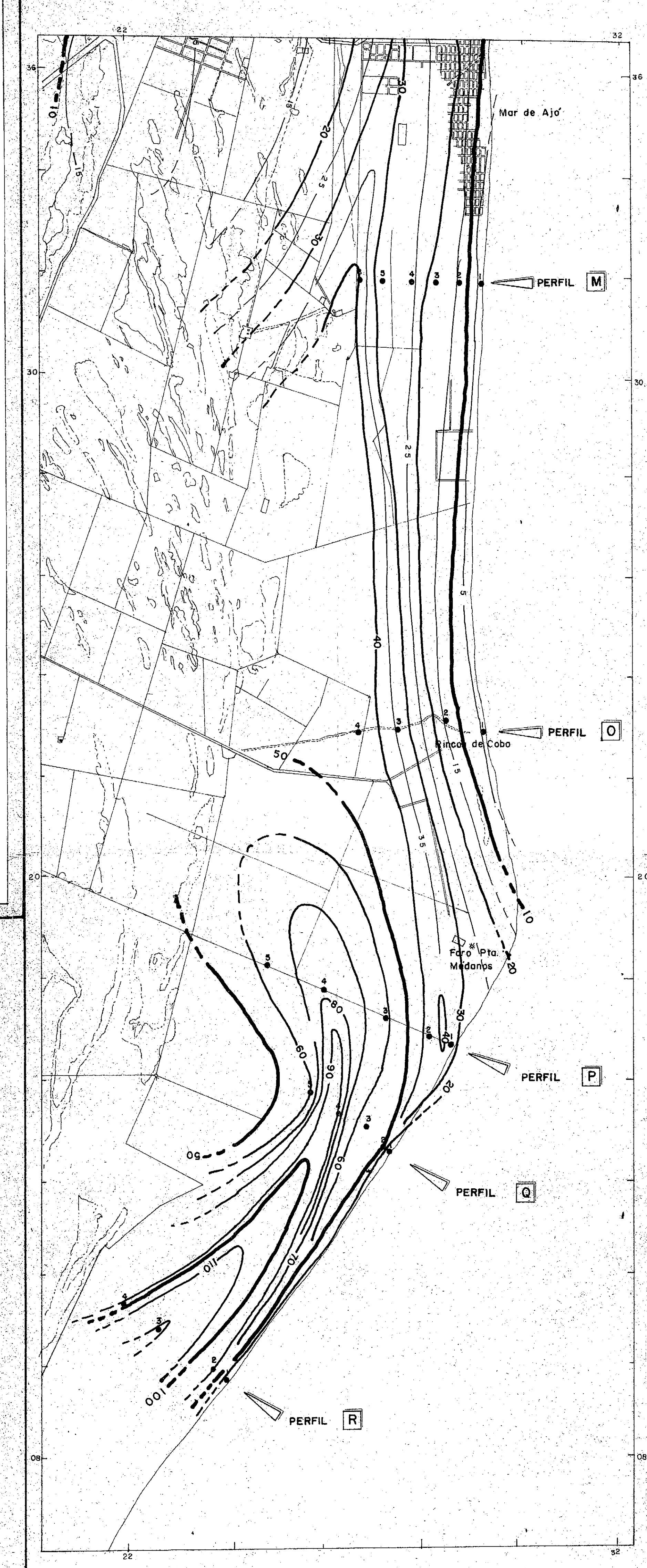
MACRIS, Norma

TAVELLA, Juan

GRAFICO

9





NOTA: Las profundidades están dadas en metros
y medidas desde la superficie del terreno.

● SONDEO ELECTRICO VERTICAL

0 2 4 Km.
ESCALA GRAFICA

CONVENIO CFI - UNLP

EVALUACION DE LOS RECURSOS HIDRICOS
SUBTERRANEOS DE LA REGION COSTERA
DE LA PROVINCIA DE BUENOS AIRES.

PROSPECCION GEOELECTRICA

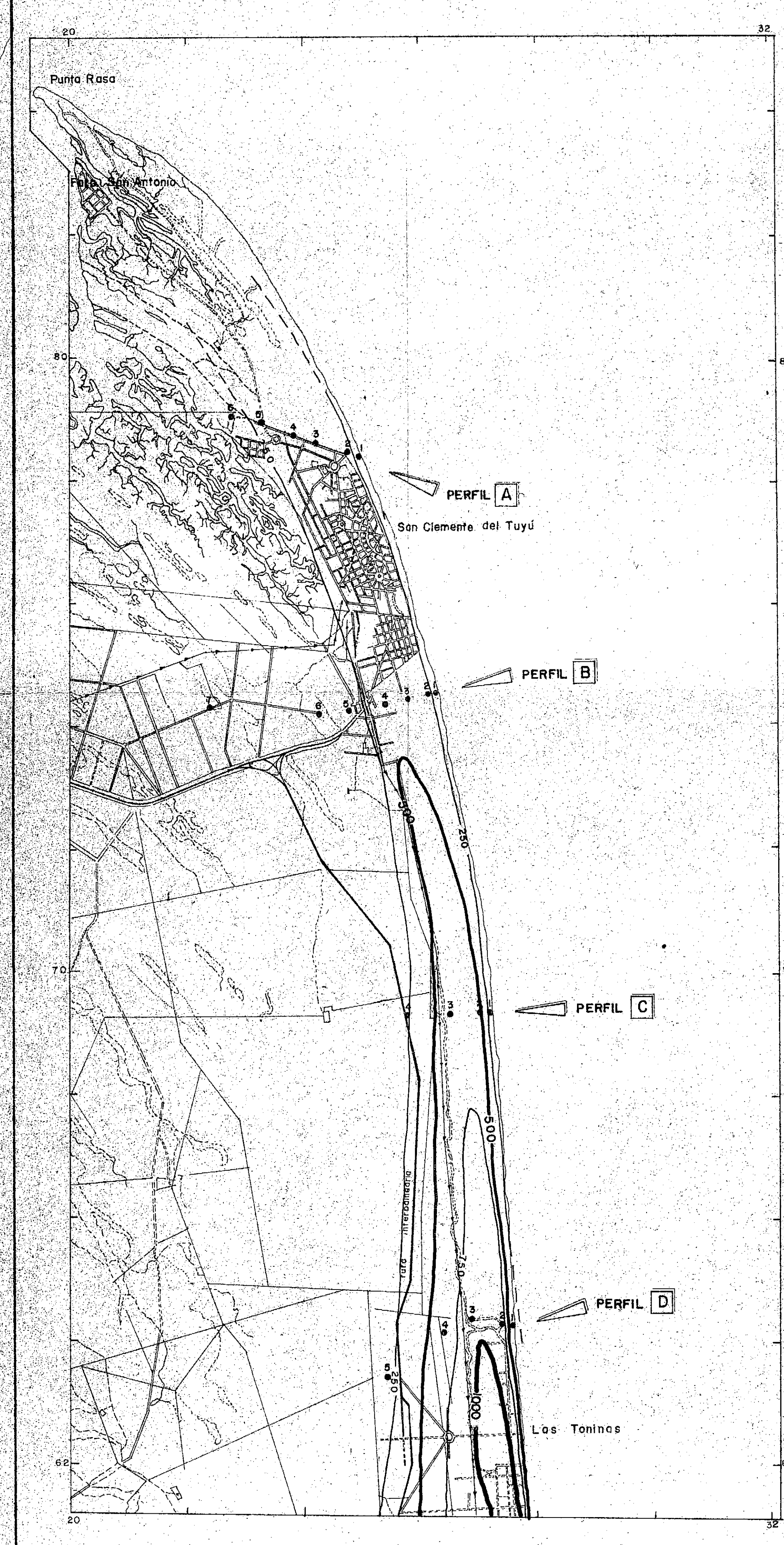
ISOPACAS

RESISTIVIDADES MAYORES QUE 15 ohm.m.

medición, interpretación, dibujo:
AINCHIL, Jerónimo
GIUSSO, Marcelo
MACRIS, Norma
TAVELLA, Juan

GRAFICO

10



CONVENIO CFN - UNLP

EVALUACION DE LOS RECURSOS HIDRICOS
SUBTERRANEOS DE LA REGION COSTERA
DE LA PROVINCIA DE BUENOS AIRES.

PROSPECCION GEOELECTRICA

ISOLINEAS de ' T '
DE LAS CAPAS SUPERIORES AL SUSTRATO CONDUCTIVO

medición, interpretación y dibujo:

AINCHIL, Jerónimo

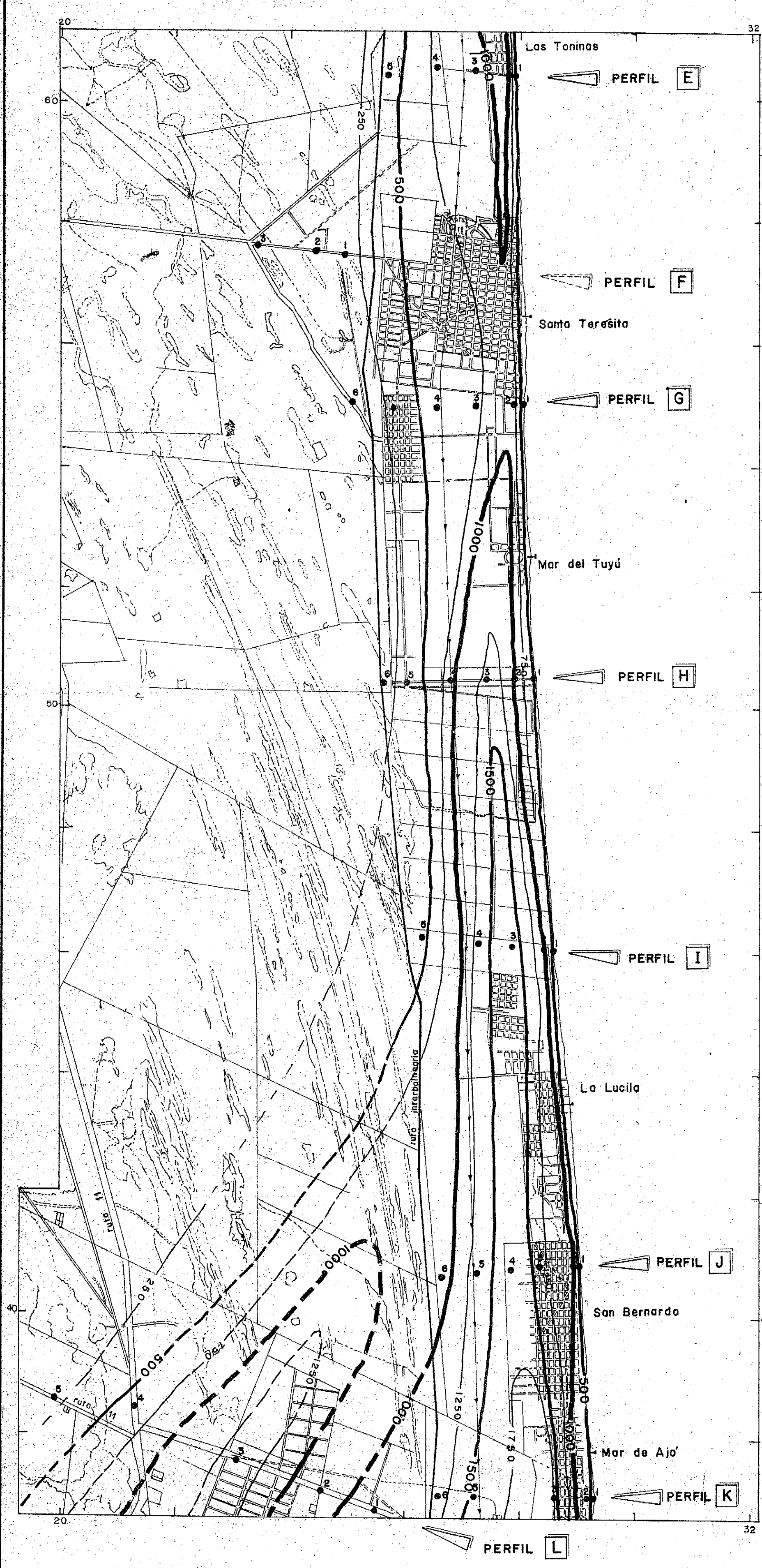
GIUSSO, Marcelo

MACRIS, Norma

TAVELLA, Juan

GRAFICO

II



CONVENIO C.F.I.-UNLP.

EVALUACION DE LOS RECURSOS HIDRICOS
SUBTERRANEOS DE LA REGION COSTERA DE
LA PROVINCIA DE BUENOS AIRES

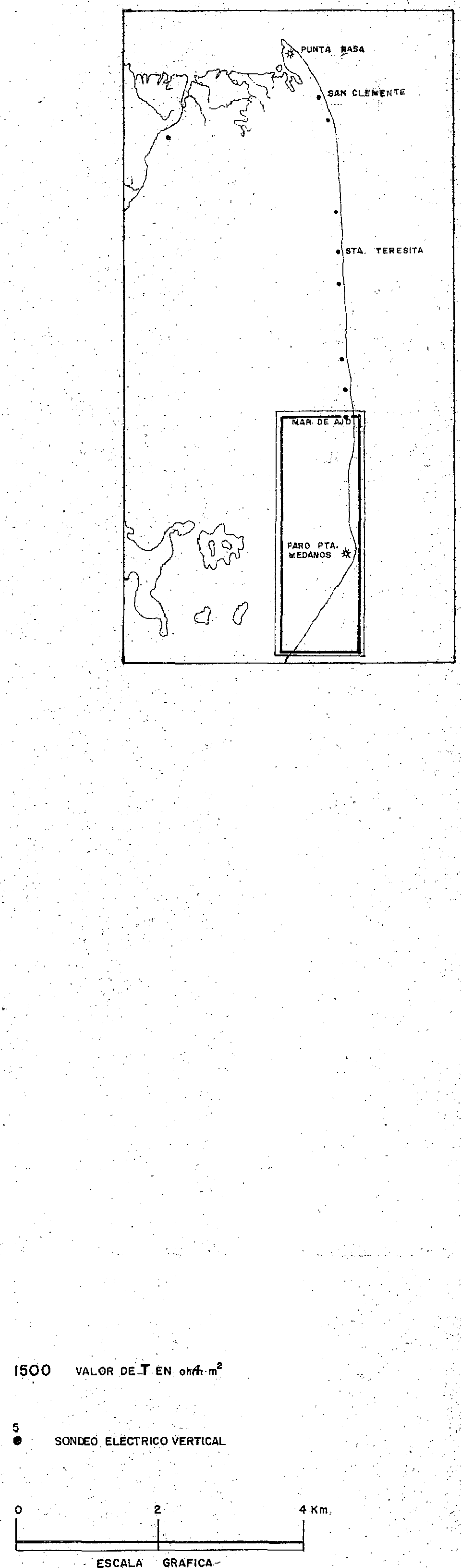
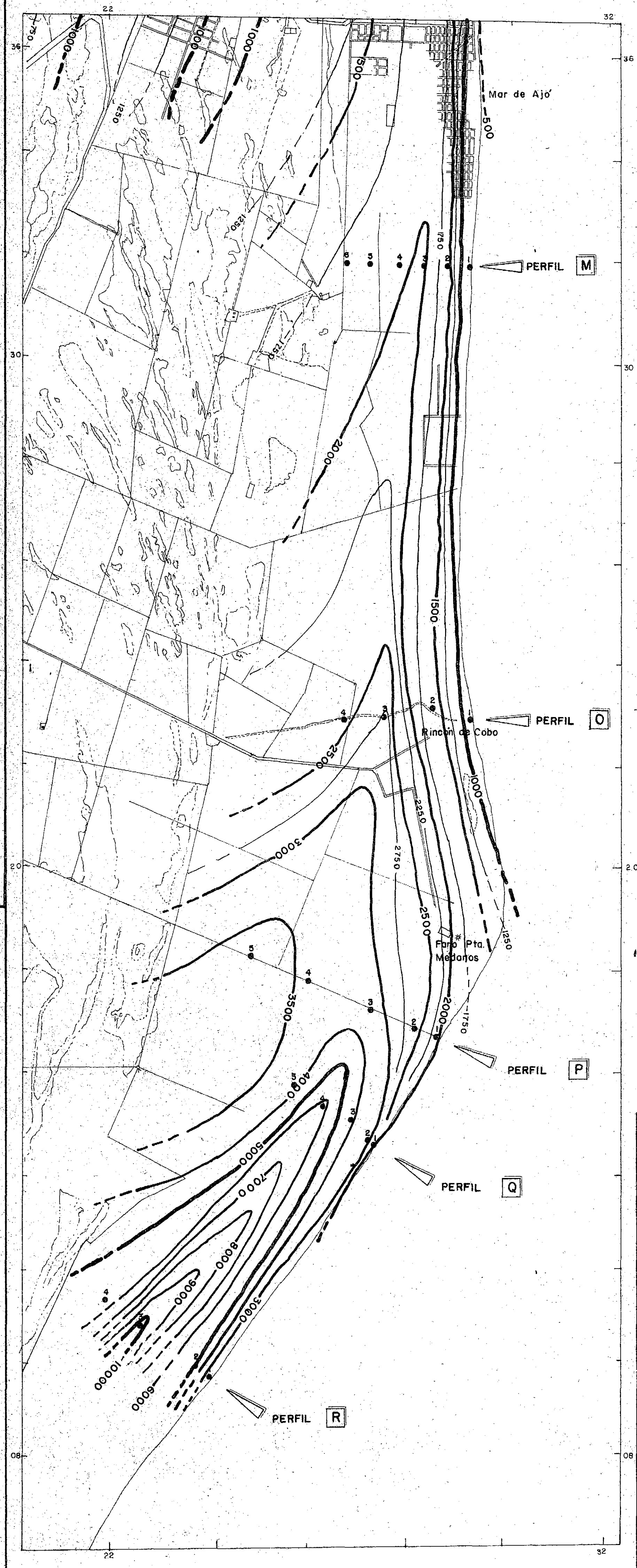
PROSPECCION GEOELECTRICA

ISOLINEAS de ' T '
DE LAS CAPAS SUPERIORES AL SUSTRATO CONDUCTIVO

medición, interpretación y dibujo:
AINCHIL, Jerónimo
GIUSSO, Marcelo
MACRIS, Norma
TAVELLA, Juan

GRAFICO

12



CONVENIO CFI - UNLP

EVALUACION DE LOS RECURSOS HIDRICOS
SUBTERRANEOS DE LA REGION COSTERA
DE LA PROVINCIA DE BUENOS AIRES.

PROSPECCION GEOELECTRICA

ISOLINEAS de ' T '

DE LAS CAPAS SUPERIORES AL SUSTRATO CONDUCTIVO

medición, interpretación, dibujo:
AINCHIL, Jerónimo
GIUSSO, Marcelo
MACRIS, Norma
TAVELLA, Juan

GRAFICO

13

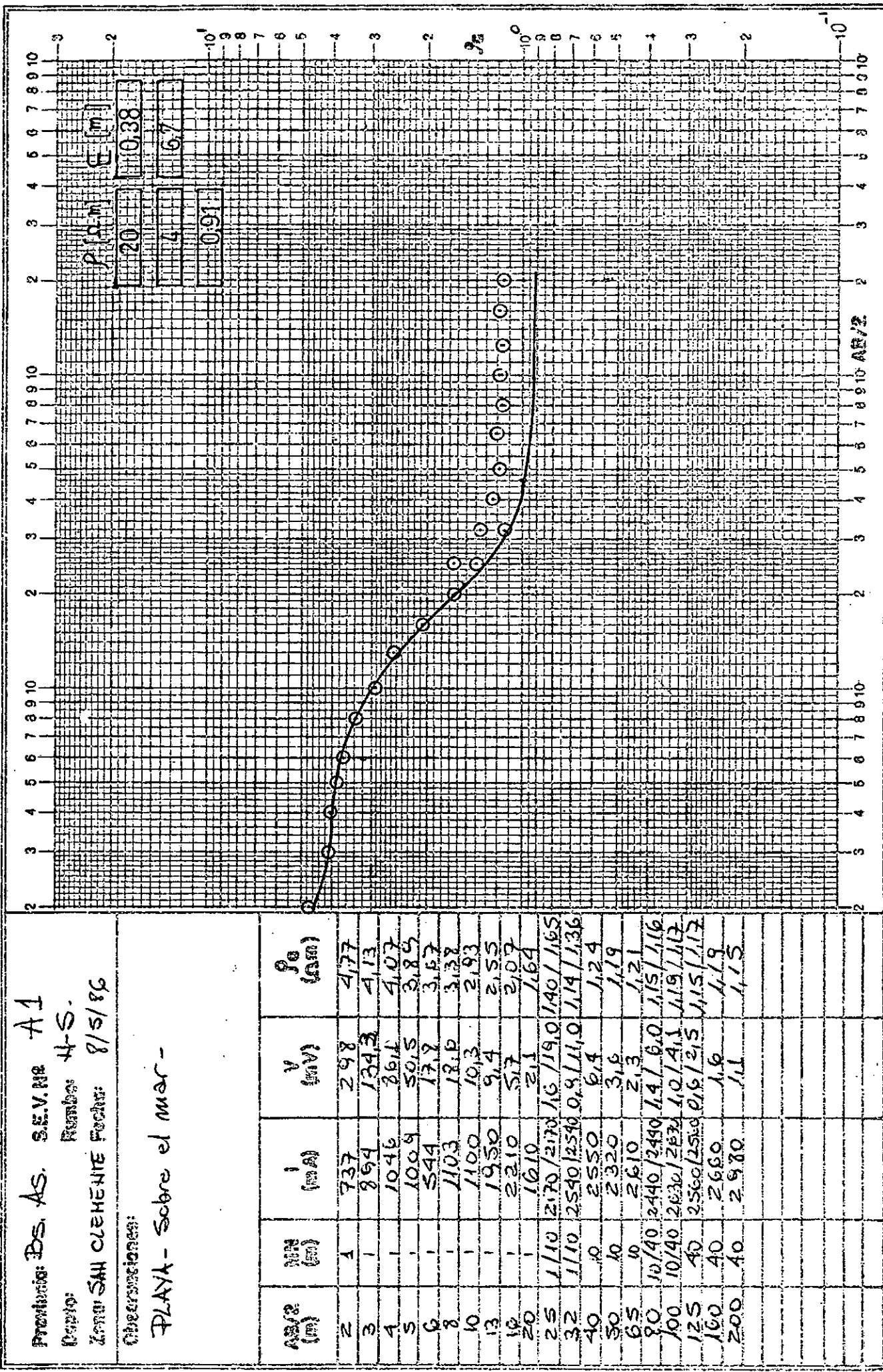
ANEXO V

Proyecto: DS. As. S.E.V. No A1

Número: 4-S.
Lugar: SAN CLEMENTE Fecha: 8/5/86

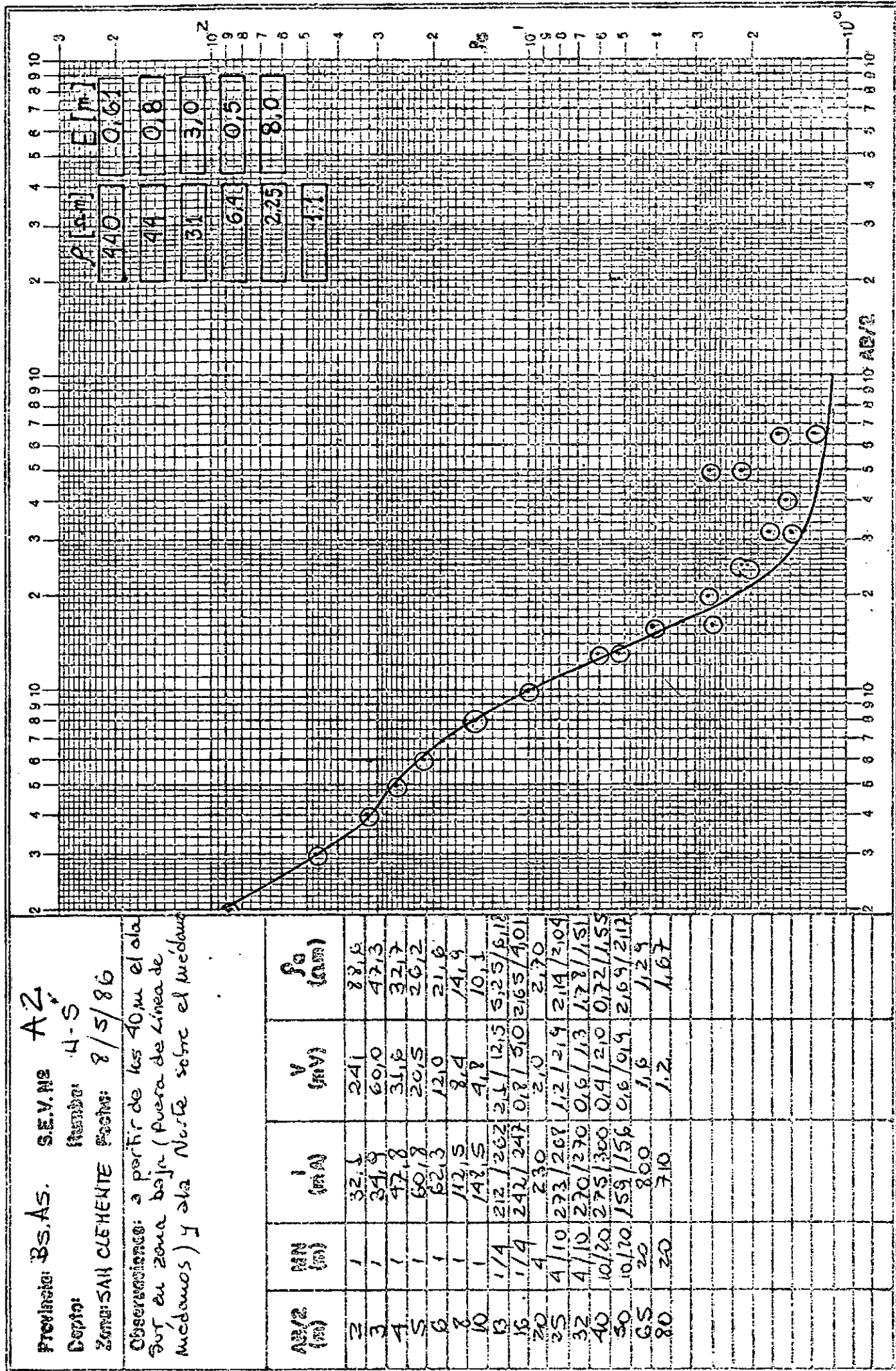
Observaciones:

PLAYA - Sobre el mar -

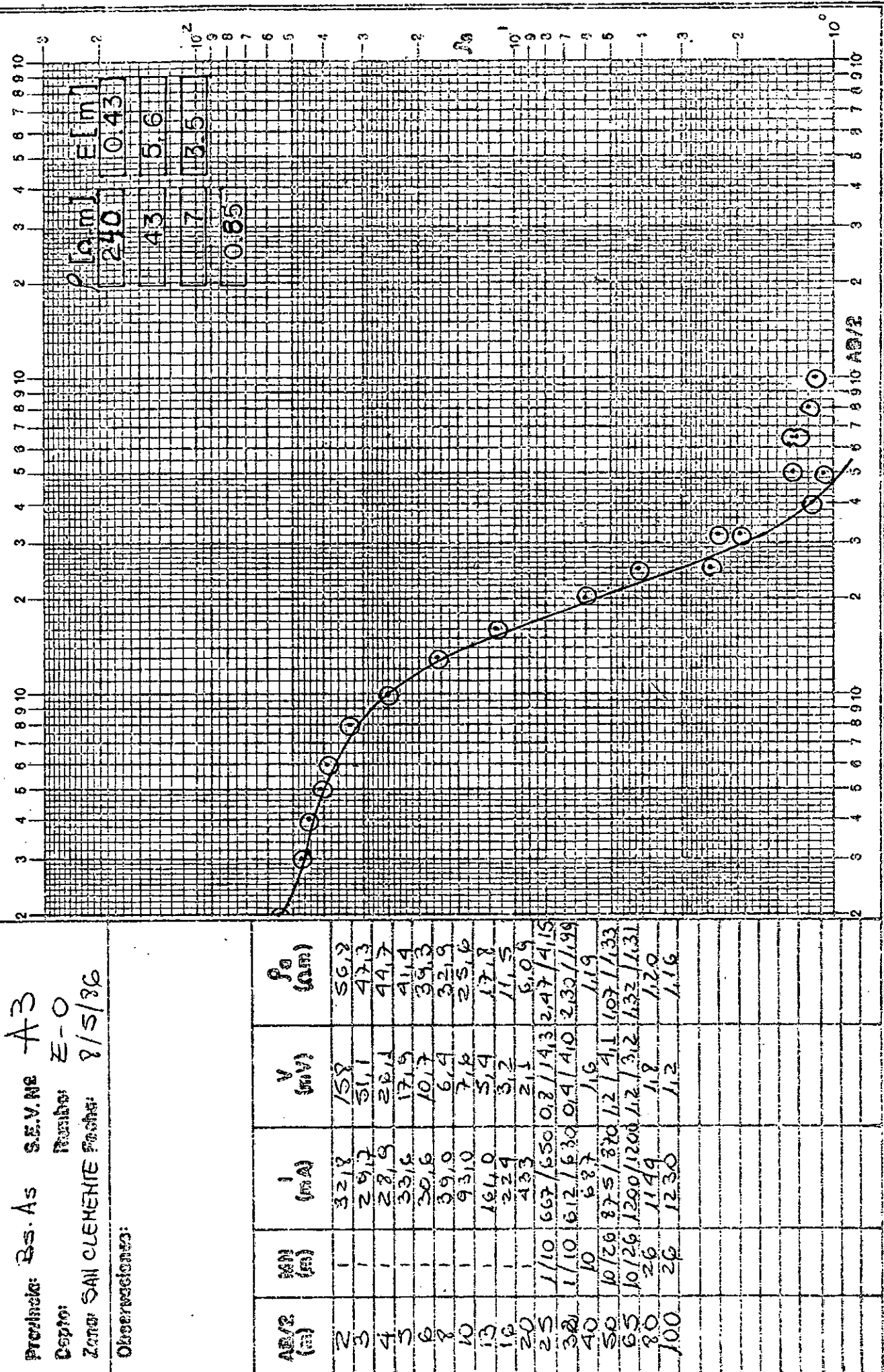


Proyectos: BS, AS. S.E.V. NE A2,
 Depto: Rumber: 4-S
 Zona: SAM CLEMENTE Fecha: 8/5/86

Observaciones: a partir de los 40 m el ala
 sur en zona baja (fuera de linea de
 medanos) y ala Norte sobre el medano



Provinces: D.S. As S.E.V. NE A3
 Depth: E-O
 Zone SAN CLEMENTE Position: 9/5/36
 Observations:

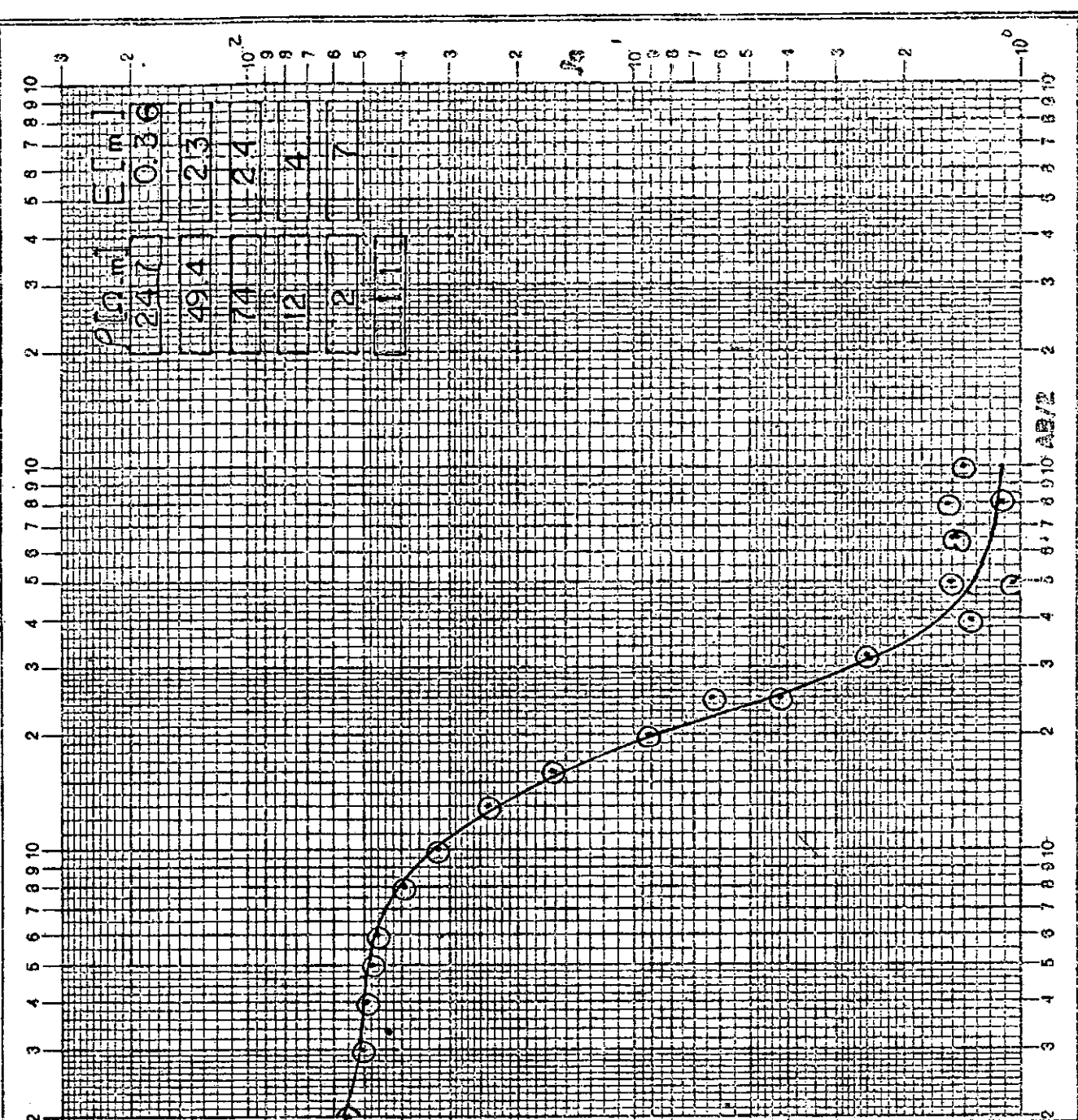


Profilador: BS. A5. S.E.V. Nro

Número: -0
Zener SHN CLEMENTE: 8/5/86

Observaciones:

$A_2/2$ (m)	V_A (mV)	I (mA)	V (mV)	θ_0 (°)
2	-	22,5	10,5	55,1
3	-	19,8	36,1	50,4
4	-	22,5	22,5	49,5
5	-	23,2	19,2	47,6
6	-	19,4	31,6	46,4
7	-	20,2	4,1	39,5
10	-	45,5	4,2	32,4
13	-	141,0	6,4	29,1
16	-	22,0	4,4	16,1
20	-	40,0	2,9	9,1
25	-	540 / 511	1,1	12,2
32	-	110 / 450 / 440	0,1 / 3,5	2,50
40	-	620	1,6	1,32
50	10 / 20	690 / 670	0,9 / 2,2	1,01 / 1,50
65	10 / 20	630 / 630	0,9 / 1,5	0,39 / 1,50
80	20 / 26	533 / 534	0,6 / 1,25	1,11 / 1,59
100	20 / 26	520	1,1 / 6,5	1,90

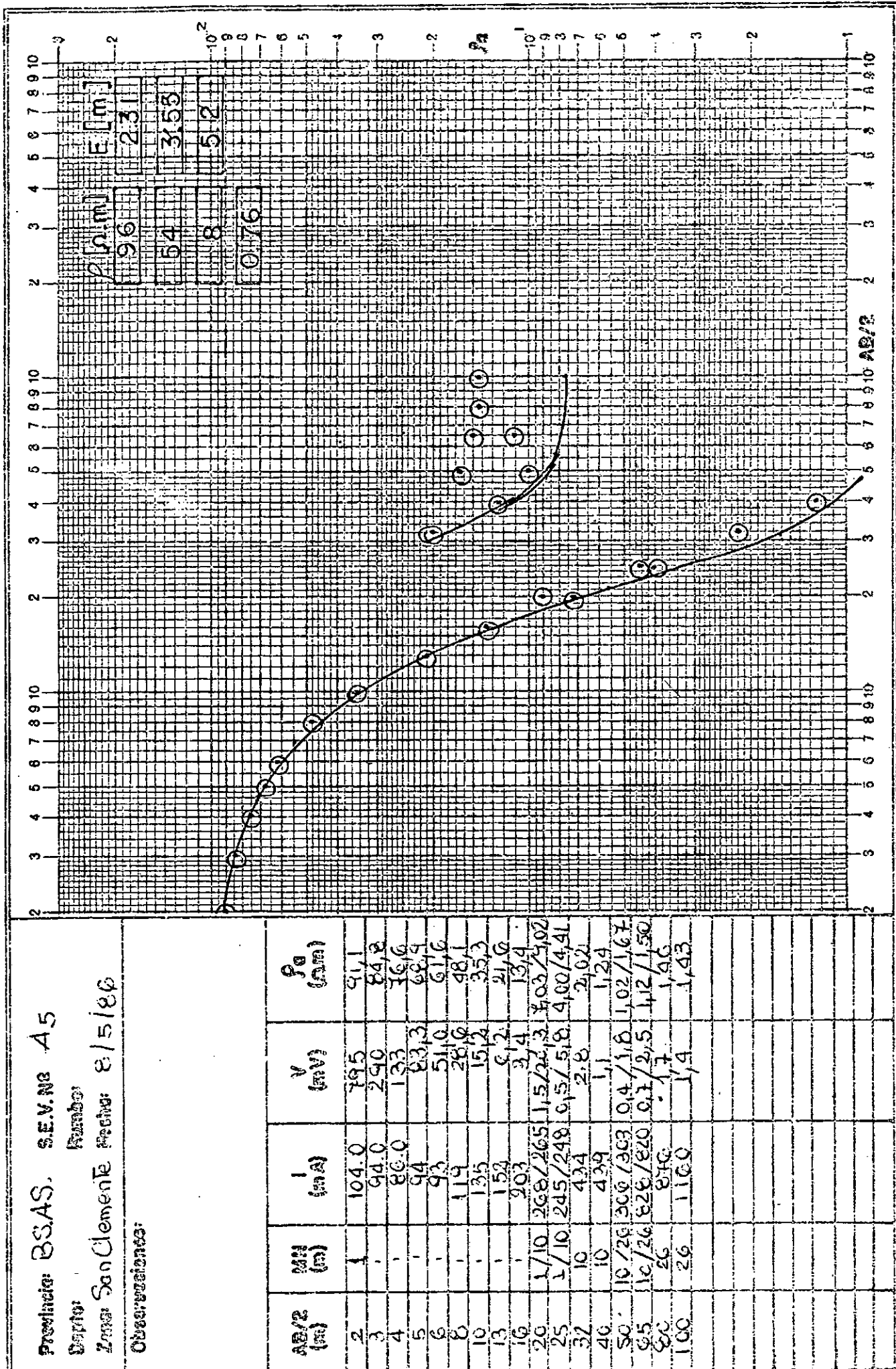


Predicting BSAS, SEV, N3 A5

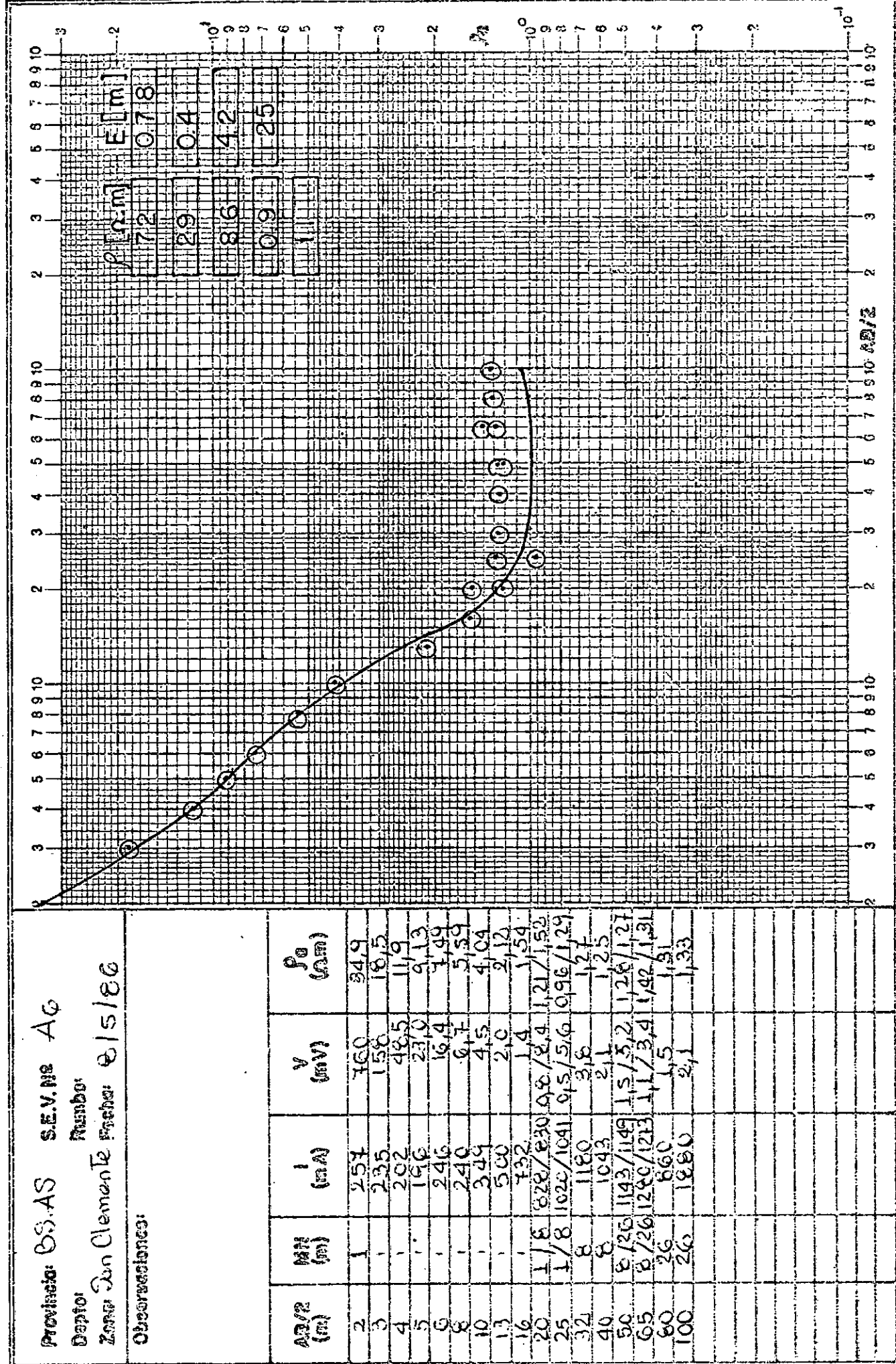
卷之三

Zona: San Clemente Precio: € / 5 piezas

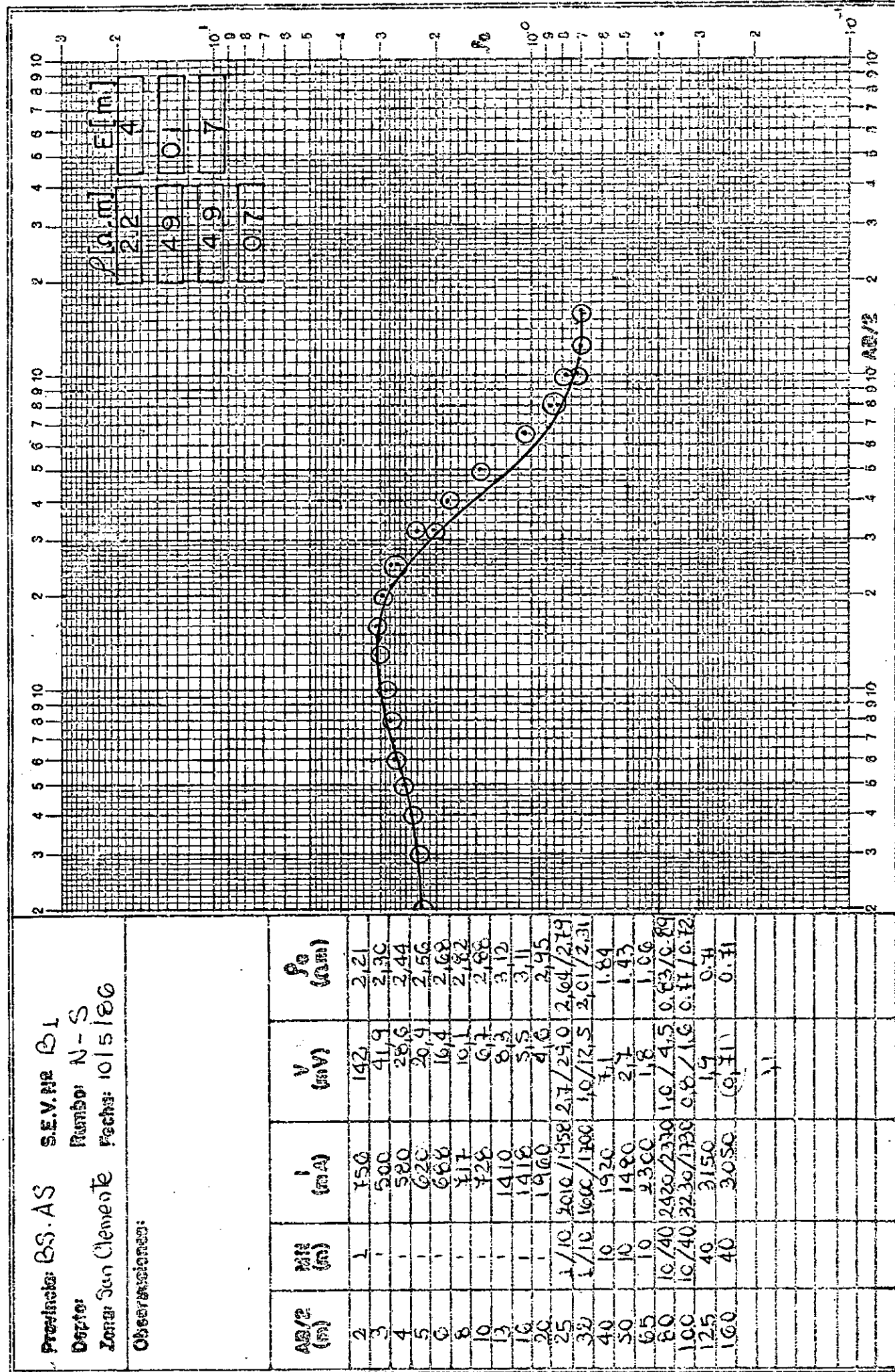
Digitized by srujanika@gmail.com



Provincia: O.S.A.S S.E.V. Nro A6
 Depto: Lambayeque
 Zona: Zona Clemente Pacheco 215186
 Observaciones:



Provincia: Q.S. AS S.E.V.Ra B1
 Depto: N-S Número: 1015186
 Lugar: San Clemente Fecha: 10/5/86
 Observaciones:

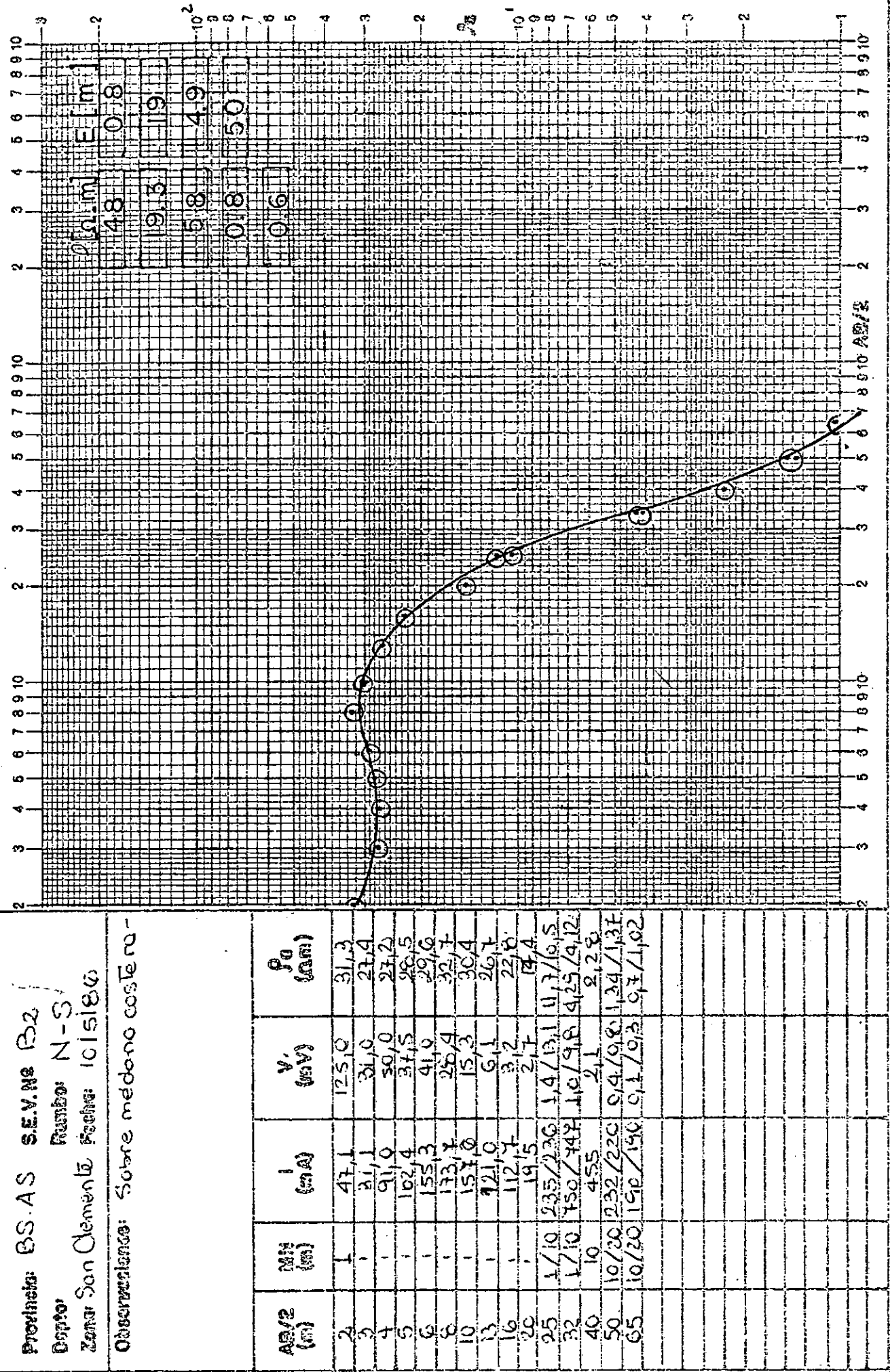


Proyecto: BS.A.S S.E.V.N. #2

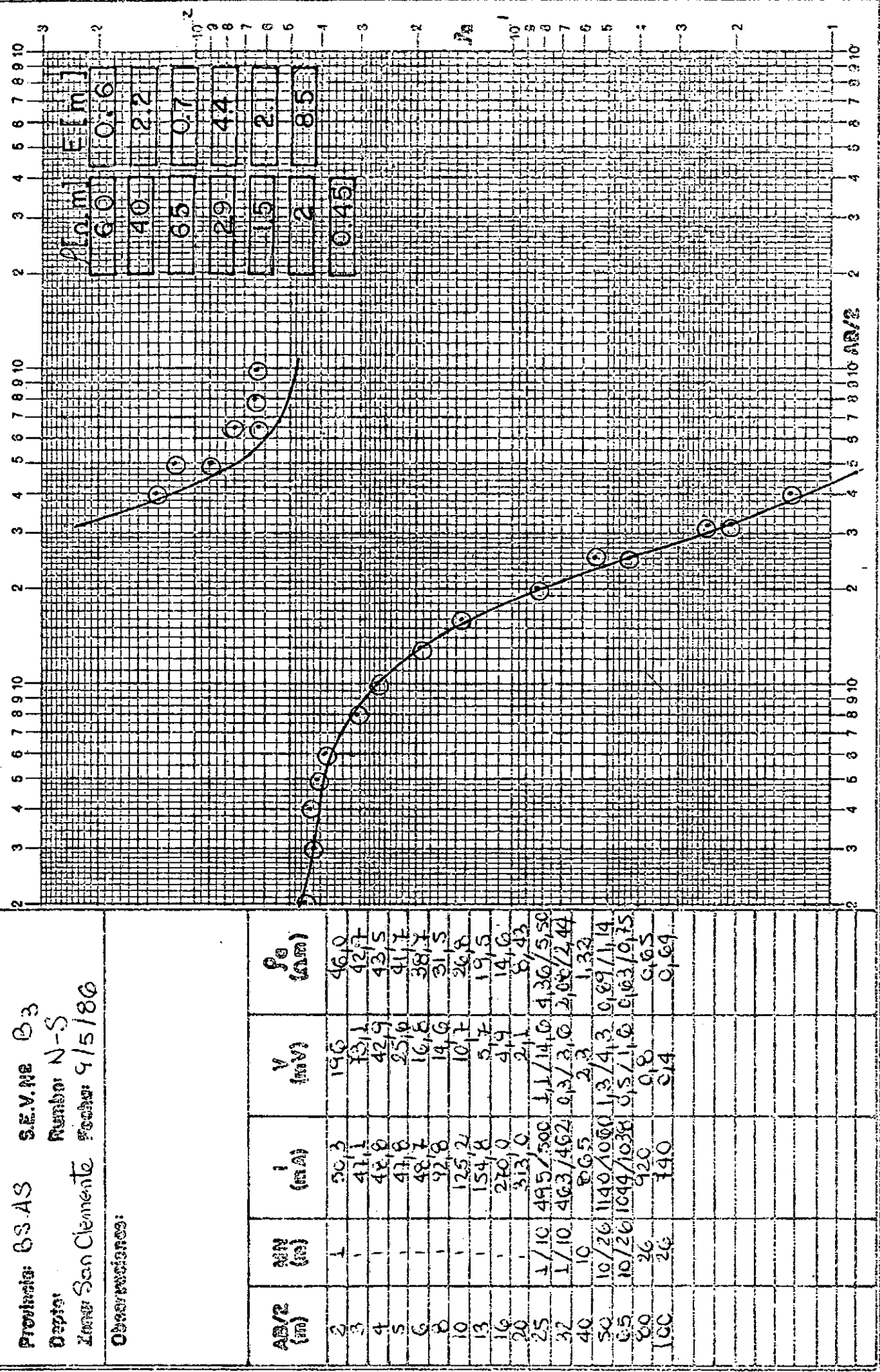
Dirección: N-S
Frente: N-S

Zona: San Clemente Fase: 1C1S1E6

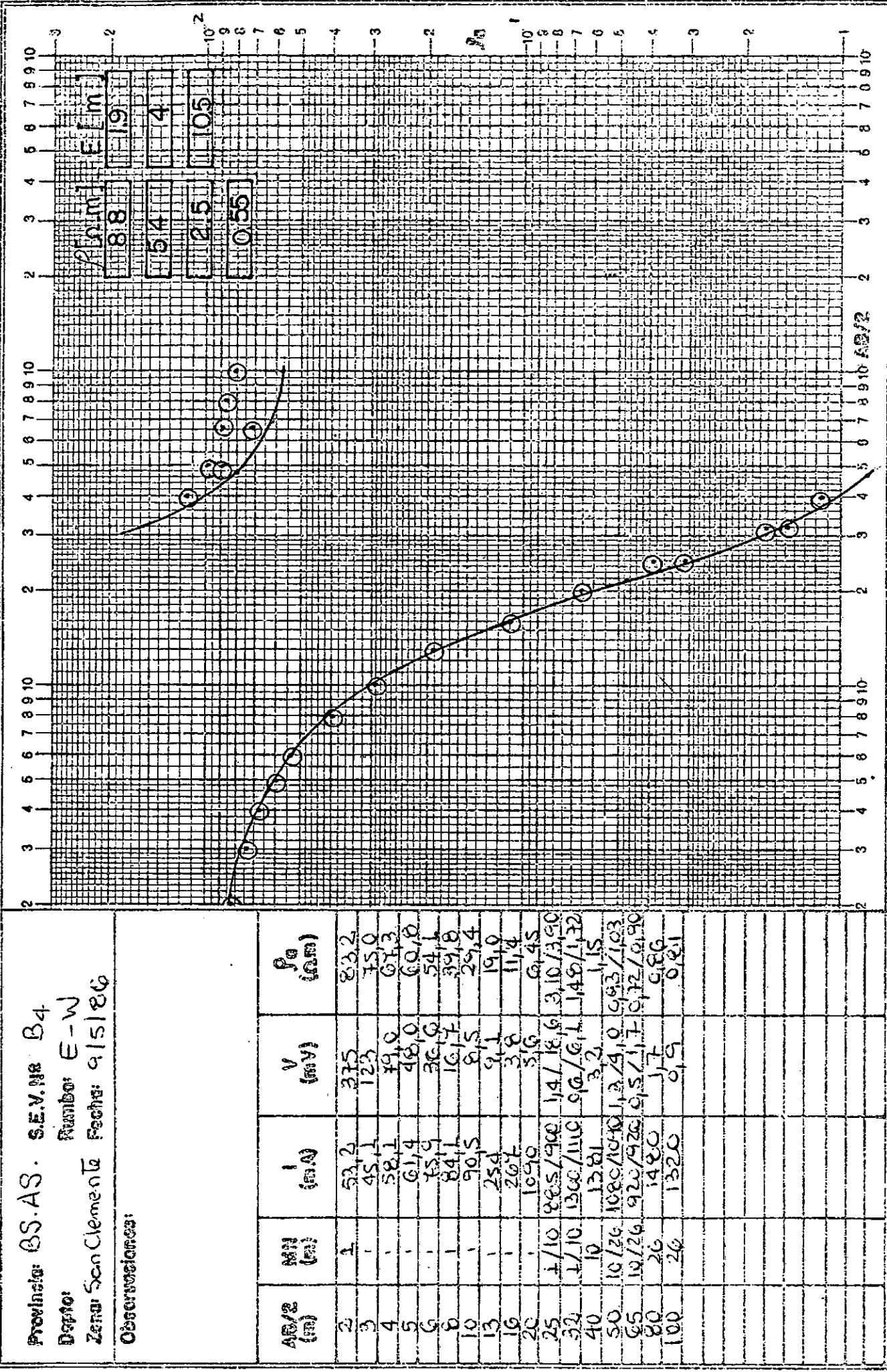
Observaciones: Sobre medono constante



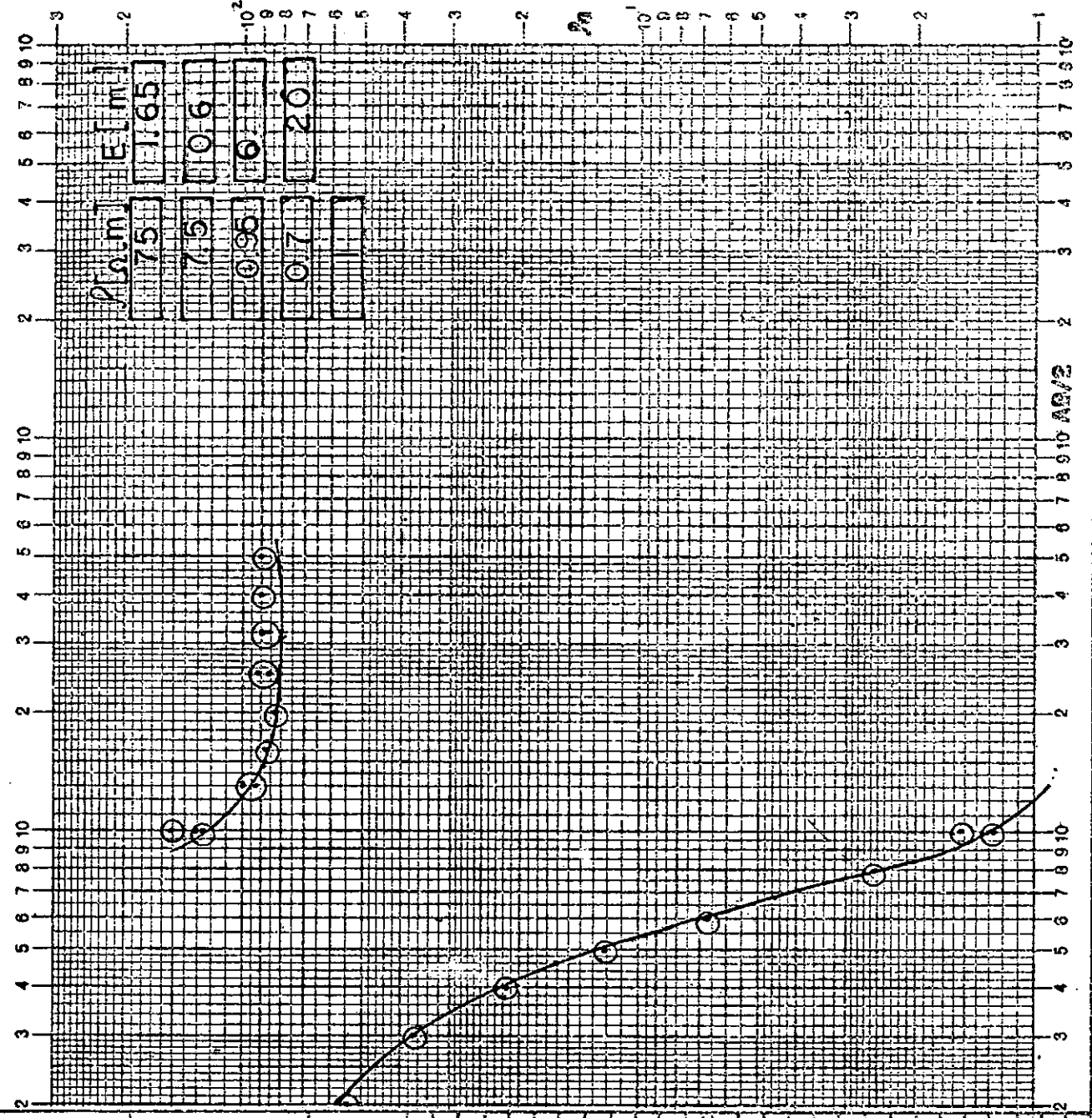
Profile: 03 AS
 Depth: 0 m
 Line: San Clemente
 Date: 9/5/86
 Observations:



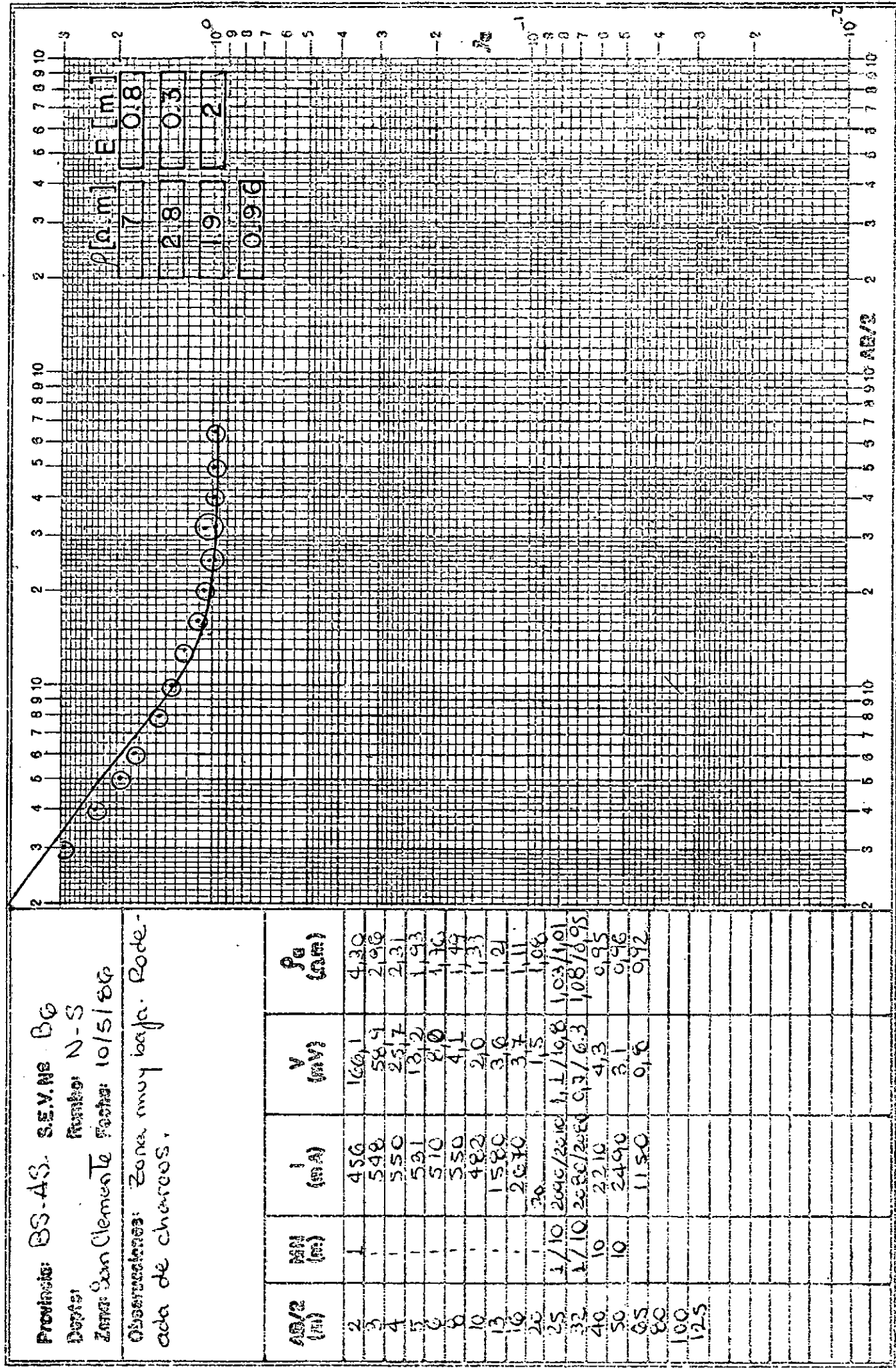
Provincia: BS. AS. S.E.V. Nro. B.4.
 Depto: Número: E-W
 Zona: San Clemente Fecha: 9/15/86
 Observaciones:



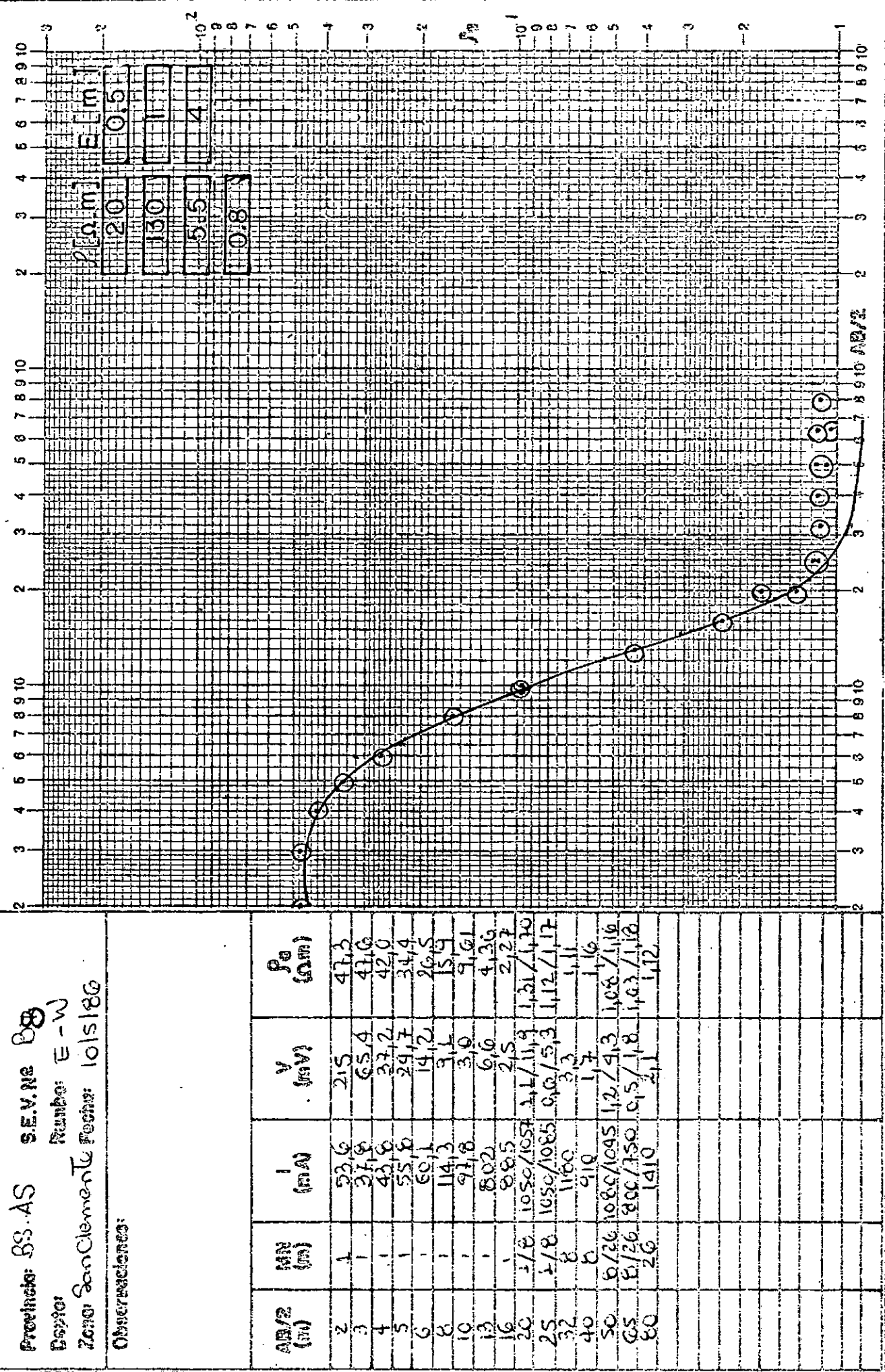
Previous: 63 AS S.E.V. # 65
 Depto:
 Punto San Clemente Fecha: 10/15/86
 Observaciones:



AS/E (cm)	MN (cm)	I (μA)	V (mV)	$\frac{g_0}{g_0}$ (cm)
2	1	48.8	22.9	54.9
3	1	47.2	69.0	37.3
4	1	37.7	16.4	21.5
5	1	51.0	7.9	12.1
6	1	204.0	12.4	9.66
8	1	40.4	5.2	2.55
10	1/4	972/954	4.0/19.2	1.29/1.51
13	1/4	1030/1035	1.0/0.0	0.93/1.00
16	4	829	3.6	0.86
20	4	935	2.5	0.83
25	4/10	1018/1040	1.0/4.2	0.91/0.96
32	4/10	1044/1072	1.2/3.2	0.84/0.88
40	10	1075	2.0	0.90
50	10	1110	1.3	0.91
65				

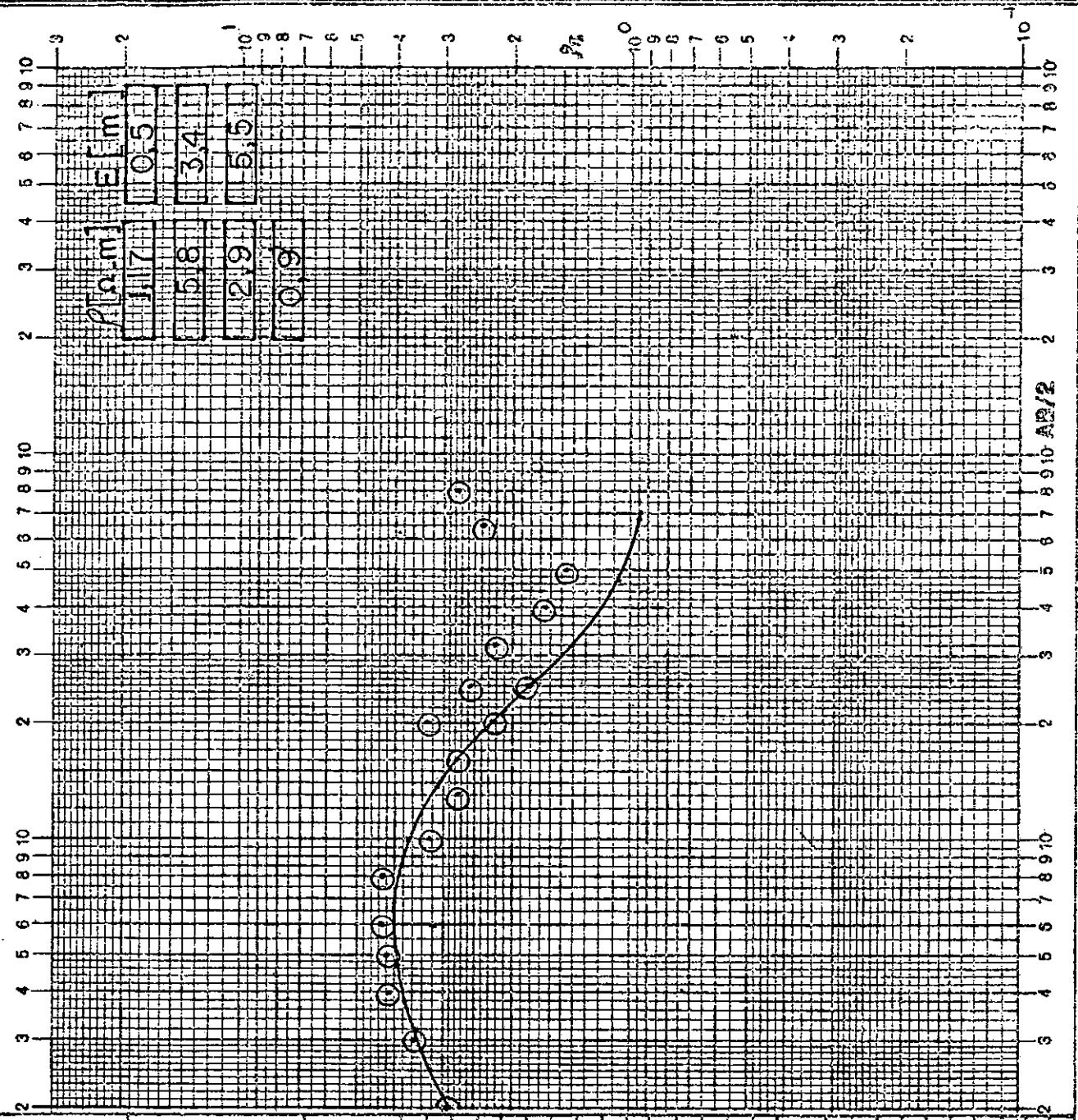


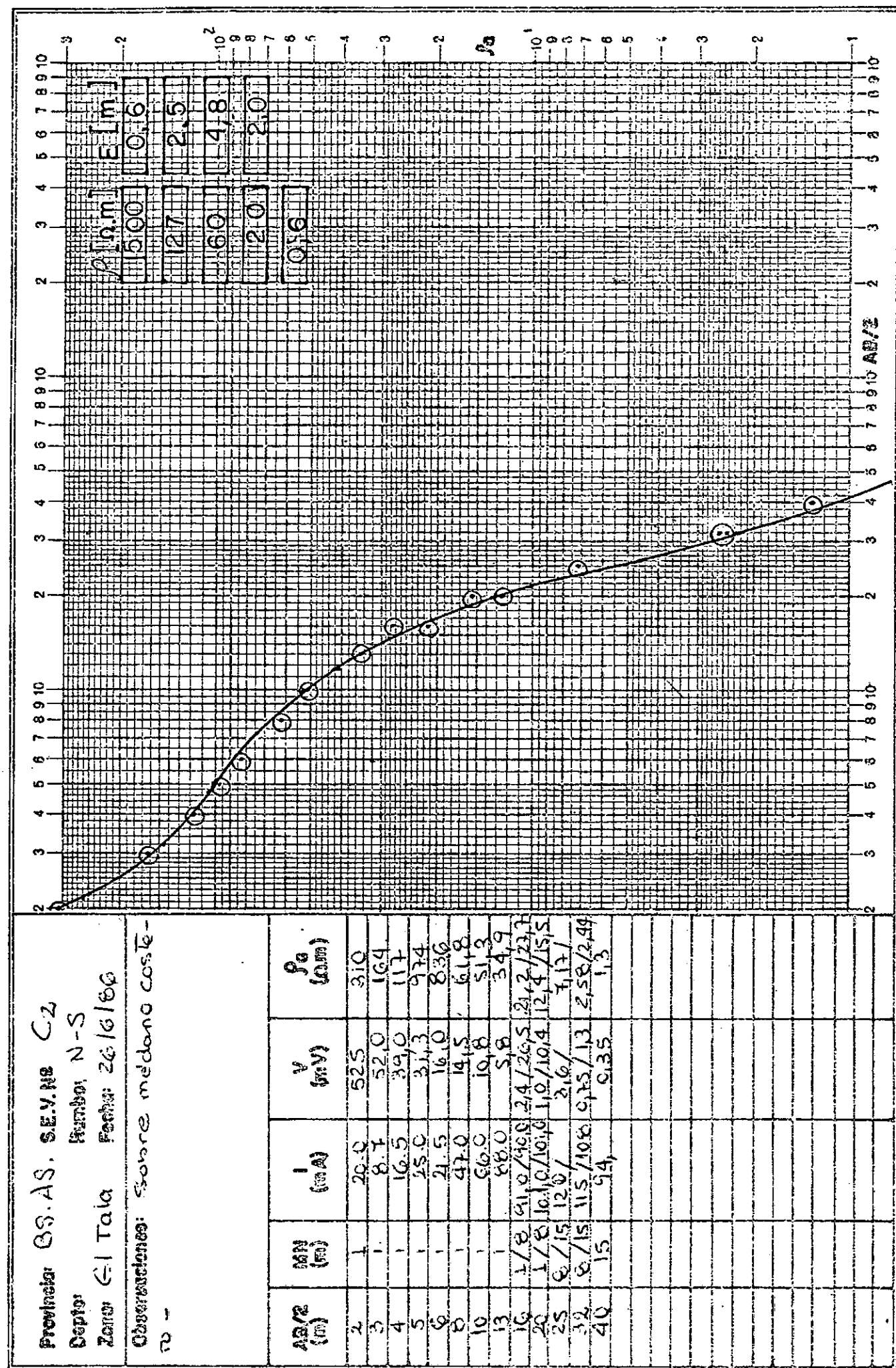
Proyecto: BS-AS S.E.V. No 08
 Dirección: E-W
 Zona: San Clemente Fecha: 10/5/86
 Observaciones:



Preliminario: DS-AS SEM-NR2 C1
 Depth: Number: WJ-S
 Zone: El Tala Fecha: 20/10/86
 Observaciones:

AB/S (cm)	MN (m)	I (mA)	V (mV)	f ₀ (nm)
2	1	592	150,0	2,99
3	1	534	10,3	3,59
4	1	453	34,5	4,10
5	1	321	24,9	4,17
6	1	576	22,2	4,33
7	1	322	29,2	4,36
8	1	1690	17,3	3,21
9	1	1910	9,9	2,75
10	1	2760	9,6	2,79
20	1/8	2430/2420	4,3/52,2	2,22/3,24
25	1/8	2800/1330	2,6/14,4	1,82/2,52
32	8	2280	12,3	2,17
40	8	2340	7,2	1,66
50		2340	4,2	1,44
65		2640	3,9	2,39
80		2830	3,1	2,15





Precipitación: 0.3 AS

SE.V. Nro C₃

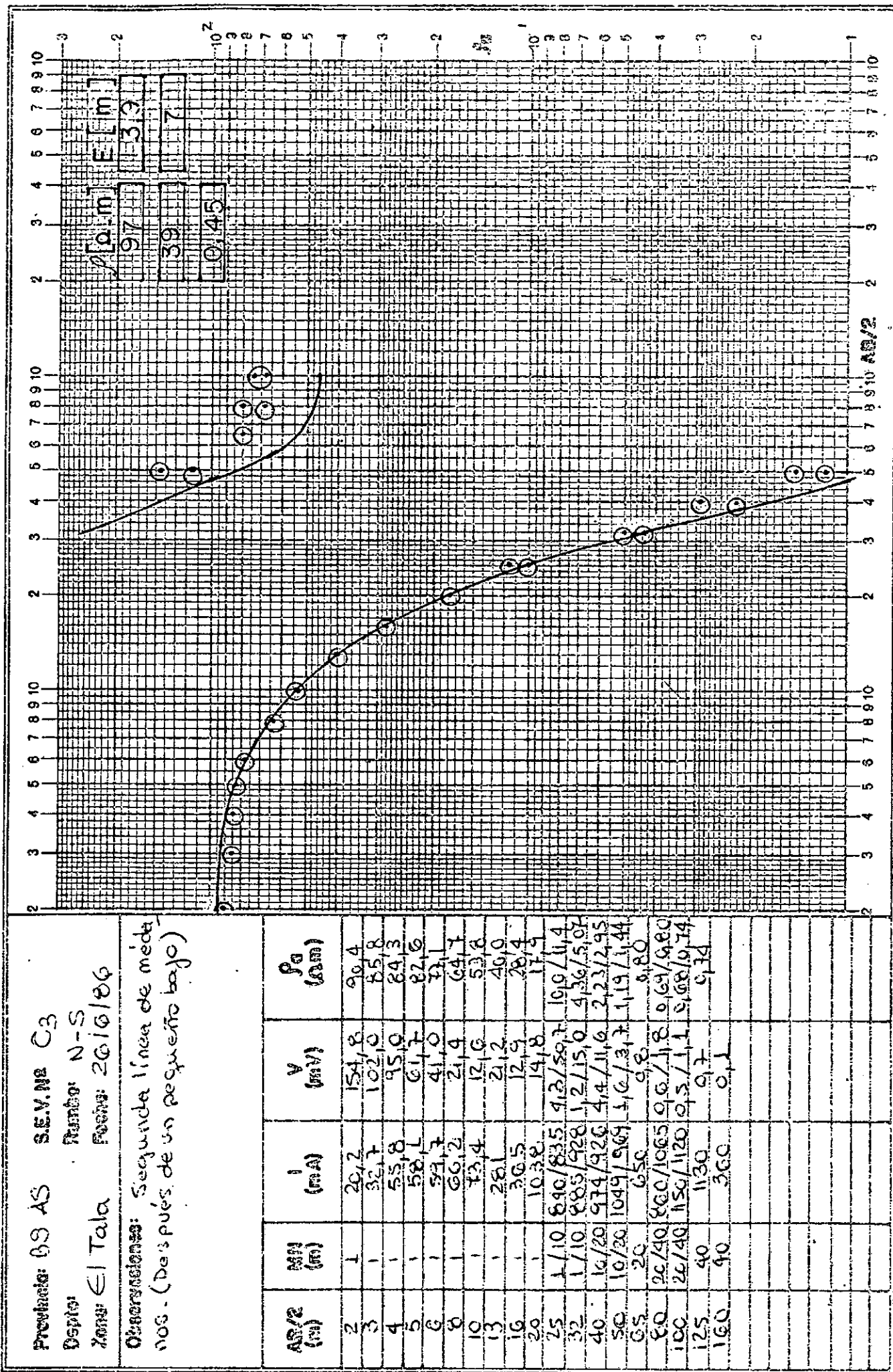
Número N-S

Río: 2616186

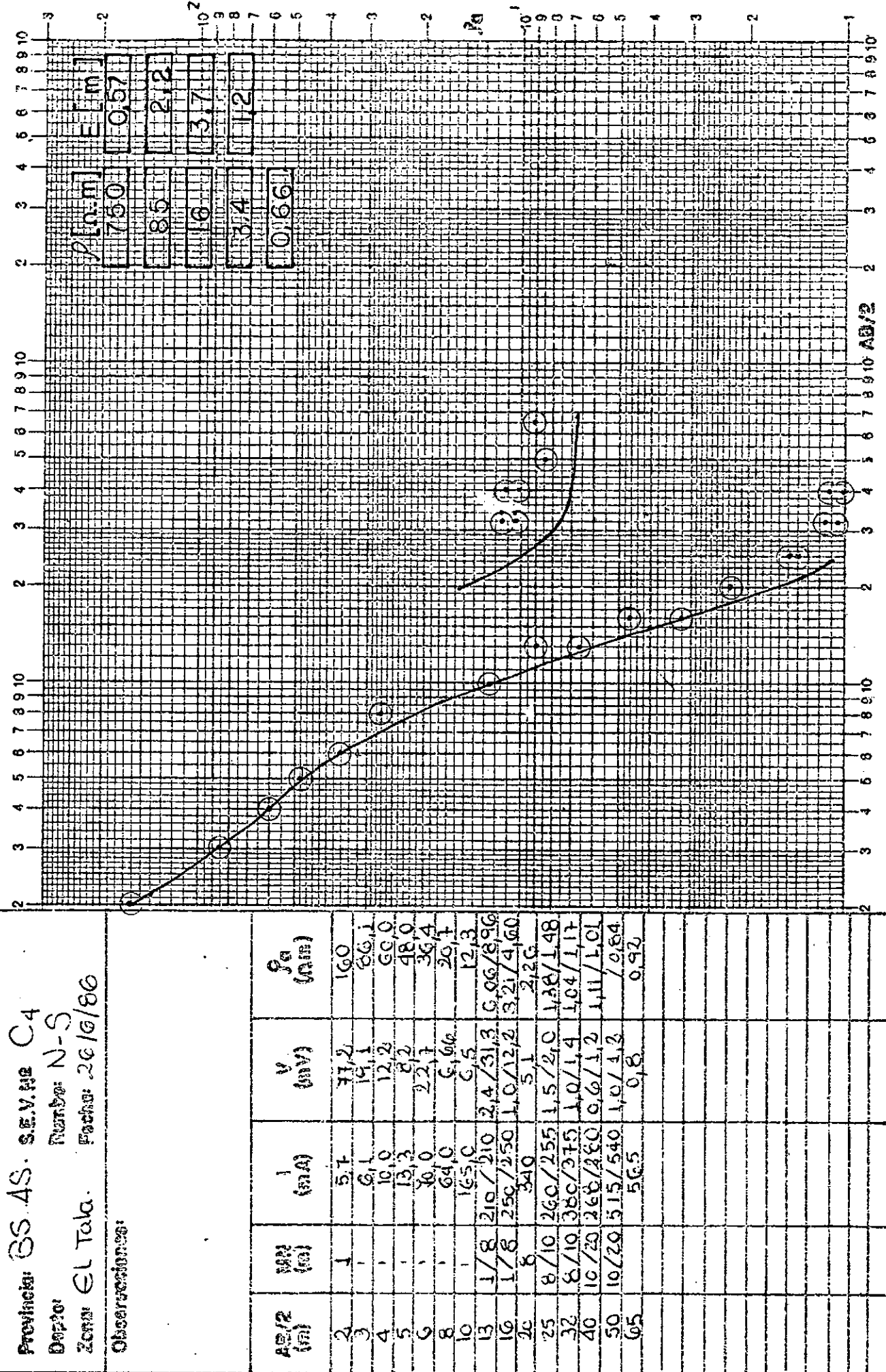
Depósito:

Zona: El Tala

Observaciones: Segundas líneas de medidores. (Después de un pequeño bajo)

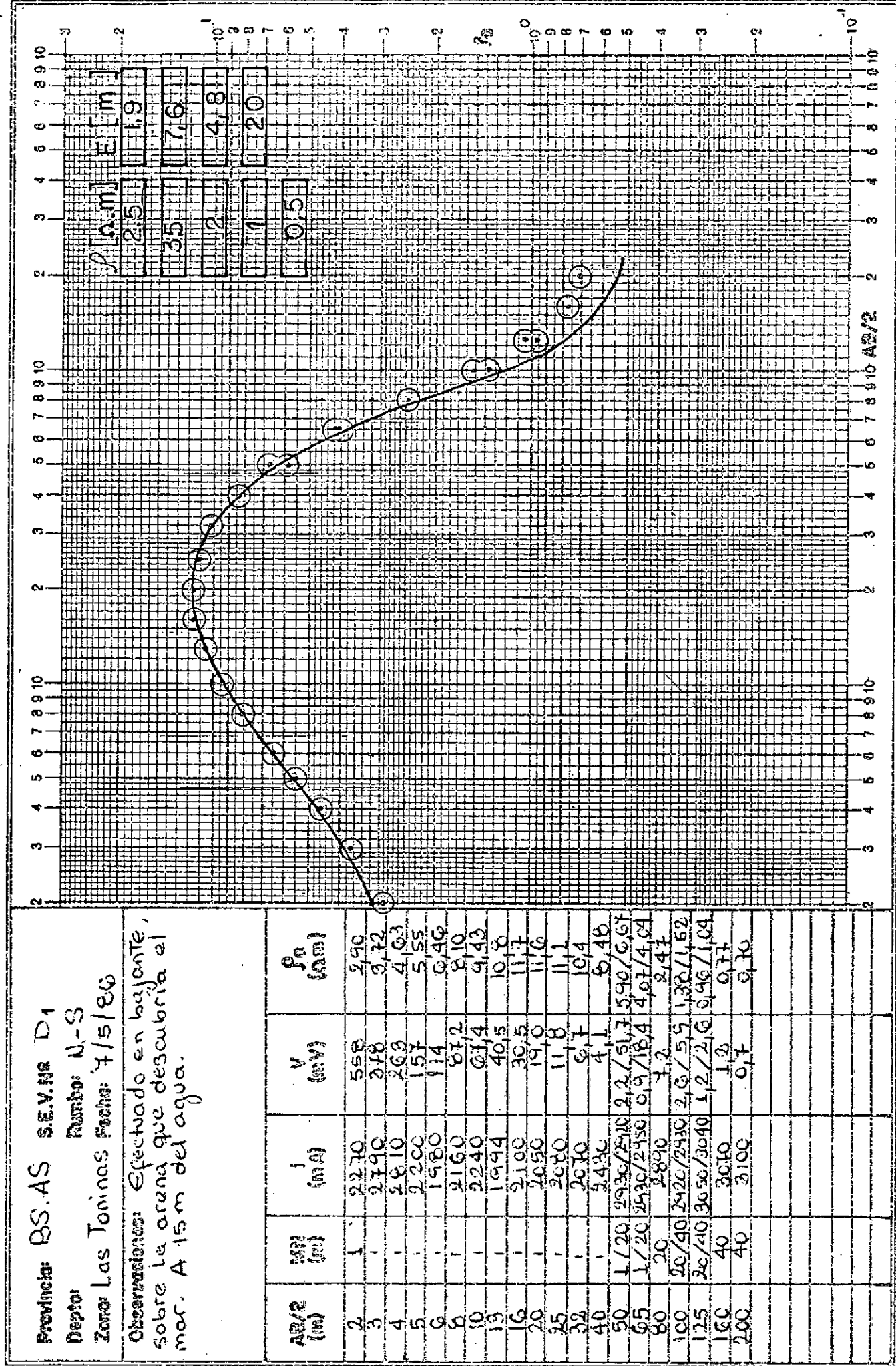


Provincia: GS AS. S.E.V. #2 C4
 Distrito: N-S
 Fecha: 26/6/86
 Zona: El Tala. Observaciones:

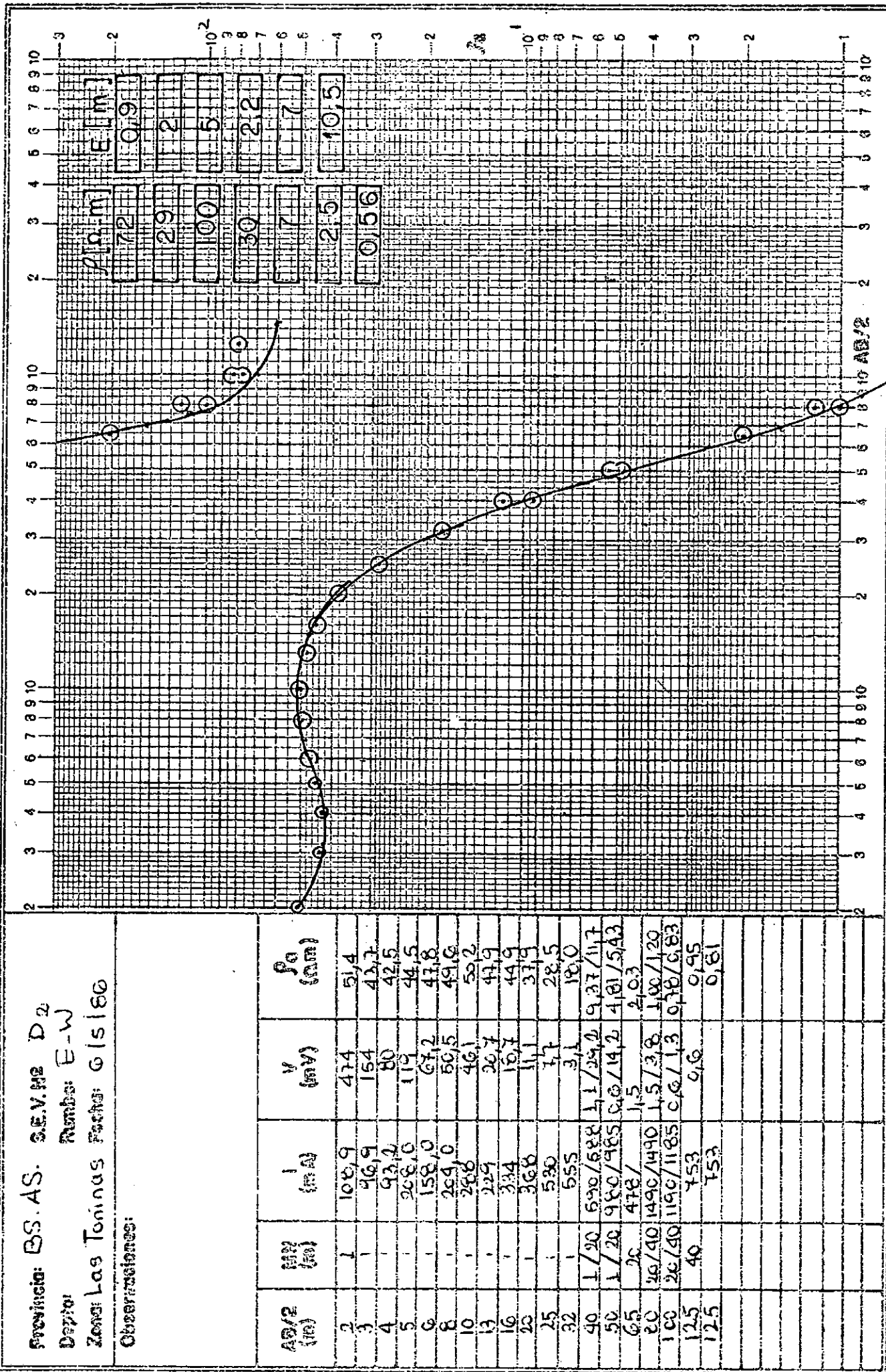


Provincia: BS. AS S.E.V. N° D1
 Depto: Mar del Plata: M-S
 Zona: Las Toninas Fecha: 4/5/86

Observaciones: Efectuado en balante,
 sobre la arena que descubría el
 msc. A 15 m del agua.

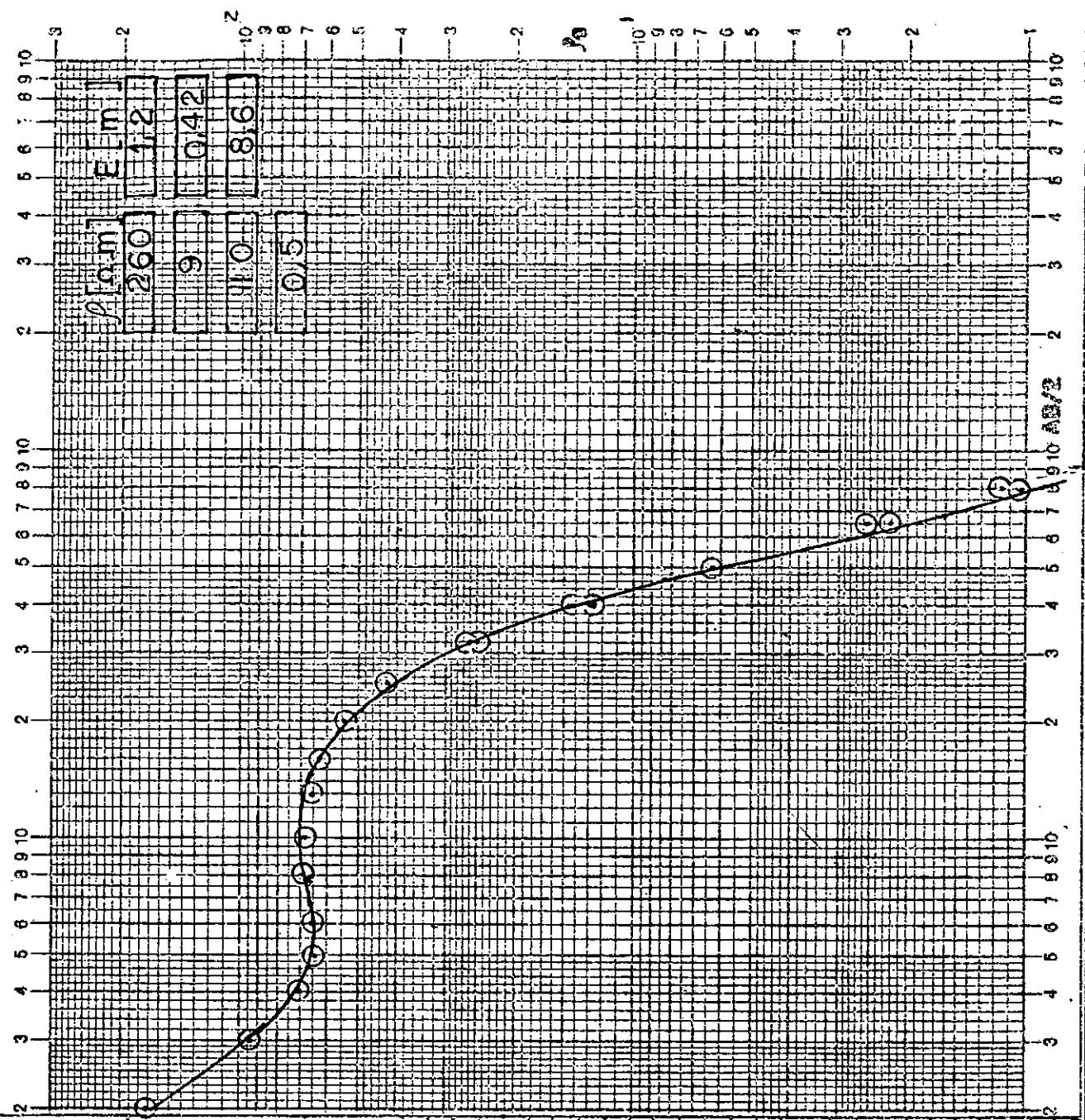


Provincia: BS. AS. S.E.V. M2 D2
 Depto: Rumbos: E-W
 Zona: Las Toninas Fecha: 6/18/60
 Observaciones:



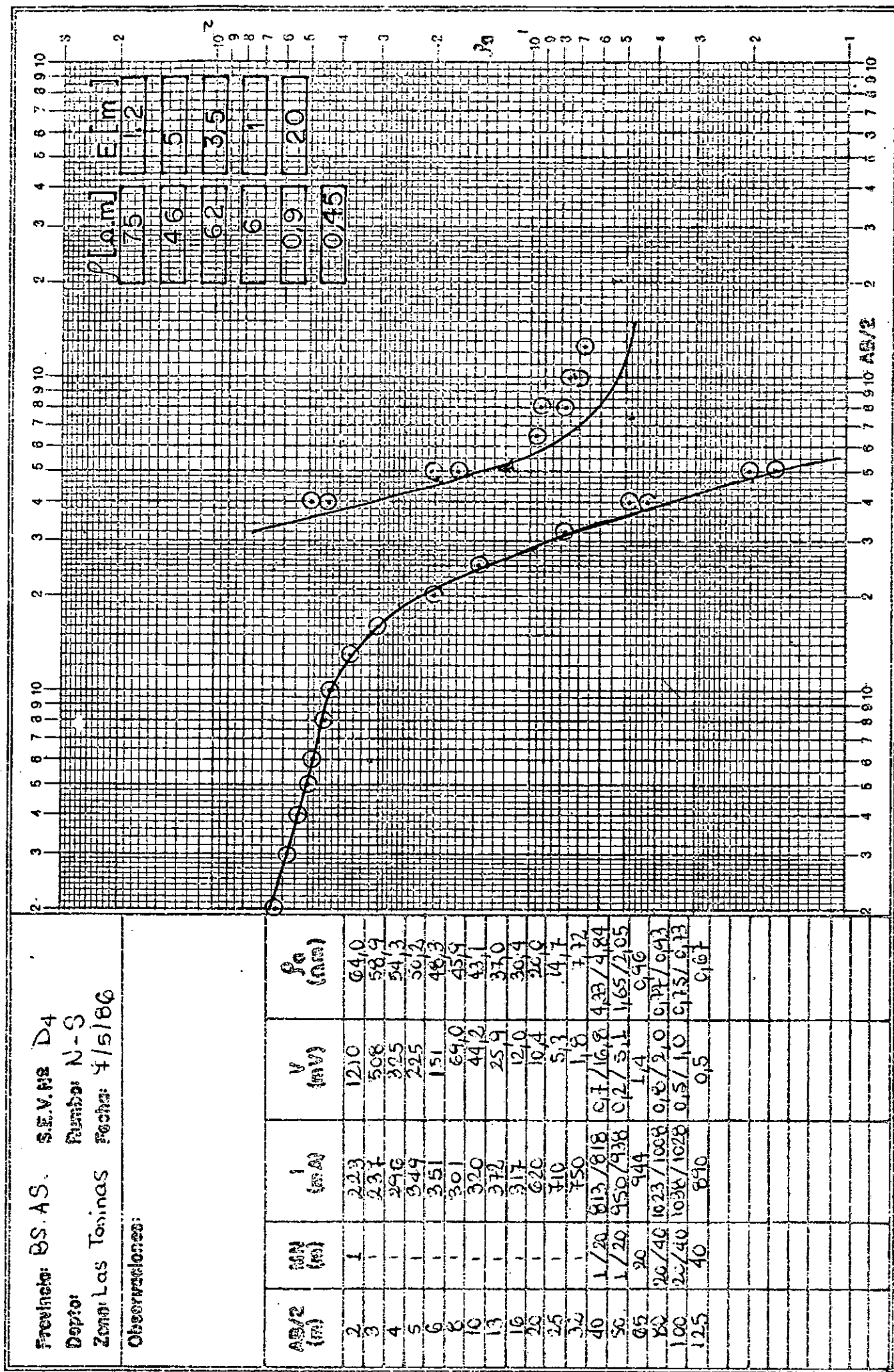
Fuente: BS.45 S.E.V.H2 D3
 Depos: Número E-W
 Zona Las Tinajas Fecha: 7/5/86

Observación: En $A_3/2 = 100$ el potencial es invencible; pero seguro que se sigue bajando.



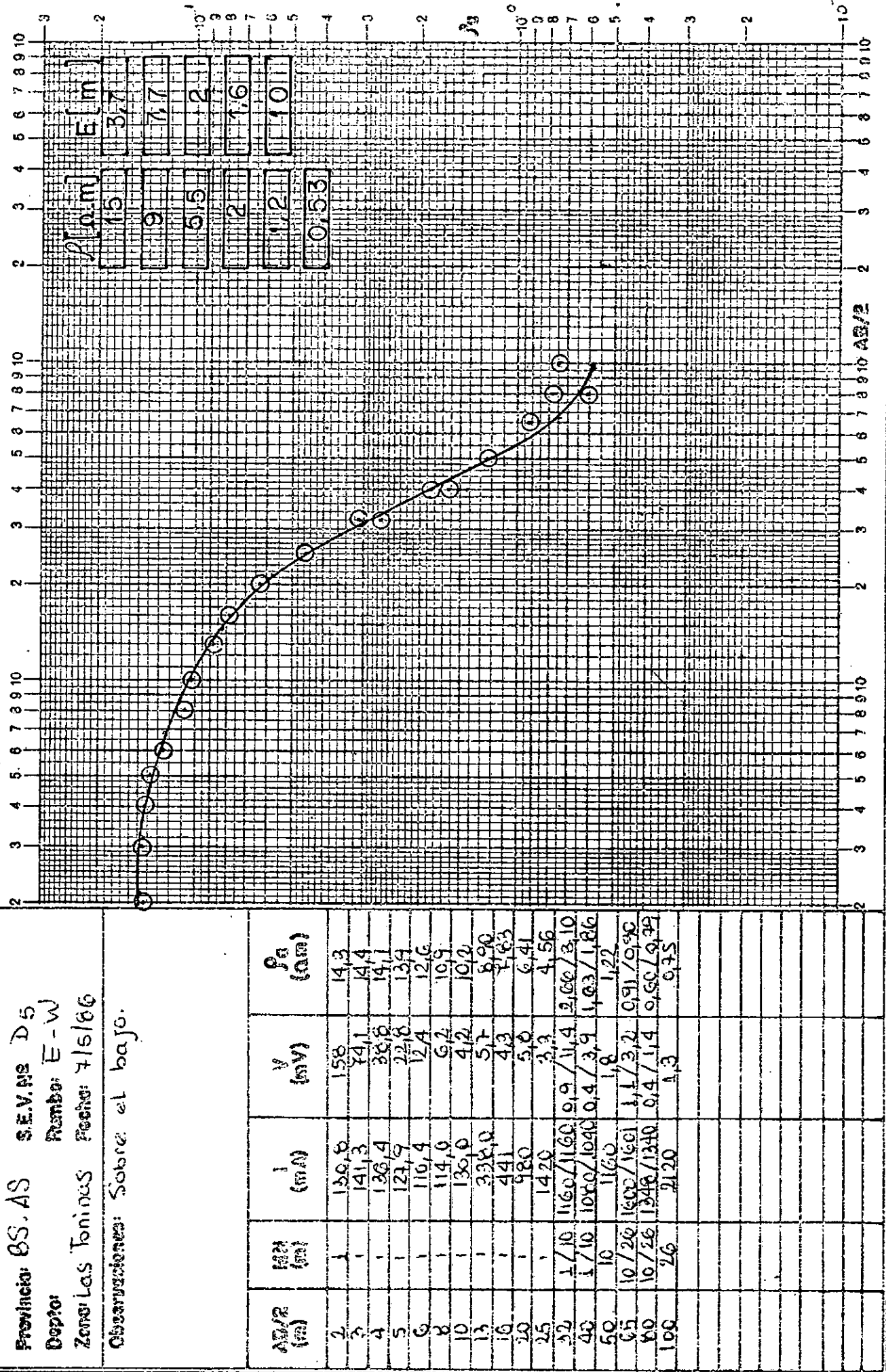
519

Provincia: BS. AS. S.E.V. N° D4
 Depto: N-S
 Número: N-S
 Zona: Las Toninas Fecha: 4/5/86
 Observaciones:

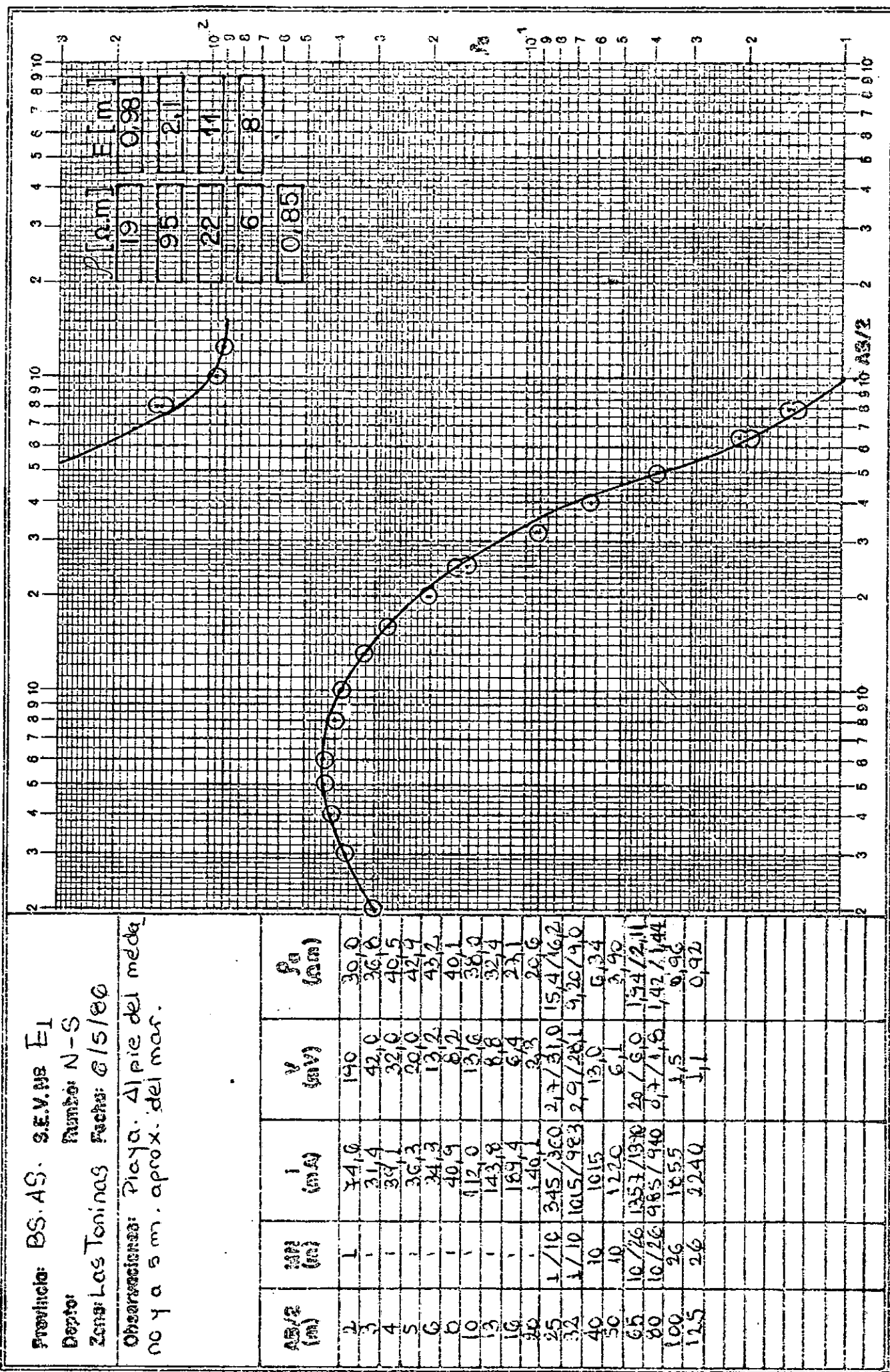


Provincia BS. AS
 Depto:
 Zona Los Tonales
 Rumb: E - W
 Fecha: 4/5/66

Observaciones: Sobre el bajo.

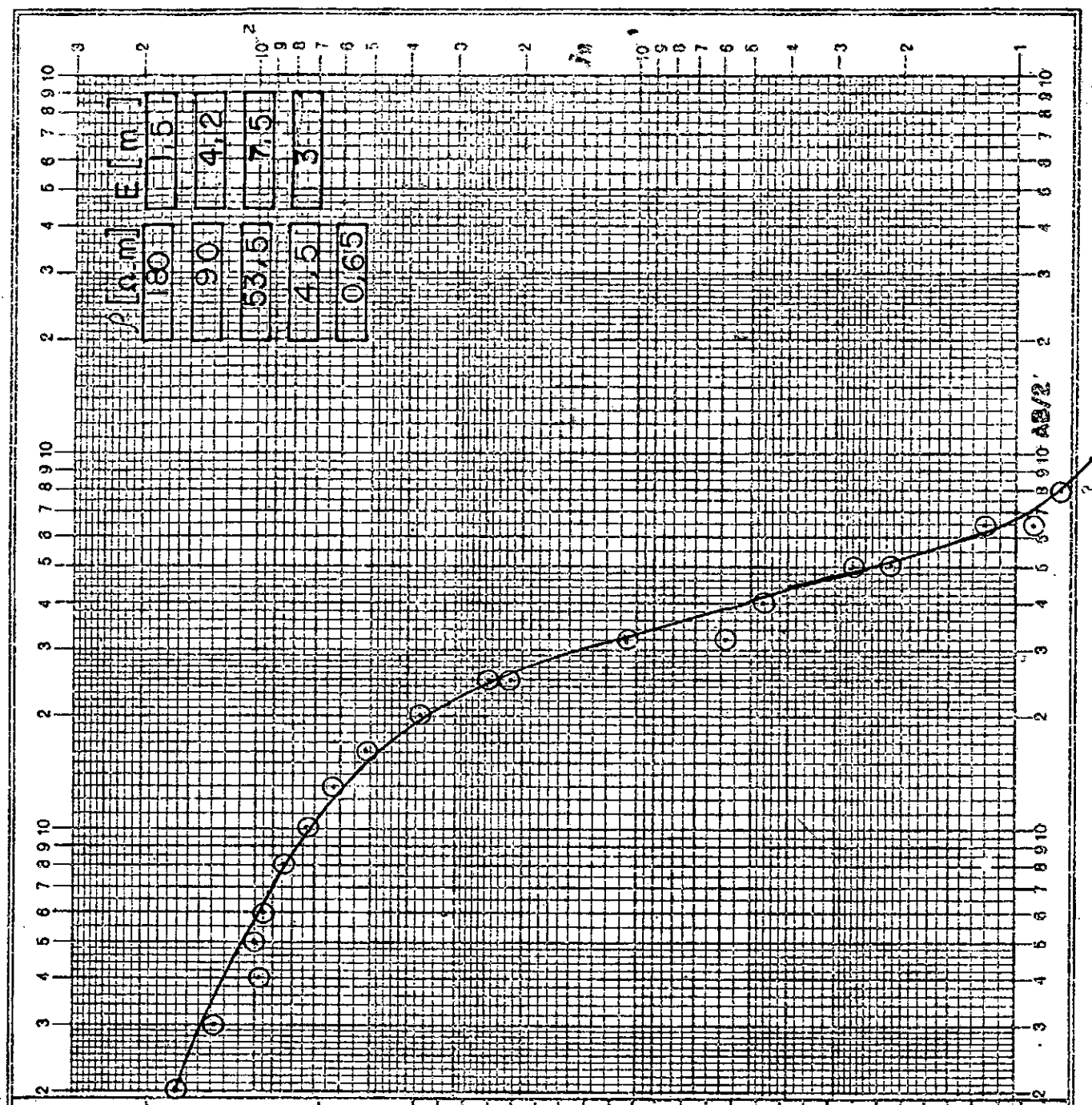


Provincia: BS. AS. Sección E1
 Depto: Número: N-S
 Zona: Las Toninas Fecha: 6/15/80
 Observaciones: Playa. Al pie del muro.
 0 a 5 m. aprox. del mar.

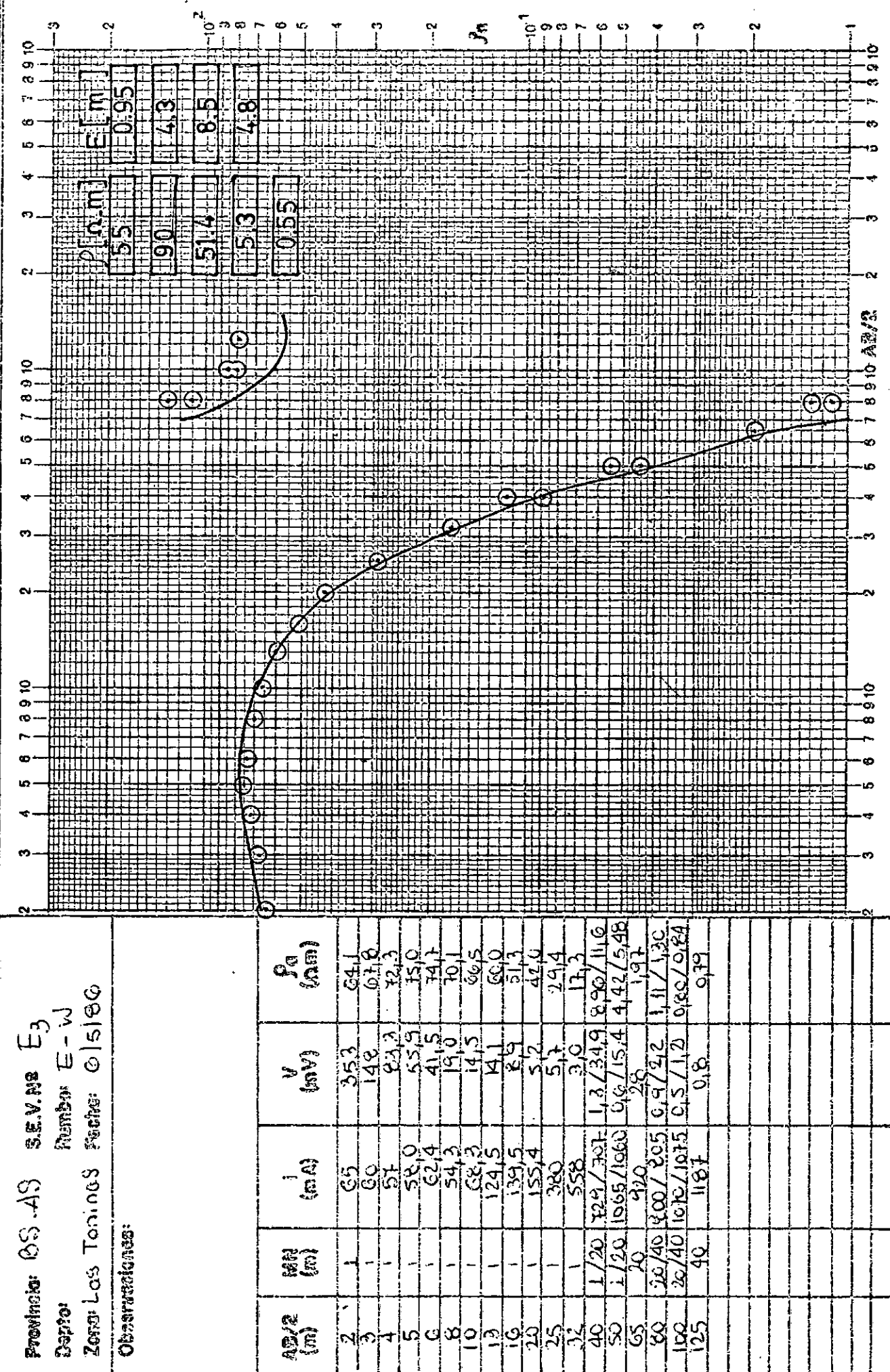


Provincia: DS. AS. S.E.V. Nro E2
 Depto: N - S
 Zona: Las Toninas Fecha: 6/5/86
 Observaciones: Grandes fluctuaciones de
 I sin variar el convertidor.
 (ej.: de 40 (ss) a 60 (ss) a 50 (ss))

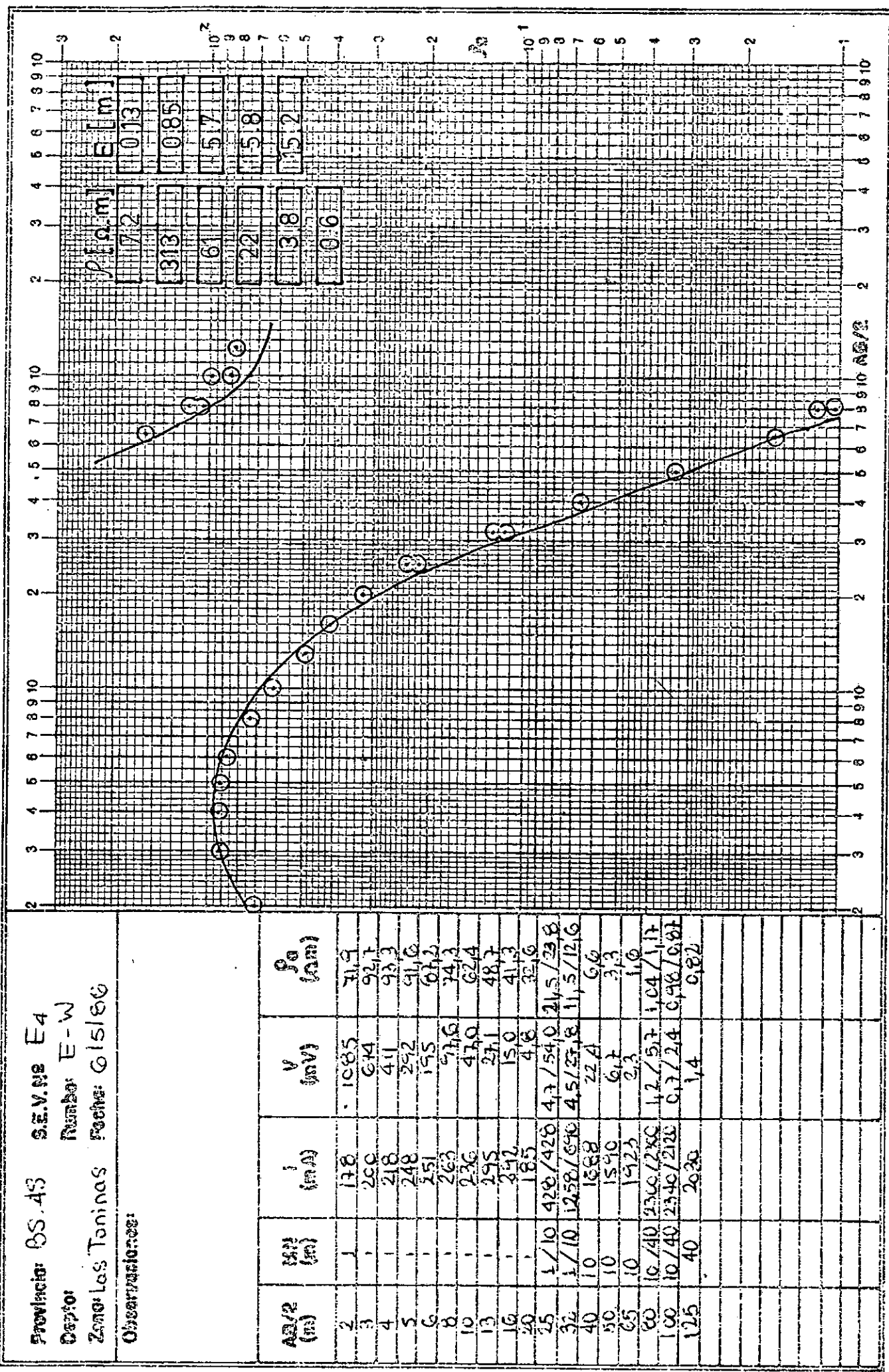
$AB/2$ (m)	N_{20} (ss)	I (mA)	V (mV)	f_{eq} (Hz)
2	1	28.0	37.8	159.7
3	1	13.9	61.9	127.0
4	1	28.7	14.5	98.0
5	1	20.2	26.2	100.1
6	1	21.3	18.2	95.9
8	1	15.2	6.4	84.3
10	1	25.2	5.9	73.4
13	1	83.6	9.9	62.7
16	1	18.0	11.6	51.9
20	1	12.4	3.1	37.5
25	1/10	122/224	2.8/26.9	24.8/22.6
32	1/10	283/171	5.8/10.8	5.8/10.8
40	10	55.5	4.7	4.7
50	10/26	190/190	9.12/2.1	2.12/2.1
65	10/26	364/365	0.91/1.2	0.91/1.2
80	26	47.5	0.87	0.87



Provincia: O.S. 43 S.E.V. Nro E₃
 Depart: Río Negro
 Zona: Los Toninos Punto: G 15186
 Observaciones:



Provincia BS. 43 SE. V. N.E E4
 Depto: Number E-W
 Zona: Los Toninas Fecha: 6/5/64
 Observaciones:



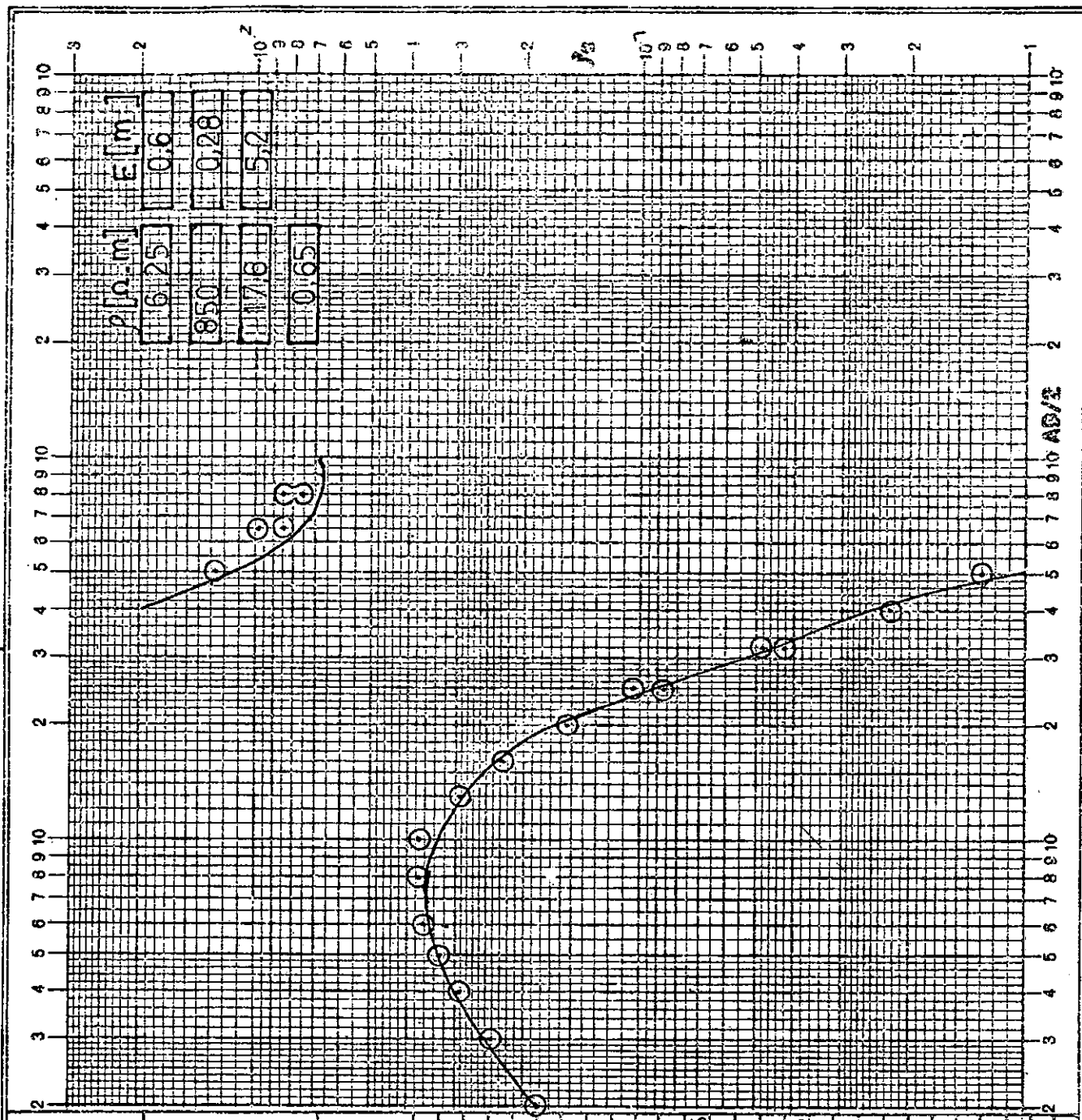
Provincia: DS. AS S.E.V. Nro E5
Depart: N-S

Zona: Las Toninas Punto: C/15/86

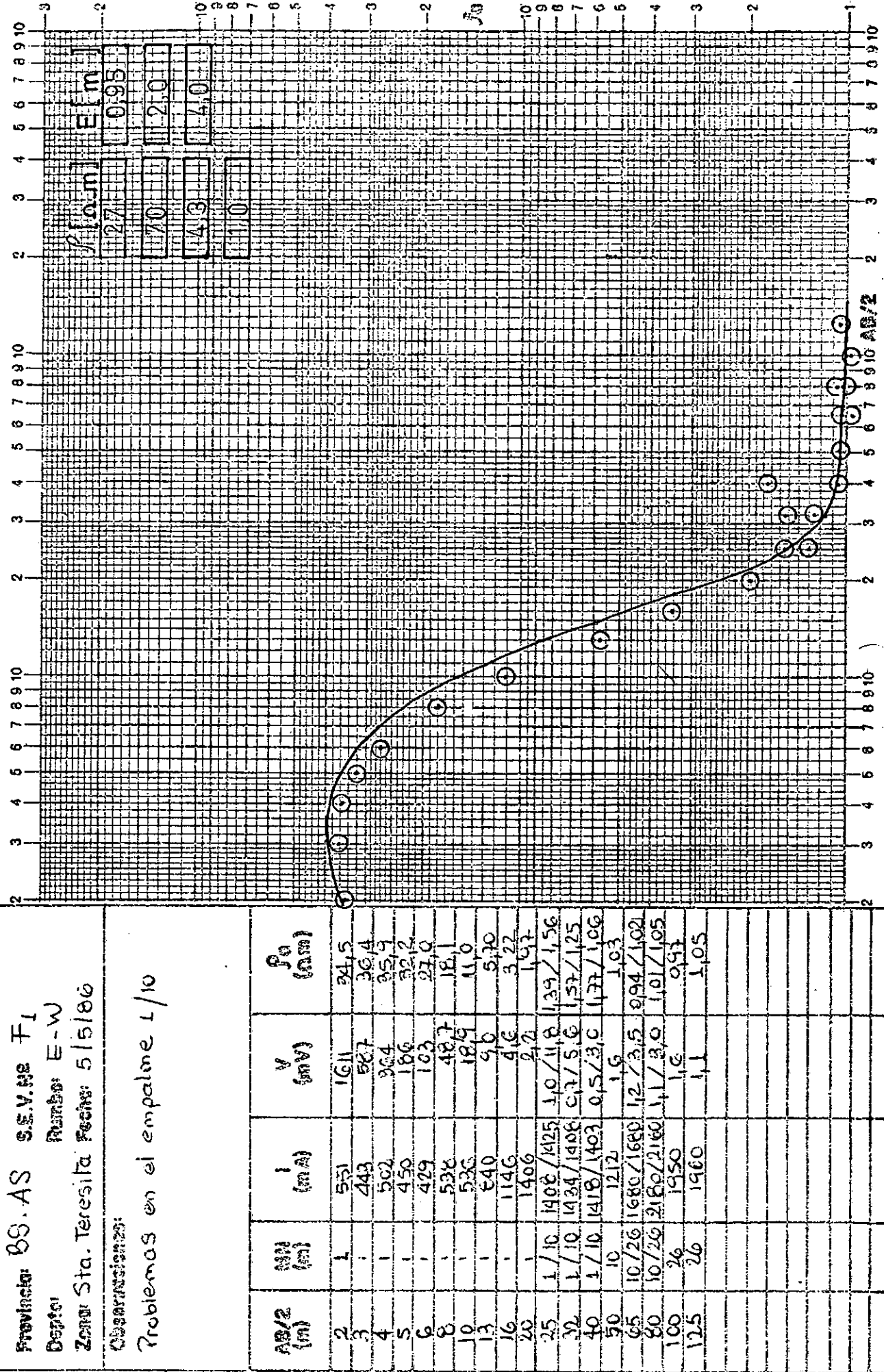
Observaciones: Se abre la zona baja.

En $A_B/2 = 100$ medida poco confiable por potencial muy bajo - Resistividad muy baja, de 0.16 (dudosa)

$A_B/2$ (m)	R_{21} (m)	I (mA)	V (mV)	ρ_a (m)
2	1	179,4	283	18,0
3	1	172,6	151	24,3
4	1	166,2	48,7	25,4
5	1	212	91,1	33,5
6	1	190	62,9	26,0
8	1	224	41,3	30,1
10	1	193	21,6	35,1
13	1	168	4,2	29,0
16	1	190	5,3	22,4
20	1	165	2,2	15,4
25	1 / 10	882 / 175	4,0 / 1,8	8,76 / 10,5
32	1 / 10	1140 / 165	1,5 / 2,5	4,23 / 4,85
40	10	113,0	5,2	2,24
50	10	132,5	2,3	1,29
65	10 / 20	155,5 / 155,3	1,0 / 3,1	0,85 / 0,98
80	10 / 20	1466 / 1460	0,5 / 1,7	0,75 / 0,85
100	20	224,0	0,3	0,16



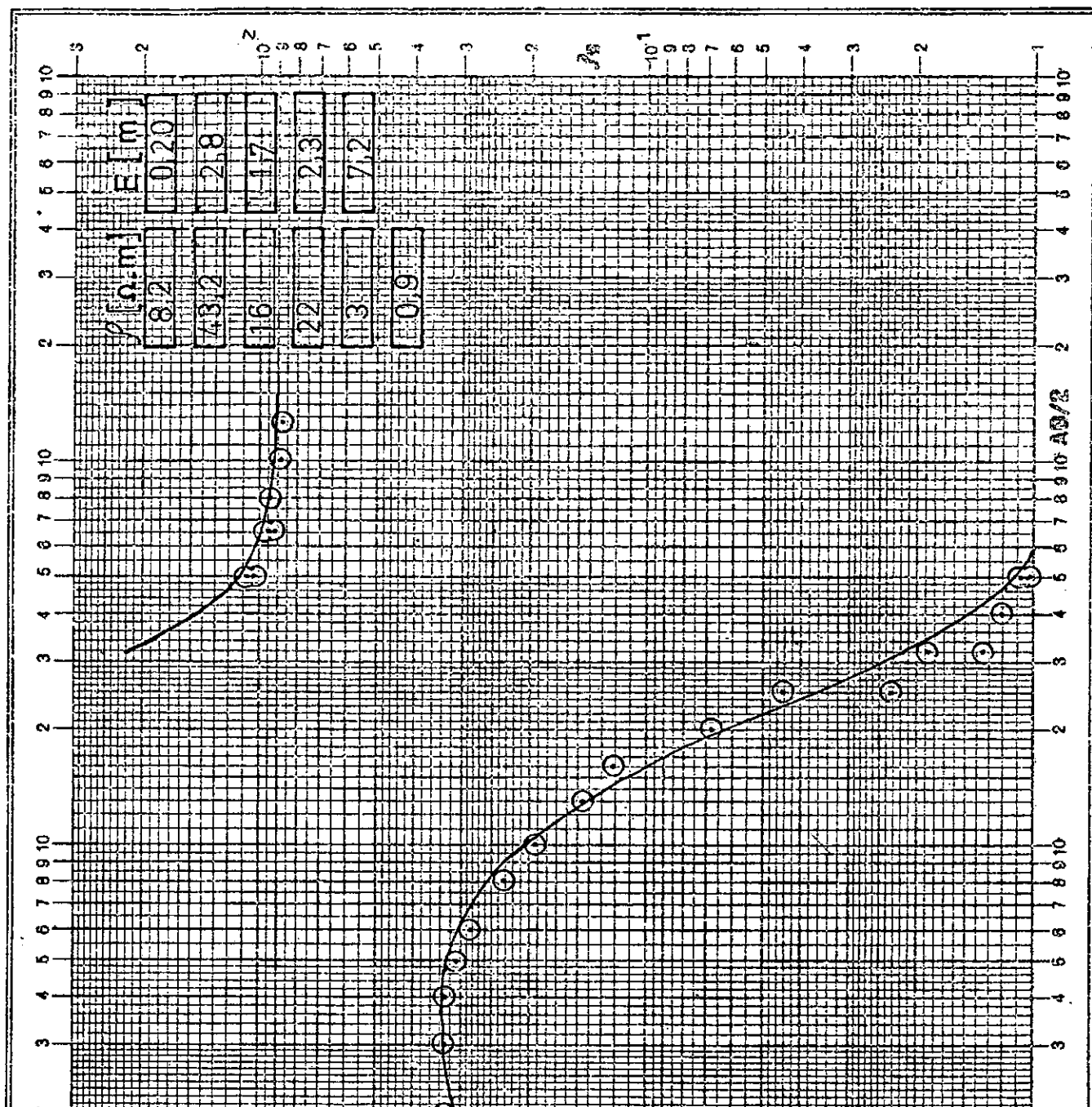
Proyecto: BS, AS S.E.V.R.E F1
 Depto: Río Negro: E-W
 Zona: Sta. Teresita Fecha: 5/5/86
 Observación:
 Problemas en el empalme 1/10



Provincia: BS. AG. SE.V. N° F2
 Número: E-W
 Depto:
 Zona: Sta. Teresita Fecha: 5/5/1866

Observaciones:

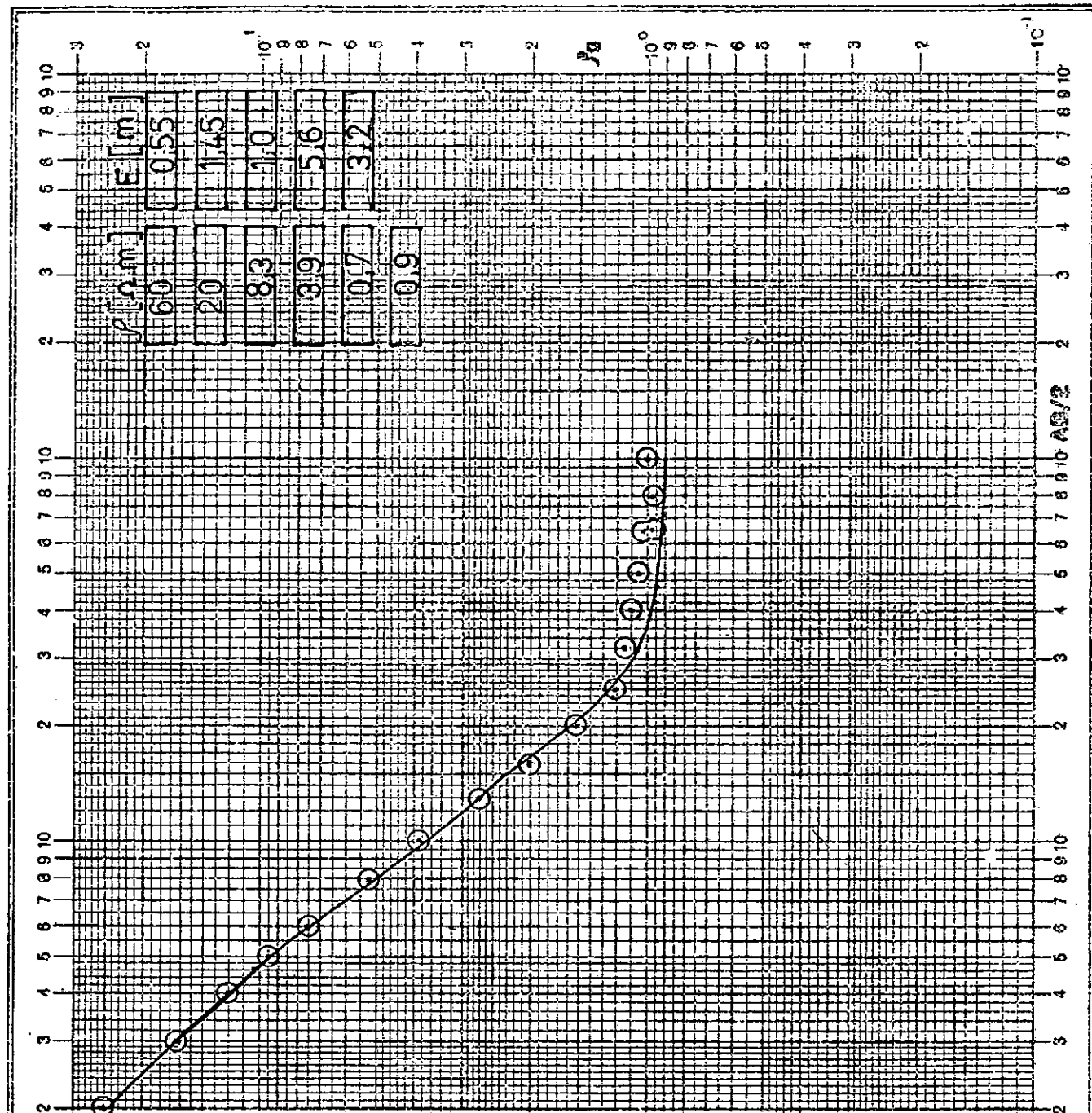
$AB/2$ (m)	γ (cm)	γ_{ref} (cm)	γ (cm)	ρ_0 (cm)
2	1	95,0	26,5	32,9
3	1	100,0	12,3	33,8
4	1	103,0	6,0	33,2
5	1	116	4,5	31,3
6	1	122	31,3	26,8
7	1	122	12,0	23,6
8	1	87,5	5,4	19,3
13	1	44,8	12,5	14,8
16	1	57,5	8,7	12,1
20	1	64,0	3,4	6,20
25	1/10	1560/1000	1,3/25,4	2,26/4,41
32	1/10	456/800	0,4/5,3	1,35/1,87
40	16	630	2,2	1,21
50	16/25	1620/1020	1,4/30	1,01/1,05
65	16/25	1520/1520	4,3/3/3,0	0,93/0,95
80	26	1712	2,1	0,94
100	26	2010	1,5	0,88
125	26	1720	0,8	0,87



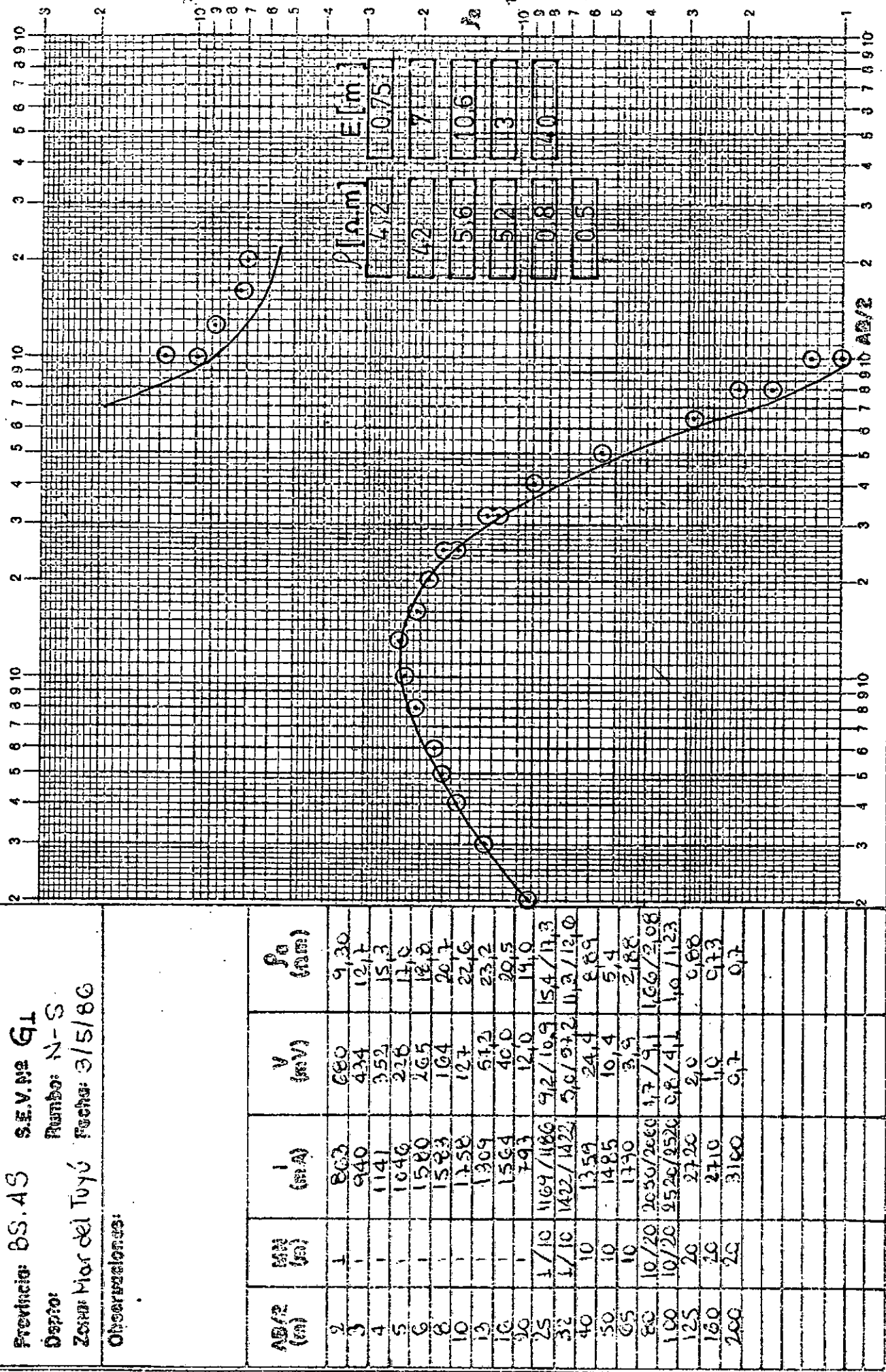
Proveedor: BS-AS SE.V.NE #3
 Dpto: Punto: E-W
 Zona Sta. Teresita Fecha: 5/5/80

Observaciones: Autódromo.

$\Delta S/2$ (m)	S_0 (m)	i (m/m)	V (m/s)	ρ_0 (kg/m³)
2	1	12.7	27.0	25.1
3	1	16.4	9.4	16.2
4	1	22.5	54.6	12.0
5	1	21.7	26.7	16.7
6	1	21.1	14.0	14.5
7	1	31.0	9.6	3.20
8	1	4.38	5.1	3.80
10	1	4.33	3.9	2.1
12	1	14.25	3.6	2.03
20	1	14.20	1.2	1.54
25	1/10	16.40 / 16.44	4.0 / 11.6	12.0 / 1.33
32	1/10	16.10 / 16.25	0.6 / 6.0	12.0 / 1.16
40	10	16.40	2.4	1.09
50	0.26	13.7 / 13.28	1.8 / 4.6	1.07 / 0.97
55	10/12.5	17.20 / 17.19	1.3 / 3.4	1.00 / 0.97
60	26	14.00	1.8	0.97
70	26	19.05	1.6	1.00



Provincia: BS. 43 S.E. N° 61
 Depart: N-S
 Zona: Mts del Tuyú Fecha: 3/5/86
 Observaciones:



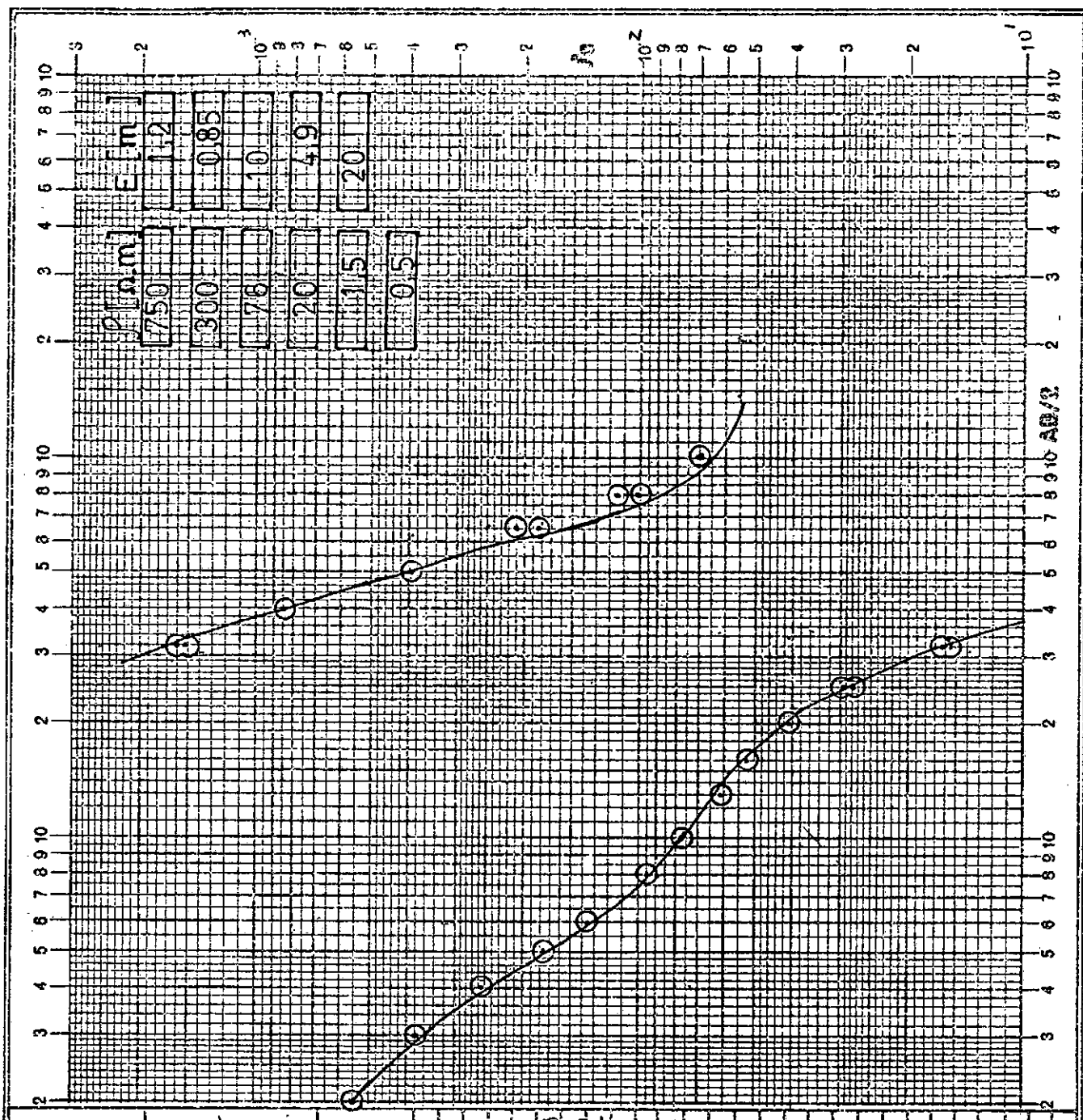
Provincia: BS-AS S.E.V. Nro 62.

Dpto: N-S
Número: N-S

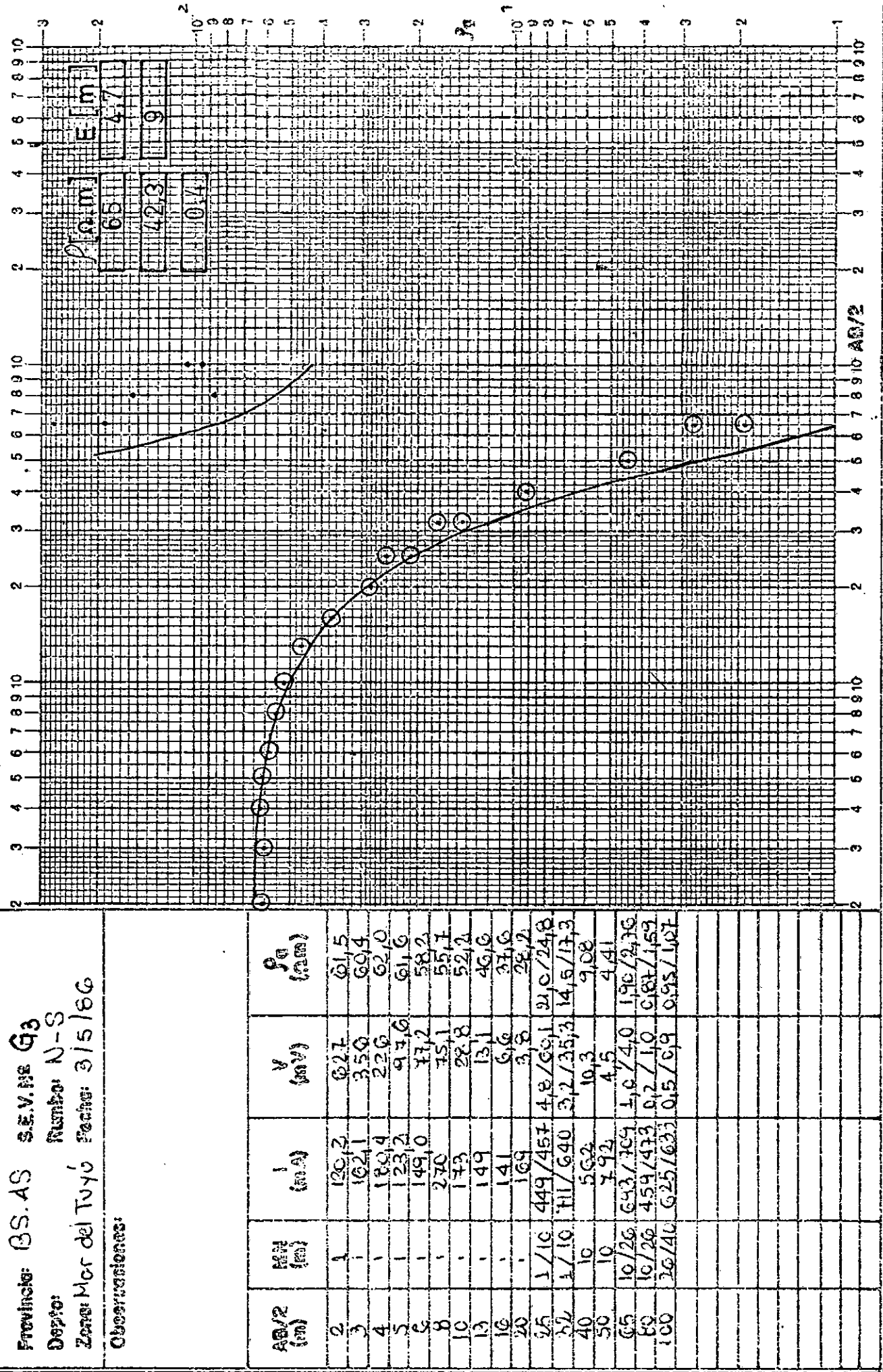
Zona: Mor del Tuyú Fecha: 3/5/66

Observaciones: No hay terraplén ni relleno aparente. (Trazado sobre el mismo)

$A3/2$ (m)	$\frac{A3}{2}$ (m)	$\frac{1}{(m)} A$	V (mV)	f_0 (cm)
2	1	16,6	-480	550
3	1	26,0	-360	380
4	1	24,3	-126	256
5	1	21,9	-49,5	175
6	1	41,5	-20,5	137
8	1	41,1	-22,3	94,8
10	1	31,4	-7,8	97,3
13	1	16,5	-5,9	61,7
16	1	16,0	-5,0	52,9
20	1	65,6	-5,5	49,2
25	1/10	153,6/164,4	2,2/-23,4	28,1/29,7
32	1/10	106,2/134,1	0,5/-8,1	15,3/16,5
40	10	23,0	3,7	8,4
50	10	43,0/	2,2/	3,98
65	10/26	859/866	1,2/1,2	1,86/2,1
80	10/26	710/780	0,4/1,2	1,02/1,16
100	26	830	0,5	0,71

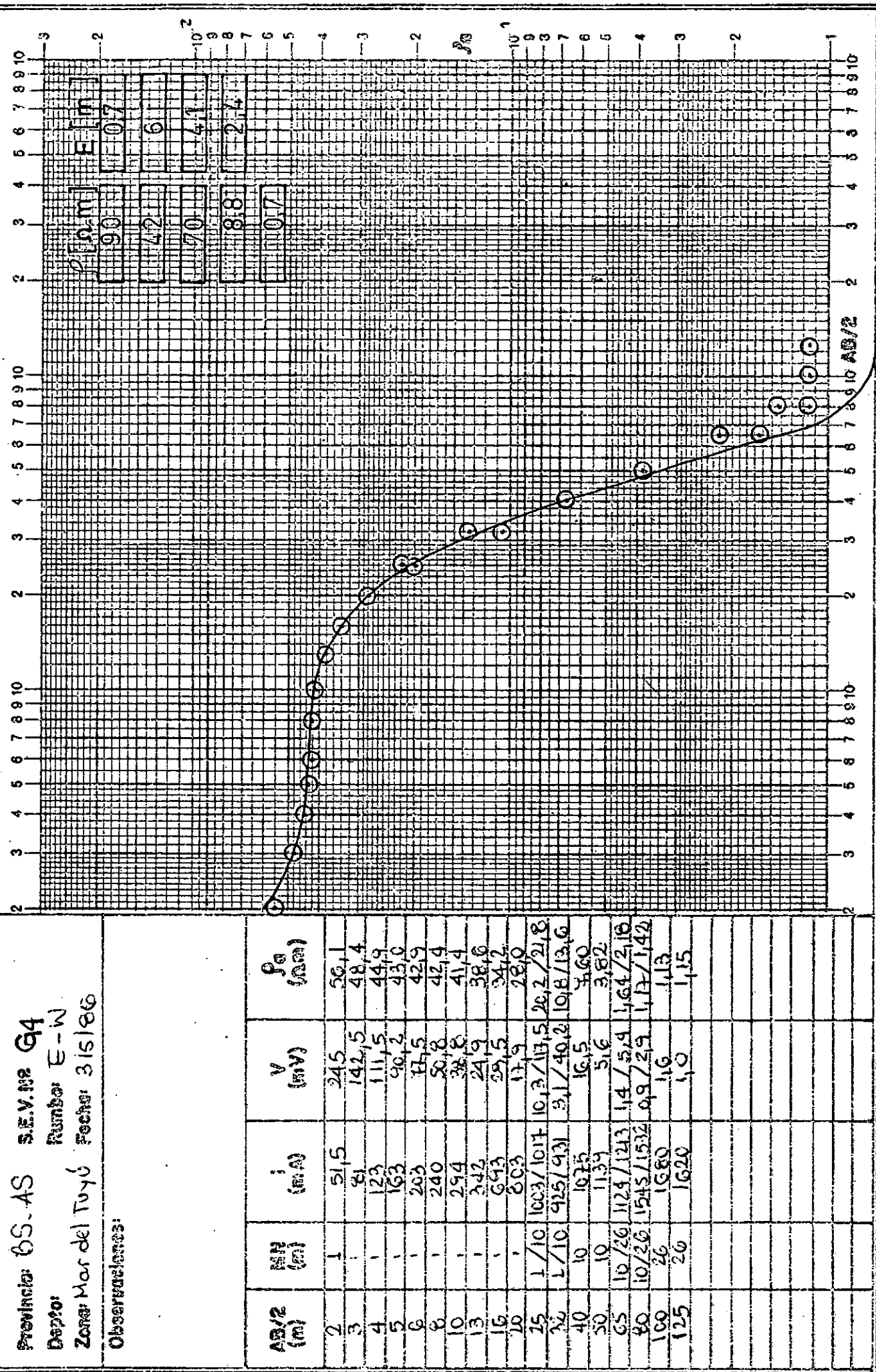


Provincia: BS. AS S.E.V.H.E G3
 Dpto: N-S
 Zona: Mar del Tuyú Fecha: 3/5/86
 Observaciones:

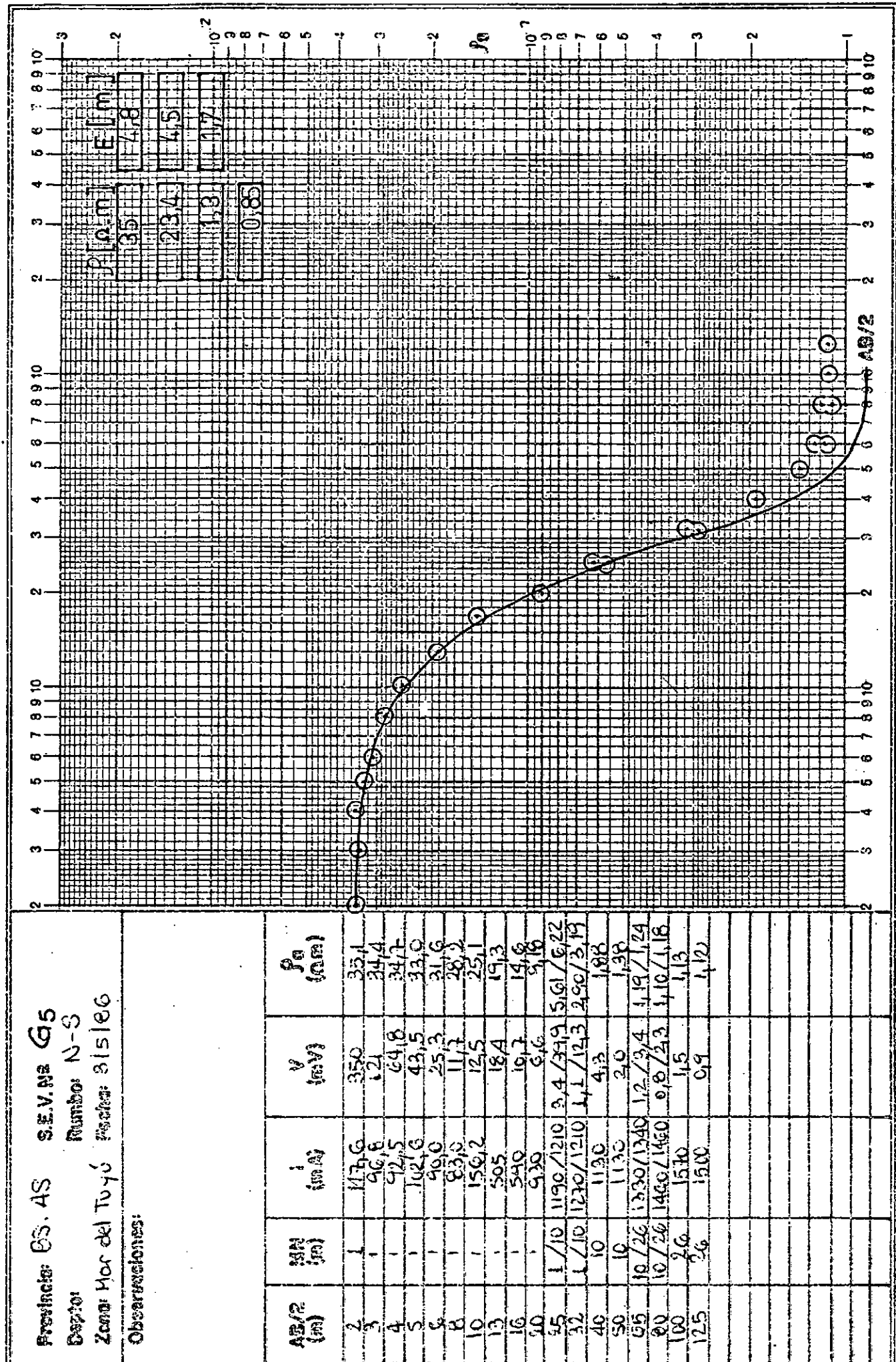


Provincia BS. AS S.E.V. Nro 94
 Depart: E-W
 Zona: Mar del Tuyú Fecha: 3/11/86

Observaciones:

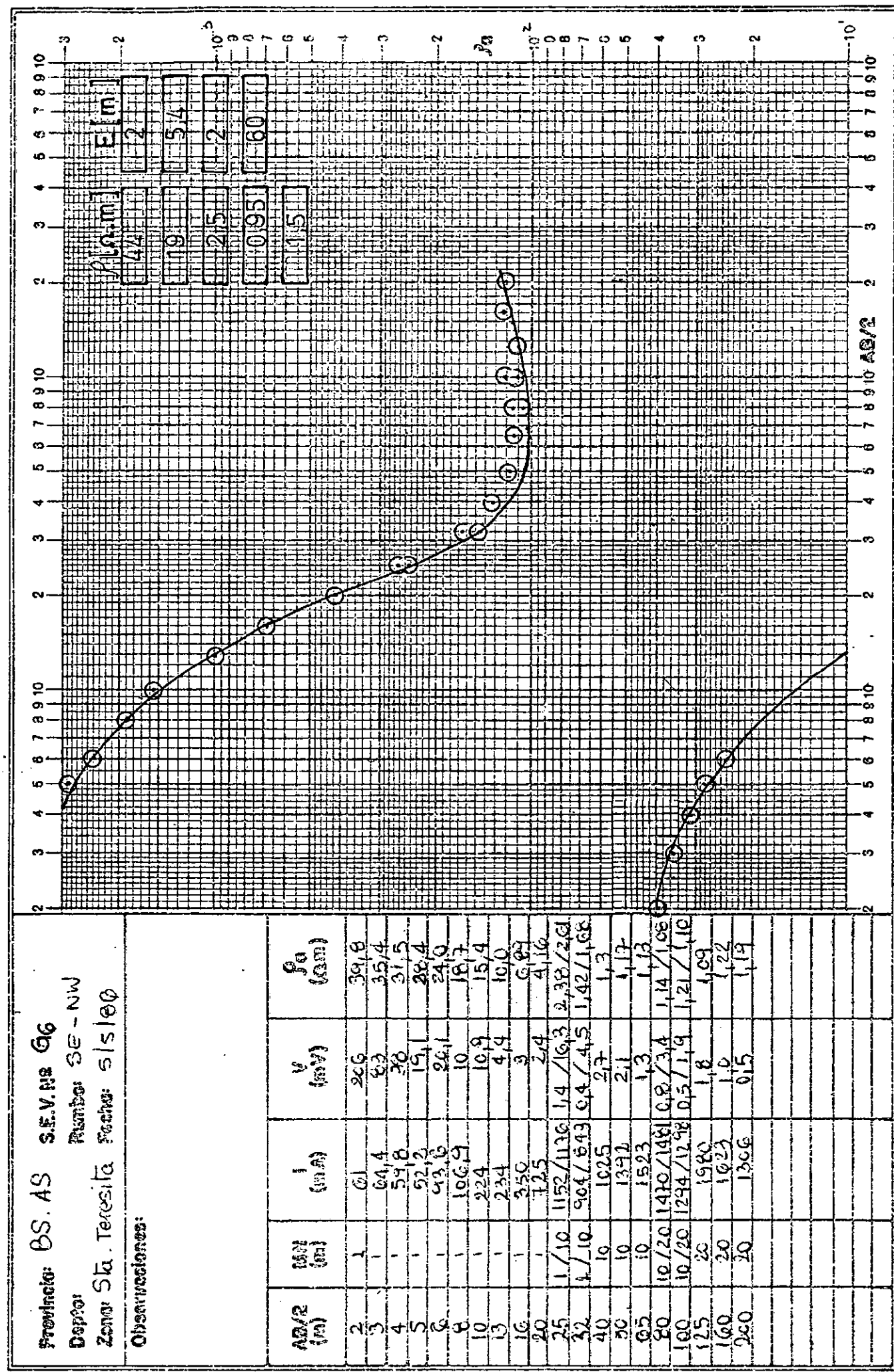


Provincia: CS. AS S.E.V.MA G5
 Capto: N-S
 Zona: Mar del Tuyú Precio: \$15186
 Observaciones:

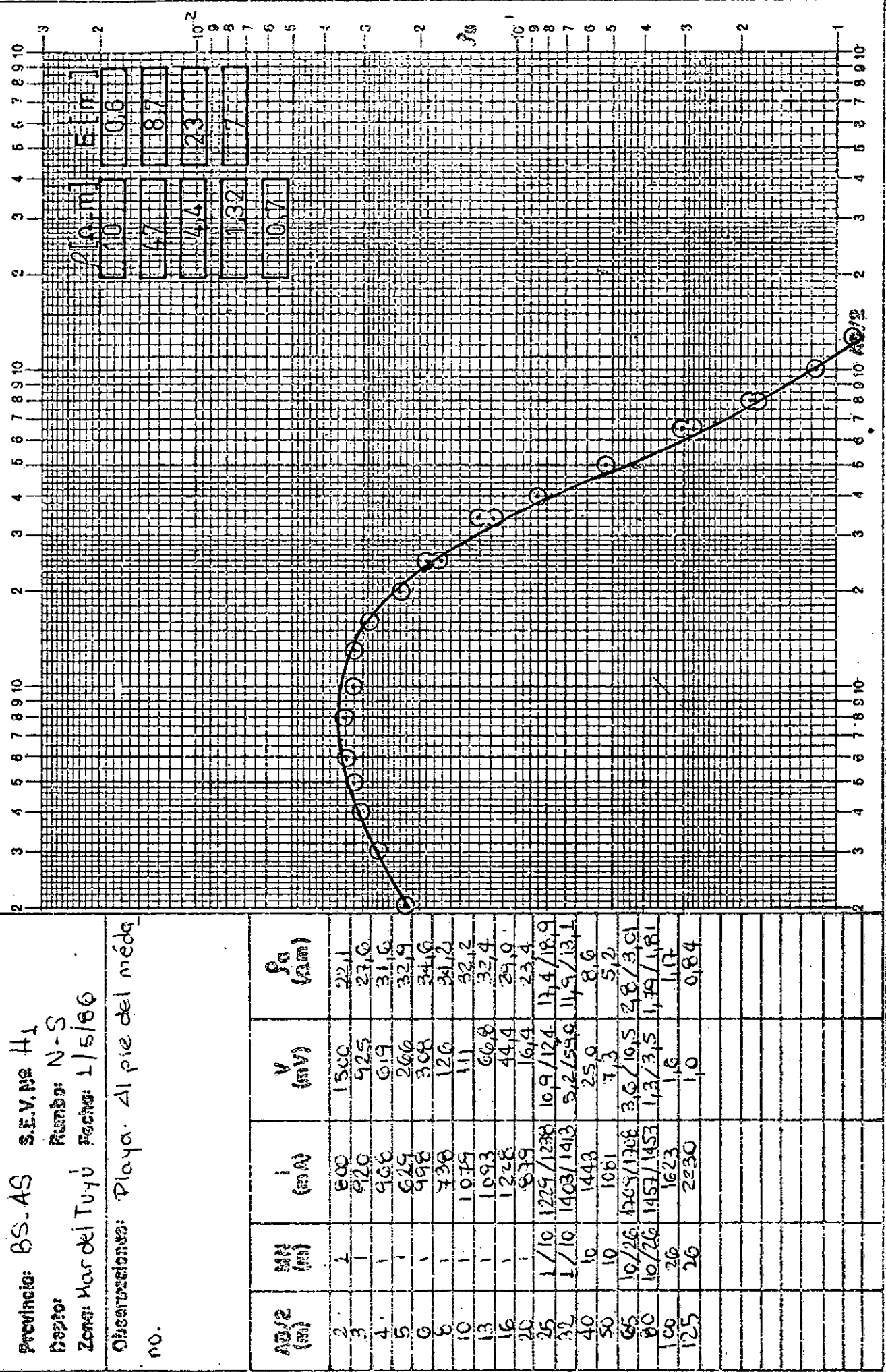


Province: BS. AS S.E.V.R. G6
 Number: 3E - NW
 Depth:
 Zona Sta. Teresita Fecha: 5/18/00

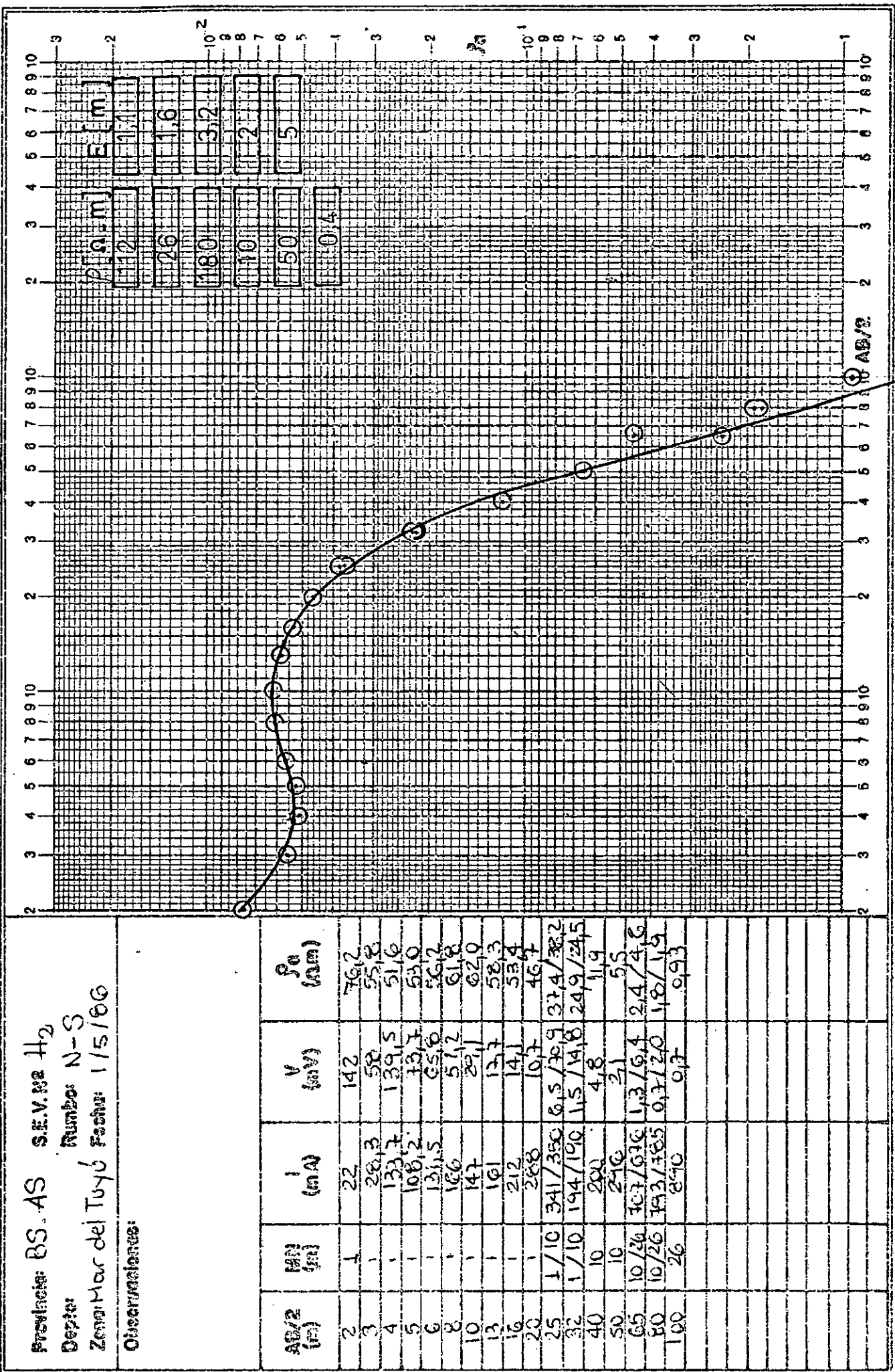
Observaciones:



Provincia: BS. AS S.E.V. N° H-1
 Depart: N-S
 Número: 115186
 Zona: Mar del Tuyú Fecha: 1/5/86
 Observaciones: Playa. Al pie del més
 no.

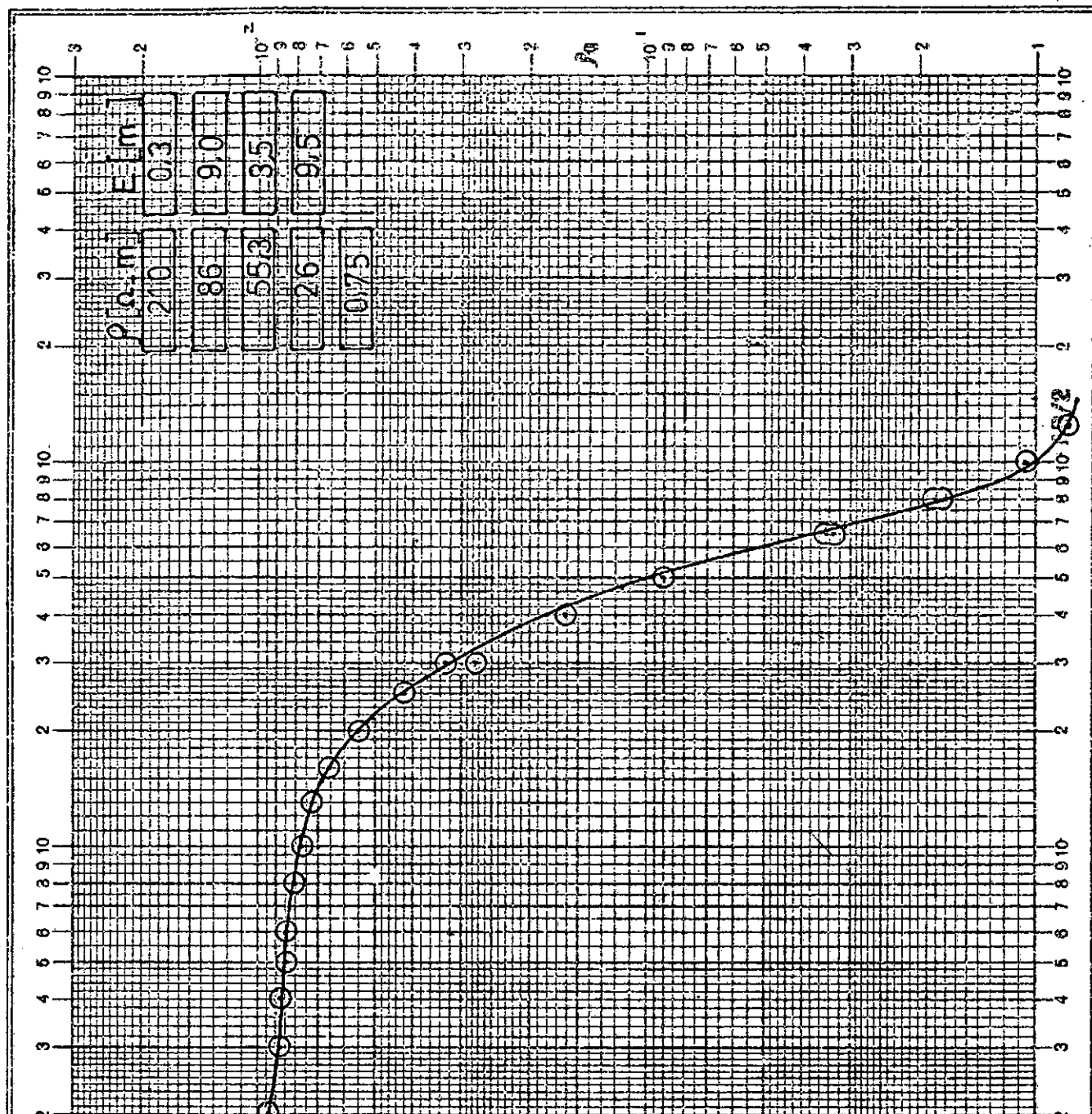


Provincia: BS. AS S.E.V. N° 42
 Depto: Rumbos N-S
 Zona Mar del Tuyú Fecha: 1/5/66
 Observaciones:



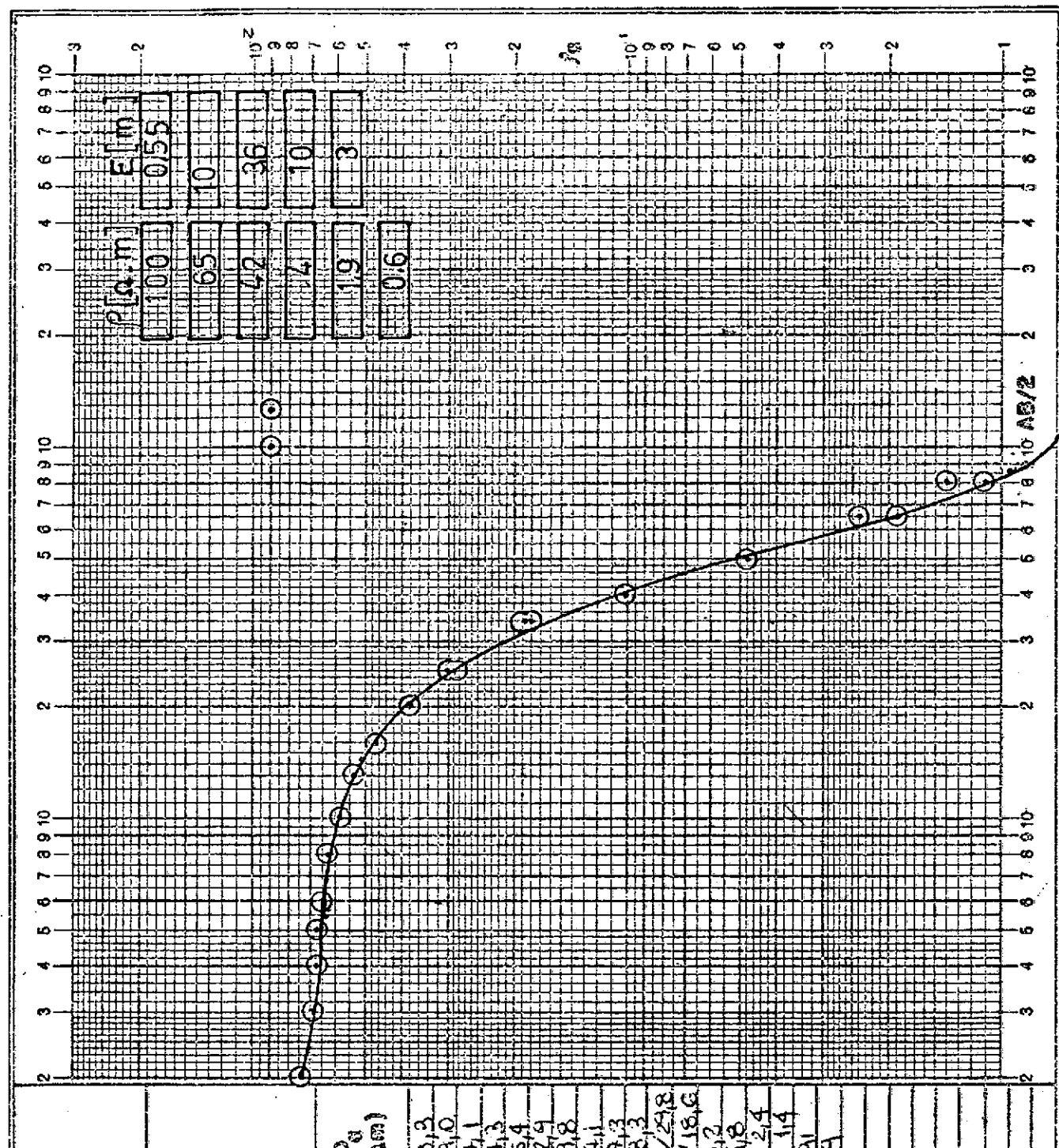
Provincia: BS AS S.E.V.MA H3
 Distrito: E-W
 Zona: Mar del Tuyú Fecha: 1/5/86

Observaciones:



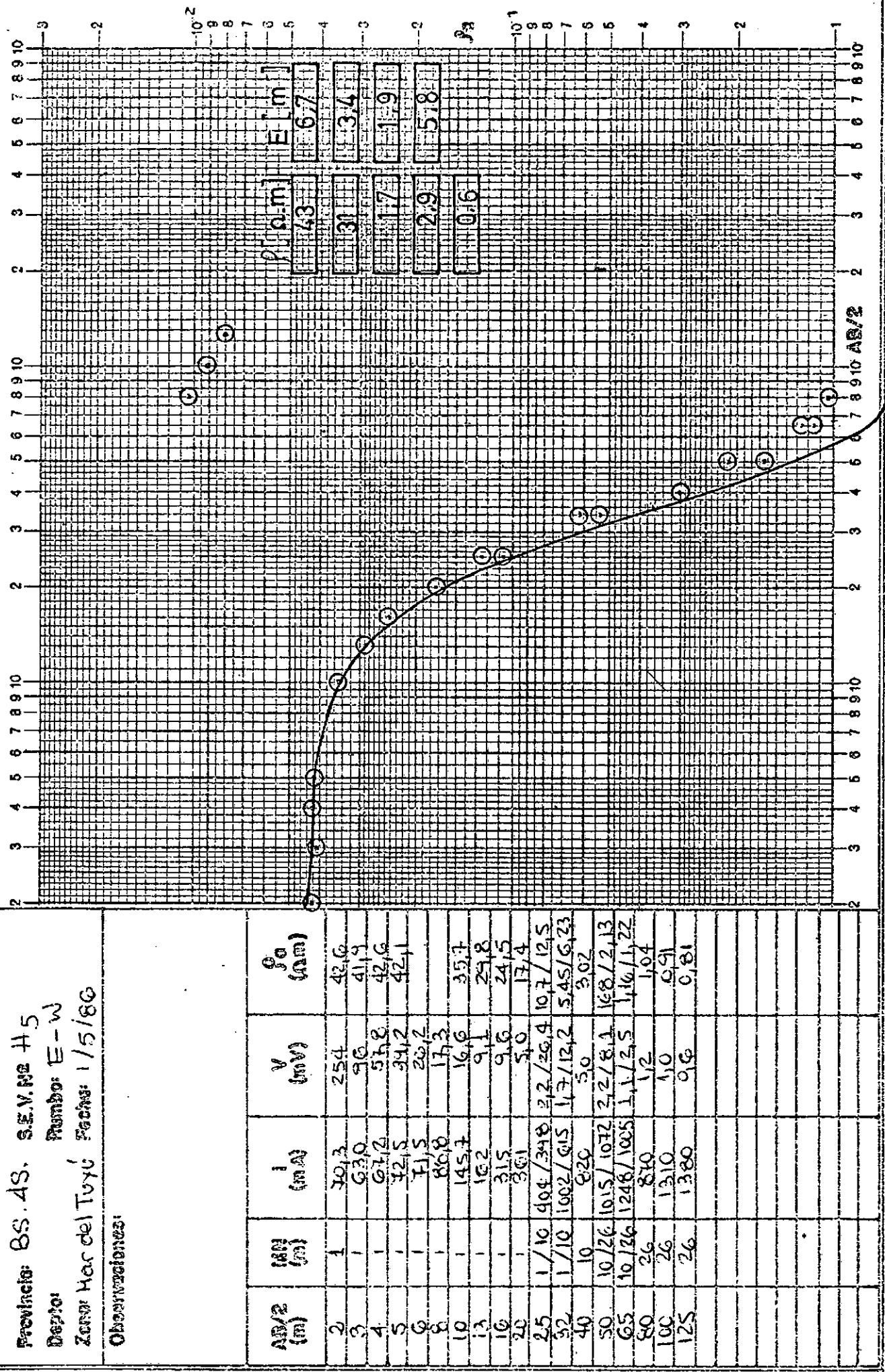
Provincia: DS. AS	S.E.V.M. # 44
Depto: Mard del Tuyú	Rumb: E-W
Zona: 1/5/86	Fechas: 1/5/86
Observaciones:	

$\Delta S/2$ (m)	ΔV (m)	V (mV)	ρ_a (ohm)
2	1	46,7	302
3	1	47,8	120
4	1	51,6	30,0
5	1	56,2	37,1
6	1	49,3	48,6
8	1	27,4	29,7
10	1	28,1	55,4
12	-	25,8	29,1
16	-	32,6	53,9
20	-	43,3	47,3
25	1/10	46,6/35,6	13,2
32	1/10	43,9/54,1	38,3
40	10	53,1	29,1
50	10	74,5	29,1
65	10/26	84,6/88,6	18,2
80	10/26	13,8/61,2	18,6
100	26	13,0	10,2
125	26	14,4	4,8

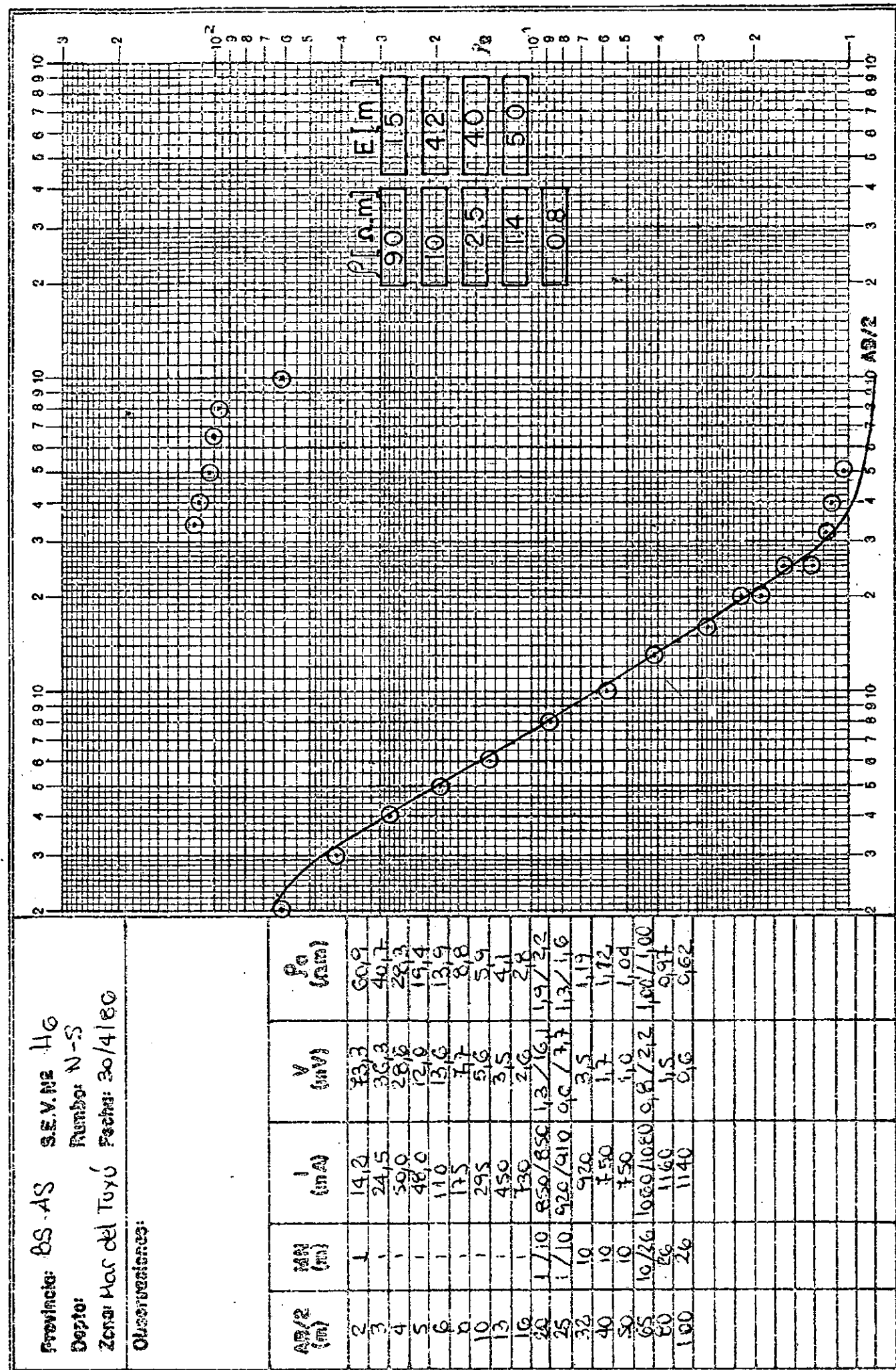


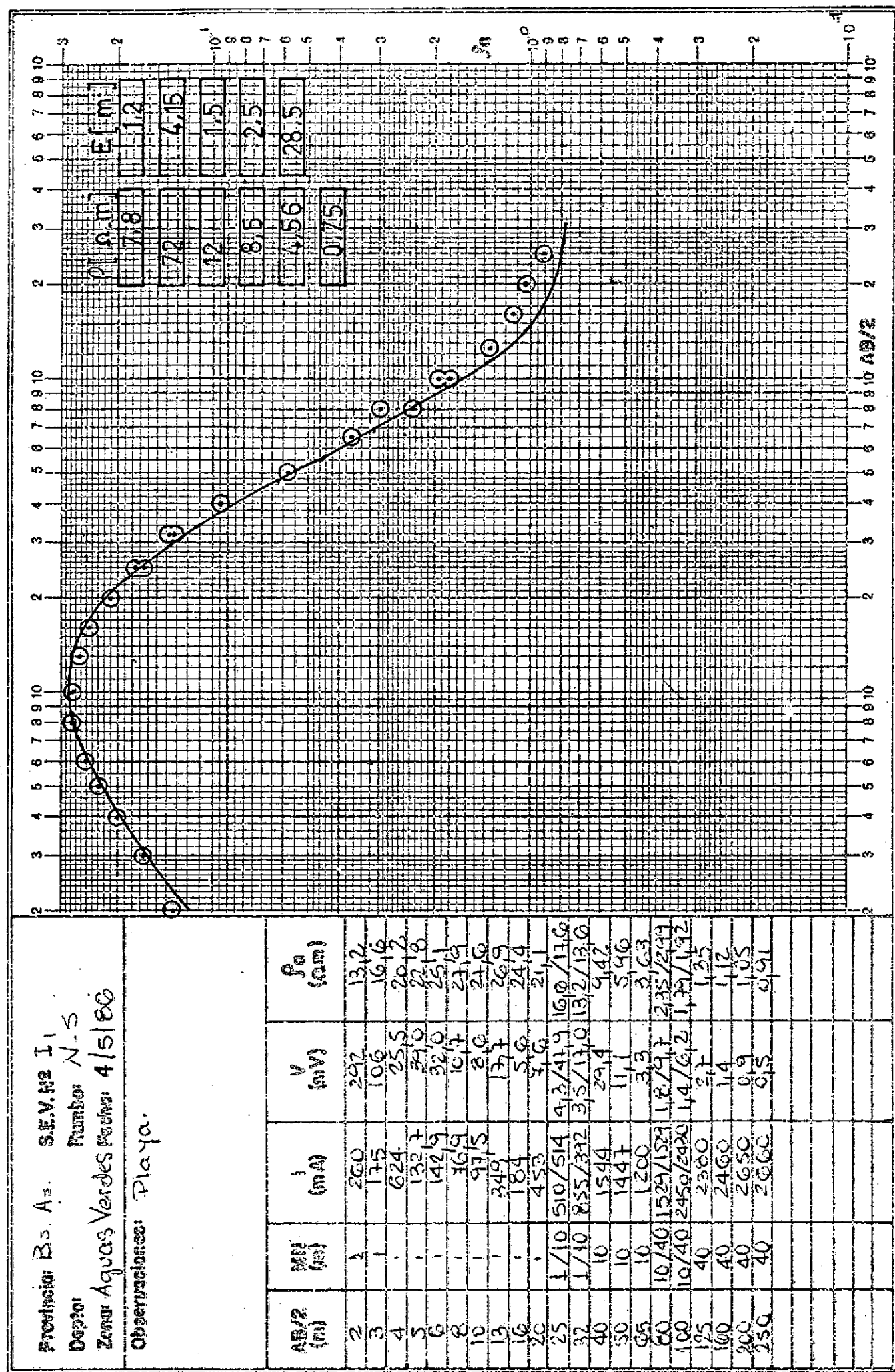
Provincia: Bs. As. S.E.V. N° 45
 Número: E-W
 Depto:
 Zona: Ver del Tuyú Fecha: 1/5/66

Observaciones:



Provincia: BS-AS S.E.V.NE HG
 Depto: N-S
 Zona: Mar del Tuyú Fecha: 30/4/80
 Observaciones:



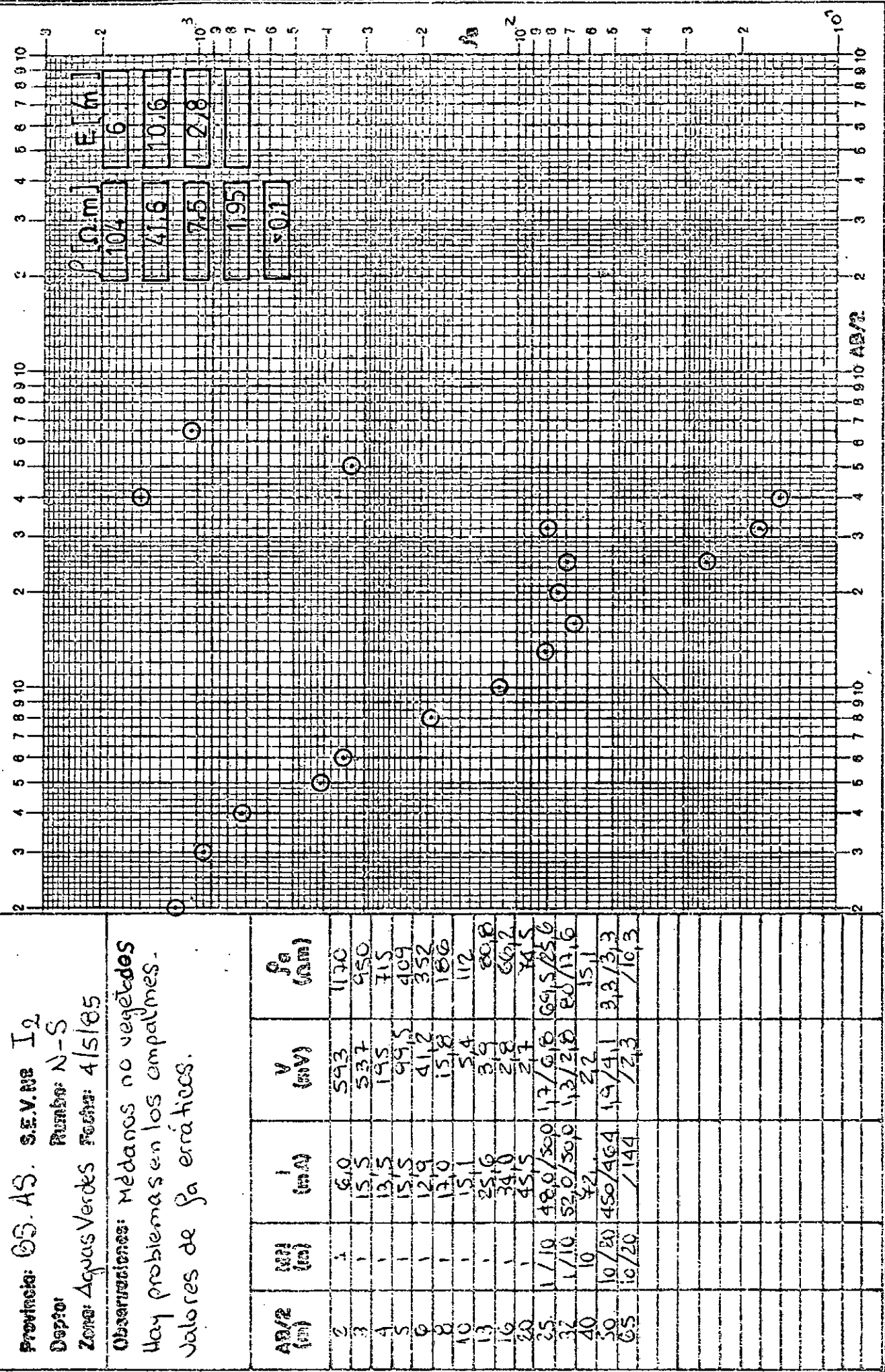


Provincia: Q.S. A.S. S.E.V. Nro I²

Dpto: N-S Número: N-S

Zona: Aguas Verdes Fecha: 4/5/85

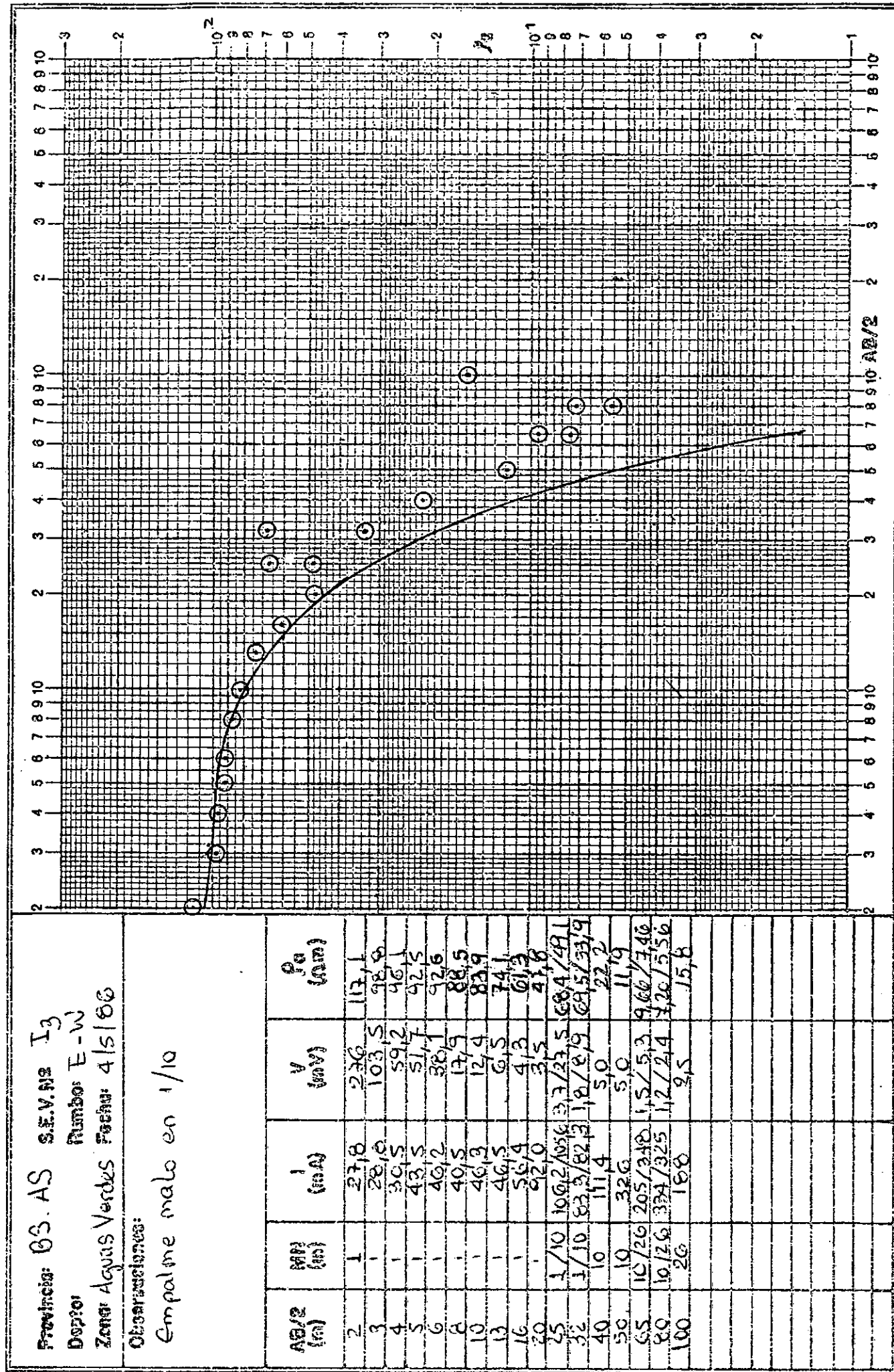
Observaciones: Médanos no vegetados
Hay problemas en los empalmes.
Valores de ja erráticos.



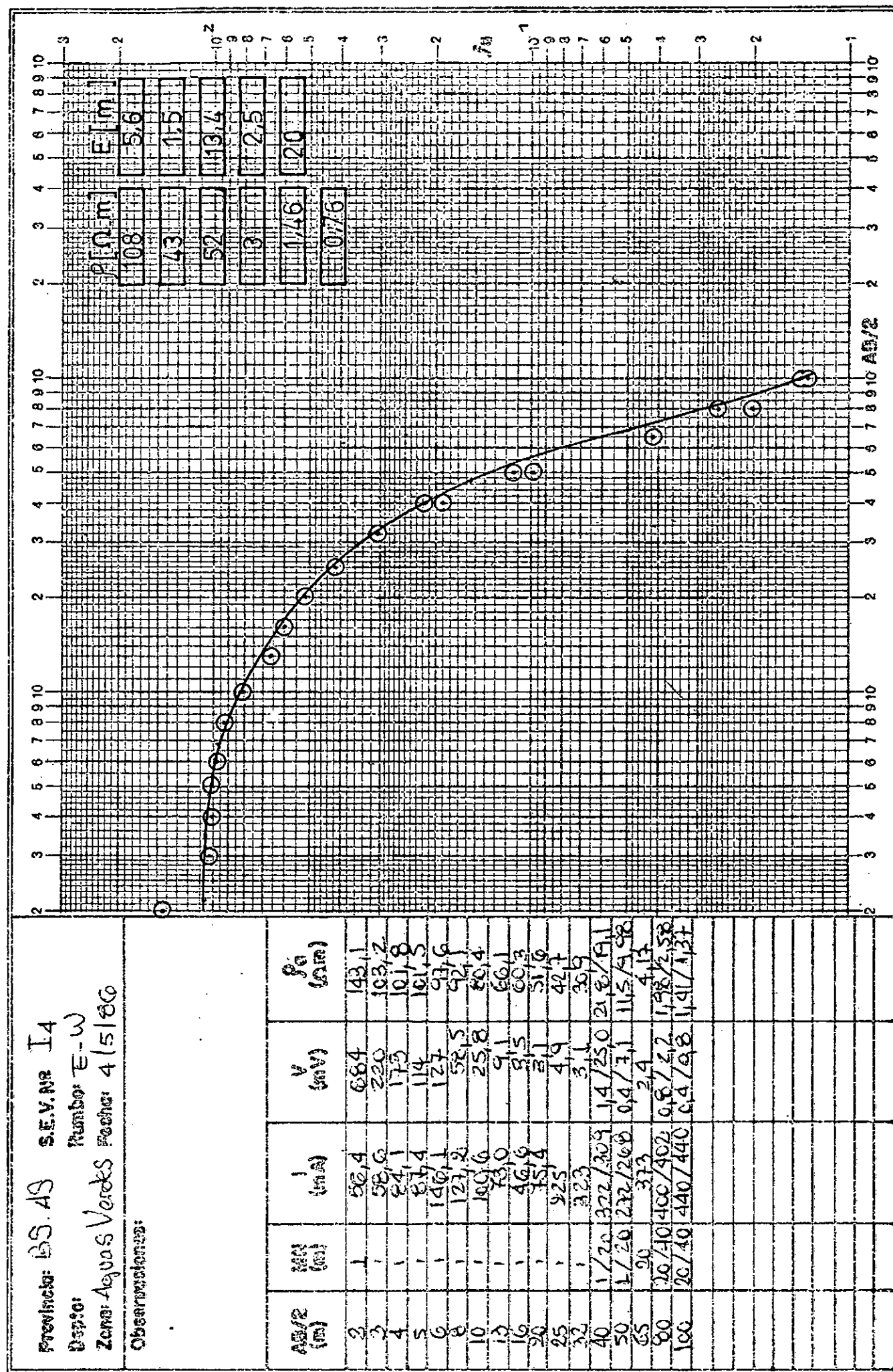
Provincia: BS. AS S.E.V. N° I3
 Depto: Número E-W
 Zona: Agujas Verdes Fecha: 4/5/86

Observaciones:

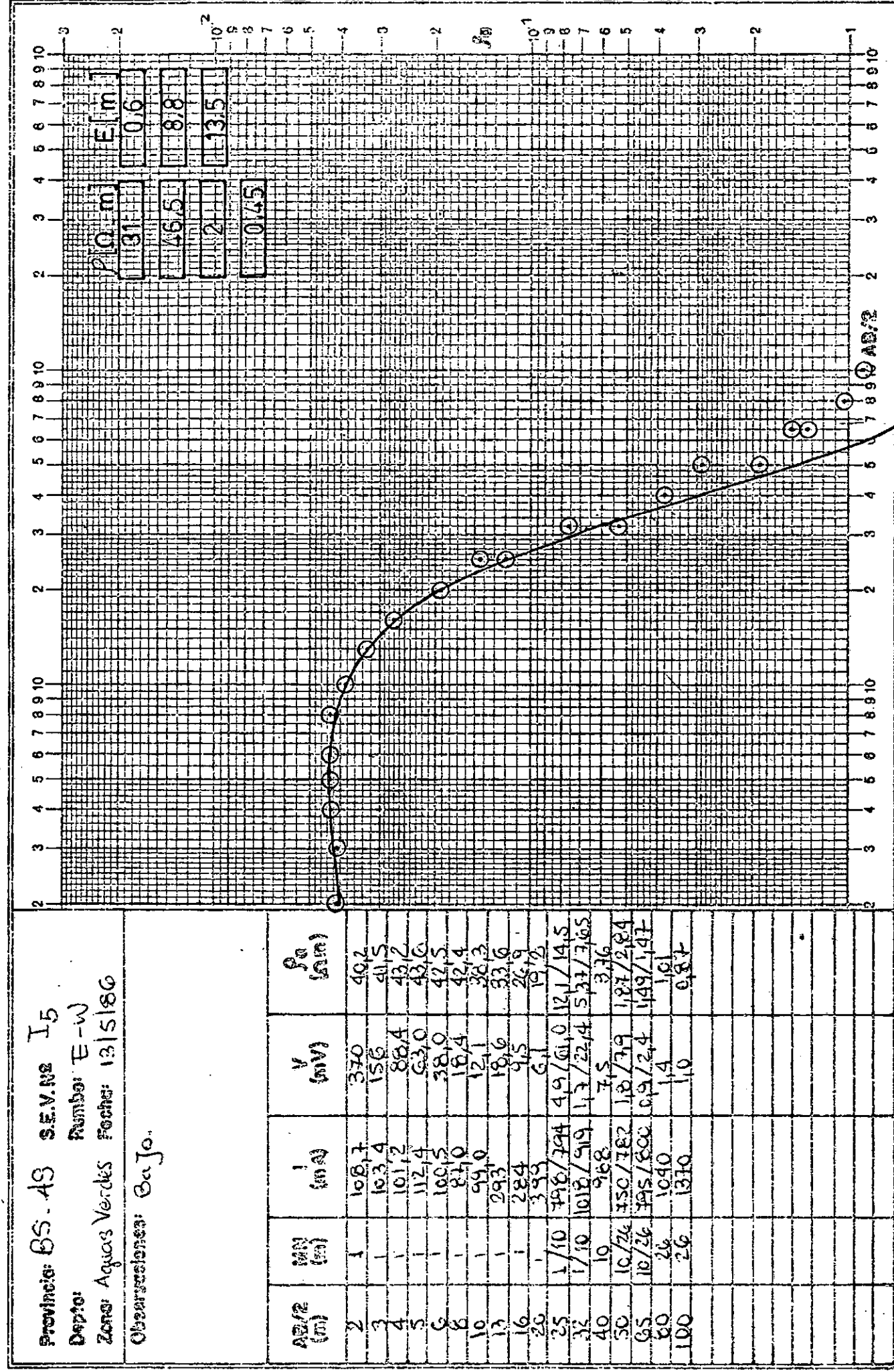
Empalme malo en 1/10

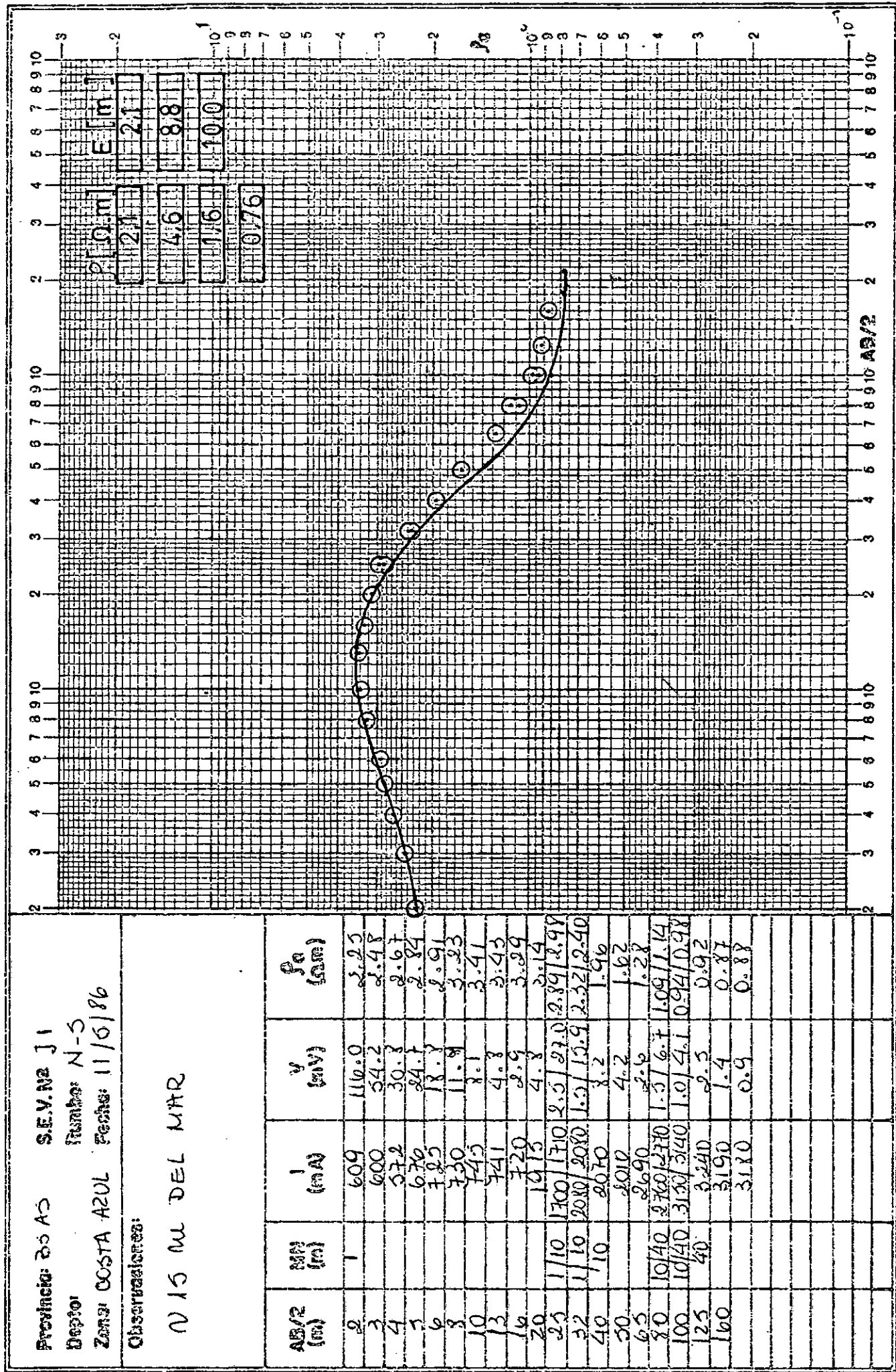


Provincia: B.S. A.J. S.E.V. Nro. T4
 Dpto: Número E-W
 Zona: Agua S Verdes Frecuencia 4 (5) 86
 Observaciones:



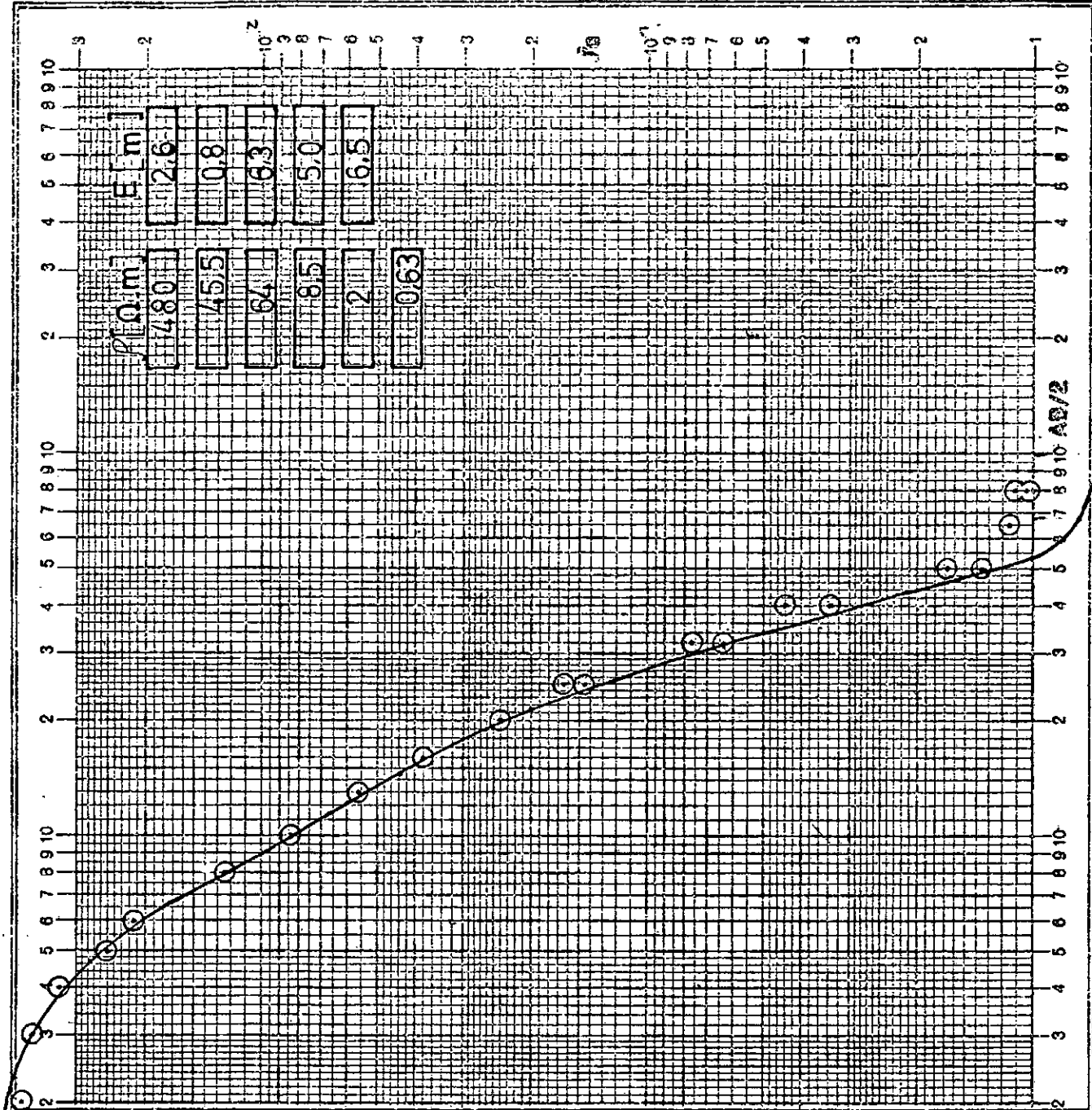
Provincia: BS - AS sección 15
 Número: E-W
 Depto:
 Zona: Aguas Verdes Fosfor: 13/5186
 Observaciones: Bujo.

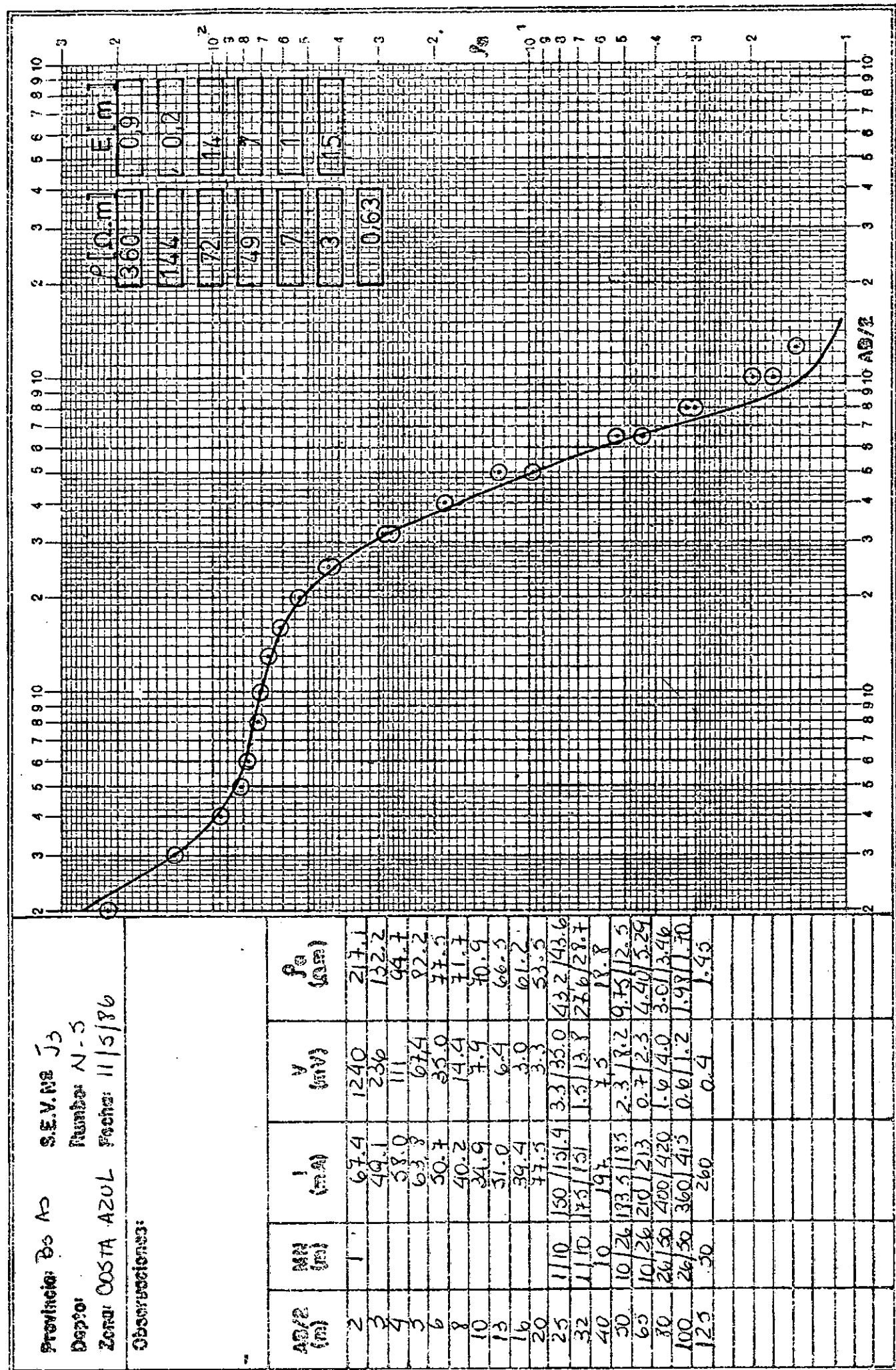




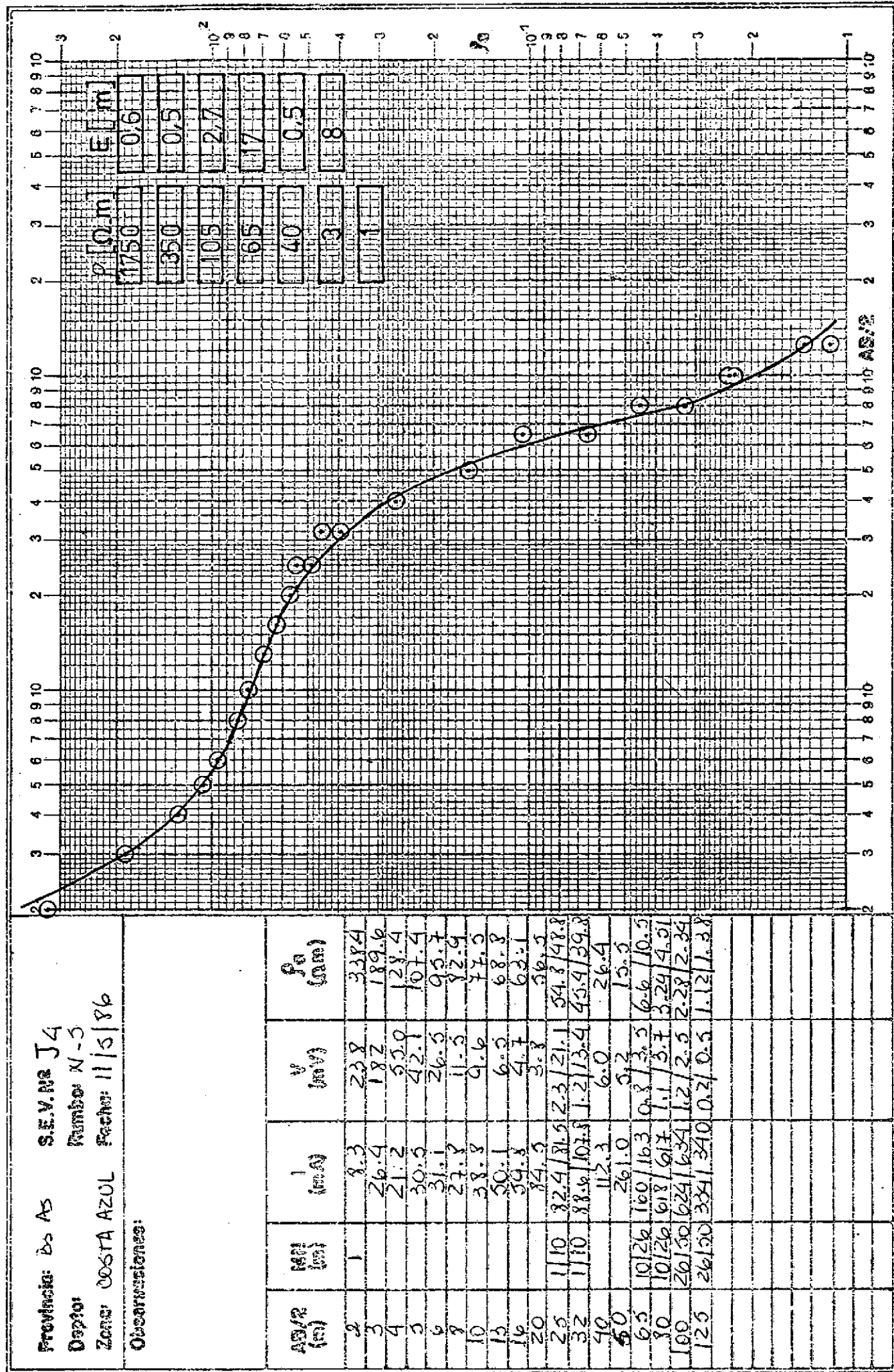
Provincia: B.S. As
 S.E.V. N° 12
 Número: N-5
 Zona: COSTA AZUL Fecha: 11/01/86
 Observaciones:

$\Delta S/2$ (m)	M_N (m)	I (mA)	V (mV)	f_0 (Hz)
2	1	32.9	1149	412.1
3	25.7	364	369.3	
4	14.3	921	324.6	
5	12.3	29.9	230.0	
6	6.0	30.9	216.2	
8	6.1	3.8	124.7	
10	11.6	3.1	13.7	
13	49.3	3.1	55.4	
16	60.9	2.9	38.3	
20	110.	2.1	24.0	
25	110	202/203	1.5/1.7	14.6/16.2
32	110	202/201	0.4/4.4	6.37/7.65
40	10/20	292/325	2.0/4.2	3.39/4.41
50	10/20	260/287	0.9/1.3	1.34/1.69
65		926		1.19
70	20/40	112/317	0.8/1.6	1.11/1.05
100				



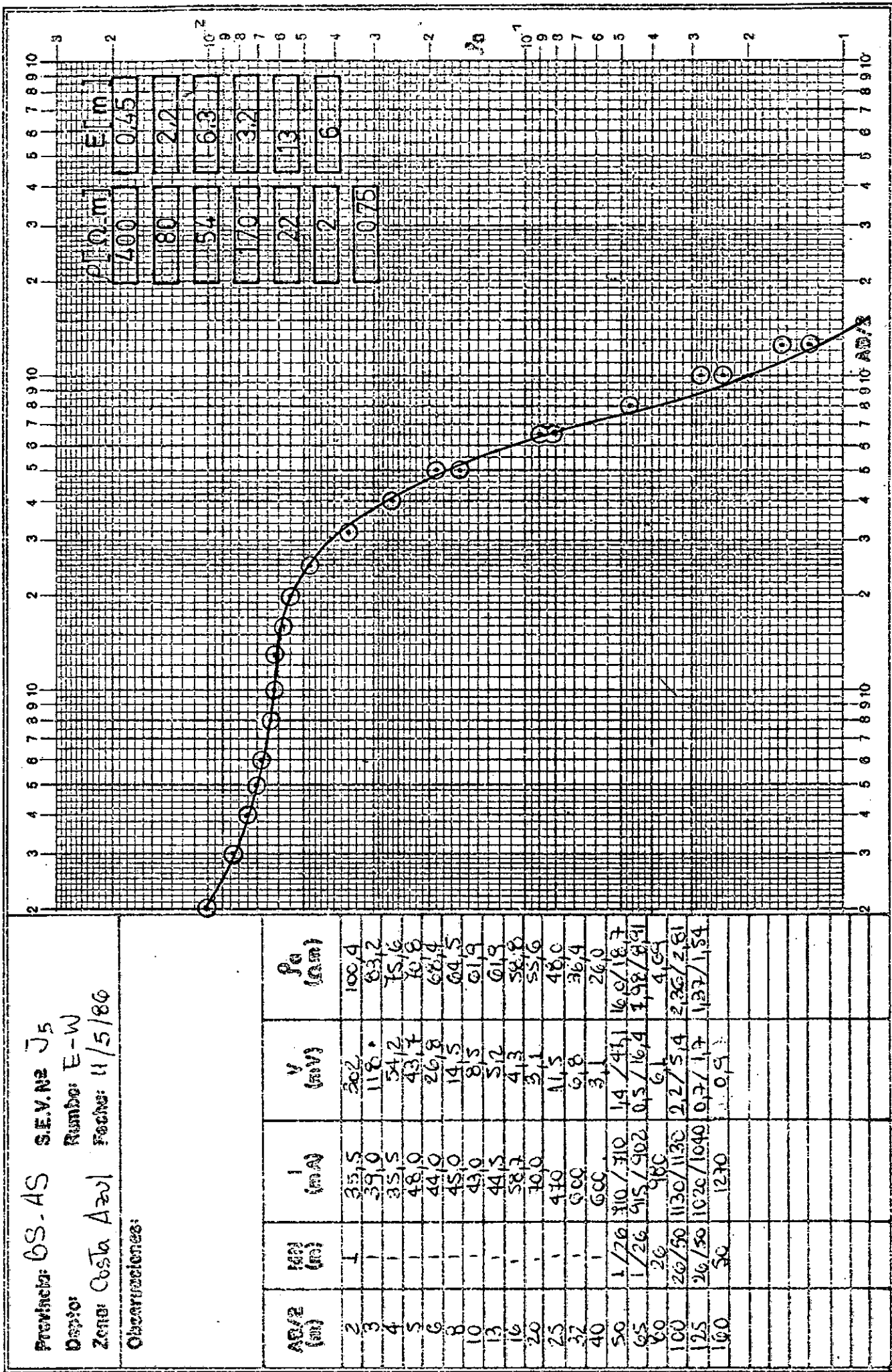


Provincia: Bs As S.E.V.Na J4
 Depto: N-5
 Zona: COSTA AZUL Fecha: 11/5/86
 Observaciones:



Precinct: 603 - AS S.E.V. #2 J5
Number: E-W
Date: 2010 Costa Rica
Scale: 1:5000

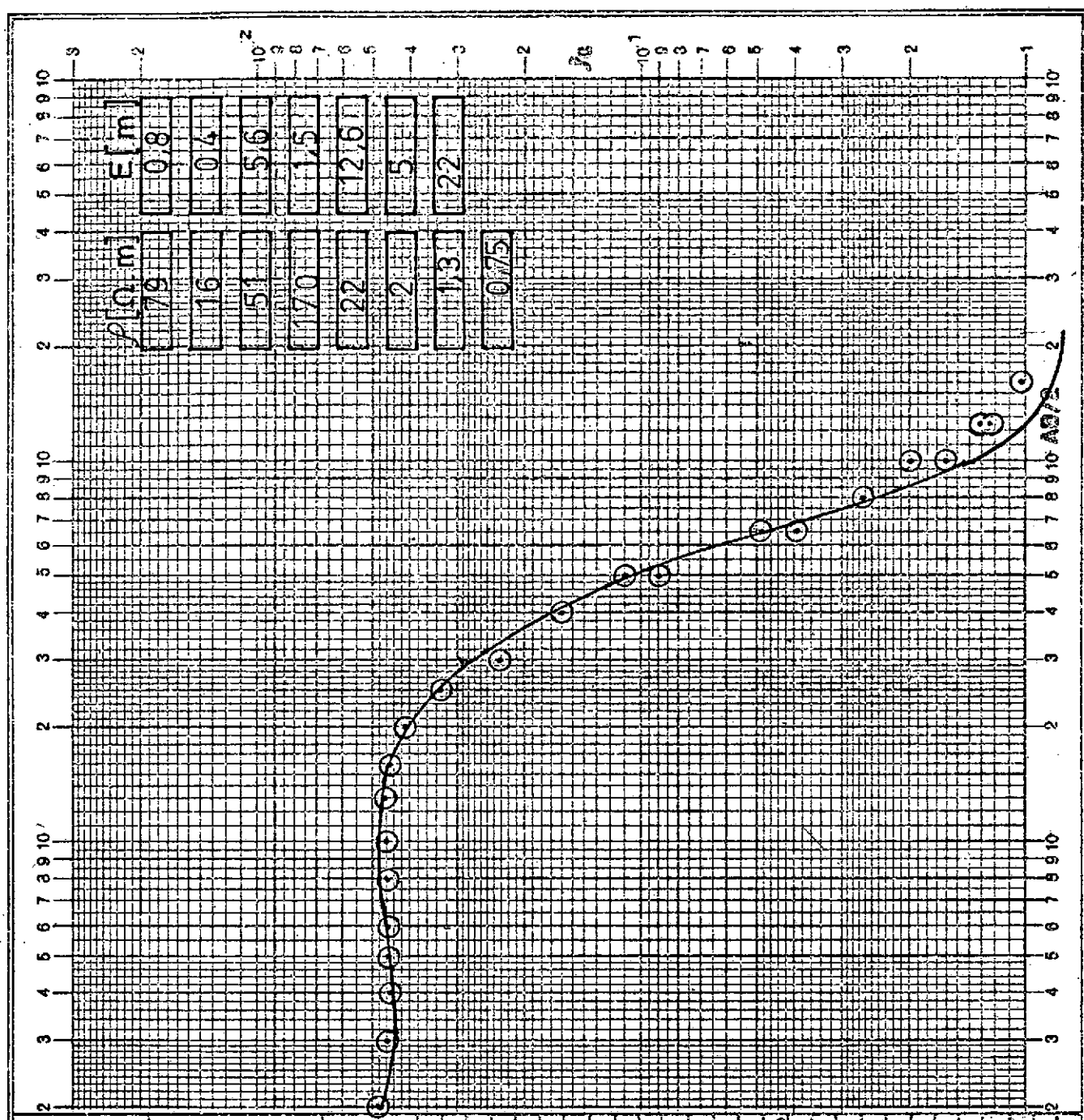
ପ୍ରକାଶକ



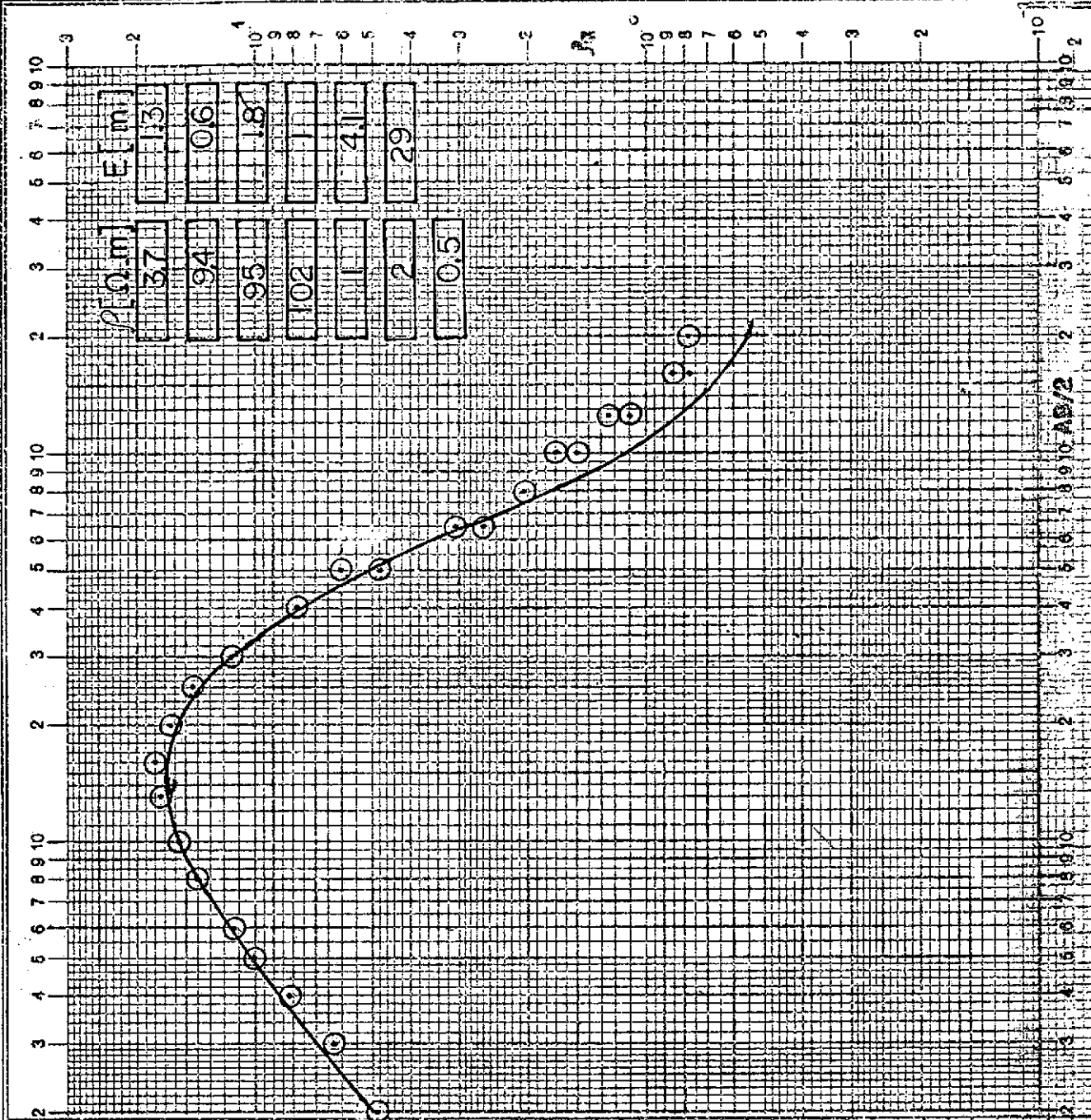
Protótipo: BS. AS S.E.V. #2 JG
 Dester: E-W
 Data: 13/5/86
 Local: Costa Azul

Observações:

$A_B/2$ (m)	θ_B (m)	I (mA)	V (mV)	P_B (Wm)
-2	1	96,0	397	48,8
3	1	65,0	100	45,5
4	1	57,0	52,4	45,5
5	1	67,0	34,7	46,1
6	1	64,0	26,9	47,2
7	1	69,5	15,0	48,2
10	1	69,5	10,7	48,2
13	1	62,0	5,6	47,9
16	1	59,0	4,8	45,5
20	1	66,0	2,8	46,9
25	1	45,6	1,7	33,1
32	1	52,0	3,6	23,1
40	1	84,0	2,2	15,8
50	1/26	1030/1000	12 / 38 + 9,15 / 10,9	
65	1/26	1150/1065	0,4 / 13,7 + 3,52 / 4,92	
80	26	1080	3,8	2,65
100	26/50	1320/1310	1,6 / 4,4	1,62 / 1,48
125	26/50	1380/1365	0,9 / 1,9	1,22 / 1,31
160	30	1300	0,8	1,03



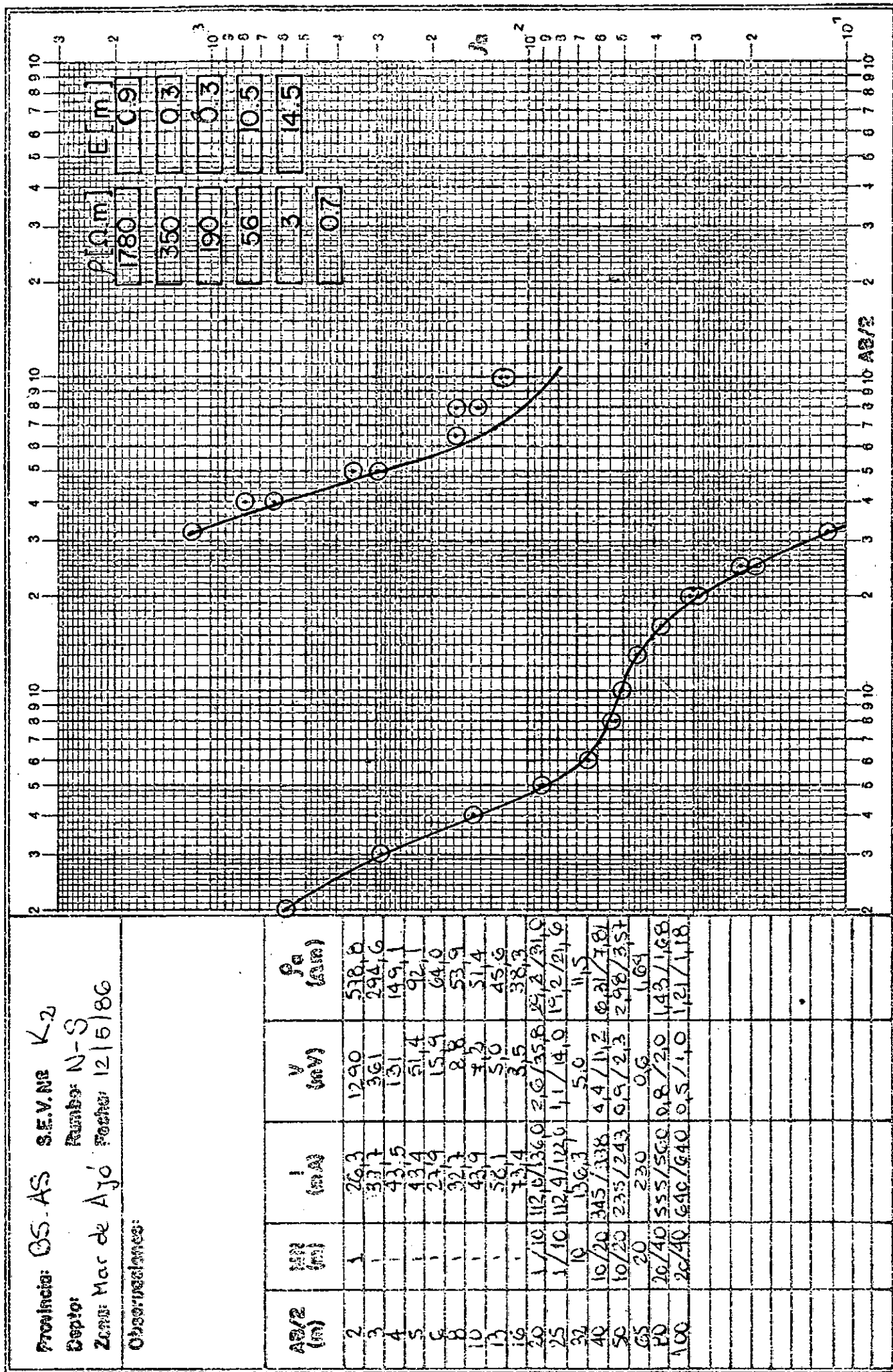
Provincia: GS. AS S.E.V. N° K1
 Depto: N-S
 Zona: Mar de Ajo Fecha: 12/6/86
 Observaciones:



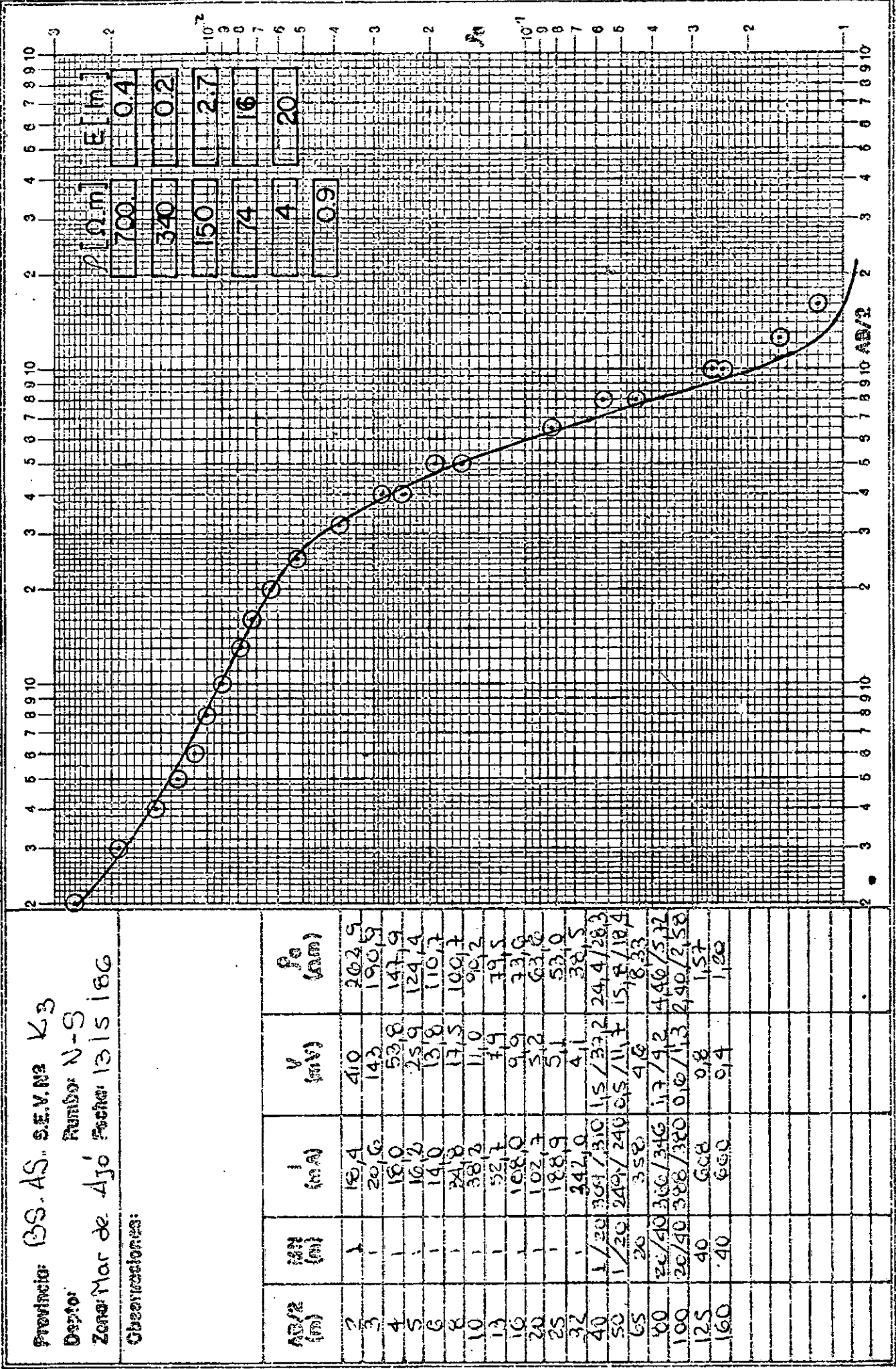
AB/2 (m)	E.M. (m)	V (m)	S (m)
2	1	125,0	66,0
3	1	138,4	31,9
4	1	196,1	92,8
5	1	199,6	25,4
6	1	190,4	10,0
7	1	138,5	10,7
10	1	302	15,4
13	1	311	10,3
16	1	361	51
20	1	326	43
25	1	192,4	16,6
37	1	159,9	5
40	1	236,0	3,7
50	1/26	228,0 / 228,0	1,4 / 4,9 / 4,9 / 5,9 / 2
65	1/26	258,0 / 258,0	0,5 / 1,6 / 2,2 / 2,3 / 3,1 / 3
70	26/50	224,0 / 224,0	2,9 / 6,6 / 15,0 / 1,0
125	26/50	262,0 / 262,0	1,6 / 3,5 / 11,1 / 1,1 / 1,2 / 3
160	50	28,0	1,5 / 0,6
200	50	316,0	1,0 / 0,28
150	26/50	262,0	1,6 / 3,5 / 11,1 / 1,1 / 1,2 / 3
160	50	316,0	1,5 / 0,6
200	50	316,0	1,0 / 0,28

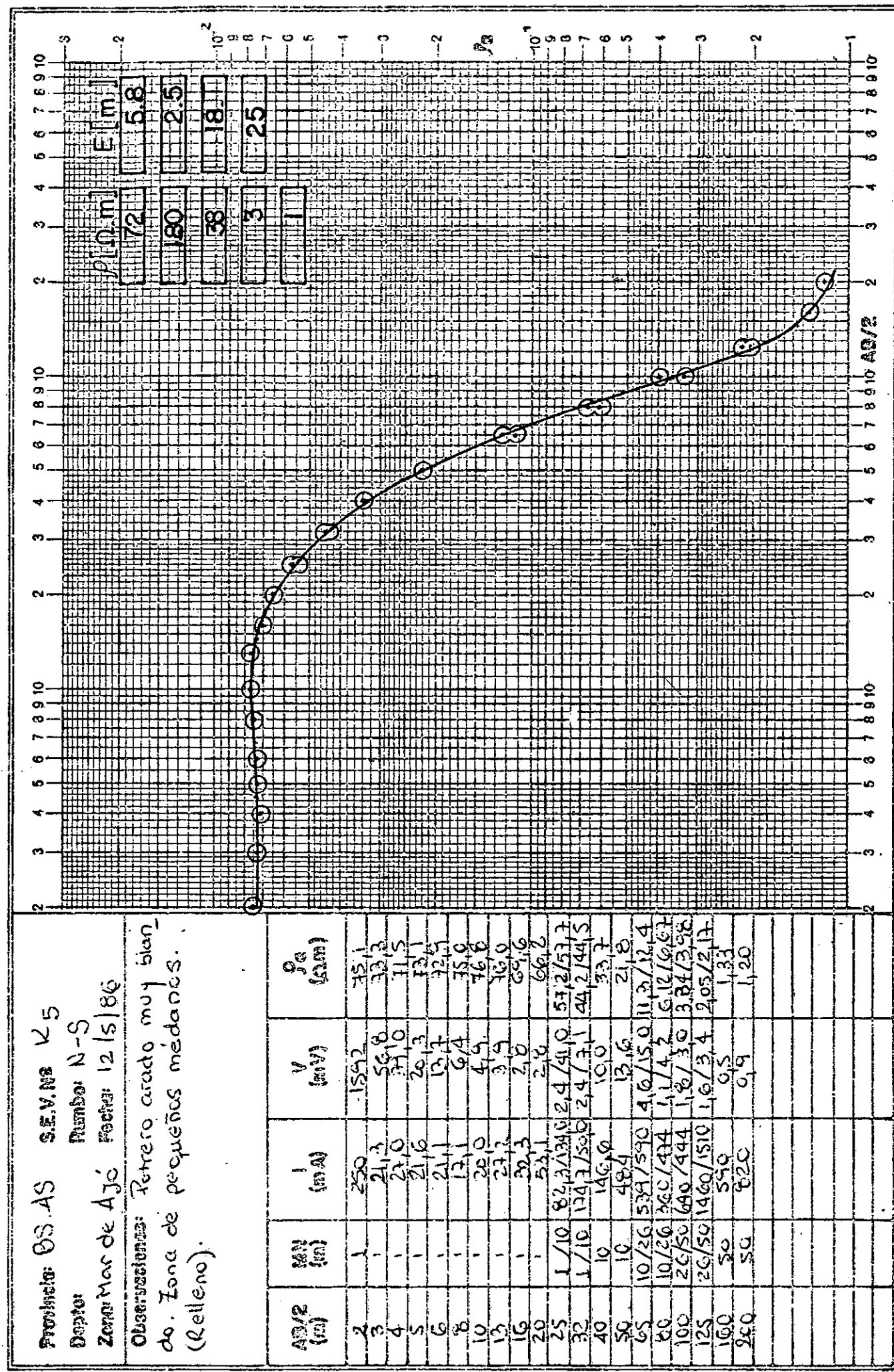
Provincia: CS - AS
 Depto: N-S
 Número: 1215/86
 Zona: Mar de Ayacucho

Observaciones:

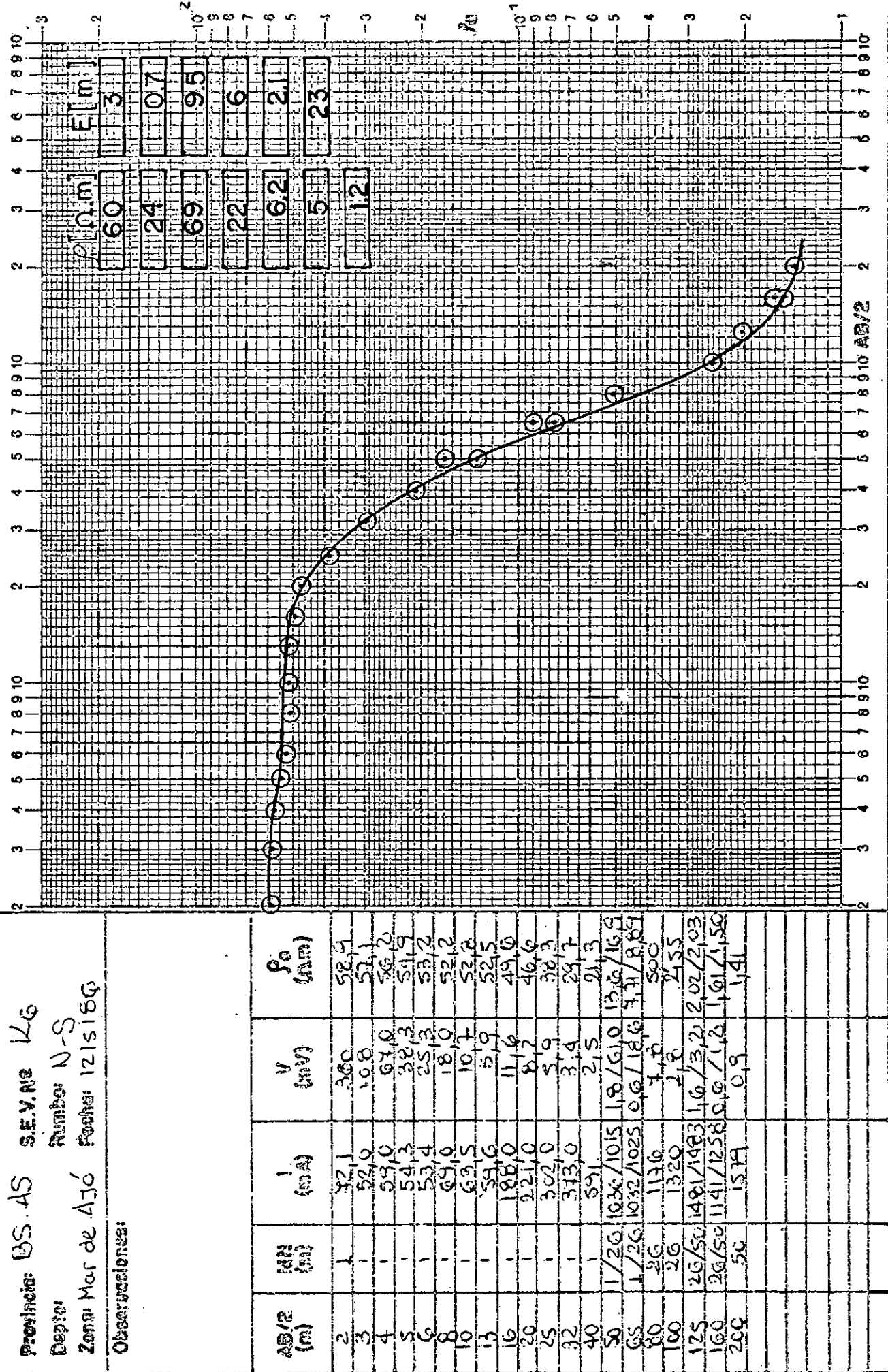


Provincia: BS - AS S.E.V. Nro V3
 Depto: N-S
 Zona Mor de Ajo Fecha: 13/5/86
 Geometrías:

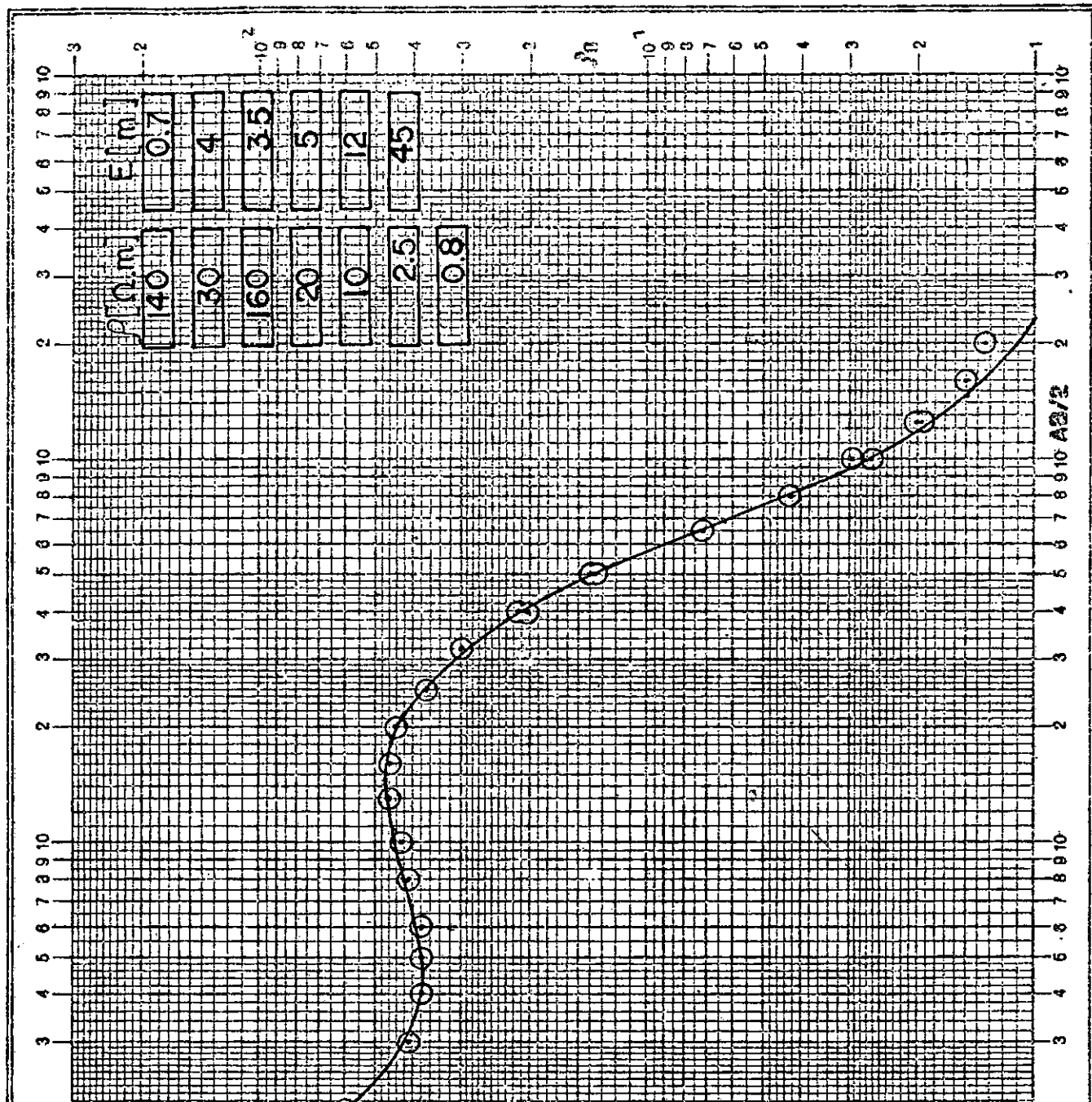




Profundidad: 05. AS
 Depth: 5
 Zona: Mar de Ajo
 Número: N-S
 Fecha: 12/15/60
 Observaciones:



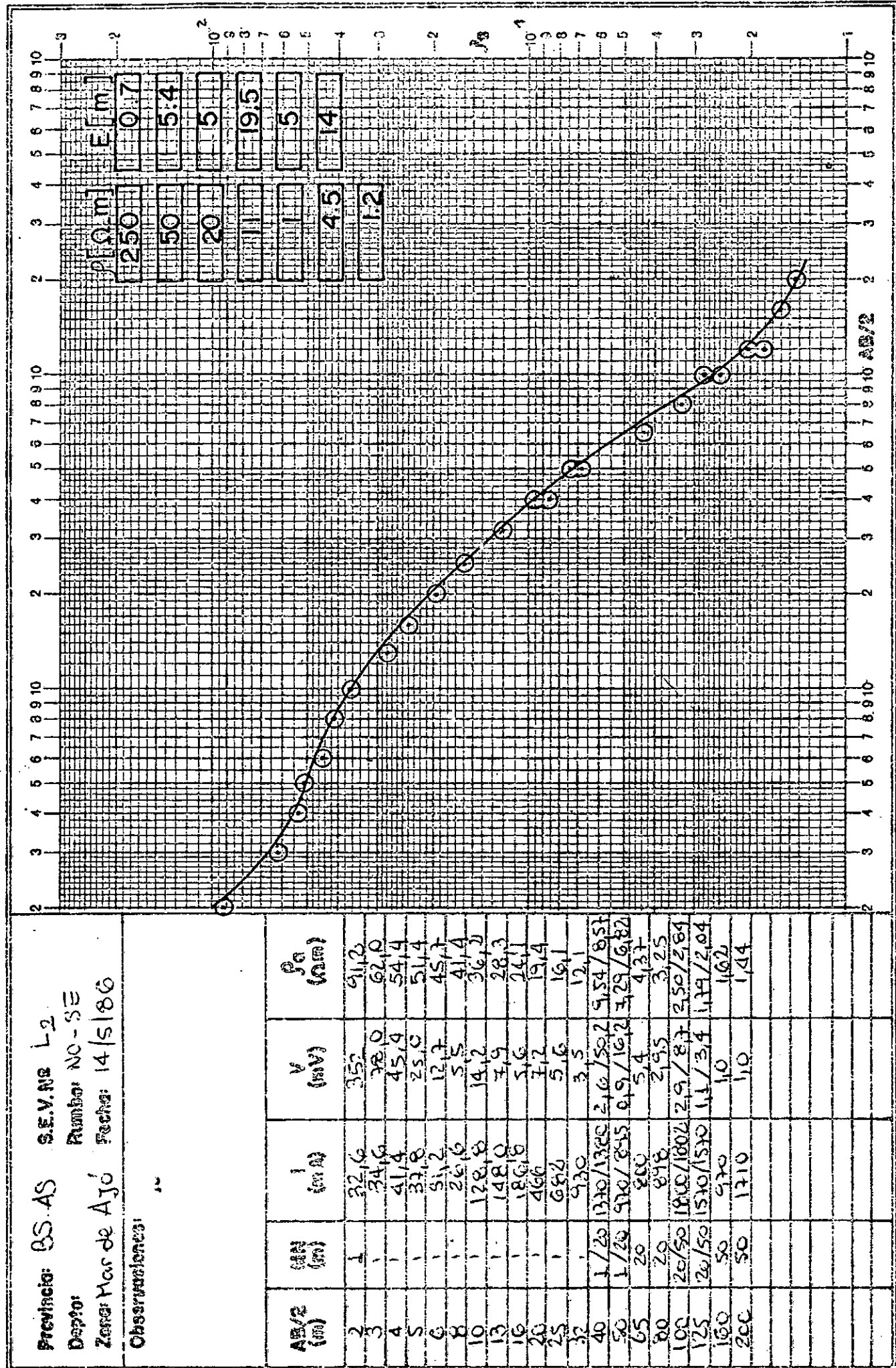
Provincia: BS-AS S.E.V. Nro: L1
 Dpto: N.W - SE
 Zona: Mts de A.J.C' Fecha: 13/5/86
 Observaciones:



AB/2 (m)	MN (m)	$\frac{V}{(m/s)}$	ρ_0 (cm)
2	1	20,8	15,2
3	1	27,3	41,3
4	1	26,1	30,2
5	1	36,0	38,0
6	1	39,6	38,9
7	1	43,9	41,9
8	1	46,3	42,5
10	1	48,4	45,2
13	1	51,5	45,2
16	1	51,5	45,2
20	1	30,3	10,1
25	1	31,6	9,9
32	1	41,0	4,4
41	1/20	53,2 / 49,2	2,2 / 4,5
50	1/20	45,9 / 44,6	0,8 / 1,0
65	2,0	55,6	9,1
80	2,0	63,1	4,2
100	2,0 / 5,0	54,2 / 9,2	4,7 / 2,9
125	2,0 / 5,0	99,0 / 9,8	0,8 / 2,1
160	5,0	104,3	1,0
200	5,0	91,8	0,5

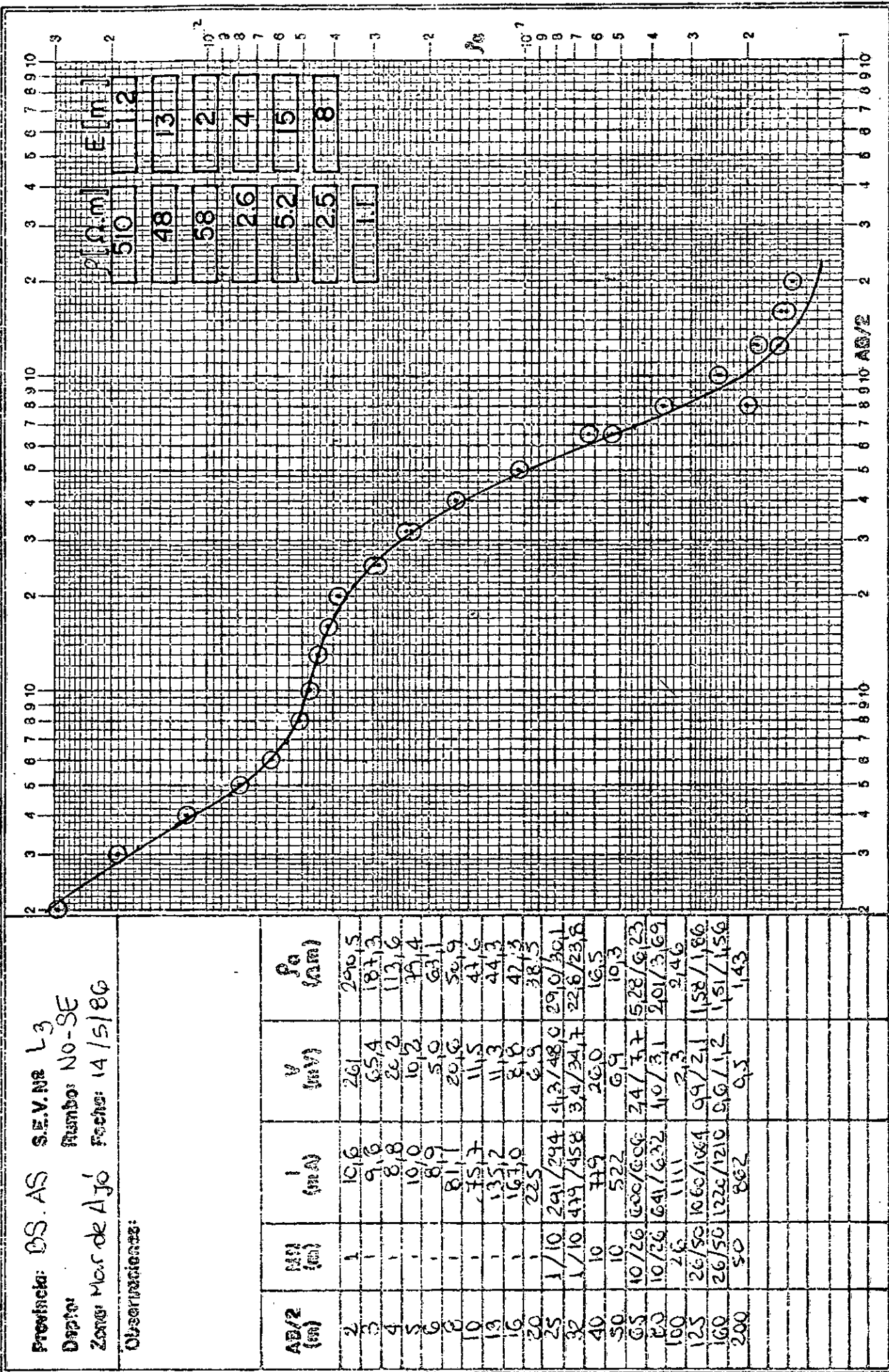
Provincia: BS-AS S.E.V. #2 L-2
 Dpto: Nro: No - SE
 Fecha: 14/5/86
 Zona: Mor de AJ6

Observaciones:

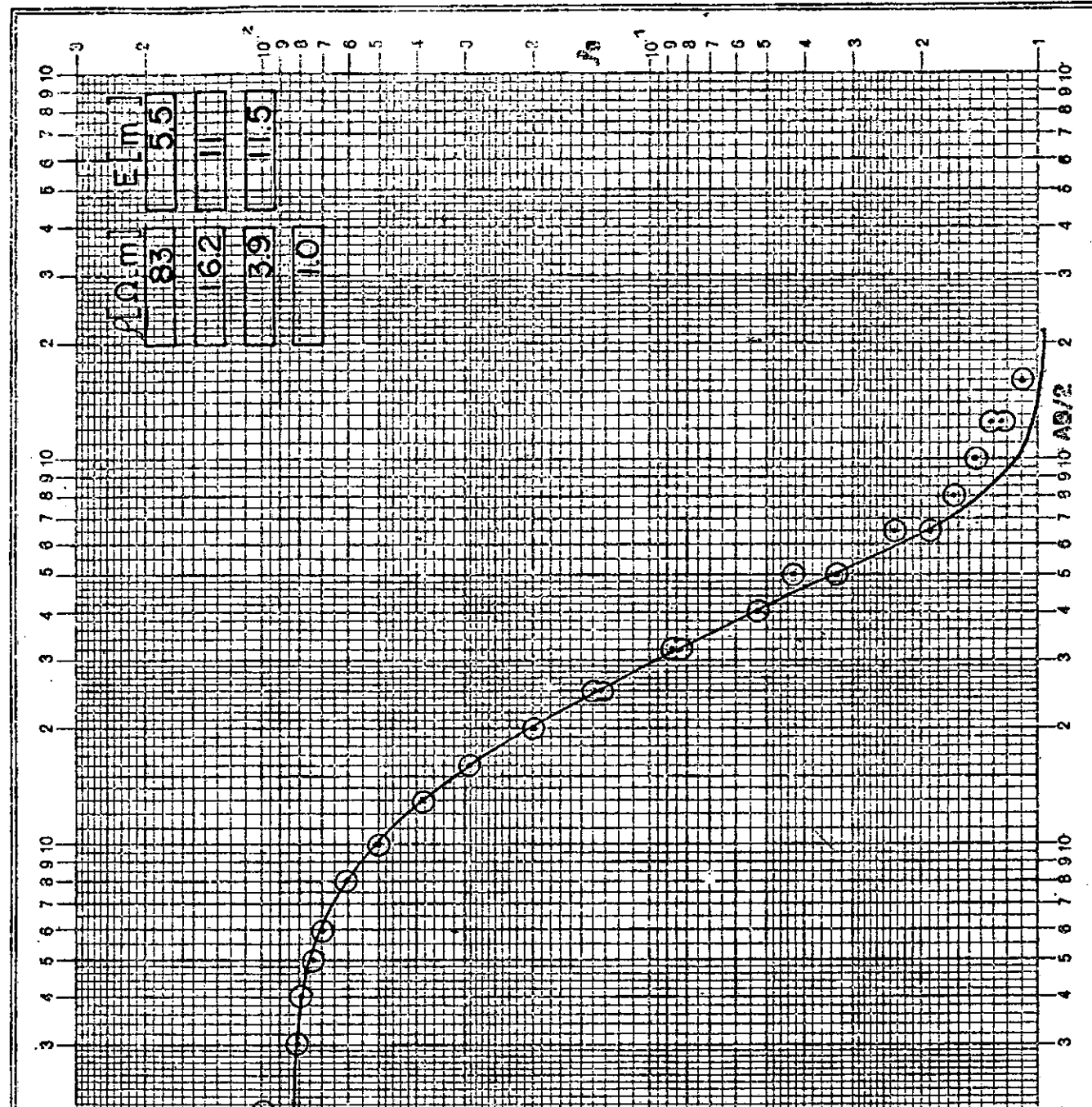


Provincia: DS. AS
 S.E.V. N° L3
 Número: No-SE
 Fecha: 14/5/86
 Zona: Mor de Aljo

Observaciones:



Provincia: BS. AS S.E.V. N° L4
 Depto: N-S
 Zona: Mor de Ajó Fecha: 14/5/80
 Observaciones:



AB/2 (m)	Rho (m)	I (mA)	V (mV)	ρ_m (kOhm)
2.0	1.0	20.0	120.0	9.0
3.0	1.0	21.4	93.2	11.2
4.0	1.0	23.0	74.0	12.6
5.0	1.0	26.1	57.0	14.5
6.0	1.0	27.6	48.0	16.0
7.0	1.0	29.3	43.0	17.5
8.0	1.0	31.0	39.0	19.0
9.0	1.0	32.7	36.0	20.5
10.0	1.0	34.4	33.0	22.0
11.0	1.0	37.3	30.0	23.5
12.0	1.0	41.3	27.0	25.0
13.0	1.0	45.3	24.0	26.5
14.0	1.0	49.3	21.0	28.0
15.0	1.0	53.3	18.0	29.5
16.0	1.0	57.3	15.0	31.0
17.0	1.0	61.3	12.0	32.5
18.0	1.0	65.3	9.0	34.0
19.0	1.0	69.2	7.0	35.3
20.0	1.0	73.3	5.0	36.5
21.0	1.0	77.3	3.0	37.5
22.0	1.0	81.3	1.0	38.5
23.0	1.0	85.3	-1.0	39.5
24.0	1.0	89.2	-3.0	40.4
25.0	1.0	93.3	-5.0	41.6
26.0	1.0	97.3	-7.0	42.4
27.0	1.0	101.3	-9.0	43.2
28.0	1.0	105.3	-11.0	44.0
29.0	1.0	109.2	-13.0	44.8
30.0	1.0	113.3	-15.0	45.6
31.0	1.0	117.3	-17.0	46.4
32.0	1.0	121.3	-19.0	47.2
33.0	1.0	125.3	-21.0	48.0
34.0	1.0	129.2	-23.0	48.8
35.0	1.0	133.3	-25.0	49.6
36.0	1.0	137.3	-27.0	50.4
37.0	1.0	141.3	-29.0	51.2
38.0	1.0	145.3	-31.0	52.0
39.0	1.0	149.2	-33.0	52.8
40.0	1.0	153.3	-35.0	53.6
41.0	1.0	157.3	-37.0	54.4
42.0	1.0	161.3	-39.0	55.2
43.0	1.0	165.3	-41.0	56.0
44.0	1.0	169.2	-43.0	56.8
45.0	1.0	173.3	-45.0	57.6
46.0	1.0	177.3	-47.0	58.4
47.0	1.0	181.3	-49.0	59.2
48.0	1.0	185.3	-51.0	60.0
49.0	1.0	189.2	-53.0	60.8
50.0	1.0	193.3	-55.0	61.6
51.0	1.0	197.3	-57.0	62.4
52.0	1.0	201.3	-59.0	63.2
53.0	1.0	205.3	-61.0	64.0
54.0	1.0	209.2	-63.0	64.8
55.0	1.0	213.3	-65.0	65.6
56.0	1.0	217.3	-67.0	66.4
57.0	1.0	221.3	-69.0	67.2
58.0	1.0	225.3	-71.0	68.0
59.0	1.0	229.2	-73.0	68.8
60.0	1.0	233.3	-75.0	69.6
61.0	1.0	237.3	-77.0	70.4
62.0	1.0	241.3	-79.0	71.2
63.0	1.0	245.3	-81.0	72.0
64.0	1.0	249.2	-83.0	72.8
65.0	1.0	253.3	-85.0	73.6
66.0	1.0	257.3	-87.0	74.4
67.0	1.0	261.3	-89.0	75.2
68.0	1.0	265.3	-91.0	76.0
69.0	1.0	269.2	-93.0	76.8
70.0	1.0	273.3	-95.0	77.6
71.0	1.0	277.3	-97.0	78.4
72.0	1.0	281.3	-99.0	79.2
73.0	1.0	285.3	-101.0	79.8
74.0	1.0	289.2	-103.0	80.4
75.0	1.0	293.3	-105.0	81.2
76.0	1.0	297.3	-107.0	81.8
77.0	1.0	301.3	-109.0	82.4
78.0	1.0	305.3	-111.0	83.2
79.0	1.0	309.2	-113.0	83.8
80.0	1.0	313.3	-115.0	84.4
81.0	1.0	317.3	-117.0	85.2
82.0	1.0	321.3	-119.0	85.8
83.0	1.0	325.3	-121.0	86.4
84.0	1.0	329.2	-123.0	87.2
85.0	1.0	333.3	-125.0	87.8
86.0	1.0	337.3	-127.0	88.4
87.0	1.0	341.3	-129.0	89.2
88.0	1.0	345.3	-131.0	89.8
89.0	1.0	349.2	-133.0	90.4
90.0	1.0	353.3	-135.0	91.2
91.0	1.0	357.3	-137.0	91.8
92.0	1.0	361.3	-139.0	92.4
93.0	1.0	365.3	-141.0	93.2
94.0	1.0	369.2	-143.0	93.8
95.0	1.0	373.3	-145.0	94.4
96.0	1.0	377.3	-147.0	95.2
97.0	1.0	381.3	-149.0	95.8
98.0	1.0	385.3	-151.0	96.4
99.0	1.0	389.2	-153.0	97.2
100.0	1.0	393.3	-155.0	97.8

Province: BS.AS. S.E.N.E L 5
Dpto: E-W

number: 3-7

Page: 19 | Go | 86

Frucht: 19 | G | 86

OBSERVACIONES: Zona de cañadones de rumbo aprox. N-S.

$\Delta B_1/2$ (m)	ΔB_2 (m)	$\frac{1}{2}$ (m.s)	$\frac{V}{(m.s)}$	f_0 (Hz)
2.3	1	761	103.5	160
3	1	752	41.9	53
4	1	740	22.3	49
5	1	735	13.9	43
6	1	730	9.7	34
8	1	2930	18.7	12.6
10	1	2980	11	11.1
12	1	-	3080	6.2
15	1	-	3040	3.6
20	1/10	3110	3120	2.2
25	1/10	3140	3140	1.4
32	10	-	3120	1.4
40	10	-	3050	5.9
50	10	-	3120	4.0
65	10	-	3130	2.4
80	10/40	3090	3540	1.5
90	10/40	3080	3090	1.0
125	40	-	3300	2.9
160	40	-	3080	1.7

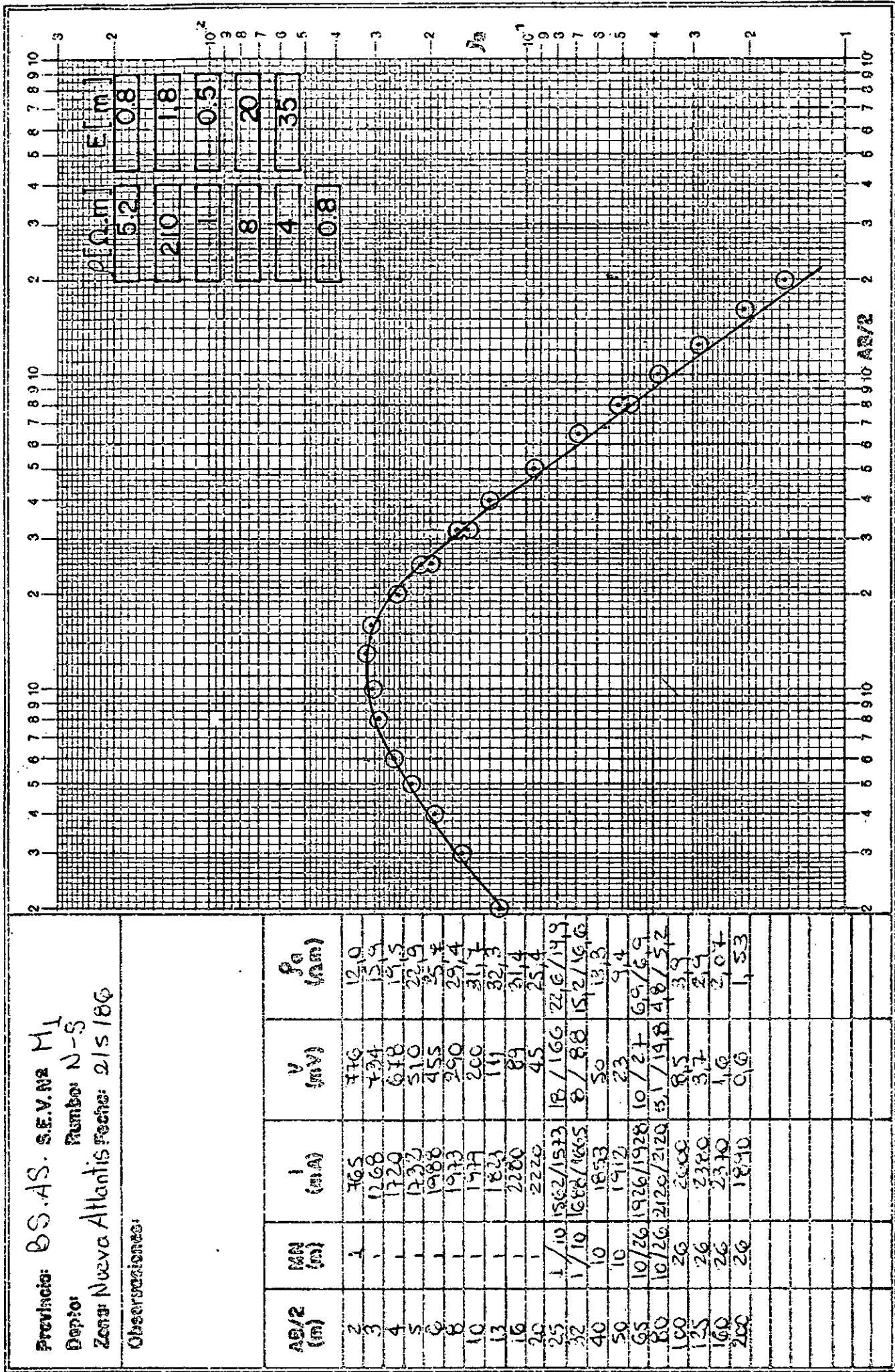
A graph showing the relationship between the parameter J_0 (x-axis) and the ratio $E/[n]$ (y-axis).

The x-axis (J_0) ranges from -10 to 10, with major tick marks every 2 units. The y-axis ($E/[n]$) ranges from 2 to 10, with major tick marks every 1 unit.

The data points, represented by open circles, show a non-linear relationship that increases monotonically as J_0 increases. The points are approximately:

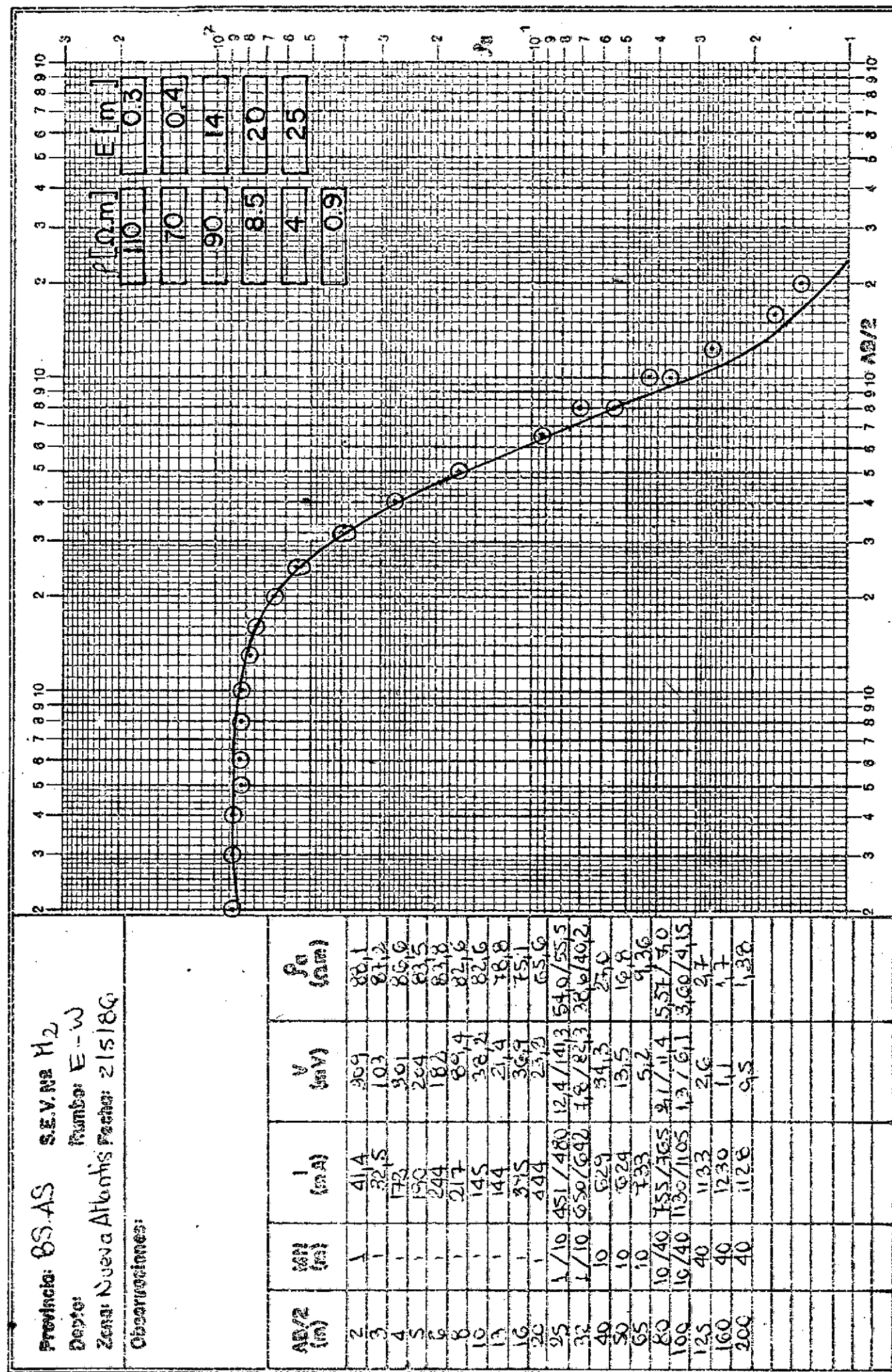
J_0	$E/[n]$
-8	2.9
-6	4.9
-4	7.3
-2	7.6
0	8.4
2	9.0
4	9.5
6	9.8
8	10.0

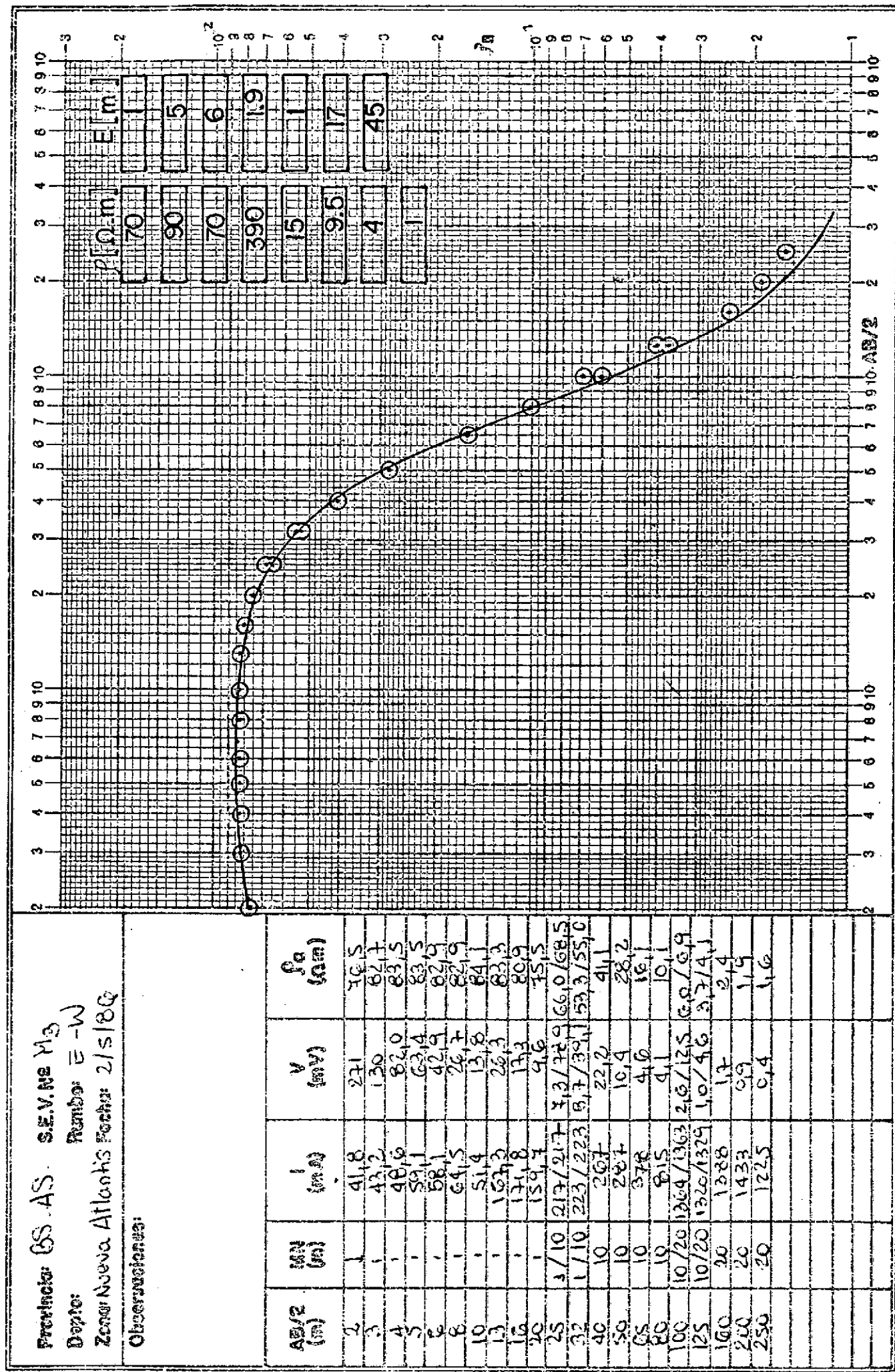
Provincia: BS. AS. S.E.V. N° H₁
 Depto: N-S
 Zona: Nueva Atlantis Fecha: 21/5/86
 Observaciones:



Provincia: BS-AS S.E.V. N° M₂
 Dpto: Número: E-W
 Zona: Nueva Altonis Fecha: 21/5/84

Observaciones:

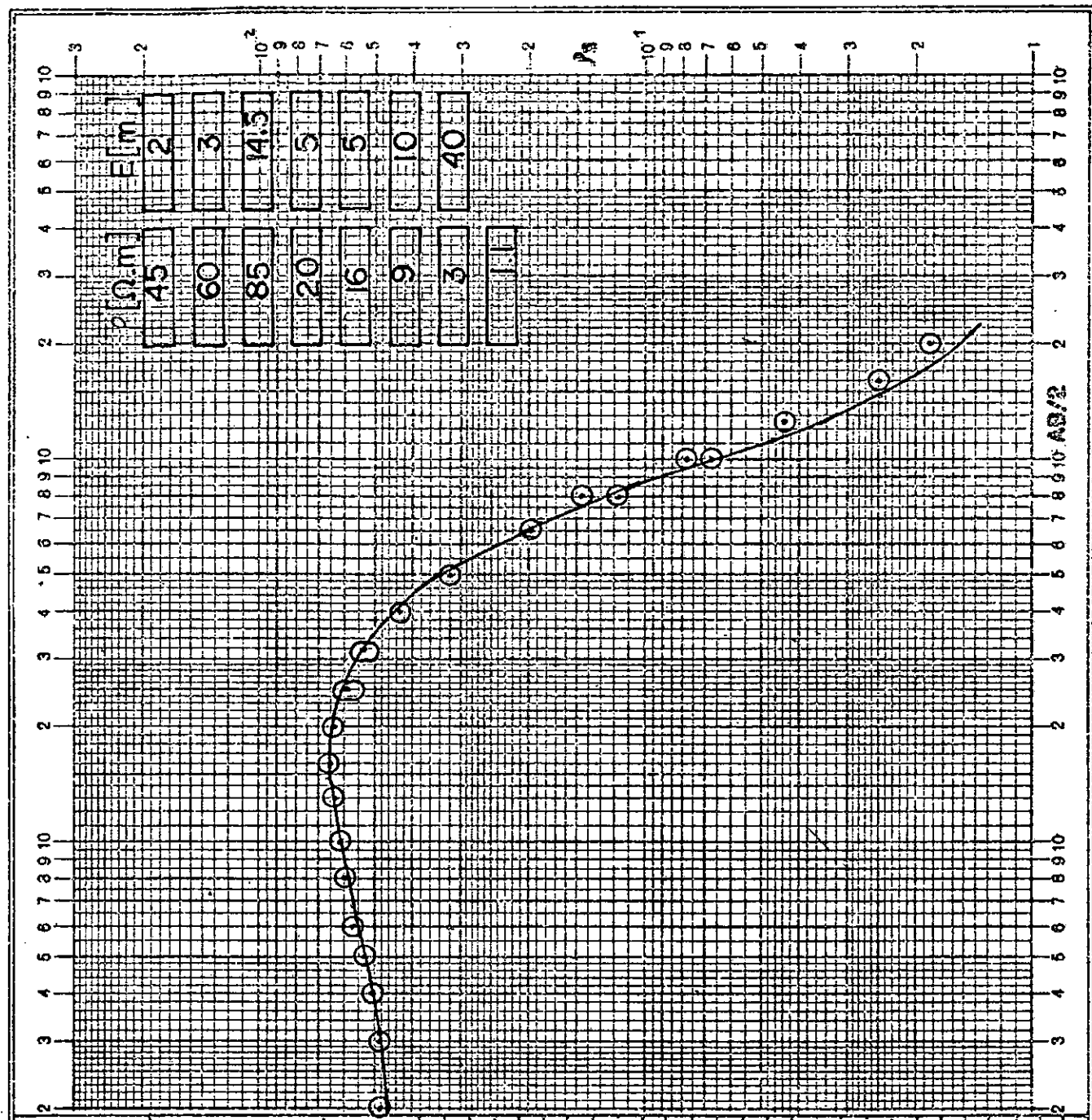




Provincie: BS. AS S.E.Y.NE M4
 Depto: Rambo E - W
 Zona Nueva Atacama fecha:

Observadores:

$A_{B/2}$ (m)	$\frac{AB}{2}$ (m)	λ (m)	λ' (m)	ρ_0 (cm)
2	1	288	1180	48.3
3	1	184	324	48.4
4	-	202	211	51.7
5	-	377	234	51.4
6	-	372	188	56.7
8	-	443	132	59.3
10	-	664	181	61.8
13	-	720	92.3	64.2
16	-	780	63.0	64.9
20	-	602	50.6	64.1
25	1/10	1013	30.9/3.19	54.2/52.4
32	1/10	982	16.3/16.0	53.1/52.1
40	10	1056	9.3/3	42.1
50	10	949	3.9/1	22.7
65	10	460	1.8	19.8
80	10	847/814	5.0/2.2	14.0
100	10/26	1085	2.2/1.2	6.7/7.4
125	26	1064	3.9	4.38
150	26	673	1.1	2.49
200	26	841	0.5	1.85
250				

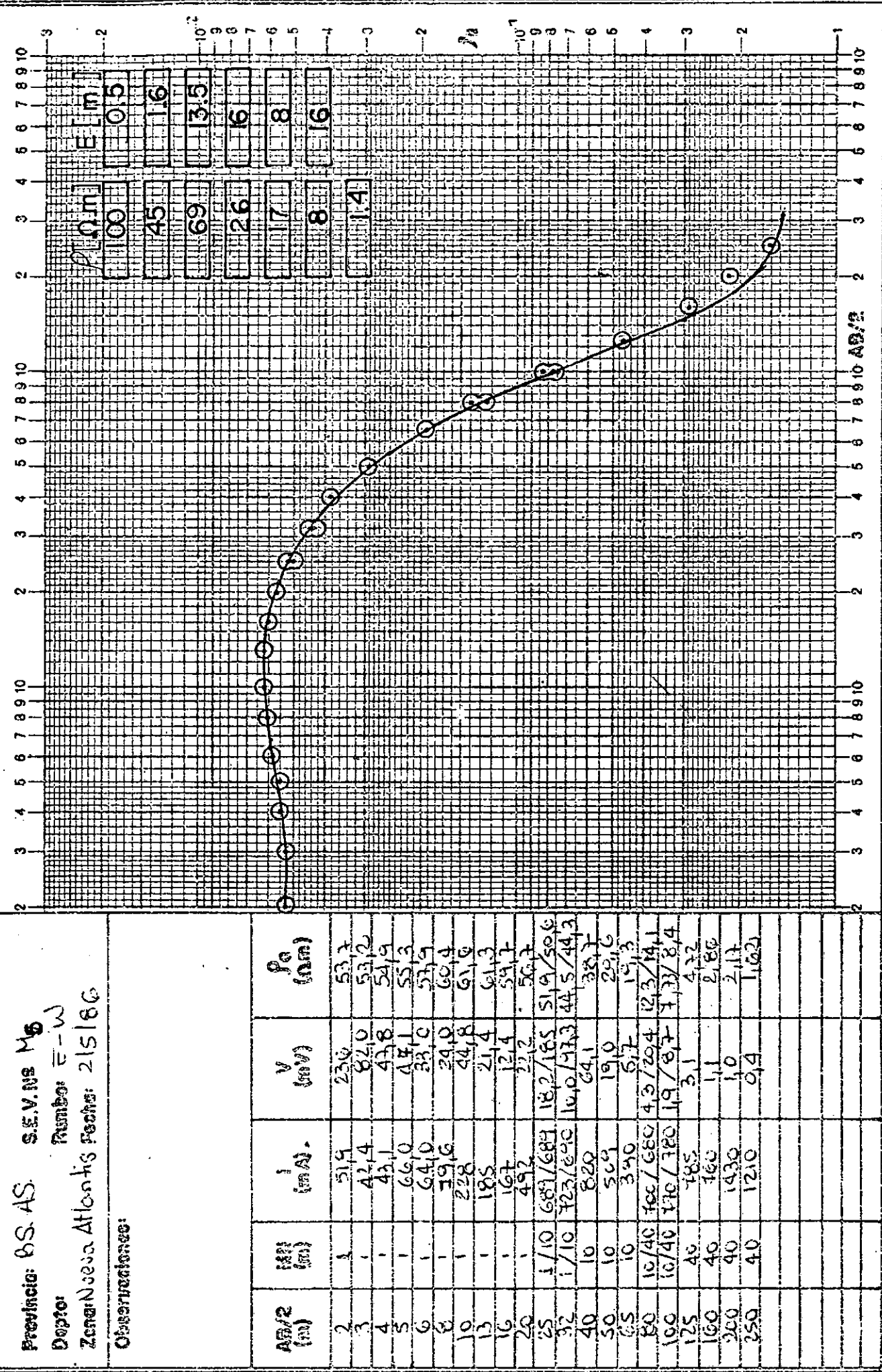


Provincia: B.S.A.S. S.S.V.Na M.S.

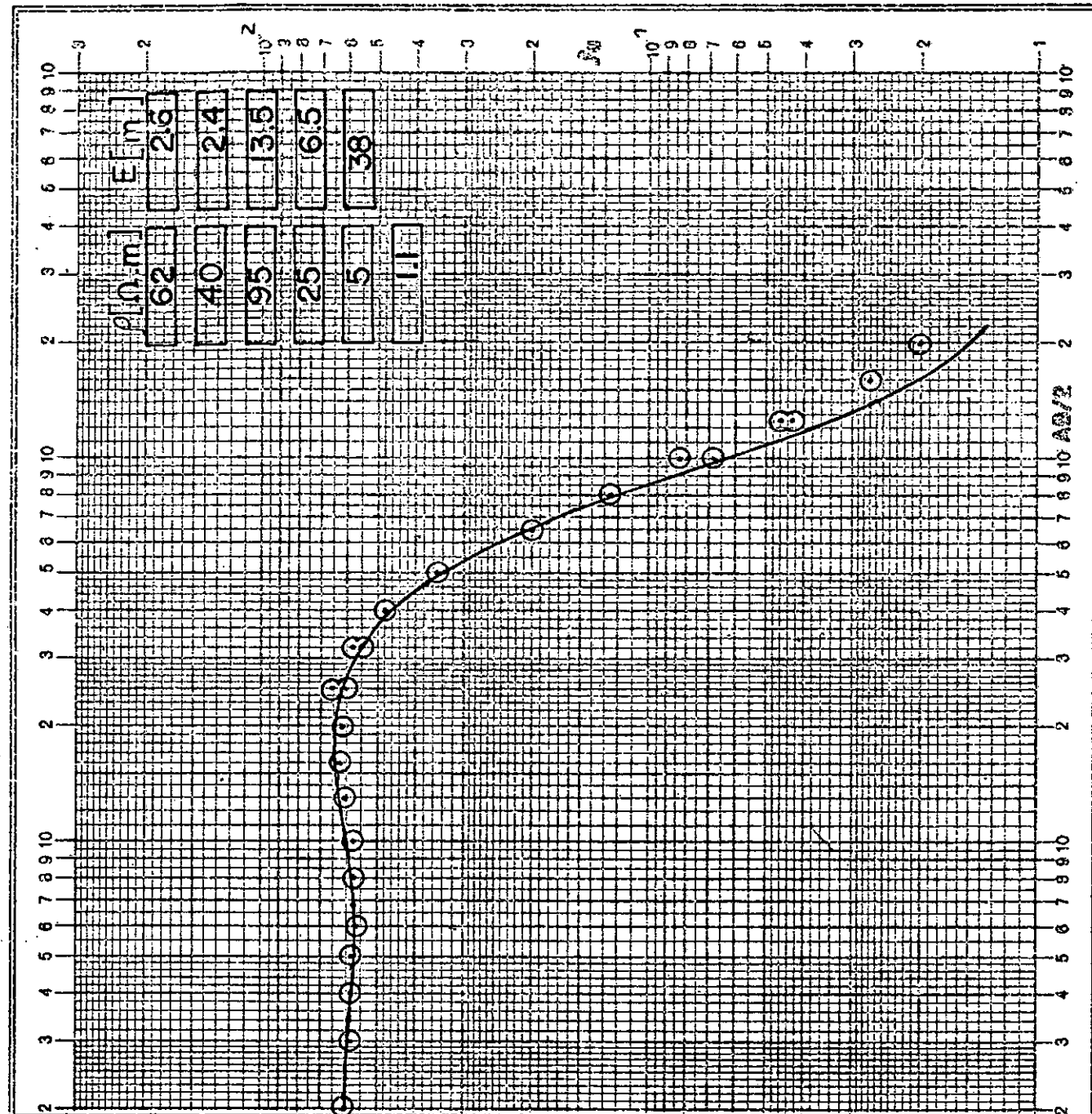
Dpto: Número: -W

Zona: Nieve Alfoncis Fecha: 21/5/66

Observaciones:

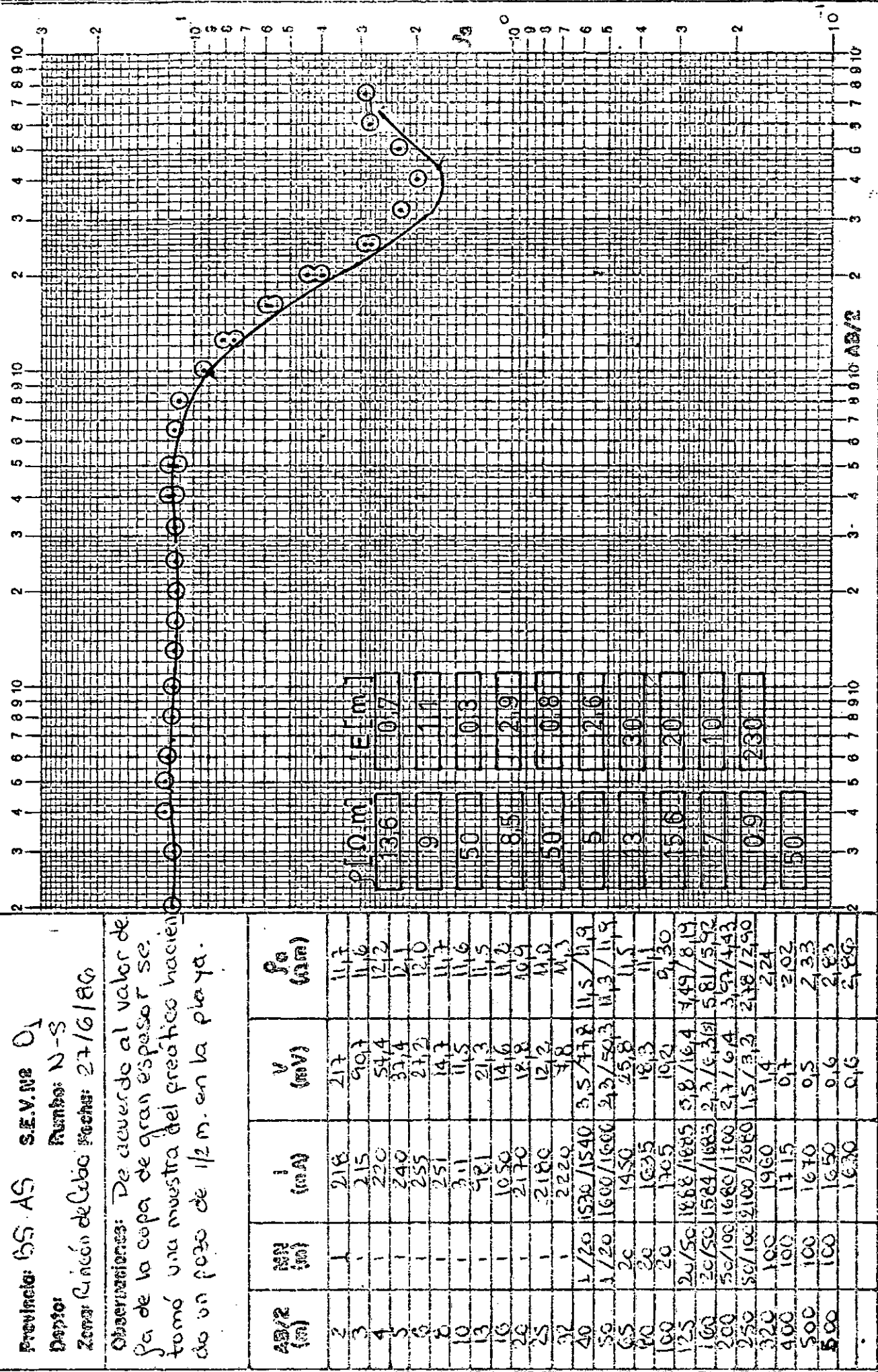


Profundidad D.S. (AS)	Altura (m)	Distancia (km)	Velocidad (km/h)	Profundidad (m)
Deposito				
Number E-W				
Zona Nueva Atlantis Fecha 215/86				
Observaciones:				
AS/2 (m)	MM (m)	1 (km)	V (km)	ρ (kg/m³)
2	3	23,2	120	61,0
3	1	26,9	44,2	58,2
4	1	19,0	32,2	57,8
5	1	19,2	14,1	57,1
6	1	21,4	10,8	56,2
8	1	19,5	22,4	56,4
10	1	93,2	17,3	58,2
13	-	40,5	10,4	55,9
16	-	94,4	3,4	63,0
20	-	112,4	5,2	62,0
25	1/10	295/289	9,2/100	61,2/65,2
32	1/10	406/393	4,0/32,5	53,2/57,9
40	10	87,6	89,4	43,7
50	10	94,3	33,6	35,2
65	10	69,0	9,2	26,2
80	10	74,1	4,7	12,7
100	10/40	923/918	2,0/10,1	6,8/8,3
125	10/40	1372/1388	1,2/5,4	4,3/4,6
150	40	1300	1,60	2,7
200	40	1235	0,8	2,01



Provincia: CSAS S.E.V. Nro 01
Dpto: Rambo N-S
Zona: Ciénica de Colao Fecha: 27/6/86

Observaciones: De acuerdo al valor de
fa de la copa de gran espesor se
tomo una muestra del freatico naciendo
des un pozo de 1/2 m. en la playa.

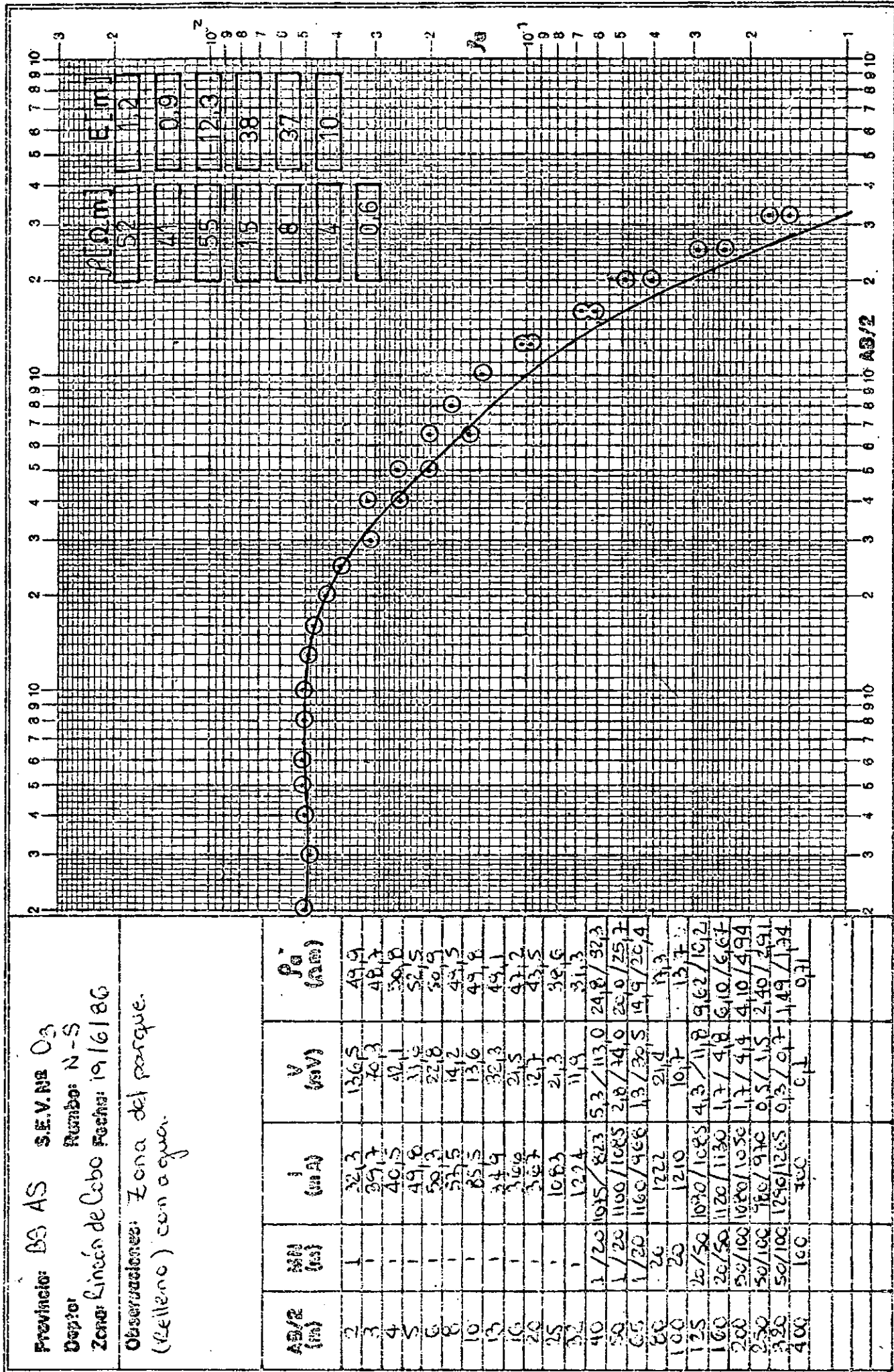


Provincia: BS AS S.E.V. Nro 03

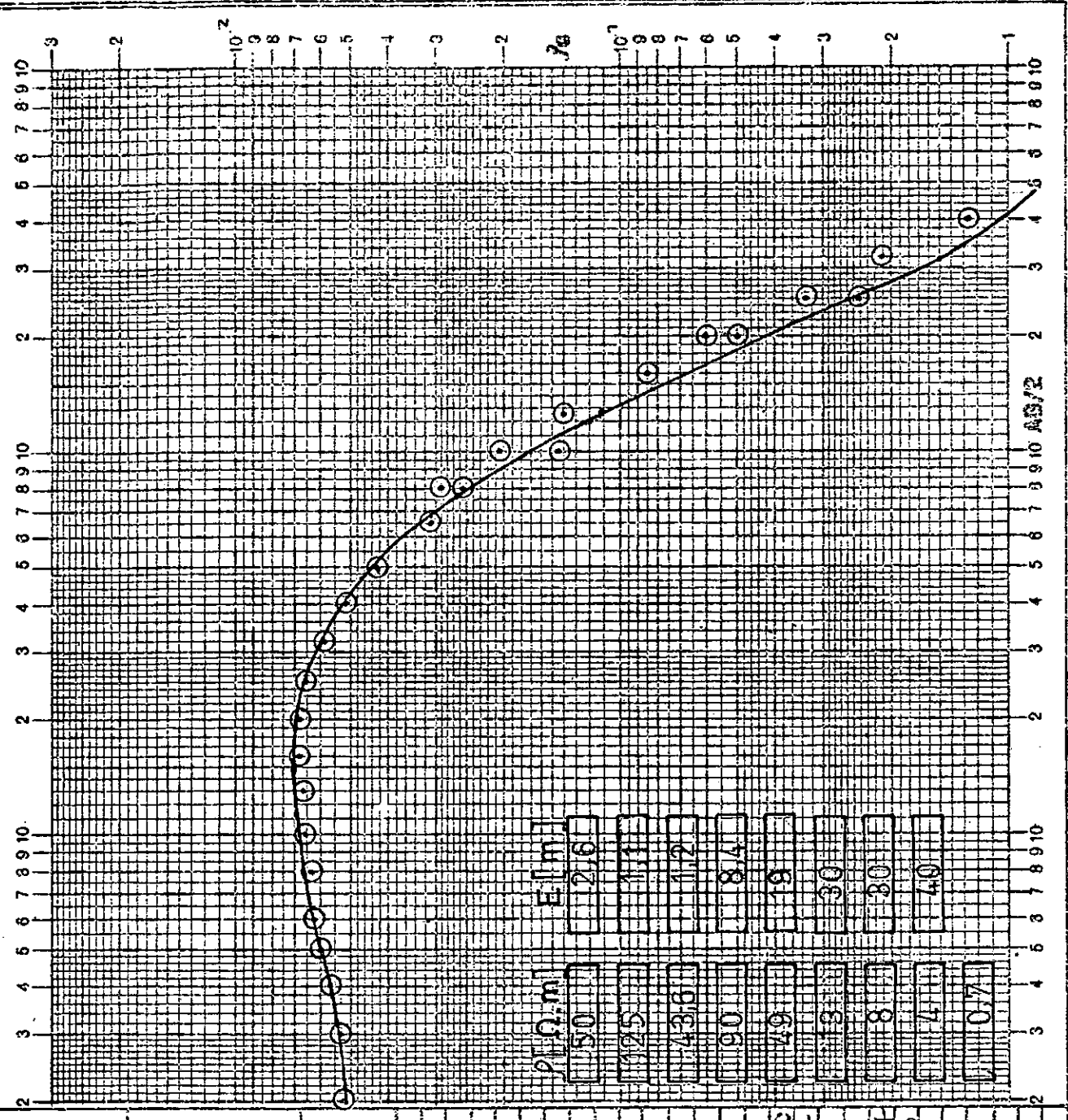
Dpto: Río Cuarto N-S

Zona: Línea de Cebo Fecha: 19/6/86

Observaciones: Zona del parque.
(Pellejo) con ojos.



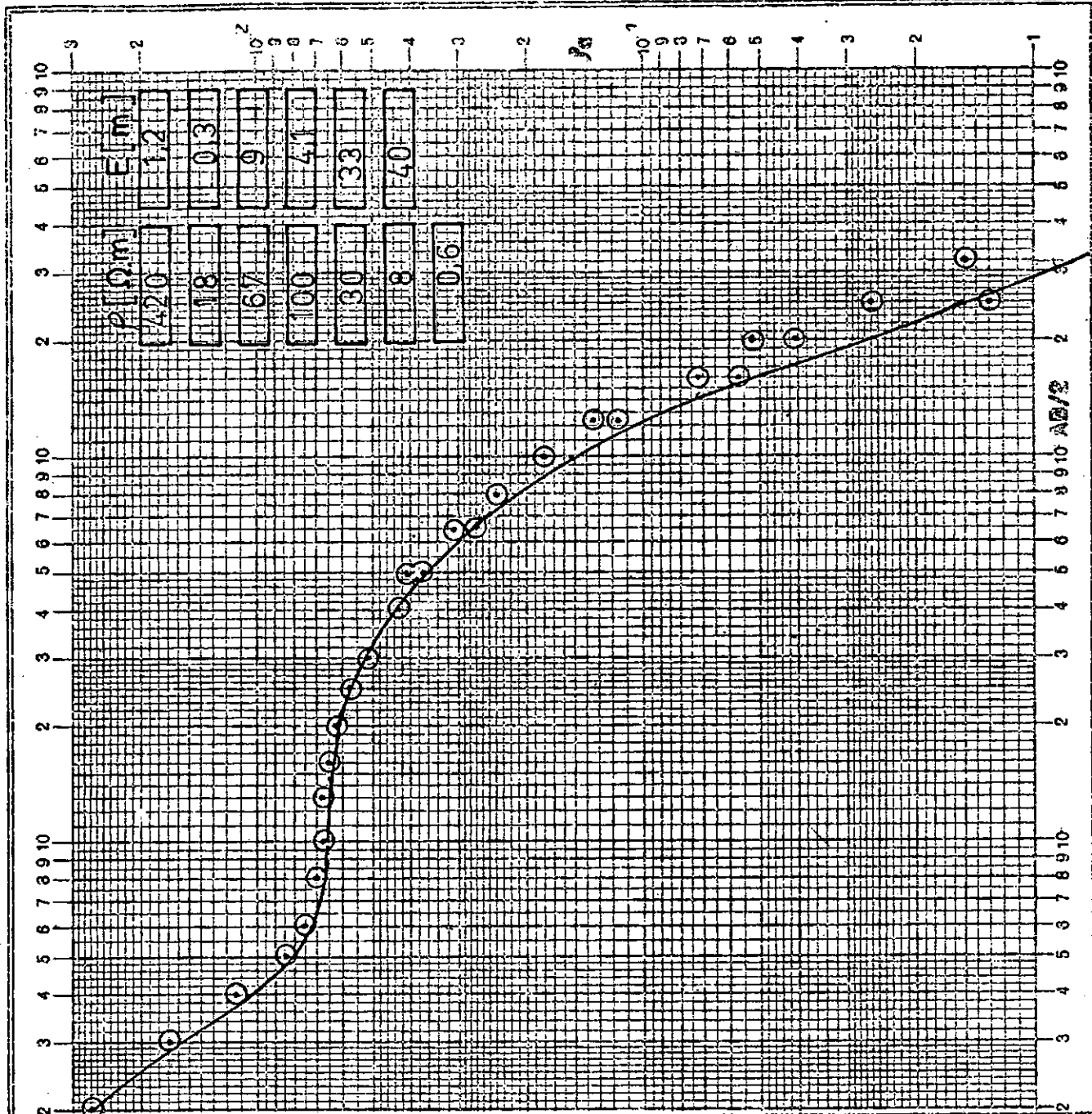
Provincia: B.C.A.S
 Depart.
 Zona:
 Punto:
 Fecha: 12/6/86
 Observaciones:



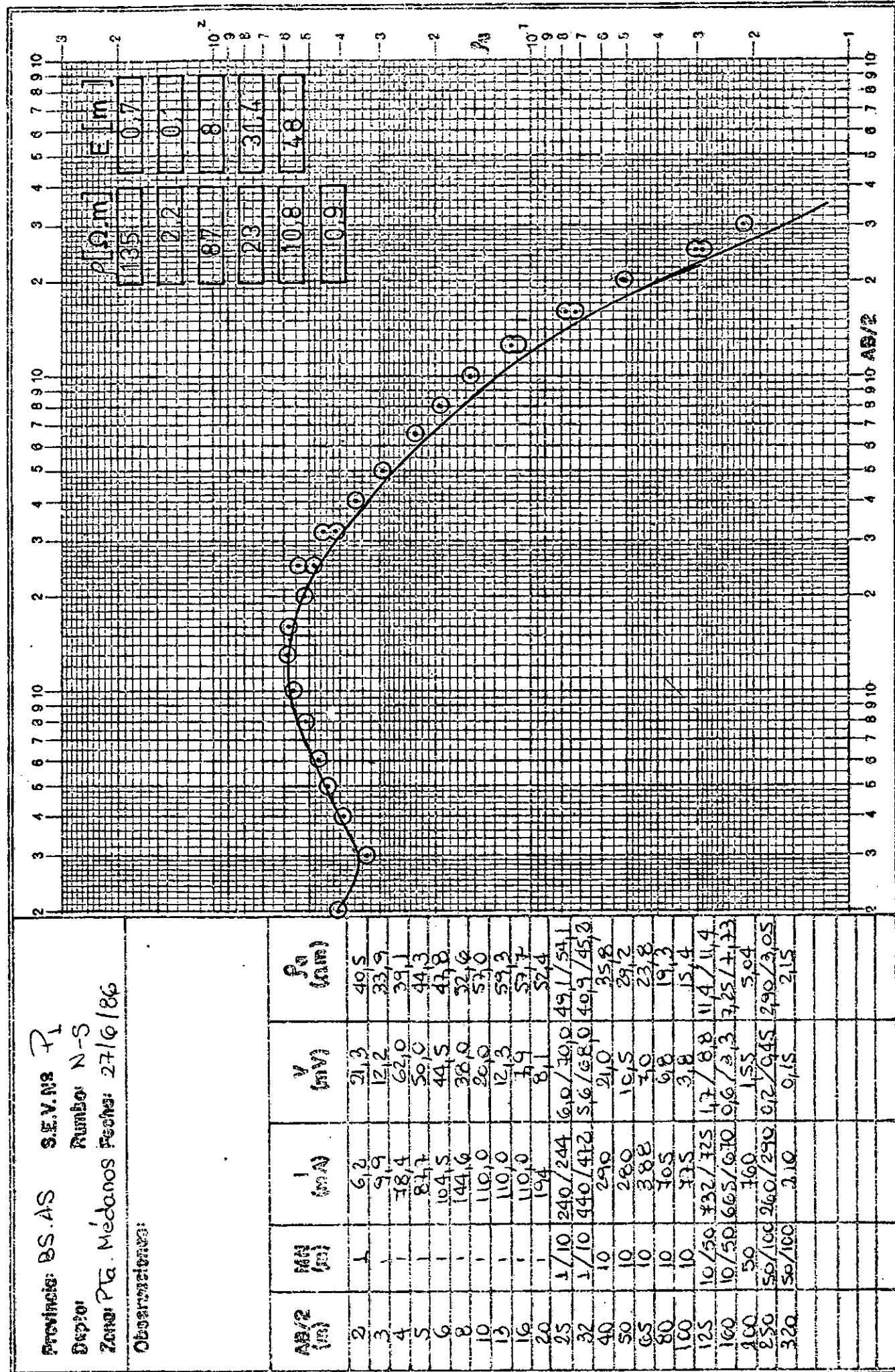
Altura (m)	Presión (hPa)	T (°C)	V (mm)	RH (%)	Pa (hPa)
2	1013	13.8	53.1	100	1013
3	1011	14.1	54.1	99	1011
4	1009	14.3	54.3	99	1009
5	1007	14.6	54.6	99	1007
6	1005	14.8	54.8	99	1005
7	1004	14.9	54.9	99	1004
8	1003	14.9	54.9	99	1003
9	1002	14.9	54.9	99	1002
10	1001	14.9	54.9	99	1001
11	1000	14.9	54.9	99	1000
12	999	14.9	54.9	99	999
13	998	14.9	54.9	99	998
14	997	14.9	54.9	99	997
15	996	14.9	54.9	99	996
16	995	14.9	54.9	99	995
17	994	14.9	54.9	99	994
18	993	14.9	54.9	99	993
19	992	14.9	54.9	99	992
20	991	14.9	54.9	99	991
21	990	14.9	54.9	99	990
22	989	14.9	54.9	99	989
23	988	14.9	54.9	99	988
24	987	14.9	54.9	99	987
25	986	14.9	54.9	99	986
26	985	14.9	54.9	99	985
27	984	14.9	54.9	99	984
28	983	14.9	54.9	99	983
29	982	14.9	54.9	99	982
30	981	14.9	54.9	99	981
31	980	14.9	54.9	99	980
32	979	14.9	54.9	99	979
33	978	14.9	54.9	99	978
34	977	14.9	54.9	99	977
35	976	14.9	54.9	99	976
36	975	14.9	54.9	99	975
37	974	14.9	54.9	99	974
38	973	14.9	54.9	99	973
39	972	14.9	54.9	99	972
40	971	14.9	54.9	99	971
41	970	14.9	54.9	99	970
42	969	14.9	54.9	99	969
43	968	14.9	54.9	99	968
44	967	14.9	54.9	99	967
45	966	14.9	54.9	99	966
46	965	14.9	54.9	99	965
47	964	14.9	54.9	99	964
48	963	14.9	54.9	99	963
49	962	14.9	54.9	99	962
50	961	14.9	54.9	99	961
51	960	14.9	54.9	99	960
52	959	14.9	54.9	99	959
53	958	14.9	54.9	99	958
54	957	14.9	54.9	99	957
55	956	14.9	54.9	99	956
56	955	14.9	54.9	99	955
57	954	14.9	54.9	99	954
58	953	14.9	54.9	99	953
59	952	14.9	54.9	99	952
60	951	14.9	54.9	99	951
61	950	14.9	54.9	99	950
62	949	14.9	54.9	99	949
63	948	14.9	54.9	99	948
64	947	14.9	54.9	99	947
65	946	14.9	54.9	99	946
66	945	14.9	54.9	99	945
67	944	14.9	54.9	99	944
68	943	14.9	54.9	99	943
69	942	14.9	54.9	99	942
70	941	14.9	54.9	99	941
71	940	14.9	54.9	99	940
72	939	14.9	54.9	99	939
73	938	14.9	54.9	99	938
74	937	14.9	54.9	99	937
75	936	14.9	54.9	99	936
76	935	14.9	54.9	99	935
77	934	14.9	54.9	99	934
78	933	14.9	54.9	99	933
79	932	14.9	54.9	99	932
80	931	14.9	54.9	99	931
81	930	14.9	54.9	99	930
82	929	14.9	54.9	99	929
83	928	14.9	54.9	99	928
84	927	14.9	54.9	99	927
85	926	14.9	54.9	99	926
86	925	14.9	54.9	99	925
87	924	14.9	54.9	99	924
88	923	14.9	54.9	99	923
89	922	14.9	54.9	99	922
90	921	14.9	54.9	99	921
91	920	14.9	54.9	99	920
92	919	14.9	54.9	99	919
93	918	14.9	54.9	99	918
94	917	14.9	54.9	99	917
95	916	14.9	54.9	99	916
96	915	14.9	54.9	99	915
97	914	14.9	54.9	99	914
98	913	14.9	54.9	99	913
99	912	14.9	54.9	99	912
100	911	14.9	54.9	99	911
101	910	14.9	54.9	99	910
102	909	14.9	54.9	99	909
103	908	14.9	54.9	99	908
104	907	14.9	54.9	99	907
105	906	14.9	54.9	99	906
106	905	14.9	54.9	99	905
107	904	14.9	54.9	99	904
108	903	14.9	54.9	99	903
109	902	14.9	54.9	99	902
110	901	14.9	54.9	99	901
111	900	14.9	54.9	99	900
112	899	14.9	54.9	99	899
113	898	14.9	54.9	99	898
114	897	14.9	54.9	99	897
115	896	14.9	54.9	99	896
116	895	14.9	54.9	99	895
117	894	14.9	54.9	99	894
118	893	14.9	54.9	99	893
119	892	14.9	54.9	99	892
120	891	14.9	54.9	99	891
121	890	14.9	54.9	99	890
122	889	14.9	54.9	99	889
123	888	14.9	54.9	99	888
124	887	14.9	54.9	99	887
125	886	14.9	54.9	99	886
126	885	14.9	54.9	99	885
127	884	14.9	54.9	99	884
128	883	14.9	54.9	99	883
129	882	14.9	54.9	99	882
130	881	14.9	54.9	99	881
131	880	14.9	54.9	99	880
132	879	14.9	54.9	99	879
133	878	14.9	54.9	99	878
134	877	14.9	54.9	99	877
135	876	14.9	54.9	99	876
136	875	14.9	54.9	99	875
137	874	14.9	54.9	99	874
138	873	14.9	54.9	99	873
139	872	14.9	54.9	99	872
140	871	14.9	54.9	99	871
141	870	14.9	54.9	99	870
142	869	14.9	54.9	99	869
143	868	14.9	54.9	99	868
144	867	14.9	54.9	99	867
145	866	14.9	54.9	99	866
146	865	14.9	54.9	99	865
147	864	14.9	54.9	99	864
148	863	14.9	54.9	99	863
149	862	14.9	54.9	99	862
150	861	14.9	54.9	99	861
151	860	14.9	54.9	99	860
152	859	14.9	54.9	99	859
153	858	14.9	54.9	99	858
154	857	14.9	54.9	99	857
155	856	14.9	54.9	99	856
156	855	14.9	54.9	99	855
157	854	14.9	54.9	99	854
158	853	14.9	54.9	99	853
159	852	14.9	54.9	99	852
160	851	14.9	54.9	99	851
161	850	14.9	54.9	99	850
162	849	14.9	54.9	99	849
163	848	14.9	54.9	99	848
164	847	14.9	54.9	99	847
165	846	14.9	54.9	99	846
166	845	14.9	54.9	99	845
167	844	14.9	54.9	99	844
168	843	14.9	54.9	99	843
169	842	14.9	54.9	99	842
170	841	14.9	54.9	99	841
171	840	14.9	54.9	99	840
172	839	14.9	54.9	99	839
173	838	14.9	54.9	99	838
174	837	14.9	54.9	99	837
175	836	14.9	54.9	99	836
176	835	14.9	54.9	99	835
177	834	14.9	54.9	99	834
178	833	14.9	54.9	99	833
179	832	14.9	54.9	99	832
180	831	14.9	54.9	99	831
181	830	14.9	54.9	99	830
182	829	14.9	54.9	99	829
183	828	14.9	54.9	99	828
184	827	14.9	54.9	99	827
185	826	14.9	54.9	99	826
186	825	14.9	54.9	99	825
187	824	14.9	54.9	99	824
188	823	14.9	54.9	99	823
189	822	14.9	54.9	99	822
190	821	14.9	54.9	99	821
191	820	14.9	54.9	99	820
192	819	14.9	54.9	99	819
193	818	14.9	54.9	99	818
194	817	14.9	54.9	99	817

Provincia: BS AS SE V. Nro 05
 Depto: Río Negro N-S
 Zona: Rincón de Lebo Fecha: 17/16/86
 Observaciones:

$A_{5/2}$ (m)	β_0 (m)	I (mA)	V (mV)	β_0 (nm)
2	1	30.0	69.0	271
3	-	45.0	27.8	170
4	-	33.0	73.7	110.5
5	-	60.0	85.1	84.4
6	-	51.5	34.2	75.9
8	-	48.0	16.7	69.7
10	-	63.0	13.5	67.1
13	-	83.0	10.8	68.5
16	-	76.1	9.4	65.8
20	-	74.9	4.5	61.5
25	-	25.0	7.4	58.1
32	-	31.0	4.9	51.0
40	-	25.4	2.2	43.9
50	1/20	24.5	1.5	26.5
65	1/20	22.2	0.45	36.9 / 40.8
80	20	41.0	1.0	24.1
100	20	32.8	3.75	17.8
125	20/50	52.0 / 52.0	2.5 / 7.4	11.8 / 13.4
160	20/50	63.0 / 42.5	0.6 / 2.0	5.59 / 4.39
200	30/100	49.0 / 49.0	0.2 / 2.2	4.03 / 5.26
250	30/100	45.0 / 50.0	0.5 / 3.8	1.30 / 2.62
320	- 100	40.0	0.35	1.5

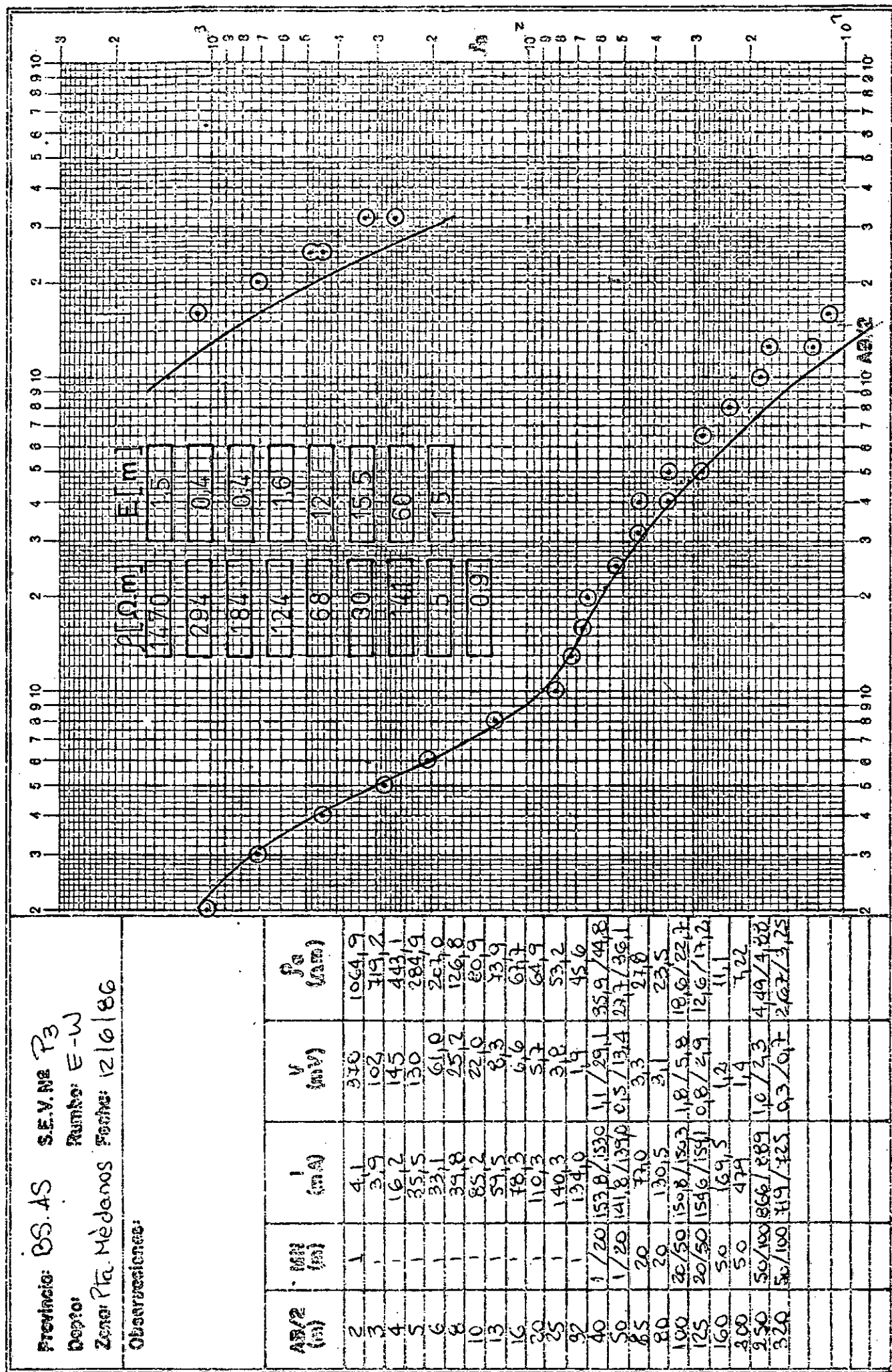


Percepcion: B.S.A.S
 Descrip.:
 Zona: Pta. Medanos Fecha: 27/6/86
 Número: N-S
 Observaciones:



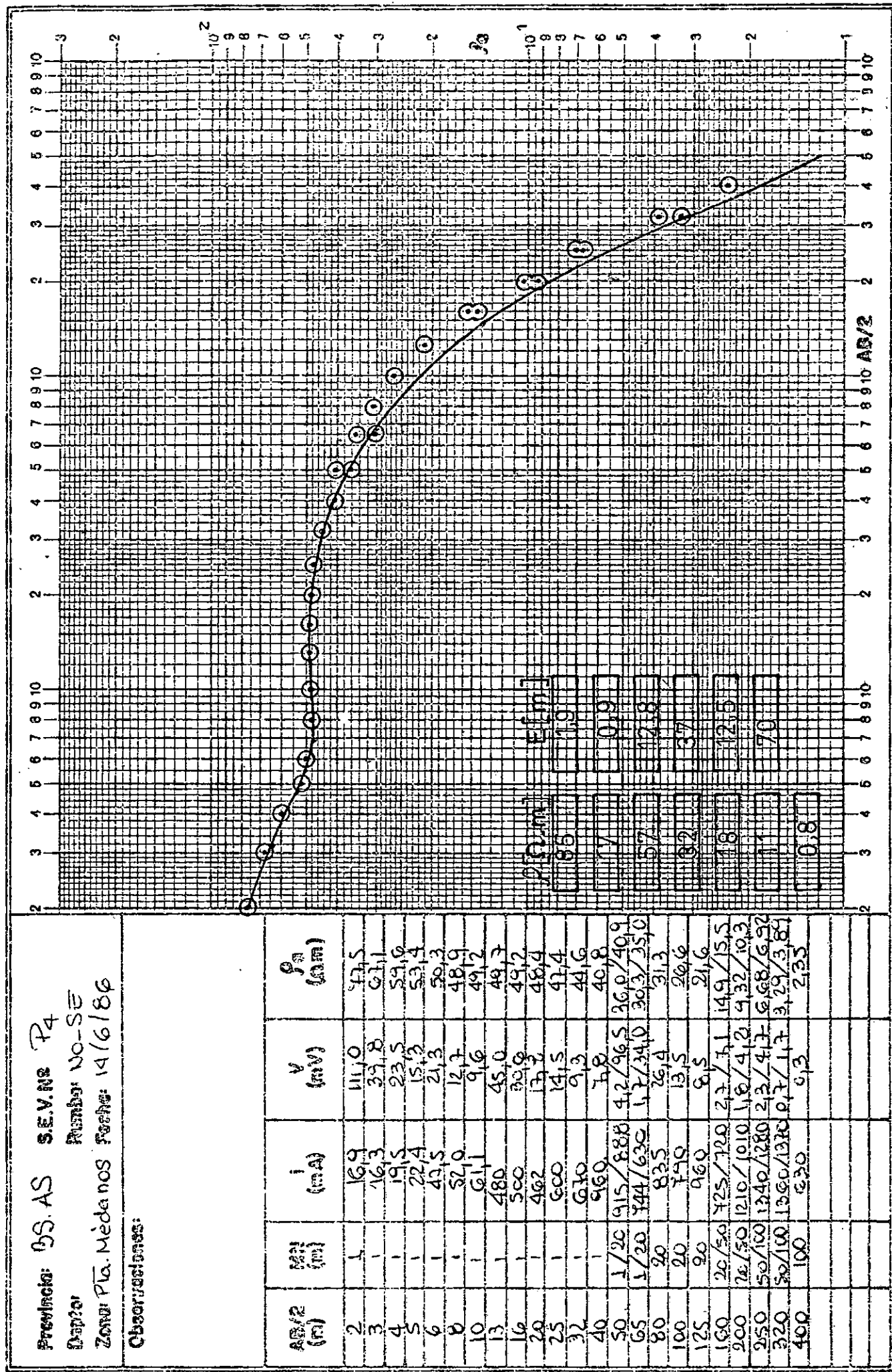
Provincia: BS. AS S.E.V. Nro P3
 Depto: Río Negro E-W
 Zona: Pta. Meldanos Fecha: 12/16/86

Observaciones:

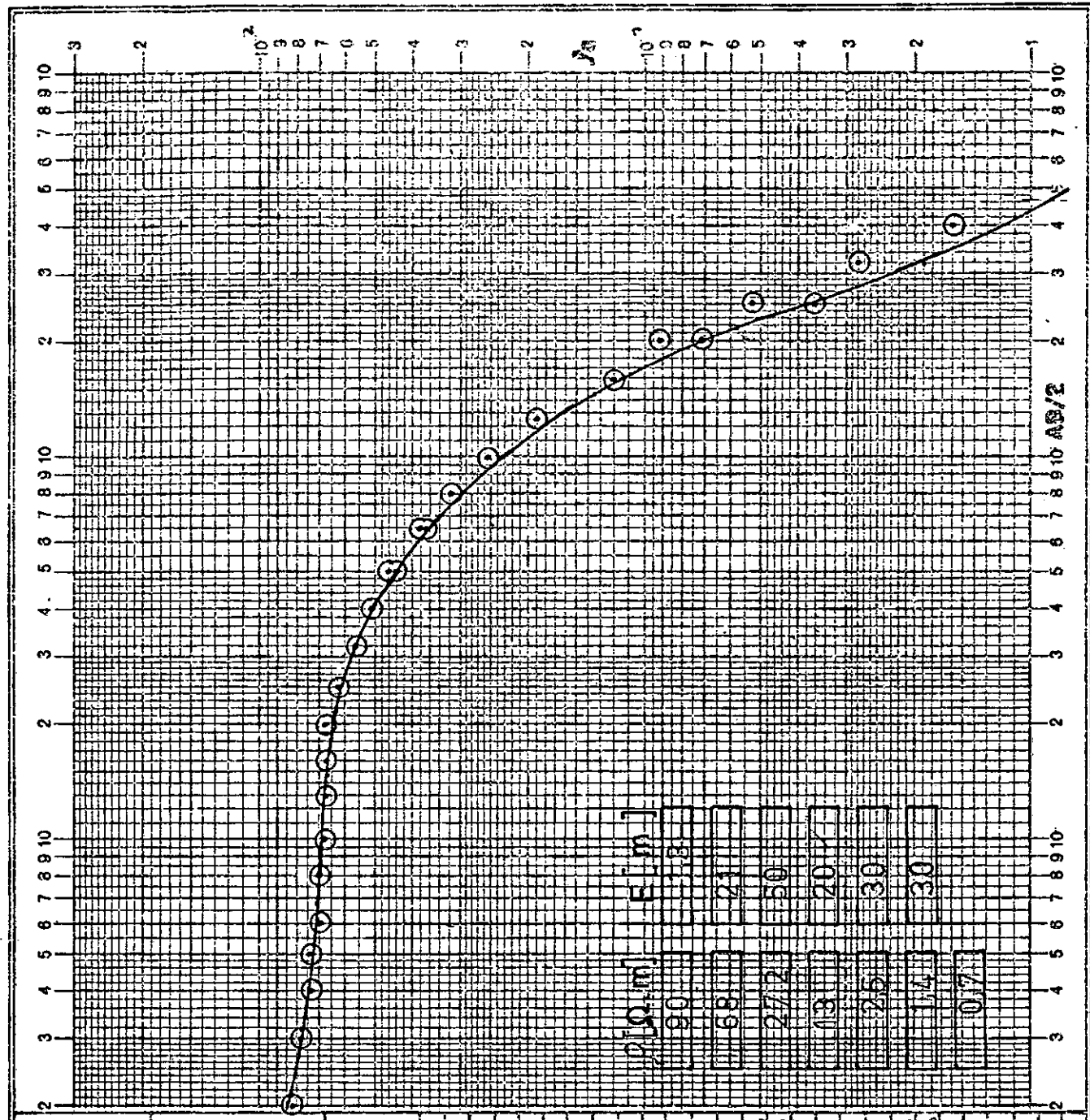


Provincia: BS. AS S.E.V.NE P4
 Río: No-SE
 Zona: Plata. Mármoles Fondo: 14/6/86
 Díptero

Observaciones:

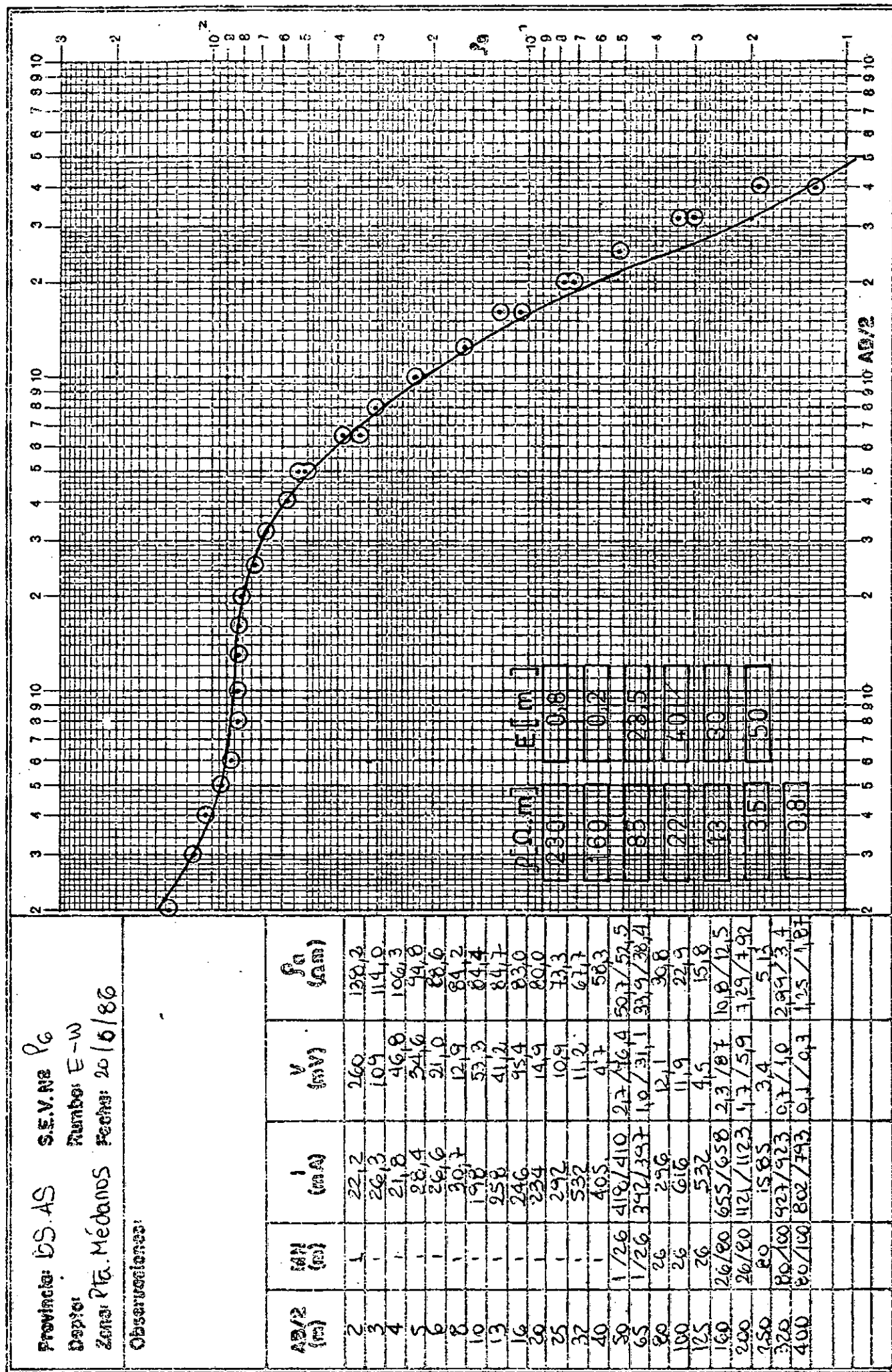


Provincia: BS-AS	Prov. N°	Prov. N°	Prov. N°
Dpto:	Nro:	NO-SE	
Zona: TA. Médanos	Fechas:	14/6	
Observaciones:			
AB/2 (m)	100	100	100
Y (m)	280	221,6	178,6
ρ_a (Ω/m)	40	46,0	52,9
ρ_a (Ω/m)	33,6	48,6	54,8
ρ_a (Ω/m)	41,6	49,9	56,9
ρ_a (Ω/m)	44,7	49,2	53,4
ρ_a (Ω/m)	48,0	36,3	40,9
ρ_a (Ω/m)	59,0	21,0	30,1
ρ_a (Ω/m)	74,5	16,2	68,1
ρ_a (Ω/m)	58,0	7,5	67,4
ρ_a (Ω/m)	178,0	15,0	97,4
ρ_a (Ω/m)	220	11,6	69,2
ρ_a (Ω/m)	192	6,1	61,8
ρ_a (Ω/m)	56,0	9,6	56,6
ρ_a (Ω/m)	73,0	7,7	50,6
ρ_a (Ω/m)	94,0 / 900	5,2 / 146,3	44,3 / 45,8
ρ_a (Ω/m)	0,10 / 1000	2,8 / 18,3	35,8 / 38,3
ρ_a (Ω/m)	103,0	44,0	32,1
ρ_a (Ω/m)	125,0	26,6	25,3
ρ_a (Ω/m)	104,0	10,0	18,0
ρ_a (Ω/m)	108,0	4,75	12,1
ρ_a (Ω/m)	93,0 / 95,0	1,4 / 7,4	3,24 / 9,24
ρ_a (Ω/m)	64,3 / 95,0	0,45 / 2,7	3,59 / 5,36
ρ_a (Ω/m)	112,0	1,5	2,82
ρ_a (Ω/m)	115,0	1,5	2,86
ρ_a (Ω/m)	119,0	0,35	1,6

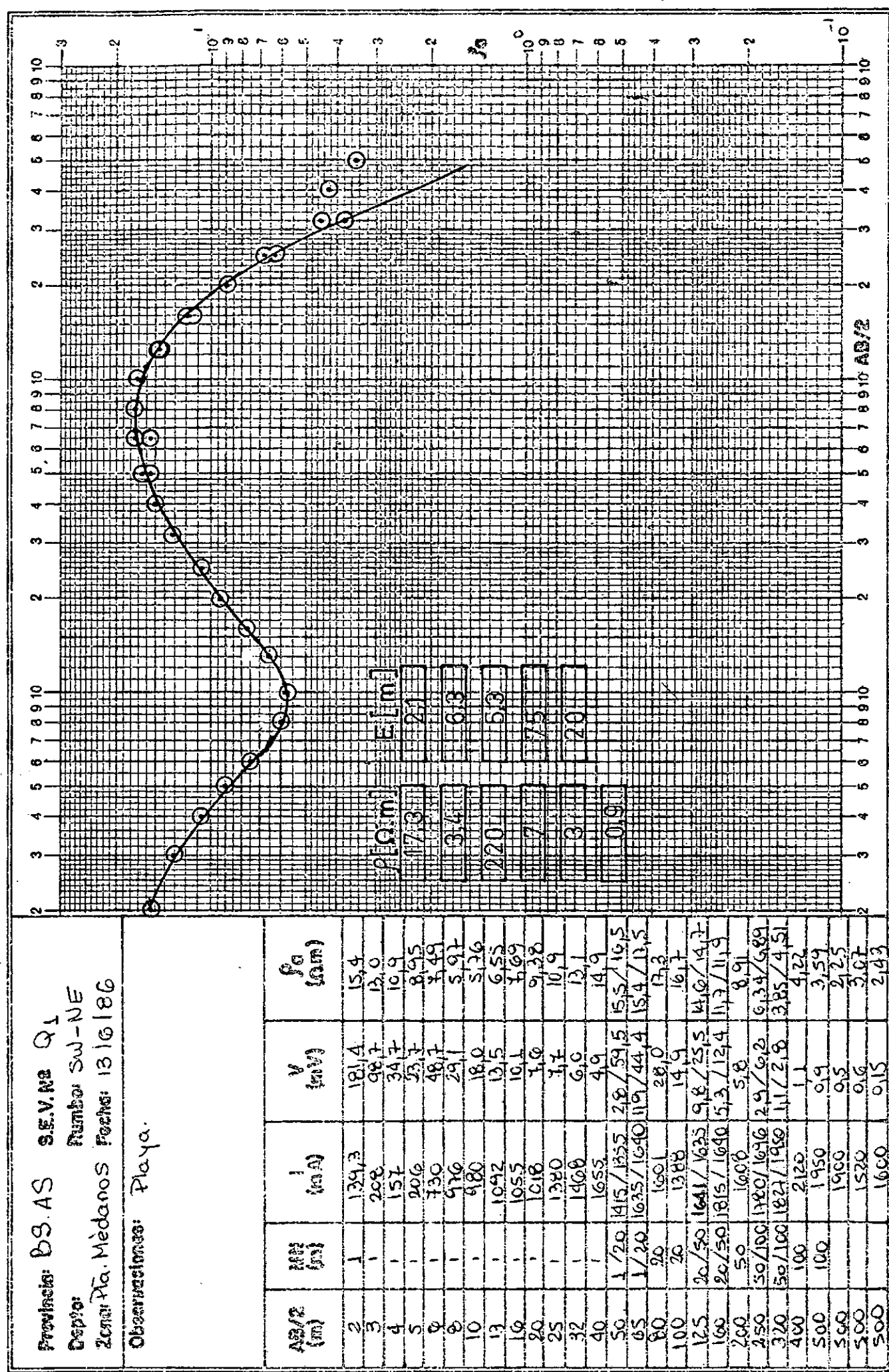


Province: BS.A.S S.E.V. No 96
 Number: E-W
 Depth: Médanos Fecha: 20/6/86
 Zona: Pta. Médanos

Observaciones:

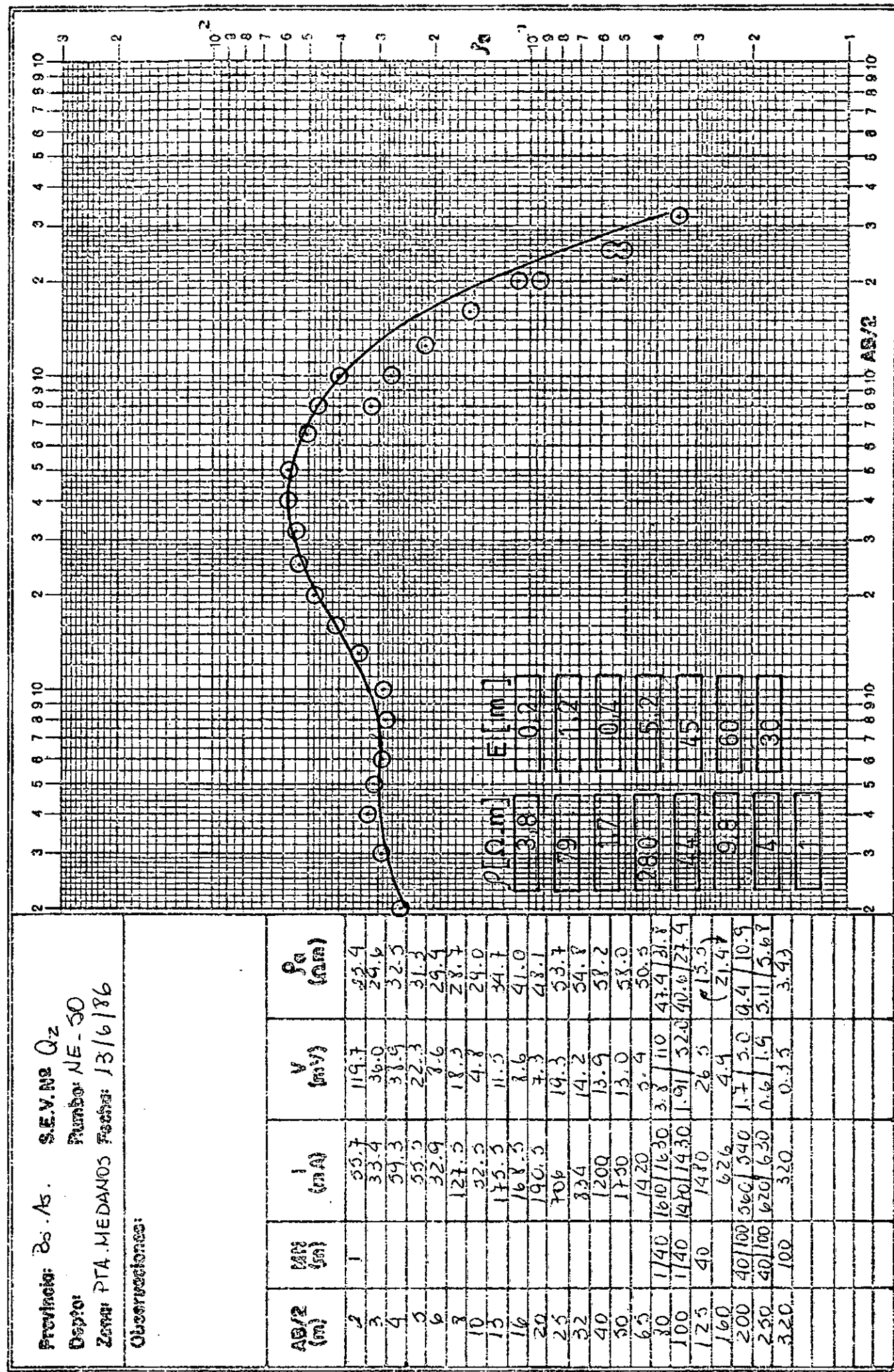


Proyecto: BG.A.S S.E.V.R.E
 Número SW-NE
 Depro: 20m! Pla. Médanos Fecha: 13/16/86
 Observaciones: Playa

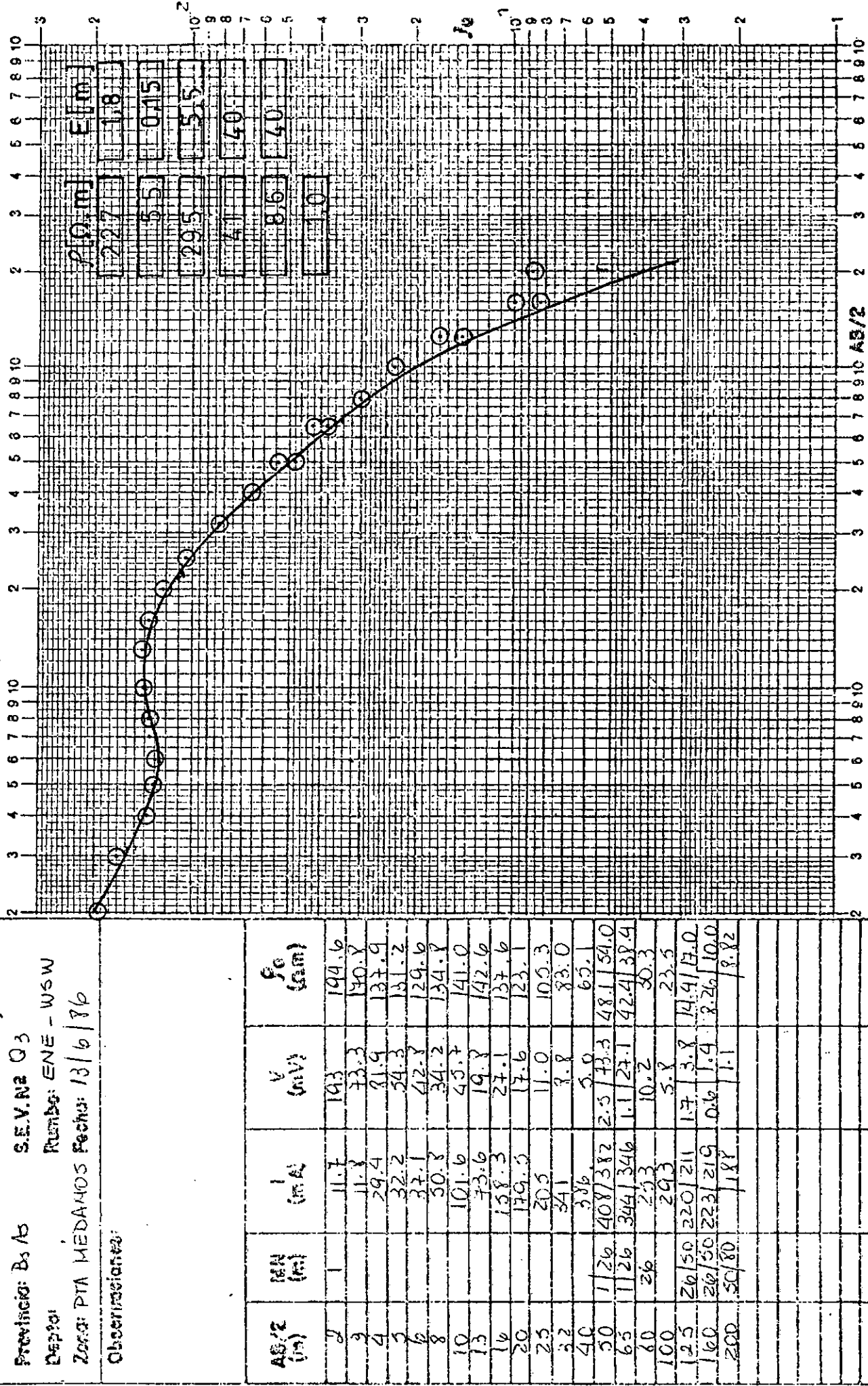


Provincia: Bs. As. S.E.V. N° Qz
 Dpto: N.E.-SO
 Fecha: 13/6/86
 Zona: PTA. MEDIANOS

Observaciones:



Provincia: Bs As S.E.V. N2 Q3
 Dep: ENE - WSW
 Zona: PIA MEDANOS Fecha: 13/6/86
 Observaciones:



Provincia: Bs As S.E.V. N° Q4

Dpto: ESE - WNW

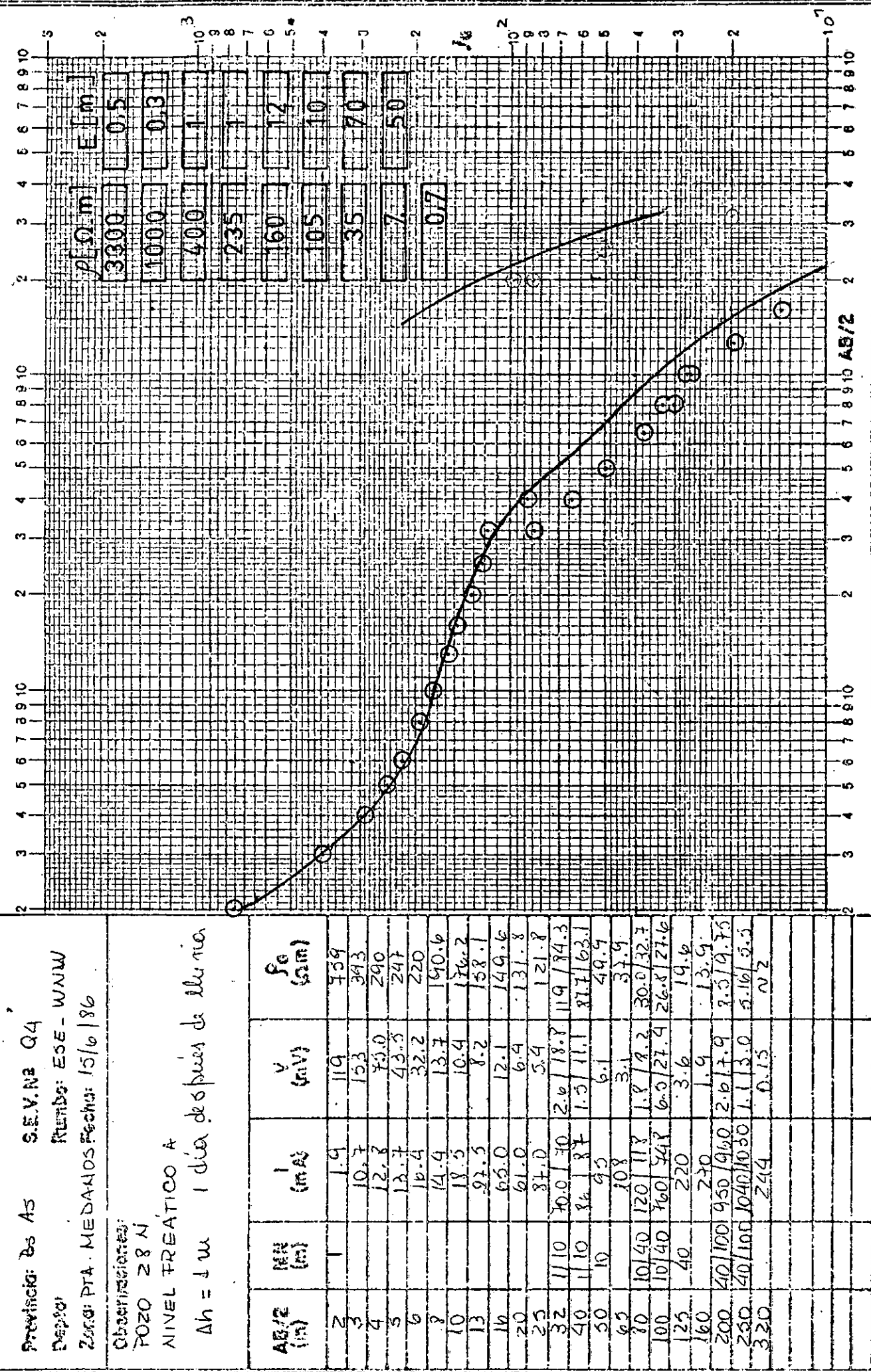
Zona: PTA. MEDANOS Fecha: 15/6/86

Observaciones:

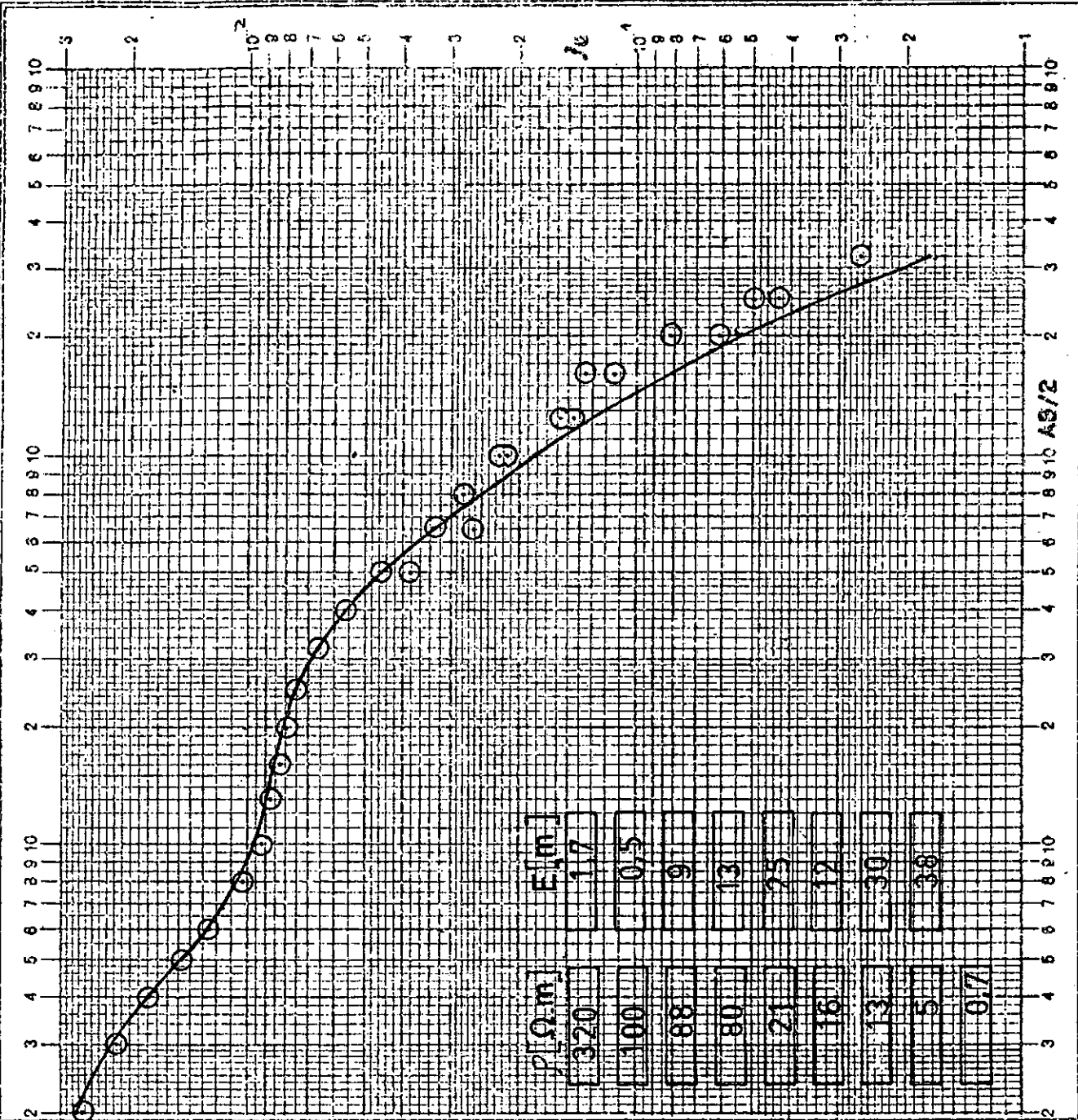
POZO 28 N

NIVEL FREÁTICO A

$\Delta h = 1 \text{ m}$ 1 dia deshues de lluvia



Provincia: Bs As S.E.V. N2 Q5
 Dirección: ENE - WSW
 Zona: PTA. MEDIANOS Fecha: 13/6/86
 Observaciones:
 POZO 234



AS/2 (im)	V (mV)	f _c (cm)
2	403	0.675
3	741	2.191
4	67.3	1.801
5	31.8	1.491
6	32.9	1.259
7	19.2	1.024
10	17.5	0.922
13	9.3	0.873
16	12.5	0.829
20	9.3	0.800
23	8.4	0.754
32	6.1	0.663
40	3.8	0.562
50	350/379	1.7/6.6
62	403/392	0.8/26.7
70	335	2.3
100	23/22.9	4.1/8.6
125	20/20.2	1.0/3.4
160	80/205	1.5/3.4
200	80/202	0.3/1.1
250	32/340	0.9/0.6
320	100/232	0.2/0.2

E.M. E.M.
 0.7 0.5
 0.6 0.5
 0.5 0.5
 0.4 0.5
 0.3 0.5
 0.2 0.5
 0.1 0.5
 0.0 0.5

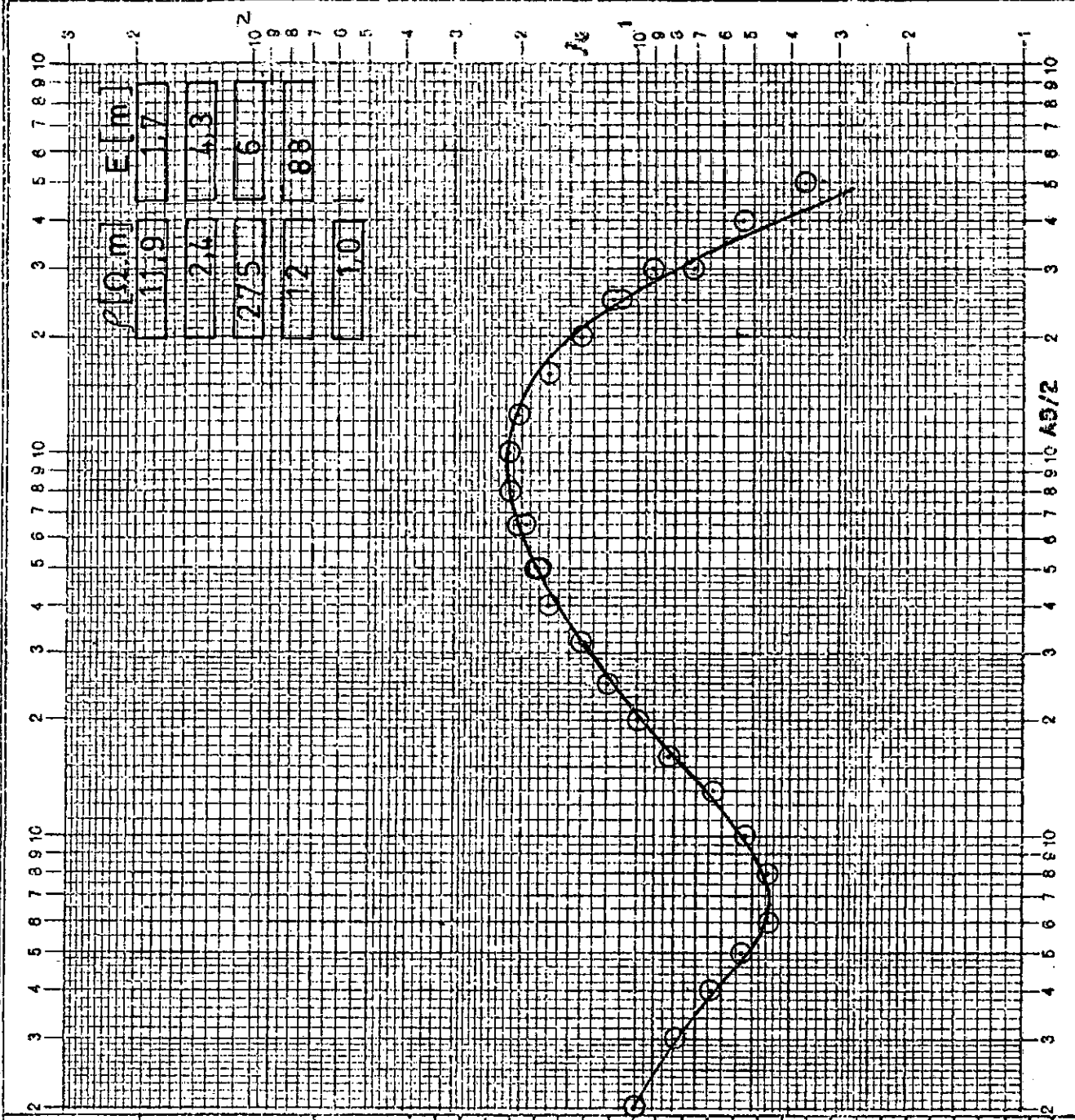
Predicador: B6-A5. S.S.V. N2 R.

Dpto: Puna: NO - SE
Zona: PTA. MEDAKOS Fecha: 15/6/86

Observaciones:
Se concurrió a 2 m del man
en horqueta (16.45 hr.)

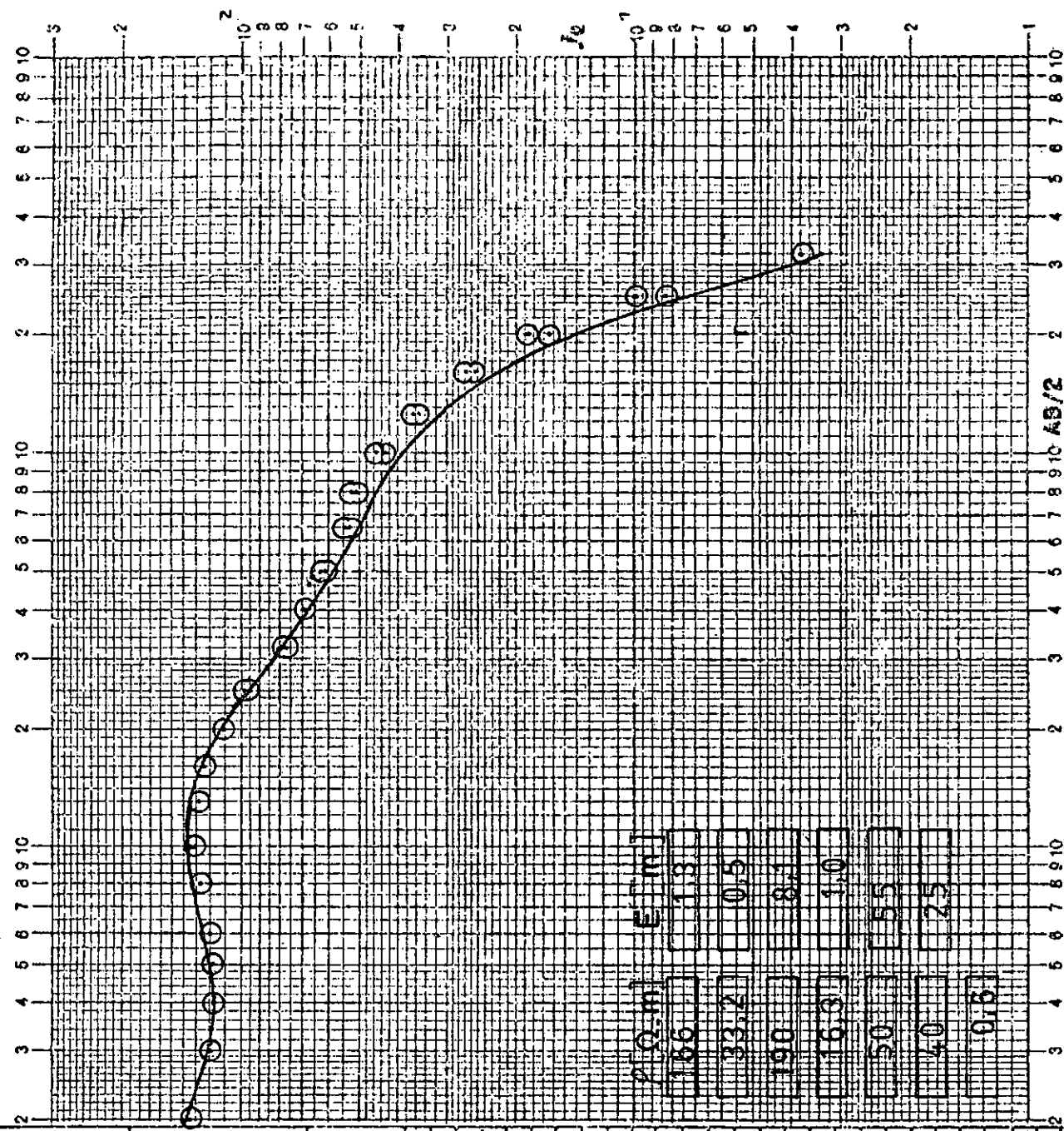
LÍNEA DEL POZO 4 S.

AB/2 (m)	Ran (m)	int (m)	V (m)	gc (m)
2	1	97.3	83.1	10.0
3		146.3	42.3	4.96
4		176.3	22.8	6.40
5		200	13.4	5.33
6		219	8.9	4.36
8		1044	24.0	4.39
10		170	19.5	5.22
13		1035	13.0	6.41
16		1190	12.3	7.30
20		1420	11.4	10.1
25		1326	7.1	12.0
32		1227	5.6	14.3
40		1948	6.6	17.0
50		1726	1896/1838	4.4/119.1
63		126	1855/1603	2.9/64.2
70		1616	34.6	21.4
100		1421	26.0	21.7
125		1936	21.1	20.3
160		2020	11.3	17.1
200		2320	7.0	14.0
250		26100	23900/23600	3.8/12.3
320		26100	26100/26100	1.5/6.0
400		400	2440	2.1
500		100	2920	1.1
"	"	"	2920	1.3
"	"	"	2930	1.0
"	"	"	2830	1.2

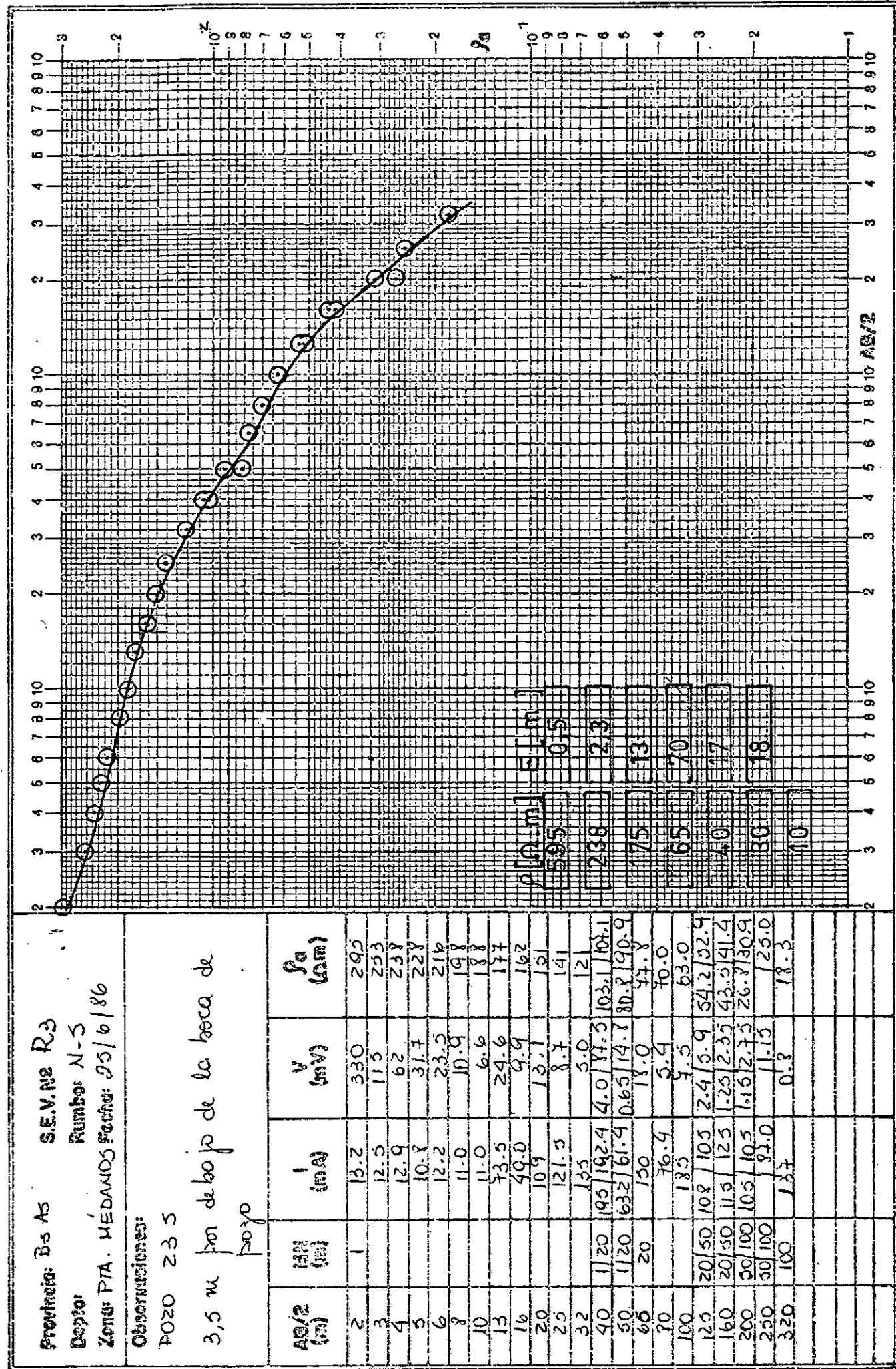


Prestación: B5 As. S.E.V. N2 R2
 Dirección: SE - NO
 Fecha: PTA. MEDIANOS FECHA: 25/6/86

Observaciones:
 POZO 45



AB/2 (in)	Hx (m)	l (m)	V (m)	Sc (cm)
2	9.6	10.0	136.2	
3	9.5	91.0	120.4	
4	9.5	37.0	118.2	
5	9.0	32.0	119.6	
6	8.8	19.0	119.9	
7	8.0	18.0	128.3	
8	7.8	19.7	131.2	
9	7.3	20.0	129.8	
10	6.7	32.0	124.8	
11	6.5	29.6	111.4	
12	6.3	27.3	118.4	
13	6.0	13.0	143.0	94.9 / 98.0
14	5.8	2.7	18.4	96.8 / 13.3
15	5.5	1.5	64.0	132.5
16	5.3	1.3	62.0	132.2
17	5.0	1.1	62.0	132.0
18	4.8	0.8	53.2	54.1
19	4.5	0.5	51.4	52.3
20	4.0	0.2	43.1	45.8
21	3.8	0.0	35.4	36.4
22	3.5		15.0	15.0
23	3.3		10.0	10.0
24	3.0		5.0	5.5
25	2.8		0.0	0.0
26	2.5		0.0	0.0
27	2.3		0.0	0.0
28	2.0		0.0	0.0
29	1.8		0.0	0.0
30	1.5		0.0	0.0
31	1.3		0.0	0.0
32	1.0		0.0	0.0
33	0.8		0.0	0.0
34	0.5		0.0	0.0
35	0.3		0.0	0.0
36	0.1		0.0	0.0
37	0.0		0.0	0.0

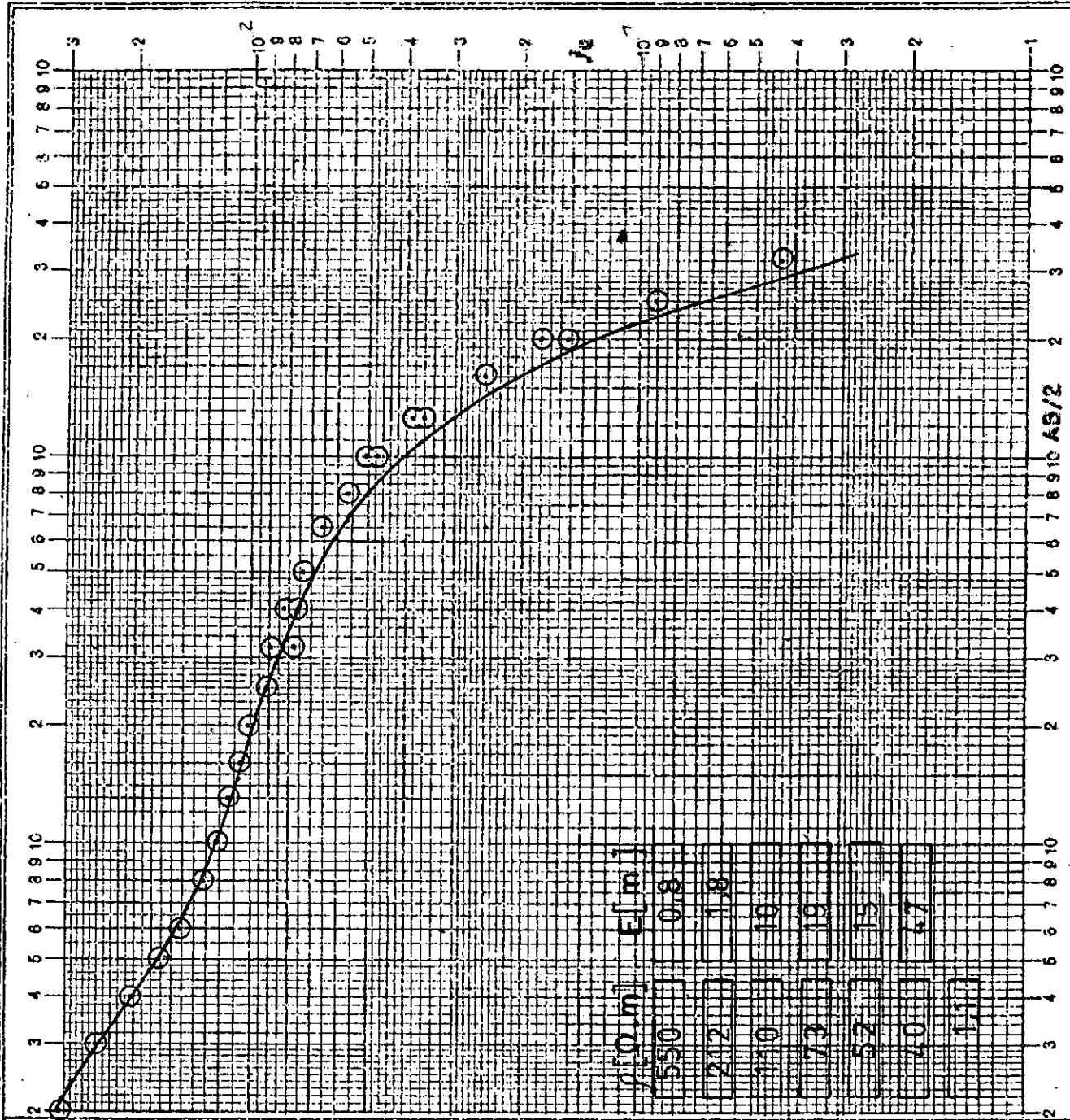


Provincia: BS. AS S.E.V. N° R4

Dpto: M° S-W

Ruta: PTA MEDIANOS Fecha: 25/6/86

Observaciones:



AB/2 (m)	Km (m)	1 (m)	2 (m)	3 (m)
2	1	31.0	13.50	3.7
3	12.0	109.6	24.9	
4	9.3	33.3	20.4	
5	7.9	19.8	17.3	
6	4.2.0	5+0	15.2	
7	4.5.2	30.0	32	
8	52.0	20.3	12.2	
9	27.3	6.0	11.4	
10	43.0	5.8	10.8	
20	40.0	3.7	10.2	
25	45.0	4.4	9.0.9	
32	110.0	67.0	1.6	19.5
40	110.0	60.0	0.9	10.0
50	10	60.0	5.7	12.5
60		60.0	3.0	12.9
70		110.0	3.1	16.0
80		60.0	66.0	16
100	10/50	110.0	1.8	10.0
125	10/50	200.0	1.5	7.4
160	50	150	2.4	25.1
200	50/100	257	26.0	1.6
230	50/100	135	0.6.5	19.1
320	100	65.0	0.9	19.0.8